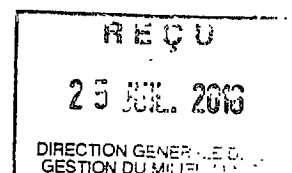




ADVENTURE GOLD

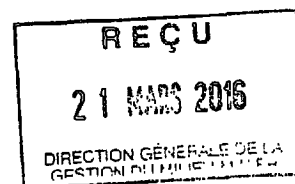
Rapport du campagne de forage 2016

**Projet Détour Québec Nord
Propriétés Manthet, Manthet Extension et Martigny
32L03 et 32L04
Canton Manthet et Martigny, Québec**



1578665

**Mathieu Guay, Géo.
Jules Riopel, M.Sc, Géo., MBA
Elisabeth Tremblay, M.Sc.A., Géo.**



18 mars 2016

GM 69733

1553367

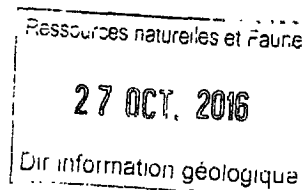


Table des matières

1 - Introduction.....	4
2 - Propriété, localisation, accès, topographie et infrastructures.....	5
3 - Historique des travaux.....	11
4 - Géologie régionale.....	17
4.1 Stratigraphie et lithologies du sillon Harricana-Turgeon.....	21
4.2 Structures du sillon Harricana-Turgeon.....	24
4.3 Gîtologie et minéralisations du sillon Harricana-Turgeon.....	25
4.3.1 Minéralisation régionale.....	27
5 - Géologie locale.....	31
5.1 Structures.....	32
5.2 Minéralisations.....	34
5.2.1 Indice D-106-1.....	34
5.2.2 Indice Manthet SO.....	34
5.2.3 Indice Lac Grady.....	35
5.2.4 Indice Lac Gratton.....	35
6 - Travaux réalisés par Adventure Gold.....	35
6.1 Travaux avant 2016.....	35
6.2 Travaux en 2016.....	36
7 - Résultats et discussions.....	42
7.1 Forage MM-16-01	42
7.2 Forage MM-16-02.....	43
7.3 Forage MM-16-03	44
7.4 Levé de polarisation provoqué de 2016.....	50
8 – Conclusions.....	50
9 – Recommendations.....	51
Références.....	53

Liste des figures

Figure 1 : Carte de claims - Propriétés Manthet et Martigny.....	6
Figure 2 : Localisation géographique régionale.....	9
Figure 3 : Localisation géographique locale.....	10
Figure 4 : Localisation géographique locale- Image satellite.....	12
Figure 5 : Forages historiques - Propriétés Manthet et Martigny.....	16
Figure 6 : Localisation géologique - Ceinture de l'Abitibi.....	18
Figure 7 : Localisation géologique - Propriétés Manthet et Martigny.....	19
Figure 8 : Fond magnétique.....	20
Figure 9 : Géologie locale.....	23
Figure 10 : Géologie et indices minéralisés des propriétés.....	33
Figure 11 : Travaux par Adventure Gold avant 2016.....	37
Figure 12 : Cible forage MM-16-01.....	39
Figure 13 : Cible forage MM-16-02.....	40
Figure 14 : Cible forage MM-16-03.....	41
Figure 15 : Photo MM-16-01 - Veine de quartz et biotite.....	46
Figure 16 : Photo MM-16-01 - Zone minéralisée avec fuschite.....	47
Figure 17 : Photo MM-16-01 - Zone minéralisée silicifiée.....	48
Figure 18 : Photo MM-16-02 - Zone minéralisée.....	49

Liste des tableaux

Tableau 1 : Description propriété Casgrain.....	7
Tableau 2 : Spécifications techniques - forages de 2016.....	38

Liste des annexes

Annexe I : Tableau des travaux historiques	
Annexe II : Carte de localisation des forages de 2016 sur fond du gradient magnétique vertical	
Annexe III : Sections géologiques des forages 2016, MM-16-01, -02 et -03	
Annexe IV : Description des forages 2016 MM-16-01, -02 et -03	
Annexe V : Résultats d'analyses 2016	

1 - Introduction

Les propriétés Manthet, Manthet Extension et Martigny sont incluses dans le projet Detour Québec Nord d'Adventure Gold qui se divise en (3) propriétés, constituées de 96 claims couvrant une superficie totale d'environ 4 997 hectares (50 km²) à la frontière du Québec et de l'Ontario et le long des zones de déformation à fort potentiel de découvertes du segment aurifère de Detour Lake. Ces propriétés se situent dans les SNRC 32L03 et 32L04, cantons Manthet et Martigny. Les titres miniers sont détenus à 100% par Adventure Gold toutefois ceux de la propriété Manthet Extension (7 claims) ils sont assujettis à une redevance de 1,5% de royauté nette d'affinerie (« NSR ») aux vendeurs (des prospecteurs indépendants).

Les propriétés sont situées à vol d'oiseau à environ 135 kilomètres au nord de la ville de La Sarre et à environ 200 kilomètres au nord de Rouyn-Noranda, dans le nord-ouest de l'Abitibi, Québec. Étant situées au nord de la rivière Turgeon, son accès se fait par des chemins forestiers et routes d'hiver situés au nord et à l'ouest de l'ancienne mine Selbaie ou par hélicoptère.

Le segment aurifère Detour Lake est l'hôte de la mine aurifère de Detour Gold qui comprend actuellement des réserves prouvées et probables de 16,4 millions d'onces d'or (Detour Gold Corporation, Réserves et Ressources Minérales 2015 conformant au Règlement 43-101, Detour Gold Corp. site internet). Ce gisement va être le plus important gisement aurifère au Canada.

Les propriétés Manthet, Manthet Extension et Martigny se situent principalement dans le domaine volcanique de Manthet et sont bordées au sud par la zone de déformation Sunday Lake qui marque le contact sud avec les basaltes du domaine de Manthet et sont recoupées au nord par la zone de déformation Bordure Nord-4 (Lacroix, 1994).

Adventure Gold a complété une compilation exhaustive des données géoscientifiques sur ces propriétés en 2011-2013. En 2011, 912 kilomètres de levés magnétiques aéroporté haute définition ont été complétés soit 469 km sur Martigny/Manthet Extension et 443 km

sur Manthet. En 2013, un levé électromagnétique aéroporté VTEM a été complété dont 223 km sur Manthet et 398 km sur Martigny et Manthet Extension.

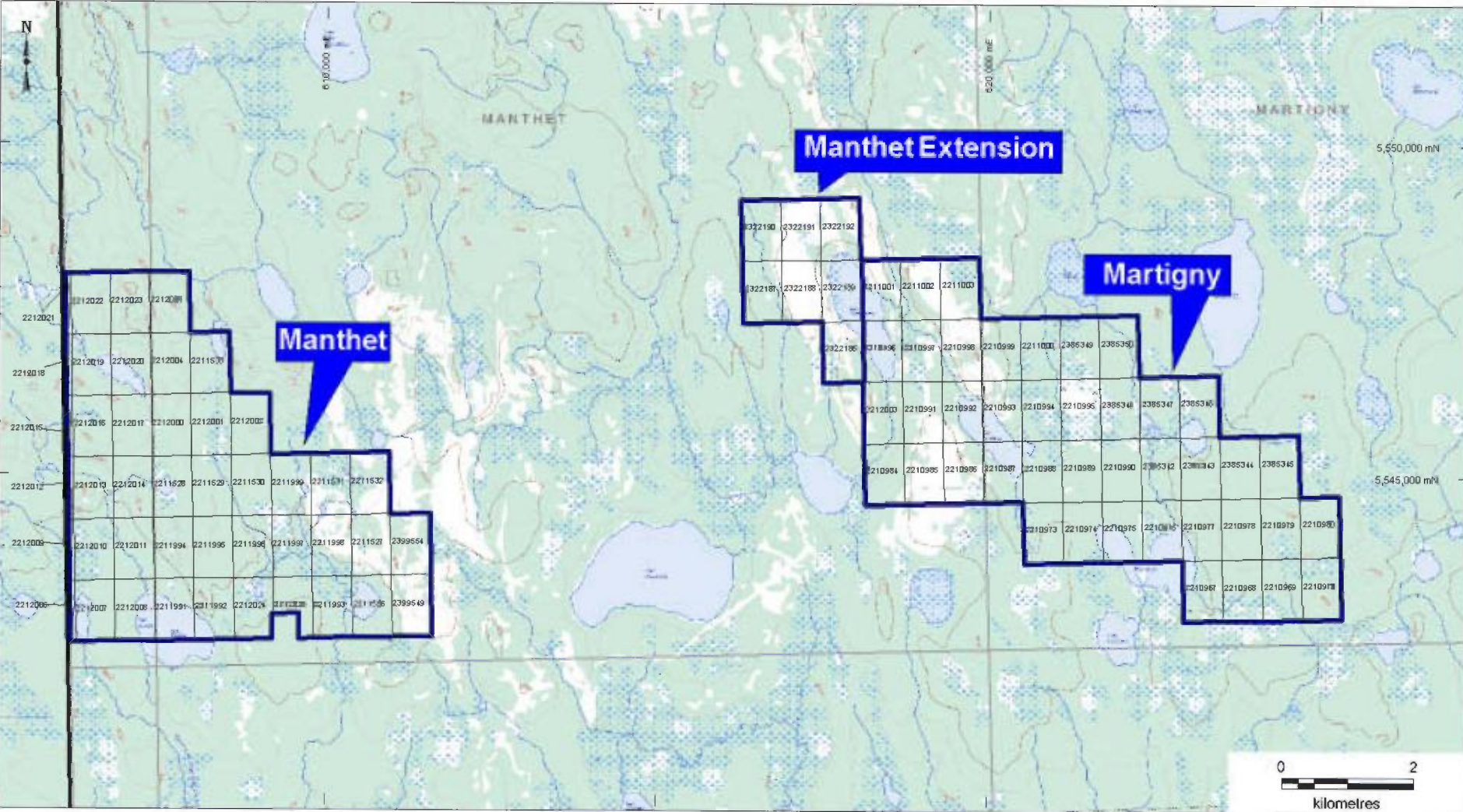
En janvier 2016, une campagne de forage de 732 mètres a été complétée afin de tester trois anomalies géophysiques électromagnétiques hélicoptérées de type VTEM prioritaires identifiées précédemment par Adventure Gold. La campagne a débuté le 14 janvier et été complétée le 28 janvier, et un total de 396 échantillons (incluant les échantillons de contrôle blancs et standards) furent analysés pour l'or et 21 autres éléments. Le rapport décrira les résultats obtenus et émettra des recommandations à la poursuite des travaux.

2 - Propriété, localisation, accès, topographie et infrastructures

Les propriétés Manthet, Manthet Extension et Martigny d'Adventure Gold sont composées de 44, 7 et 45 claims respectivement couvrant une superficie d'environ 2 130, 387 et 2 480 hectares (Figure 1 et Tableau 1). La propriété Manthet est située dans la section sud-ouest du canton Manthet et sa limite ouest coïncide avec la frontière du Québec et de l'Ontario. Les propriétés Martigny et Manthet Extension sont situées à la jonction entre les cantons Manthet et Martigny. Les propriétés se trouvent dans les SNRC 32L03 et 32L04.

Les titres miniers de la propriété Manthet, Manthet Extension et Martigny sont détenus à 100% par la compagnie. Les titres miniers de la propriété Manthet Extension (7 claims) sont assujettis à une redevance de 1,5% de royauté nette d'affinerie (« NSR ») aux vendeurs (des prospecteurs indépendants). Pour la suite du document seul la propriété Martigny sera nommé.

Les propriétés sont situées à environ 135 kilomètres au nord-ouest de la ville de La Sarre et à environ 200 kilomètres au nord de Rouyn-Noranda, dans le nord-ouest de l'Abitibi, Québec (Figures 2 et 3). Les propriétés sont situées au nord de la rivière Turgeon et entre le lac Manthet. L'accès routier principal et carrossable à l'année est le chemin Selbaie rejoignant Villebois à Joutel en passant par l'ancienne mine Selbaie. Plusieurs chemins forestiers secondaires donnent accès à la rivière Turgeon, qui conduisent à différentes



— Frontière Québec/Ontario

Detour Québec Nord - Adventure Gold (100%)

Limite de Canton

Figure 1

MINING TITLES REPORT

DETOUR QUEBEC NORTH

OWNER Adventure Gold Inc. 100%

Property	NTS	Twps	Rang	Lot	Title	Claim	Reg. Date d/m/y	Exp. Date d/m/y	Ren. Date d/m/y	Area (Ha)	Excess Credits (\$)	Taxes (2 years) (\$)	Required Work (2 years) (\$)	Ren.	Option	Royalty
MANTHET	32L03		0004	0006	CDC	2211526	31/03/10	30/03/18	29/01/18	55.32	0.00	59.67	1,200.00	3		
MANTHET	32L03		0005	0006	CDC	2211527	31/03/10	30/03/18	29/01/18	55.31	0.00	59.67	1,200.00	3		
MANTHET	32L03		0006	0001	CDC	2211528	31/03/10	30/03/18	29/01/18	55.30	0.00	59.67	1,200.00	3		
MANTHET	32L03		0006	0002	CDC	2211529	31/03/10	30/03/18	29/01/18	55.30	0.00	59.67	1,200.00	3		
MANTHET	32L03		0006	0003	CDC	2211530	31/03/10	30/03/18	29/01/18	55.30	330.51	59.67	1,200.00	3		
MANTHET	32L03		0006	0005	CDC	2211531	31/03/10	30/03/18	29/01/18	55.30	0.00	59.67	1,200.00	3		
MANTHET	32L03		0006	0006	CDC	2211532	31/03/10	30/03/18	29/01/18	55.30	0.00	59.67	1,200.00	3		
MANTHET	32L03		0008	0002	CDC	2211533	31/03/10	30/03/18	29/01/18	55.28	0.00	59.67	1,200.00	3		
MANTHET	32L03		0004	0001	CDC	2211991	08/04/10	07/04/18	06/02/18	55.32	0.00	59.67	1,200.00	3		
MANTHET	32L03		0004	0002	CDC	2211992	08/04/10	07/04/18	06/02/18	55.32	0.00	59.67	1,200.00	3		
MANTHET	32L03		0004	0005	CDC	2211993	08/04/10	07/04/18	06/02/18	55.32	0.00	59.67	1,200.00	3		
MANTHET	32L03		0005	0001	CDC	2211994	08/04/10	07/04/18	06/02/18	55.31	0.00	59.67	1,200.00	3		
MANTHET	32L03		0005	0002	CDC	2211995	08/04/10	07/04/18	06/02/18	55.31	0.00	59.67	1,200.00	3		
MANTHET	32L03		0005	0003	CDC	2211996	08/04/10	07/04/18	06/02/18	55.31	0.00	59.67	1,200.00	3		
MANTHET	32L03		0005	0004	CDC	2211997	08/04/10	07/04/18	06/02/18	55.31	0.00	59.67	1,200.00	3		
MANTHET	32L03		0005	0005	CDC	2211998	08/04/10	07/04/18	06/02/18	55.31	0.00	59.67	1,200.00	3		
MANTHET	32L03		0006	0004	CDC	2211999	08/04/10	07/04/18	06/02/18	55.30	79.92	59.67	1,200.00	3		
MANTHET	32L03		0007	0001	CDC	2212000	08/04/10	07/04/18	06/02/18	55.29	0.00	59.67	1,200.00	3		
MANTHET	32L03		0007	0002	CDC	2212001	08/04/10	07/04/18	06/02/18	55.29	0.00	59.67	1,200.00	3		
MANTHET	32L03		0007	0003	CDC	2212002	08/04/10	07/04/18	06/02/18	55.29	0.00	59.67	1,200.00	3		
MANTHET	32L03		0008	0001	CDC	2212004	08/04/10	07/04/18	06/02/18	55.28	0.00	59.67	1,200.00	3		
MANTHET	32L03		0009	0001	CDC	2212005	08/04/10	07/04/18	06/02/18	55.27	0.00	59.67	1,200.00	3		
MANTHET	32L04		0004	0058	CDC	2212006	08/04/10	07/04/18	06/02/18	7.35	0.00	30.51	500.00	3		
MANTHET	32L04		0004	0059	CDC	2212007	08/04/10	07/04/18	06/02/18	55.32	0.00	59.67	1,200.00	3		
MANTHET	32L04		0004	0060	CDC	2212008	08/04/10	07/04/18	06/02/18	55.32	0.00	59.67	1,200.00	3		
MANTHET	32L04		0005	0058	CDC	2212009	08/04/10	07/04/18	06/02/18	7.38	0.00	30.51	500.00	3		
MANTHET	32L04		0005	0059	CDC	2212010	08/04/10	07/04/18	06/02/18	55.31	0.00	59.67	1,200.00	3		
MANTHET	32L04		0005	0060	CDC	2212011	08/04/10	07/04/18	06/02/18	55.31	0.00	59.67	1,200.00	3		
MANTHET	32L04		0006	0058	CDC	2212012	08/04/10	07/04/18	06/02/18	7.38	0.00	30.51	500.00	3		
MANTHET	32L04		0006	0059	CDC	2212013	08/04/10	07/04/18	06/02/18	55.30	0.00	59.67	1,200.00	3		
MANTHET	32L04		0006	0060	CDC	2212014	08/04/10	07/04/18	06/02/18	55.30	0.00	59.67	1,200.00	3		
MANTHET	32L04		0007	0058	CDC	2212015	08/04/10	07/04/18	06/02/18	7.38	0.00	30.51	500.00	3		
MANTHET	32L04		0007	0059	CDC	2212016	08/04/10	07/04/18	06/02/18	55.29	0.00	59.67	1,200.00	3		
MANTHET	32L04		0007	0060	CDC	2212017	08/04/10	07/04/18	06/02/18	55.29	0.00	59.67	1,200.00	3		
MANTHET	32L04		0008	0058	CDC	2212018	08/04/10	07/04/18	06/02/18	7.38	0.00	30.51	500.00	3		
MANTHET	32L04		0008	0059	CDC	2212019	08/04/10	07/04/18	06/02/18	55.28	0.00	59.67	1,200.00	3		
MANTHET	32L04		0008	0060	CDC	2212020	08/04/10	07/04/18	06/02/18	55.28	0.00	59.67	1,200.00	3		
MANTHET	32L04		0009	0058	CDC	2212021	08/04/10	07/04/18	06/02/18	7.38	0.00	30.51	500.00	3		
MANTHET	32L04		0009	0059	CDC	2212022	08/04/10	07/04/18	06/02/18	55.27	0.00	59.67	1,200.00	3		
MANTHET	32L04		0009	0060	CDC	2212023	08/04/10	07/04/18	06/02/18	55.27	0.00	59.67	1,200.00	3		
MANTHET	32L03		0004	0003	CDC	2212024	08/04/10	07/04/18	06/02/18	54.03	0.00	59.67	1,200.00	3		
MANTHET	32L03		0004	0004	CDC	2212025	08/04/10	07/04/18	06/02/18	40.92	78.00	59.67	1,200.00	3		
MANTHET	32L03		0004	0007	CDC	2399549	12/02/14	11/02/16	12/12/17	55.32	0.00	59.67	1,200.00	1		
MANTHET	32L03		0005	0007	CDC	2399554	12/02/14	11/02/16	12/12/17	55.31	0.00	59.67	1,200.00	1		
MANTHET EXTENSION	32L03		0008	0018	CDC	2322186	03/11/11	02/11/17	02/09/17	55.28	0.00	59.67	1,200.00	2		1.5% NSR, 1% purchase for 1M\$
MANTHET EXTENSION	32L03		0009	0016	CDC	2322187	03/11/11	02/11/17	02/09/17	55.27	0.00	59.67	1,200.00	2		1.5% NSR, 1% purchase for 1M\$
MANTHET EXTENSION	32L03		0009	0017	CDC	2322188	03/11/11	02/11/17	02/09/17	55.27	0.00	59.67	1,200.00	2		1.5% NSR, 1% purchase for 1M\$
MANTHET EXTENSION	32L03		0009	0018	CDC	2322189	03/11/11	02/11/17	02/09/17	55.27	0.00	59.67	1,200.00	2		1.5% NSR, 1% purchase for 1M\$

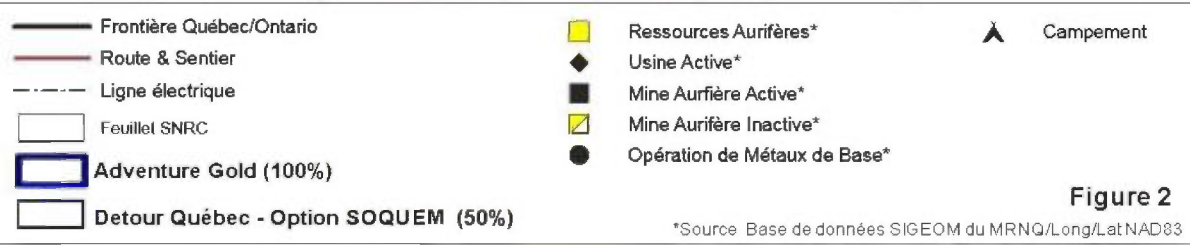
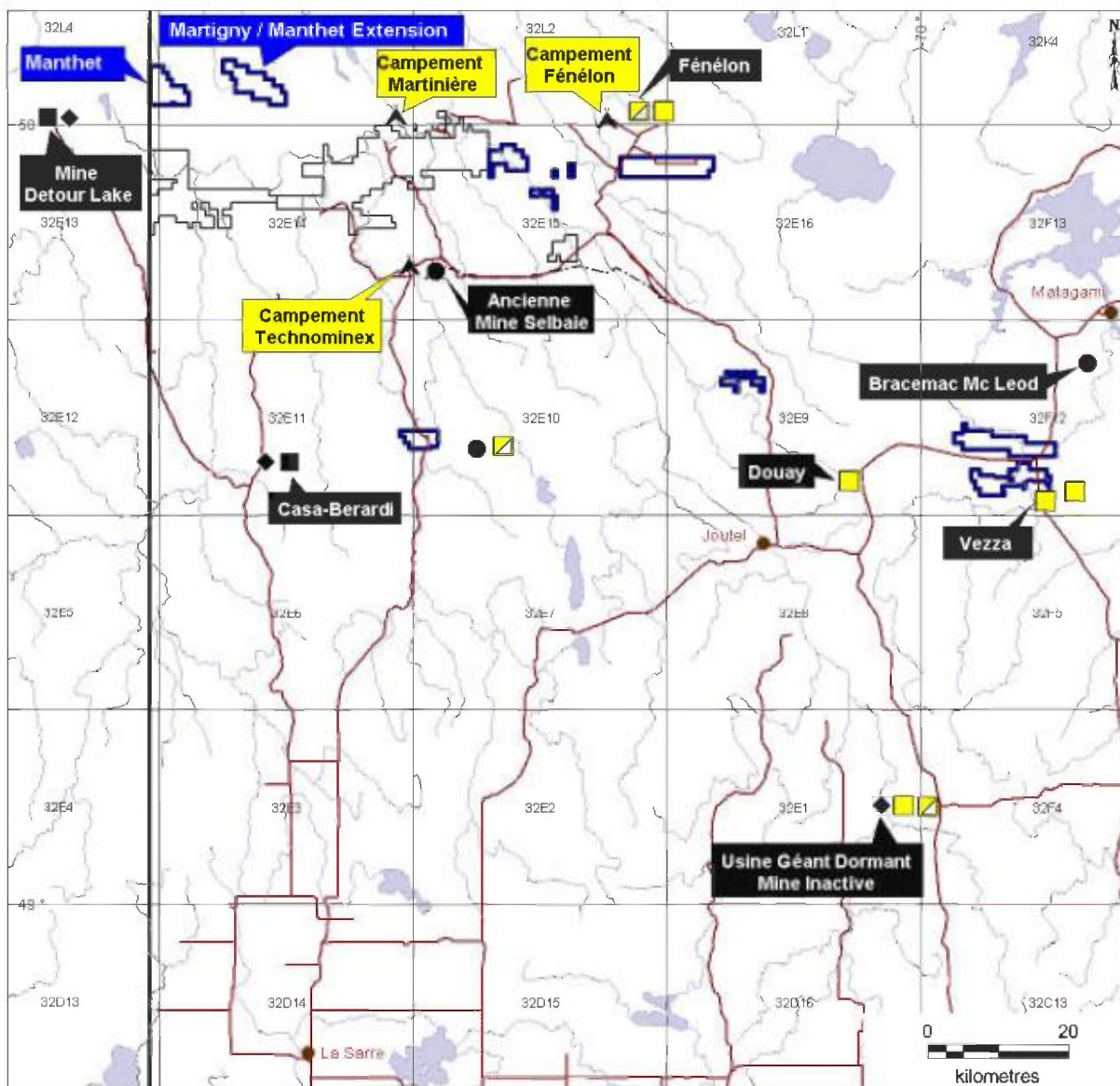
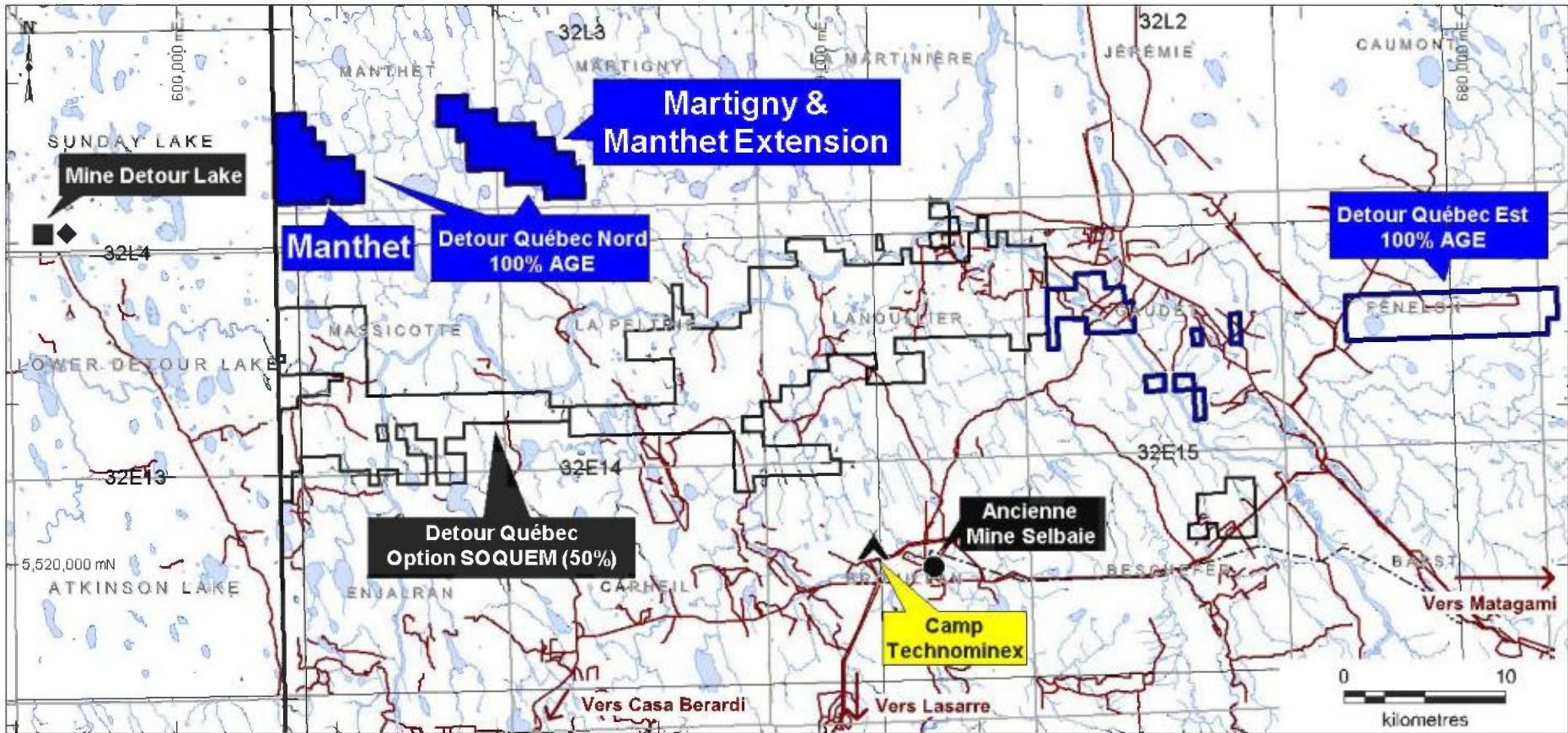


Figure 2

*Source Base de données SIGEOM du MRNQ/Long/Lat/NAD83



— Frontière Québec/Ontario

▭ Detour Québec - Adventure Gold (100%)

■ Mine Aurifère Active*

- - - Ligne électrique

▭ Detour Québec - Option SOQUEM (50%)

◆ Usine Active*

— Route & Sentier

▭ Feuillet SNRC

● Opération de Métaux de Base*

▭ Limite de Canton

Figure 3

*Source Base de données SIGEOM du MRNQ
UTM NAD83 - Zone 17

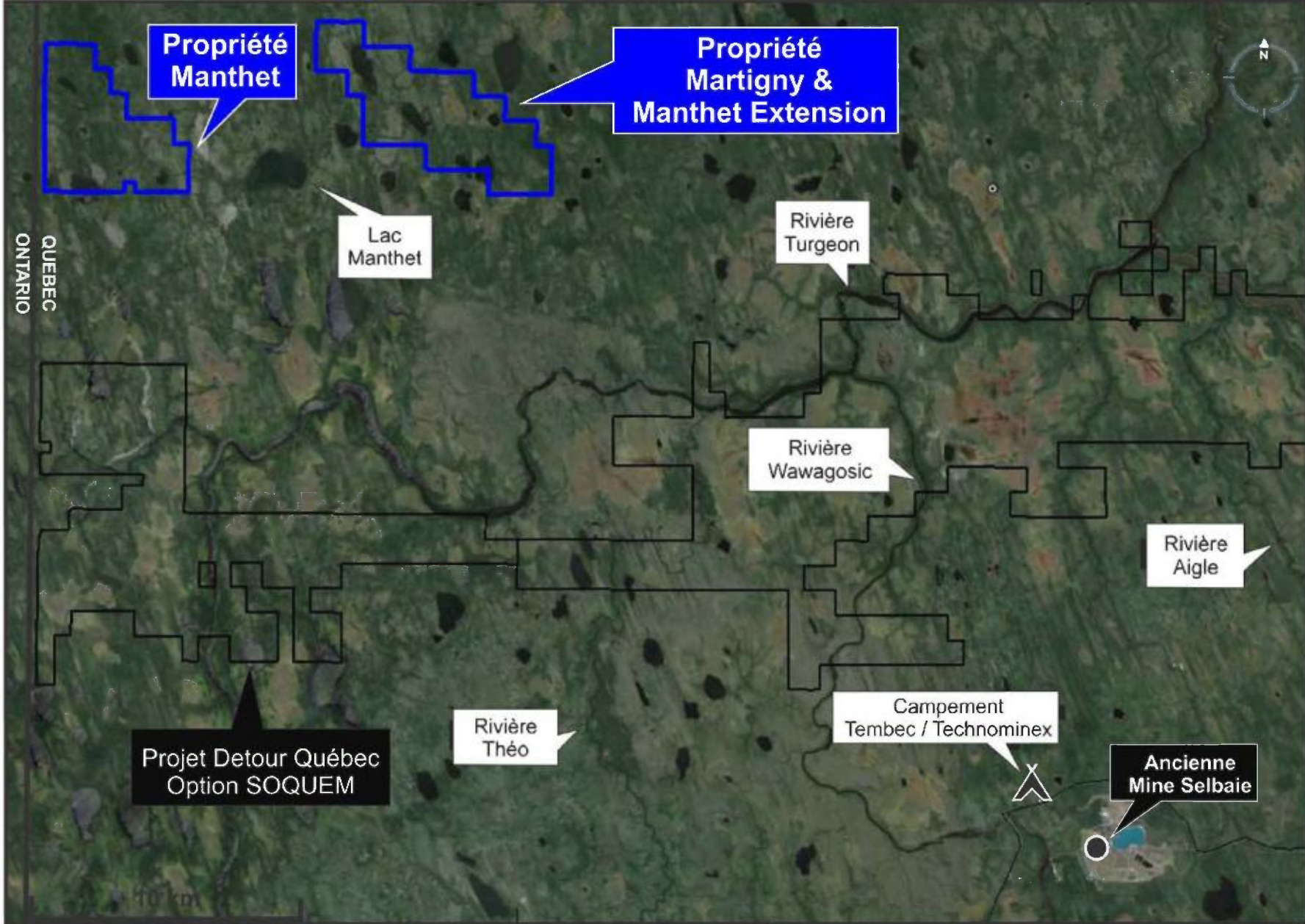
rivières qui traversent la propriété (Figure 4). Il est aussi possible d'accéder à la propriété durant toute l'année de façon aéroportée ou hélicoptérée au départ de la ville de La Sarre ou Matagami.

La région topographique régionale est peu prononcée dans l'ensemble du bassin de la rivière Harricana. L'élévation varie entre 225 et 250 mètres au-dessus du niveau de la mer. Les propriétés se situent au sein d'un territoire d'aires marécageuses relativement plat et de tourbières le classant comme une zone humide à semi-humide. Selon la carte des régions écologiques du Québec, la région se situe dans la zone boréale. La région fut recouverte de glace au pléistocène, laissant entre 5 à 40 mètres de dépôts meubles glaciaires et glacio-lacustres (argile, sable et gravier). Le réseau hydrographique appartient à celui de la Baie-James et le secteur possède de nombreux lacs et ruisseaux. Les zones d'affleurements rocheux sur les propriétés sont très limitées et sont exposées le long des rivières ou des petites collines.

Le camp Tembec, appartenant à la compagnie Technominex de Rouyn-Noranda, est localisé à 1,8 kilomètre au nord de la rivière Wawagosis sur le chemin Selbaie. Ce camp a un potentiel de loger plus de 30 personnes (694311E/5520714N - Nad83Zone17) et demeure une infrastructure de qualité pour le secteur (Figures 3 et 4).

3 – Historique des travaux

La région entourant les propriétés Manthet et Martigny a été soumise à plusieurs travaux d'exploration en raison de son emplacement stratégique au sein de la ceinture de roches vertes de l'Abitibi. Des activités d'exploration sporadiques, principalement pour les métaux de base, ont été menées depuis plus de 60 ans et ont conduit à la découverte de gisements de cuivre-zinc importants dans les régions de Matagami et de Joutel ainsi que d'un dépôt de cuivre-zinc de Selbaie en 1974. La découverte d'un large dépôt aurifère à Detour Lake en Ontario par Amoco en 1974 a suggéré que la région représente également un excellent potentiel pour les gisements d'or et les travaux d'exploration par la suite ont été concentrés pour la découverte de gisements d'or, en plus de métaux de base.



● Opération de Métaux de Base¹

▭ Propriétés Manthet, Martigny et Manthet Extension
 Detour Québec Nord - Adventure Gold 100%

▭ Detour Québec - Option SOQUEM 50%

▲ Campement

¹Source: Base de données SIGEOM du MRNQ

Figure 4: Localisation Géographique Locale Propriétés Manthet, Martigny et Manthet Extension
Projet Detour Québec Nord
 Image Satellite

La région a été cartographiée et décrite à grande échelle par Remick et Sharma et al. (1960-1961 et 1976). La géologie régionale a été compilée et interprétée par Lacroix et al. (1990 et 1994). Le premier levé aéroporté magnétique et aéromagnétique (Input) régional a été réalisé en 1982 par le Ministère des Ressources Naturel du Québec (MRNQ) et un second en 2008 par le tandem Noranda/Mine Virginia (Megatem II). Dans le cadre du projet cuivre du MRNQ, un levé de gravimétrie aéroporté a été complété en 2008.

Très peu de travaux ont été exécutés sur les propriétés Manthet et Martigny. Les premiers travaux d'exploration sur la propriété Manthet remontent en 1980 par Selco Mining Corp. qui ont consisté en des levés magnétiques et HLEM, recouvrant la partie SE de la propriété. Un trou de forage (D-106-1, 124 m) visant à tester une faible anomalie INPUT a retourné des valeurs de 0,4% Zn et 0,6 g/t Ag sur 0,5 m (GM 36917)(Figure 5). Toujours en 1980, Noranda effectue des levés électromagnétiques et magnétiques dans la partie nord de la propriété, dans le but d'étendre plus au nord et à l'ouest un ancien grillage (Manthet 2-74), de vérifier et de poursuivre les anomalies EM localisées auparavant (GM 39399). Une longue anomalie magnétique et deux longues anomalies électromagnétiques (A et B) ont été détectées. Des travaux de forages ont été proposés.

En 1982, Anaconda Canada Exploration Ltd., effectue une photo-interprétation géologique au nom de Denison Mines Ltd. dans le secteur couvrant la partie sud de la propriété Manthet et la partie sud-ouest de la propriété Martigny afin de noter les aires d'affleurements possibles propices à la prospection pour l'or. La présence presque'inexistante d'affleurements dans le secteur montre que l'exploration pour l'or dans ce secteur sera plus difficile et à coûts élevés (GM 39226).

En 1996, Ressources Minières Radisson réalise des levés géophysiques au sol (105,3 ligne-km de levés PP et 143,1 ligne-km de levés magnétiques) ainsi qu'un programme de forage sur leur propriété Lac Gignac, qui chevauche la partie sud du secteur Manthet/Martigny. En 1997-1998, un total de 15 anomalies magnétiques et de 30 anomalies PP ont été détectées (GM 55565, GM 59036). Suite à la géophysique,

Ressources minières Radisson complète un programme de forage (15 trous) pour tester les anomalies PP. Deux (2) de ces trous (LG98-18, et LG 98-25 - 394,45m) ont été effectués à proximité du lac Grady, dans la partie SE du secteur Manthet (GM 56041). Le forage LG98-18 a retourné 0,75% Zn sur 0,7 m (indice Lac Grady NE).

En 1997, Gowest Amalgamated Resources Ltd. et Jonpol Explorations Ltd. effectuent des levés géophysiques magnétiques et HLEM dans la moitié sud du secteur Manthet pour définir des anomalies à fort potentiel de contenir de la minéralisation aurifère (GM 55877). Une anomalie (HLEM-1) a été délimitée, près du linéament magnétique M-5 et a été considérée comme une cible de forage (GM 54654). Un total de 16,35 ligne-km de levé PP/résistivité a été effectué couvrant le même secteur et l'une des trois (3) anomalies (DD-2) sélectionnées comme cible de forage se situe à l'intérieur de la propriété Manthet (GM 55877). Toujours en 1997, Cyprus Canada Inc. réalise un levé magnétique et un levé PP qui chevauchent la partie nord de la propriété Manthet. Plusieurs anomalies PP sont identifiées avec des associations magnétiques locales possiblement causées par de la minéralisation dissimulées à semi-massive et massive (GM 54739). Ces levés ont été suivis par deux (2) forages totalisant 313,5 m (GM54740). Le forage SL 97-01 (175,5m), situé sur la propriété Manthet, a retourné 1,1 g /t Au sur 0,7 m, 1,0% Zn sur 0,3 m et 0,2% Cu sur 0,9 m (Indice de Zn - Manthet-SO).

Sur la propriété Manthet, 4 forages totalisant 694 mètres ont été effectués entre 1980 et 1997 (Figure 5). Le détail des travaux historiques est présenté en annexe I.

Les premiers travaux effectués sur la propriété Martigny, ont débuté par un levé magnétique et électromagnétique régional effectué au début de 1959 par Gresham Exploration Ltd., couvrant la partie est de la propriété Martigny (GM 08217-A). Des 58 conducteurs EM identifiés, 35 ont été considérés comme des conducteurs à fort potentiel et des levés géologiques et géophysiques ont été recommandés. La même année, Paudash Mines Ltd. a enquêté 24 des 35 conducteurs en utilisant des méthodes géophysiques au sol, incluant des levés magnétiques, gravimétriques et électromagnétiques (GM 13018, GM 10523). En 1975, des levés magnétiques et électromagnétiques au sol ont été

exécutés par Noranda Exploration couvrant la partie nord-ouest de la propriété Martigny (GM 31468). En 1980, Western Mines Ltd réalise un levé électromagnétique aérien dans le secteur de la rivière Turgeon couvrant la partie sud-ouest de la propriété Martigny (GM 36782).

Les premiers travaux de forage ont été effectués dans la région en 1981 par la Compagnie de Nickel du Canada. Huit (8) sondages ont été exécutés dans trois secteurs différents et analysés pour le Cu, Ni, Zn et Au (Figure 5). Trois (3) de ces forages, pour un total de 1 427 m, se situent à environ 200 m à l'est du lac Desloges dans le coin nord-ouest de la propriété Martigny. Aucun résultat significatif n'a été obtenu (GM 37602).

De 1982 à 1987, Queenston Gold Mines Ltd (Queenston) a complété des travaux d'exploration incluant des compilations géologiques et géophysiques, des levés géophysiques au sol et aéroportés (MAG et EM) et un programme de forage. La compilation a identifié deux (2) principales zones d'intérêt à fort potentiel économique couvrant le secteur du Lac Gratton, au centre de la propriété Martigny (GM 39924). En 1984, des levés magnétiques et électromagnétiques au sol (18,6 km) ont été réalisés. Deux (2) conducteurs, identifiés dans le secteur du Lac Gratton (GM 42167), ont été testés et suivis par un programme de forage. Deux (2) (DL-85-3 et 85-4-DL - 335,3m) des sept (7) forages se situent à proximité de Lac Gratton. La minéralisation a été identifiée dans le forage DL-85-3 retournant une valeur de 5,6 g/t Ag sur 2,0 m menant à la découverte de l'indice Lac Gratton Ouest (GM 44072).

Sur la propriété Martigny, 5 forages totalisant 1 762 mètres ont été effectués entre 1981 et 1987 (Figure 5). Le détail des travaux historiques est présenté en annexe I.

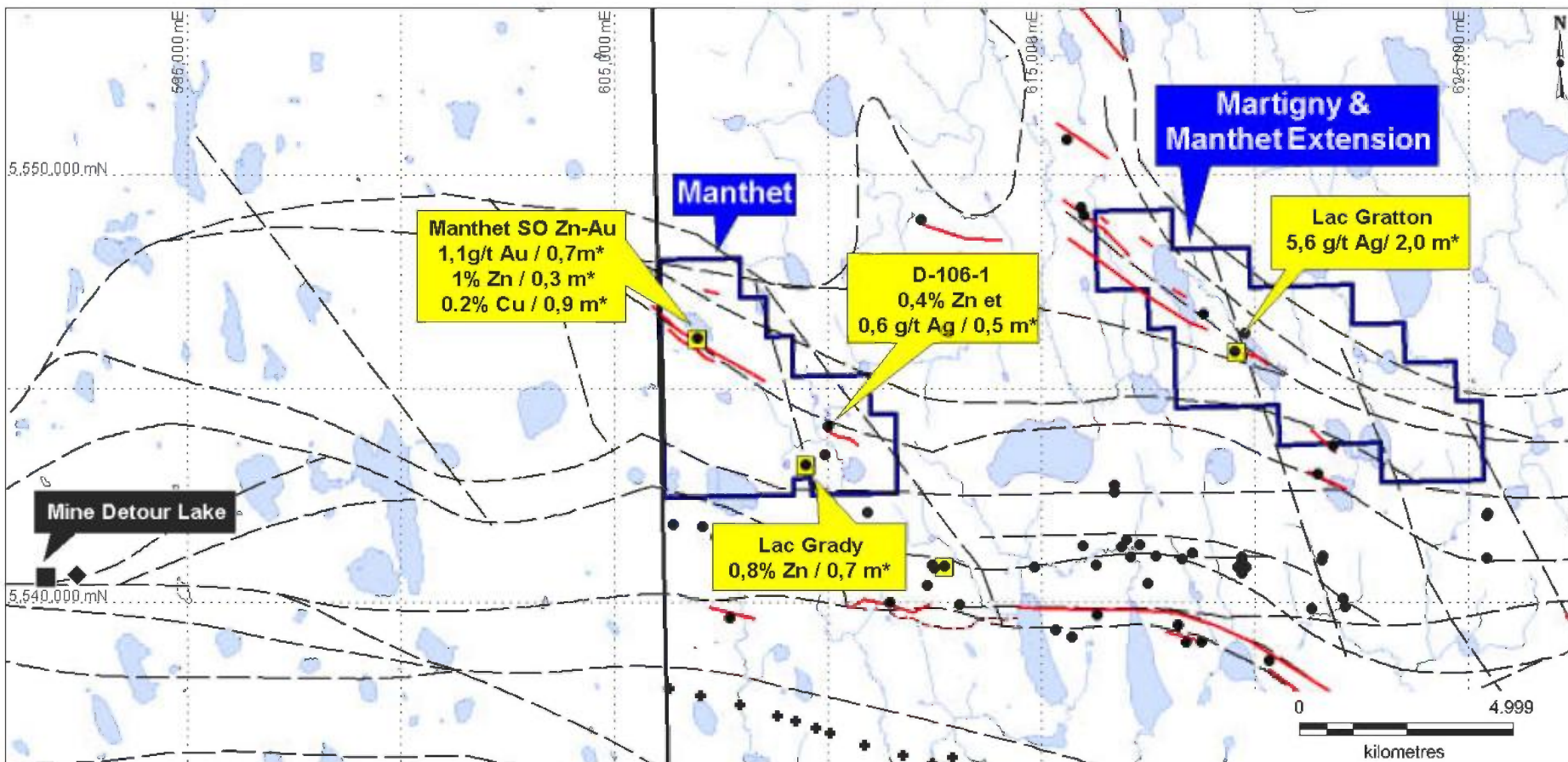


Figure 5

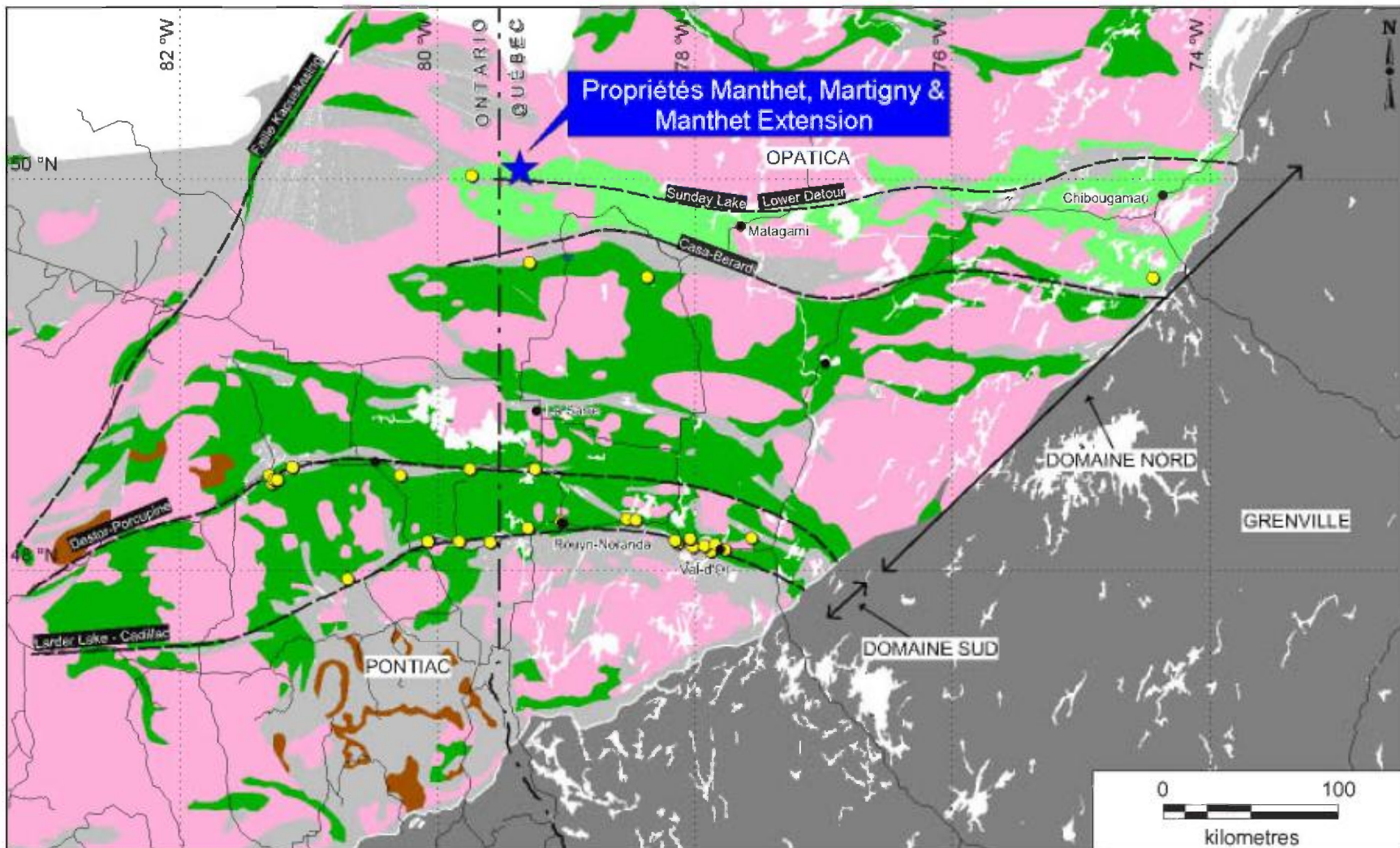
*Source Base de données du MNRQ et SIGEOM / UTM NAD83 - Zone 17

4 - Géologie régionale

Les propriétés Manthet et Martigny sont situées dans la partie nord-ouest de la zone volcanique Nord de la sous-province de l'Abitibi, une subdivision de la Province du Supérieur, le noyau archéen du Bouclier Canadien (Figure 6). La sous-province de l'Abitibi, communément appelée la ceinture de roches vertes de l'Abitibi, comprend des suites d'assemblages volcano-sédimentaires et des roches granitiques qui sont d'âge archéen (> 2,5 milliards d'années).

Les propriétés Manthet et Martigny sont situées plus précisément dans la partie nord-ouest du sillon Harricana-Turgeon (SHT) qui constitue la partie nord de la ceinture de roches vertes de l'Abitibi (Remick, 1969, Lacroix et al. 1990; Chown et al. 1992) (Figures 7 et 8). Ce sillon englobe des domaines volcano-sédimentaires et plutoniques s'étendant sur plus de 200 kilomètres selon un axe est-ouest et sur plus de 90 kilomètres selon un axe nord-sud. La limite nord du SHT est délimitée par la sous-province de l'Opatika composée de gneiss et de granites alors que la limite sud correspond au complexe plutonique syntectonique de Marest (Lacroix et al. 1990). Ces lithologies sont métamorphosées au faciès des schistes verts, et localement à celui d'amphibolite en bordure des intrusions syn à post tectoniques. Une importante augmentation du métamorphisme a été observée en direction du contact de la sous-province de l'Opatika.

Le plutonisme dans ce sillon est également divisé en deux (2) types représentant deux (2) séries magmatiques différentes typiques de la ceinture de roches vertes de l'Abitibi : une première série sodique et synvolcanique comme le batholite de Brouillan et le pluton de Joutel, et une série potassique tardive, telle que les plutons de Dunlop et du Lac Grasset. Ces intrusions tardives ne sont pas affectées par le métamorphisme régional (Lacroix, 1986). Toutes les roches décrites ci-dessus sont recoupées par des dykes de diabase de direction NO-SE et d'âge protérozoïques (Lacroix, 1991).

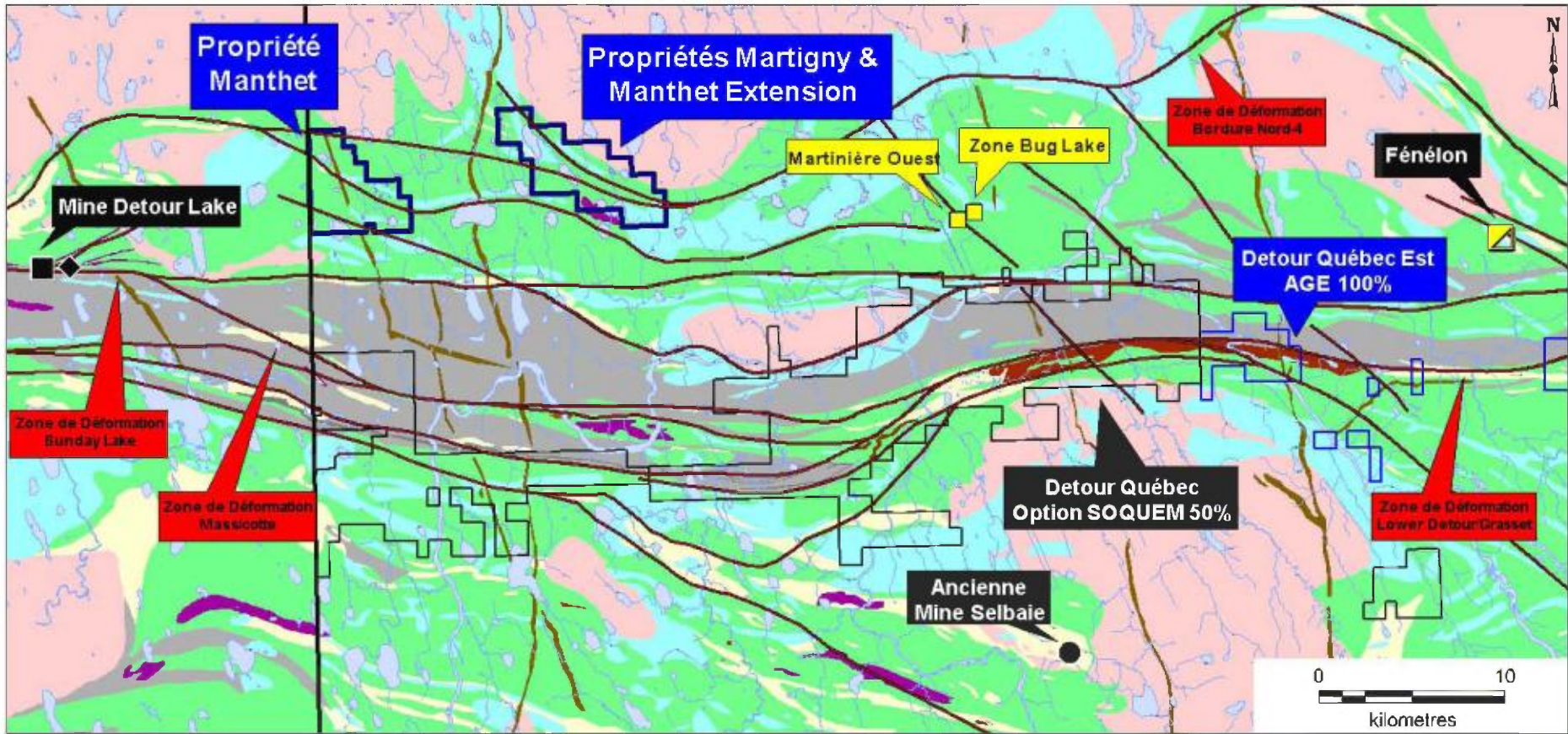


- Frontière Québec/Ontario
- Route
- Ville
- Dépôts Aurifères (>1M onces)*

- Ceinture de Roches Vertes de l'Abitibi (modifiée de Chown and al. 1992)
- Roche Volcanique Polycyclique
 - Roche Volcanique Monoclinique
 - Roche Intrusive
 - Roche Intrusive mafique-ultramafique
 - Roche Sédimentaire

*Source Site Internet de la CGC - World General Geoscience Database

Figure 6: Localisation Géologique Propriétés Manthet, Martigny et Manthet Extension
 Projet Detour Québec Nord
 Ceinture de l'Abitibi

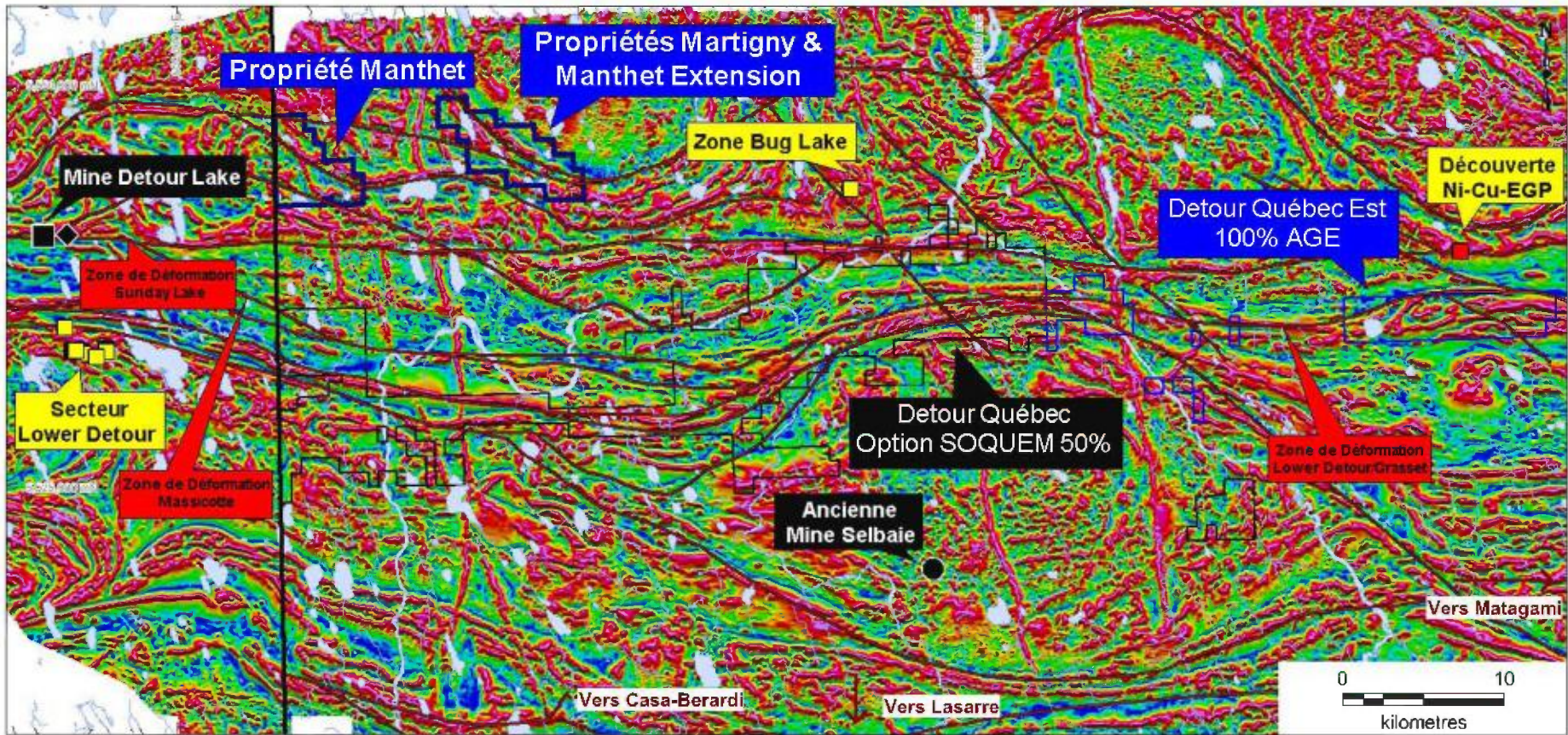


- Frontière Québec/Ontario
- Faille et Zone de Déformation
- ▭ Detour Québec - Option SOQUEM 50%
- ▭ Detour Québec Est - Adventure Gold 100%
- ▭ Propriétés Manthet, Martigny et Manthet Extension
Detour Québec Nord - Adventure Gold 100%
- Mine Aurifère Active*
- Opération de Métaux de Base
- ◆ Usine Active*
- ▧ Mine Aurifère Inactive*
- Indice Aurifère*

Légende Géologique*

- Roches Intrusives/Volcaniques Ultramafiques
- Roches Intrusives Mafiques
- Roches Volcaniques Mafiques
- Sédiments
- Diabase
- Roches Intrusives Felsiques
- Gabbro
- Formation de Fer
- Roches Volcaniques Intermédiaires à Felsiques
- Schiste

*Source Base de données SIGEOM du MRNQ / UTM NAD83 - Zone 17



4.1 - Stratigraphie et lithologies du sillon Harricana-Turgeon

Plus en détail, le sillon Harricana-Turgeon (SHT) est divisé en domaines lithotectoniques (Hocq, 1987) formant principalement des bandes d'orientation est-ouest et à pendage subvertical affectées par une déformation hétérogène et complexe généralement séparées par des bandes d'argilite et des schistes graphitiques renfermant de nombreuses anomalies électromagnétiques (EM). Ces domaines sont du nord au sud : les basaltes du domaine de Manthet (Assemblage de Deloro du côté ontarien), les roches sédimentaires du groupe de Matagami (Assemblage de Caopatica du côté ontarien), les basaltes du domaine de Brouillan Nord - Fénélon, le complexe volcanique de Brouillan, les basaltes d'Enjalran et la seconde unité sédimentaire d'envergure : les sédiments de Taïbi (Figure 9).

Domaine volcanique de Manthet

Le domaine volcanique de Manthet est situé immédiatement au nord du SHT. Le domaine de Manthet renferme la mine aurifère Detour Lake, et les gîtes aurifères Martinière et Fénélon. La limite sud du domaine (contact volcanique et sédiment de Matagami) correspond à la position de la zone de déformation Sunday Lake : zone de faille ductile majeure et structure aurifère d'importance à l'intérieur de la ceinture de roches vertes de l'Abitibi qui s'étend sur plus de 150 kilomètres suivant une direction est-ouest.

Le domaine volcanique de Manthet est caractérisé par une prédominance d'unités mafiques représentées par des basaltes et des andésites coussinées d'affinités tholeiitiques et contenant des filons-couches de gabbro et des roches de compositions intermédiaires (Lacroix, 1994). Olivier et al, (2010) ont décrit du côté ontarien, que l'assemblage de roches volcaniques basaltiques tholeiitiques est, soit des laves coussinées riches en fer (High Fe) ou des laves massives riches en magnésium (High Mg). De plus, le secteur sud en contact avec le groupe de Matagami/Caopatica renferme des roches ultramafiques komatiïques et des laves et des intrusions mafiques tholeiitiques riches en magnésium (High Mg). Le domaine de Manthet représente un environnement sous-marin de plaines

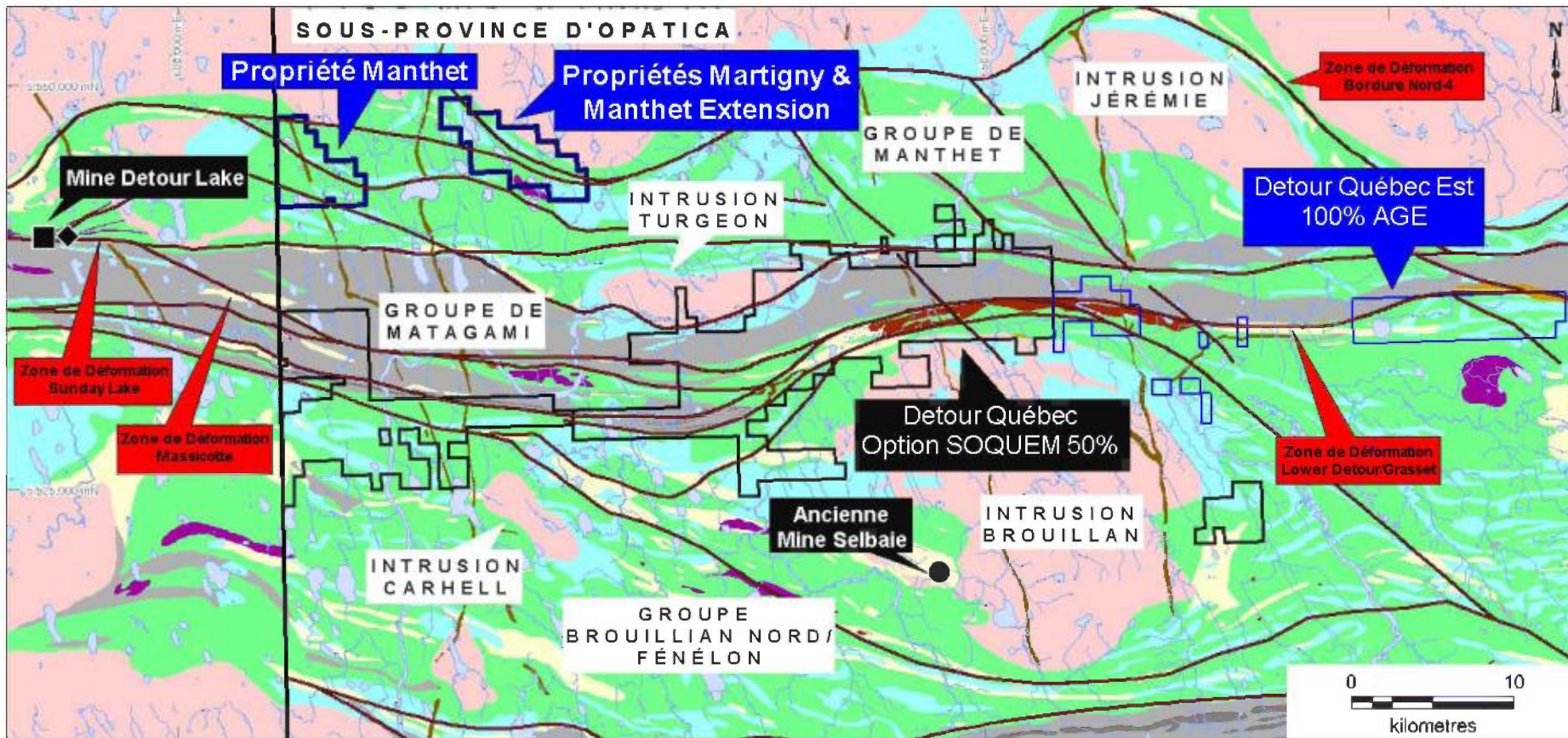
de lave intercalées avec des unités sédimentaires pélitiques et recoupées par des roches mafiques à ultramafiques (Lacroix et al. 1990).

Le degré de métamorphisme et de la déformation au sein de ce groupe augmente progressivement vers le nord en direction de la sous-province d'Opatoca. La région est considérée comme étant caractérisée par des unités lithologiques d'orientation est-ouest à sud-est et subverticale affectées par une déformation hétérogène et complexe. Le grain magnétique suggère une complexité stratigraphique et structurale dans ce domaine. Une d'importance, soit celle de Jérémie, est retrouvée du côté québécois, localisée au nord du gîte Fénélon.

Groupe sédimentaire de Matagami

Le groupe sédimentaire de Matagami montre une puissance de plus de huit (8) kilomètres pouvant être suivis sur plus de 130 kilomètres selon une orientation est-ouest. Du côté ontarien, l'assemblage de Caopatina est son équivalent stratigraphique et il est daté à 2,69 Ga (Olivier et al., 2010). Ce bassin sédimentaire est bordé de part et d'autre par les couloirs de déformation ductile Sunday Lake au nord et par Lower Detour/Grasset/Massicotte au sud, structures aurifères d'importance et d'extension kilométrique.

Les sédiments de Matagami sont surtout composés de séquences turbiditiques de grès/siltstones/argilite. Des conglomérats polymictes ont également été observés en forage et en affleurement (Lacroix, 1994). Un horizon de formation de fer oxydé (magnétite, chert et jaspe) situé au sud-ouest du groupe de Matagami marque le contact avec le complexe volcanique de Brouillan Nord - Fénélon. Le groupe renferme également des bandes de roches volcaniques mafiques et entre autres, le pluton de Turgeon, de composition monzodiorite quartzifère considéré comme étant syntectonique (Lacroix, 1994). Il s'est mis en place au sein du couloir de déformation Sunday Lake et fait partie d'une série d'intrusions tardi-à post-tectoniques qui vient s'insérer aux contacts et dans les zones de déformation limitant les domaines géologiques de cette région.



Domaine volcanique de Brouillan Nord - Fénélon

Le domaine volcanique de Brouillan Nord - Fénélon est en contact au nord avec le groupe sédimentaire de Matagami. Selon Lacroix 1994, le domaine est constitué de basaltes et correspondrait à un domaine basaltique tholéitique composé de laves massives, bréchiques ou coussinées, avec des intrusions gabbroïques intercalées. Des roches felsiques y sont également observées ainsi que des filons-couches de composition dioritique et gabbroïque et des roches ultramafiques. Comme les basaltes des domaines de Manthet et d'Enjarlan, Lacroix suggère que ces domaines correspondent aux plaines de laves sous-marines sur lesquelles des édifices volcaniques acides auraient été formés.

Complexe volcanique de Brouillan

Au sud des basaltes de Brouillan Nord - Fénélon, on retrouve le complexe volcanique de Brouillan. De nature bimodal (de composition basaltique à rhyolitique), il est principalement composé de laves et de pyroclastites felsiques à intermédiaires d'affinité calco-alkaline. Il est reconnu que le batholite de Brouillan, de composition tonalitique à dioritique, constitue la chambre magmatique commune au complexe de Brouillan (Larson 1987 et Lacroix 1994). L'édifice calco-alkaline est recoupé par de nombreux dykes et filons-couches comagmatiques ainsi que des gabbros - diorites de nature tholéitique. Ce complexe renferme l'ancien producteur polymétallique de la Mine Selbaie, qui a produit 53 Mt à 1,0 % Cu, 1,9 % Zn, 0,6 g/t Au et 4,1 g/t Ag entre 1982 et 2005 (MRNF - DV 2005-01).

En plus du pluton de Brouillan, on retrouve dans ce domaine, les plutons de Carheil et d'Enjarlan. Ces intrusions de composition granodioritique sont post-tectoniques (Lacroix, 1994).

4.2 - Structures du sillon Harricana-Turgeon

Le sillon Harricana -Turgeon (SHT) renferme un réseau régional et d'extension kilométrique sur plus de 200 kilomètres de corridors de déformation ductiles et interconnectés s'étendant du nord-est de l'Ontario jusqu'à l'est de Matagami. Les

propriétés Manthet et Martigny sont bordées au sud par la zone de déformation Sunday Lake qui marque le contact sud avec les basaltes du domaine de Manthet. Un autre couloir de déformation entre l'intrusion de Jérémie et la Sous-province de l'Opatoca recoupe la partie nord de la propriété Martigny (zone de déformation Bordure Nord-4) (Lacroix, 1994). Ces zones de faille majeures d'orientation générale est-ouest à légèrement NE-SO ou NO-SE, et à pendage vers le nord représentent des zones régionales de haute tension séparant deux régions contrastantes avec le grain magnétique. Dans l'ensemble, ces zones correspondent à des failles chevauchantes et à décrochement oblique et dextre (Lacroix et al, 1990).

Lacroix (1986, 1990) a décrit quatre (4) épisodes de déformation similaires à celles décrites par Daigneault et al. (2004) dans le SHT. La schistosité régionale S1 varie de NO-SE à E-O et elle est associée aux plis d'échelle régionale du synclinal d'Enjarlan, de l'anticlinal de Brouillan et possiblement d'un autre pli localisé dans le domaine de Matagami. D'autres plis ont été reconnus du côté ontarien dans le domaine de Manthet. Localement, la schistosité S2 est orientée E-O et crénule la schistosité S1. Les phases de déformation D3 et D4 observées dans le sud-est du complexe de Brouillan sont définies par des clivages de crénulation respectivement orientés NE et NO.

4.3 - Gîtologie et minéralisations du sillon Harricana-Turgeon

Au point de vue économique, le sillon Harricana -Turgeon a un potentiel non négligeable. Il comprend les camps miniers de Matagami (complexe volcanique de la Rivière Bell), de Selbaie (centre volcanique de Brouillan), de Joutel (complexe volcanique Joutel-Raymond), de Casa-Bérardi et de Detour Lake. Le SHT est prospectif à la présence d'or orogénique et aux gisements de sulfures massifs volcanogènes (VMS) incluant les gisements de Detour Gold et Selbaie. Les gisements découverts à ce jour sont de trois (3) types (Lacroix et al, 1990) :

1) les gisements polymétalliques de zinc, de cuivre, d'argent et d'or, généralement de type sulfures massifs volcanogènes (SMV), tous situés dans les domaines volcaniques « basaltiques à rhyolitiques ». Les dépôts de ce type sont l'ensemble des mines des camps

miniers de Matagami, de Joutel (excepté Telbel) ainsi que le gîte d'Estrée-Estrades. La mine Selbaie (1974, fermée en 2004) est la seule exception à la règle des VMS, étant de type veine / stockwerk avec de forts contrôles structuraux.

2) les gisements d'or sont d'origine orogénique de type filonien. Un groupe est principalement situé le long des unités de graphite associées aux zones de déformation ductile. Les dépôts de ce type sont la mine Detour Lake (1974, en opération depuis 2013), la mine Casa-Bérardi (anciennement « Golden Pond », découvert en 1981, toujours en activité) et le dépôt Vezza (1986, en phase de développement). Le dépôt Douay (1983) est associé à des intervalles silicifiés et/ou siliceux et à des intrusions alcalines alors que la mine Telbel (1967, fermée) est située dans des unités pyritiques de sulfures et une formation de fer de type carbonate.

3) un gisement de fer de type Algoma (Barlow Exploration Iron Hills) est présent dans la région (propriété Montgolfier).

La mine Detour Lake représente le gisement le plus significatif pour les propriétés Manthet et Martigny, située respectivement à 15 et 25 kilomètres à l'ouest des propriétés à la frontière du Québec et de l'Ontario et renferme actuellement des réserves prouvées et probables de 16,4 M onces d'or (Detour Gold Corporation, Réserves et Ressources Minérales 2015 conformément au Règlement 43-101, Detour Gold Corp. site internet). Antérieurement, Detour Lake (une mine souterraine et à ciel ouvert) avait produit de 1983 à 1999, 1,8 M onces. Cette mine se retrouve à la base du domaine de Manthet associée à la zone de déformation Sunday Lake (ZDSL). Les gîtes Martinière et Fénélon, situés plus à l'est, y sont également associés et représentent des gîtes aurifères d'intérêt. La section minéralisation décrira la mine Detour Lake et les principaux indices et ou gîtes minéralisés aurifères retrouvés dans le secteur et en périphérie des propriétés Manthet et Martigny d'Adventure Gold (Figure 7).

4.3.1 Minéralisation régionale

Mine Detour Lake (tiré du site internet de Detour Gold.)

La mine Detour Lake est située respectivement à 15 et 25 kilomètres à l'ouest des propriétés Manthet et Martigny d'Adventure Gold à la frontière du Québec et de l'Ontario (Figures 7 et 8). La mine Detour Lake fut l'objet d'une production minière entre 1983 et 1999 où un total de 1,77 million d'onces d'or (55 000 kg) a été extrait à une teneur de 4,6 g/t Au (Detour Gold Corporation, communiqué de presse daté du 25 janvier 2012). En février 2013, Detour Gold Corp. annonce la mise en production d'une opération à ciel ouvert qui deviendra la plus grosse mine aurifère au Canada. Les réserves prouvées et probables se chiffrent maintenant à 16,4 M onces d'or (Detour Gold Corporation, Réserves et Ressources Minérales 2015 conformément au Règlement 43-101, Detour Gold Corp. site internet).

La zone minéralisée est encaissée essentiellement dans l'assemblage de roches mafiques et ultramafiques du Groupe de Deloro (l'équivalent stratigraphique du domaine de Manthet) près du contact avec les sédiments de l'assemblage de Coapatoca (l'équivalent du groupe sédimentaire de Matagami). La minéralisation aurifère se retrouve principalement dans un couloir de 200 mètres (localement jusqu'à 350 mètres) de largeur de direction est-ouest à l'intérieur de l'éponte supérieure (du mur) de la zone de déformation Sunday Lake (ZDSL). La minéralisation aurifère est caractérisée par une série de zones composée de veines de quartz-carbonates et de pyrite-pyrrhotine et chalcopyrite. Une altération potassique et de la biotite y est également observée.

Zones aurifères de Martinière (tiré des 43-101 d'Equity Exploration Consultants, 5 janvier 2013 et Caracle Creek de décembre 2011)

La propriété Martinière, détenue par Ressources Balmoral, est située à 15 kilomètres à l'est de la limite est de la propriété Martigny, le long de la zone de déformation aurifère Sunday Lake (Figures 7 et 8). Aucun calcul de ressource n'est disponible à la date de rédaction de ce rapport, mais de nombreuses zones aurifères significatives ont été interceptées. La minéralisation sur la propriété Martinière n'est connue que par forage.

Trois (3) zones distinctes de minéralisations aurifères sont présentement connues soit : la zone Martinière Ouest, la zone Bug Lake et la zone Martinière Est, chacune possédant des styles distincts de lithologie, de structure et de minéralisation.

Les minéralisations aurifères identifiées sur la propriété Martinière sont localisées le long de zones de cisaillement qui semblent être des structures subsidiaires à la zone de déformation Sunday Lake (ZDSL). Les caractéristiques générales de la minéralisation sur cette propriété sont conformes avec un modèle d'or orogénique contrôlé structurellement, avec des variantes dans les veines et dans l'altération.

La minéralisation aurifère le long du corridor Martinière West est encaissée à l'intérieur d'un gabbro quartzifère faiblement à modérément cisailé près des contacts est et sud avec un ensemble d'unités sédimentaires et de roches volcaniques mafiques. La minéralisation aurifère est associée à de larges zones d'altération en séricite entourées de zones de veines et d'injections riches en sulfures silicatés. Les teneurs aurifères les plus élevées s'associent surtout à une abondance de pyrite, à une quantité moindre d'arsénopyrite et à une quantité minime de sulfures de métaux de base. Le type et l'association avec des sulfures polymétalliques du corridor Martinière West est distinct de ceux associés au corridor aurifère Bug Lake suggérant la présence à l'intérieur d'un système plus important d'au moins deux fluides aurifères distincts qui ont tous les deux une minéralisation aurifère à haute teneur.

La zone aurifère Martinière West (ZMW) est une zone de 400 mètres de long par 3 à 15 mètres de large de minéralisation aurifère associée à des sulfures qui a été suivi du socle rocheux à des profondeurs verticales de 325 mètres et qui demeure ouverte en profondeur. La ZMW est mieux développée à l'intérieur de la partie nord-est du corridor qui est tout juste à l'est de la «courbe» du corridor structural. Elle plonge vers le sud-ouest. La meilleure intersection aurifère en forage a titré 13,0 g/t Au sur 12,0 mètres (Ressources Balmoral - présentation corporative - Mai 2014).

La zone Martinière Est est composée essentiellement de basaltes intercalés et de dykes felsiques qui sont l'hôte de lentilles de sulfures semi-massifs à massifs. Les lentilles de

sulfures massifs sont principalement composées de pyrite et renferment plus de 50 % de sulfures avec un faible contenu en or et en métaux de base. Les forages ont indiqué la présence d'un couloir de cisaillement de direction nord-est, une altération en carbonates et une minéralisation aurifère à environ 300 mètres à l'est de la zone de faille Bug Lake qui a titré 11,3 g/t d'or sur 9,3 mètres (MDE-12-20). L'orientation de la minéralisation dans ce couloir n'est pas encore définie.

Comme avec toutes les minéralisations connues sur la propriété Martinière, l'enrichissement d'or dans la zone Martinière Est semble principalement contrôlé par la structure et la déformation. L'altération dans les zones est principalement composée de calcite et de dolomie, accompagnée localement par de la silice et/ou de la séricite. Il y a une faible association entre les zones aurifères et le système de dykes de phénocristaux de quartz-feldspath, de sorte que les bonnes teneurs en or sont souvent (mais pas exclusivement) trouvées dans le basalte fortement altéré/cisailé sur les bordures de ces dykes. L'unité de sulfures massifs ne semble pas être l'hôte de valeurs significatives d'or et de métaux de base, et ne pas avoir une association spatiale significative avec la minéralisation aurifère.

Le corridor aurifère Bug Lake est interprété comme étant un gîte d'or orogénique à contrôle structural dans une zone de faille précoce et souvent réactivée, d'orientation nord-sud, fortement à modérément inclinée (zone de faille Bug Lake - ZFBL). À ce jour, les travaux de forage ont suivi le corridor Bug Lake sur 1 200 mètres selon l'axe et demeure ouvert au sud vers la zone de déformation Sunday Lake. Les travaux de forage ont recoupé un environnement favorable à la mise en place de failles et d'une minéralisation aurifère à une profondeur verticale de plus de 400 mètres et le système demeure ouvert en profondeur. La minéralisation aurifère se présente dans plusieurs zones distinctes qui s'étendent collectivement à des largeurs de 30 mètres à plus de 120 mètres centrées autour du système de failles Bug Lake.

Le système de failles Bug Lake comprend un noyau composé d'un porphyre de quartz à grains fins. Ce porphyre s'accompagne de zones fortement bréchifiées, d'intenses injections de silice et d'altération en séricite. La minéralisation aurifère, typiquement

associée à de la pyrite à grains fins, se présente dans toutes les zones d'altération injectées par la silice qui entourent le porphyre et dans une structure subparallèle et des zones de veines développées dans l'éponte supérieure (toit) et l'éponte inférieure (mur) du système de failles Bug Lake.

Une minéralisation aurifère à teneur élevée (>5,0 g/t Au) est associée à l'intérieur des zones de minéralisation de pyrite, veines de quartz et minéralisation d'or visible accrues dans les parties du corridor les plus fortement déformées et altérées. De larges halos à faibles teneurs entourent généralement la minéralisation aurifère à teneurs élevées sur des mètres à des dizaines de mètres. Des intersections à teneur bonanza sont communes dans tout le système Bug Lake qui, au cours des deux dernières années, a produit des teneurs et des résultats d'épaisseur parmi les plus élevés jamais enregistrés dans toute la partie nord de l'Abitibi.

Gîte aurifère de Fénélon (tiré des 43-101 d'Innovexplo Janvier 2005 et celui de Leclerc et Giguère, 2010)

Le gîte aurifère de Fénélon, détenu par Ressources Balmoral, est située à environ 40 kilomètres à l'est de la limite est de la propriété Martigny (Figures 7 et 8). Il est situé au nord de la zone de déformation de Sunday Lake, dans des zones de cisaillement subsidiaires de direction nord-ouest encaissées dans des intrusions mafiques (gabbro ou pyroxénite). La minéralisation aurifère à haute teneur est contenue dans une série de zones de cisaillement renfermant des veines de quartz associées à environ 5 à 10 % de pyrrhotine, chalcopryrite et pyrite, et associées à une forte silicification.

Les ressources ont été estimées en septembre 2004 et ont été mises à jour en tenant compte des volumes extraits pour des essais métallurgiques. Les ressources mesurées et indiquées in situ sont estimées à 47 927 tonnes à une teneur de 19,6 g/t Au. De plus, les ressources présumées sont estimées à 27 245 tonnes titrant 12,8 g/t Au.

5 - Géologie locale

La géologie des propriétés Manthet et Martigny est connue que par les forages aux diamants réalisés. Très peu d'affleurements y ont été recensés, mais quelques affleurements furent reconnus dans la partie nord-ouest de la propriété Manthet. Toutes les observations stratigraphiques et structurales nous proviennent surtout des données de forage et de l'interprétation des signatures géophysiques, particulièrement les données du champ magnétique. La propriété est recouverte de 12 à 45 mètres de dépôts glacio fluviaux composés principalement de sable, de gravier et de boulder.

L'intégration de la cartographie géologique, des forages aux diamants, et les données géophysiques suggèrent que les propriétés sont composées par le domaine volcanique de Manthet (ou l'Assemblage Deloro), qui est l'hôte de la mine Detour Gold, des dépôts de Martinière et Fénelon (Figure 10).

Le domaine de Manthet est limité au nord par les granodiorites et les roches tonalitiques de la sous-province de l'Opatica qui se trouvent à la limite nord-est de la propriété Martigny. Au contact sud se trouve la zone de déformation Sunday Lake (ZDSL).

Le domaine de Manthet se compose principalement d'unités volcaniques / pyroclastiques mafiques intercalés dans des sédiments pélitiques et des gabbros et des intrusions mafiques à ultramafiques (Lacroix, 1994). Des bandes minces de formation de fer à facies de sulfures et oxyde ont été notées dans les horizons pyroclastiques/ sédimentaires. Dans la partie sud de secteur Manthet/ Martigny, il a été observé que certains des bandes minces de roches volcaniques rhyolitiques sont interdigitées avec de l'andésite. De plus, de minces horizons de schiste graphiteux de moins de 2 mètres d'épaisseur sont également intercalées dans les laves dans la partie sud du secteur Manthet/ Martigny (GM56041).

La stratigraphie du domaine de Manthet est orientée E-O à E-SE et son pendage est de 60° - 70° vers le nord. Elle est affectée par une déformation hétérogène et complexe. Le grain magnétique suggère une complexité stratigraphique et structurale dans le domaine

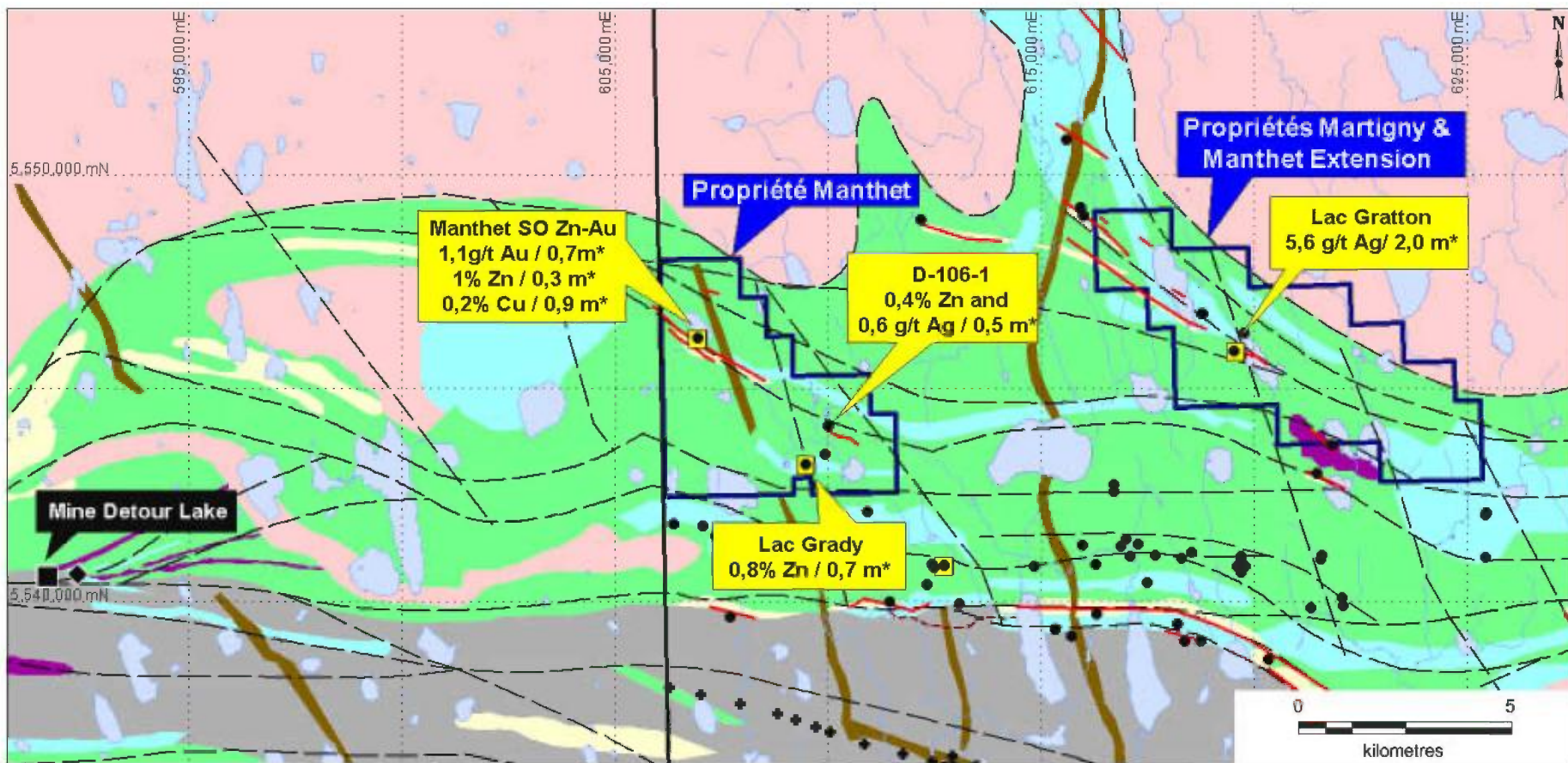
volcanique de Manthet. Ressource Radisson a également identifié deux zones de déformation, interprété comme des failles subsidiaires de la zone de déformation Sunday Lake, dans leur propriété Lac Gignac. Ces zones sont environ 1 km au sud des propriétés Manthet et Martigny (GM56041) et s'étendent sur plus de 600 m. Ils sont interprétés comme des schistes à séricite avec chloritoïdes de direction 330 °.

Un mince horizon de tuf indifférencié et de mudrocks graphiteux de direction NO-SE est observé dans toute la propriété Manthet jusque dans la partie ouest de la propriété Martigny. De petites intrusions mafiques orientées NO-SE (dont l'un est l'hôte de l'indice Lac Grady) sont observées dans les deux propriétés.

Plusieurs dykes de diabase du Protérozoïque, généralement orientés nord-est et sud-ouest et à pendage subvertical, recoupent les roches volcaniques de la région. De façon générale, le métamorphisme se situe au faciès des schistes verts.

5.1 - Structures

Dans le secteur des propriétés Manthet et Martigny, la zone de déformation Sunday Lake (ZDSL), de direction est-ouest, ductile et régionale séparent les roches volcaniques du Groupe de Manthet au nord et les sédiments du Groupe sédimentaire de Matagami. Elle est spatialement associée à d'importantes minéralisations d'or orogénique y compris le gisement de Detour Lake (Ritchie et al., 2012). La ZDSL borde au sud les propriétés Manthet et Martigny. La largeur de la ZDSL varie entre 200 et 500 mètres en moyenne et peut être tracée à travers l'Ontario et le Québec sur plus de 150 kilomètres. Le contact entre le groupe de Matagami et le domaine volcanique de Manthet est l'emplacement pour le cisaillement de SLDZ qui pente à 72° à 82° vers le sud-sud-ouest (Wagner, 2012). Au nord de la ZDSL, un autre couloir de déformation entre l'intrusion de Jérémie et la Sous-province de l'Opatica recoupe la partie nord de la propriété Martigny (zone de déformation Bordure Nord-4) (Lacroix, 1994).



- — Faille et Zone de Déformation
- Limite Québec/Ontario
- Mine Aunfère Active*
- ◆ Usine Active*
- Indice Aurifère*
- Forage historique*
- ✦ Forage à circulation inversé historique*
- Tracé Input

Propriétés Manthet, Martigny et Manthet Extension
 Detour Québec Nord- Adventure Gold 100%

Légende Géologique

- Roches Intrusives/ Volcaniques Ultramafiques
- Roches Volcaniques Mafiques
- Diabase
- Gabbro
- Roches Volcaniques Felsiques à Intermédiaires
- Roches Intrusives Mafiques
- Sédiments
- Roches Intrusives Felsiques
- Formation de Fer
- Schiste

Figure 10

*Source Base de données du MNRQ et SIGEOM / UTM NAD83 - Zone 17

5.2 - Minéralisations

La section minéralisation décrira le contexte géologique des principaux indices minéralisés retrouvés sur les propriétés Manthet et Martigny (Figure 10).

5.2.1 - Indice D-106-1

Les premiers travaux d'exploration sur la propriété Manthet ont été exécutés en 1980 par Selco Mining Corp. et ont consisté en des levés magnétiques et HLEM, recouvrant la partie SE de la propriété. Un trou de forage (D-106-1, 124 m) visant à tester une faible anomalie INPUT a retourné des valeurs de 0,4% Zn et 0,6 g/t Ag sur 0,5 m dans des roches volcaniques et des sédiments riches en filonnets de pyrite-pyrrhotine (GM 36917).

5.2.2 - Indice Manthet SO

En 1997, Cyprus Canada Inc. réalise un levé magnétique et un levé PP qui chevauchent la partie nord de la propriété Manthet. Plusieurs anomalies PP sont identifiées avec des associations magnétiques locales possiblement causées par de la minéralisation dissiminées à semi-massive et massive (GM 54739). Ces levés ont été suivis par deux (2) forages totalisant 313,5 m (GM54740). Le forage SL 97-01 (175,5m), situé dans la partie nord-ouest de la propriété Manthet, a retourné une valeur de 1,13 g /t Au sur 0,74 m, 1,0% Zn sur 0,3 m et 0,2% Cu sur 0,9 m dans des volcanites mafiques cisailées près de la surface (à 12,4 m de profondeur) et a été identifié comme l'indice de Zn - Manthet SO. Dans le même forage (SL97-01), une valeur de 9100 ppm de Zn sur 0,34 m entre 84,5 m à 84,9 m (GM54740). Cette intersection minéralisée a été trouvée dans une séquence de pyroclastiques cisailées et altérées en alternance avec des bandes d'argilite, la partie supérieure étant fortement silicifiée. La minéralisation est associée à des sulfures (3% de pyrite et de 7% pyrrhotine) et quelques filonnets de sphalérite.

5.2.3 - Indice Lac Grady

En 1996, Ressources Minières Radisson réalise des levés géophysiques au sol (105,3 ligne-km de levés PP et 143,1 ligne-km de levés magnétiques) ainsi qu'un programme de forage sur leur propriété Lac Gignac, qui chevauche la partie sud du secteur Manthet/Martigny. En 1997-1998, un total de 15 anomalies magnétiques et de 30 anomalies PP ont été détectées (GM 55565, GM 59036). Suite à la géophysique, Ressources minières Radisson complète un programme de forage (15 trous) pour tester les anomalies PP. Deux (2) de ces trous (LG98-18, et LG 98-25 - 394,45m) ont été effectués à proximité du lac Grady, dans la partie SE du secteur Manthet (GM 56041). Le forage LG98-18 a retourné 7539 ppm Zn sur 0,73 m dans un horizon silicifiée (indice Lac Grady NE). La minéralisation a été trouvée en association avec de la pyrite et des amas de pyrrhotine (1-2 mm de largeur et jusqu'à 10 mm de longueur) allongés le long de la foliation (GM56041).

5.2.4 - Indice Lac Gratton

À l'ouest du lac Gratton, dans la partie centre de la propriété Martigny, le forage DL-85-03 effectué par Queenston Ltée. En 1985, a retourné une valeur de 5,60 g/t Ag sur 2 m (indice du Lac Gratton). La minéralisation consiste en pyrite, sphalérite, de graphite et d'argent natif dans un tuf graphitique intercalé avec des roches volcaniques mafiques fortement carbonatées et faiblement silicifiées (GM 44072).

6 - Travaux réalisés par Adventure Gold

6.1 Travaux réalisés avant 2016

Une compilation exhaustive a été entreprise en 2010 et complétée en août 2013. Cette compilation détaillée a impliqué :

- La compilation de tous les forages touchant les propriétés Manthet et Martigny et en périphérie. Ces derniers ont été résumés et entrés dans une base données numériques sous format Géotic qui a servi à la réalisation de cahiers de sections, de plans de surface et de longitudinales de plusieurs secteurs d'intérêt;
- La compilation et le traitement des données magnétiques aéroportées qui ont permis de compléter l'interprétation géologique, de tracer les contacts géologiques et les structures modifiant le schéma stratigraphique.

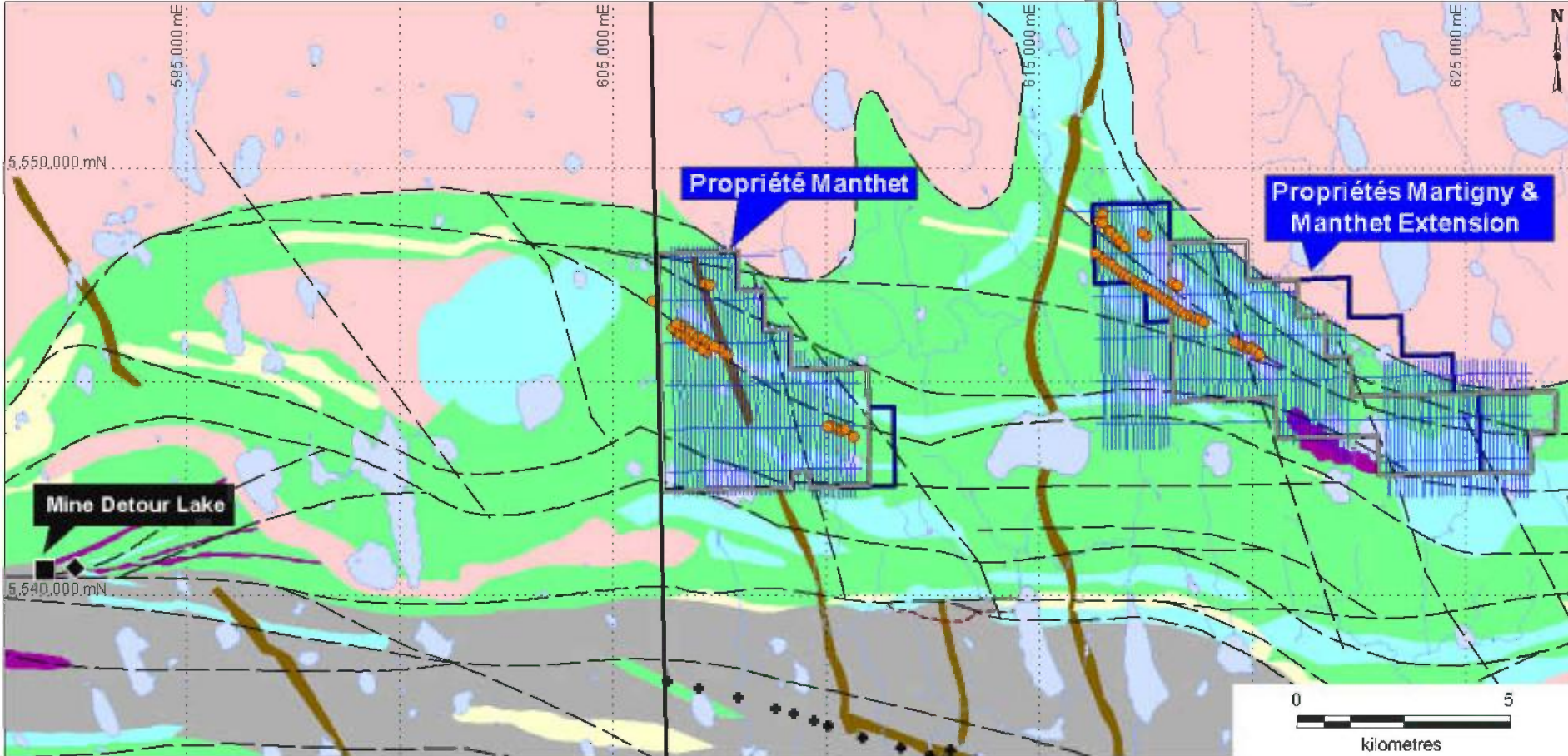
L'intégration des informations géoscientifiques incluant particulièrement les forages a permis de définir un fort potentiel, de cerner des secteurs propices et de justifier des recommandations de travaux additionnels de géophysique à la recherche de minéralisations aurifères et de métaux de base.

Entre 2012 et 2013, Adventure Gold a complété 912 km de levés magnétiques héliportés de haute définition dont 469 kilomètres sur Martigny et 443 kilomètres sur Manthet ainsi que deux levés de type VTEM totalisant 617,9 km dont 219,5 km sur Manthet et 398,4 km sur Martigny (Figure 11). De nombreuses anomalies d'intérêt ont été définies et le lecteur est invité à consulter les rapports de géophysique et le rapport de compilation de 2013 (GM66268 et GM67690 dans la base de données SIGEOM du MERN).

6.2 Travaux réalisés en 2016

À l'hiver 2016, Adventure Gold a complété 6 kilomètres de levés de polarisation provoquée sur la propriété Martigny (voir carte en annexe II). Le lecteur est invité à consulter le rapport de Joël Simard, février 2016, ref 16C-199 déposé au MERN.

Entre le 16 janvier et 28 janvier 2016, 732 mètres répartis en trois (3) sondages ont été réalisés sur la propriété Manthet (2) et Martigny (1) sur les claims, 2211998, 2212019, 2212020, 2212016 et 2322191 (carte en annexe II). Le tableau 2 résume les spécifications techniques du forage. Cette campagne a été planifiée et suivie par Mathieu Guay, géologue senior et Elisabeth Tremblay, géologue pour Adventure Gold et



- — Faille et Zone de Déformation
- Limite Québec/Ontario
- Mine Aurifère Active*
- ◆ Usine Active*
- Levés magnétiques aéroportés 2011
- Levés VTEM aéroportés 2013
- Indice Aurifère*
- Anomalies VTEM
- Propriétés Manthet, Martigny et Manthet Extension
Detour Québec Nord- Adventure Gold 100%

Légende Géologique

- Roches Intrusives/
Volcaniques
- Gabbro
- Sédiments
- Ultramaïfiques
- Roches Volcaniques
- Felsiques à
Intermédiaires
- Roches Intrusives
Felsiques
- Mafiques
- Roches Volcaniques
Mafiques
- Formation de Fer
- Diabase
- Schiste

*Source Base de données du MNRQ et SIGEOM / UTM NAD83 - Zone 17

supervisée par Jules Riopel, Vice-président exploration & acquisition d'Adventure Gold. Forage Orbit- Garant de Val-d'Or a effectué les travaux de forage avec une foreuse hélicoptée. Les échantillons pour déterminer le contenu en or ont été envoyés au laboratoire commercial de Techni-Labs-Aclabs de St-Germaine de Boulé. Au total, 396 échantillons ont été recueillis et analysés pour l'or par pyroanalyse avec finition par absorption atomique sur 50 g de matériel incluant 7 échantillons de contrôle. Lorsque les valeurs étaient supérieures à 3 g/t, une seconde pyroanalyse avec finition par gravimétrie y a été effectuée. De plus, une analyse pour 21 éléments en traces par ICP a complété le tout. À la rédaction du rapport, aucune analyse n'avait été reçu et ces dernières seront intégré au rapport ultérieurement.

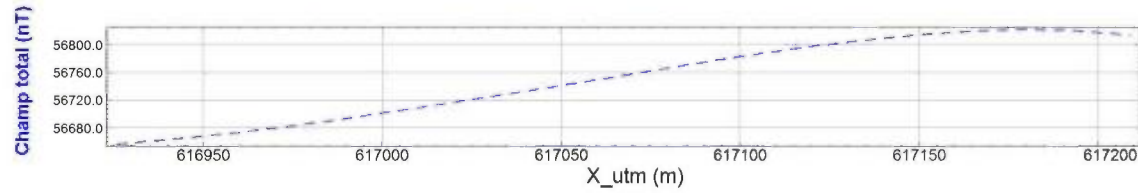
Tableau 2 : Spécifications techniques des forages de 2016.

Sondage	Claim	Coordonnée nord	Coordonnée est	Azimut	Pendage	Longueur mètres	N° Échantillon
MM-16-01	2322191	5 548 945	616 990	240°	-50°	375	142
MM-16-02	2211998	5 544 024	610 267	205°	-54°	177	41
MM-16-03	2212019, 2212020 et 2212016	5 546 280	606 795	211°	-52°	210	213
Total						732	396

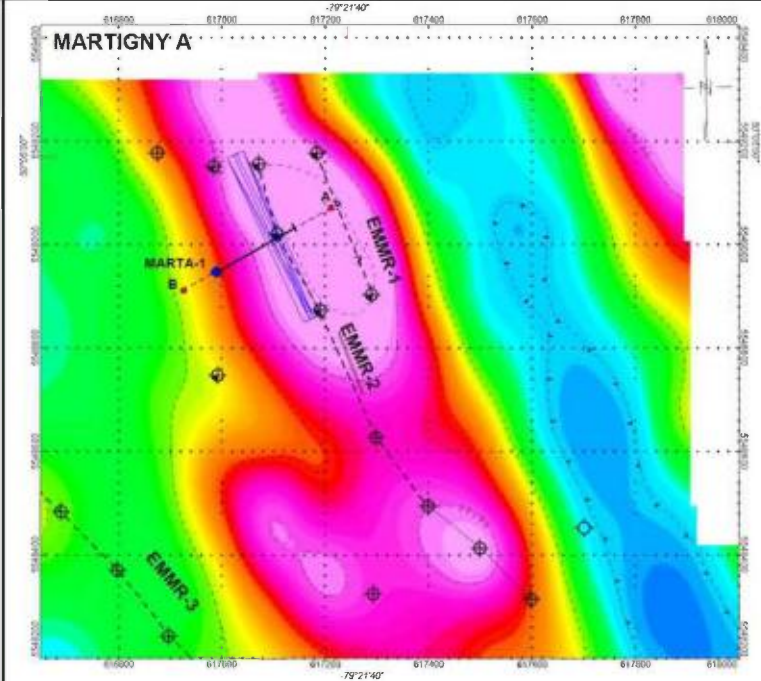
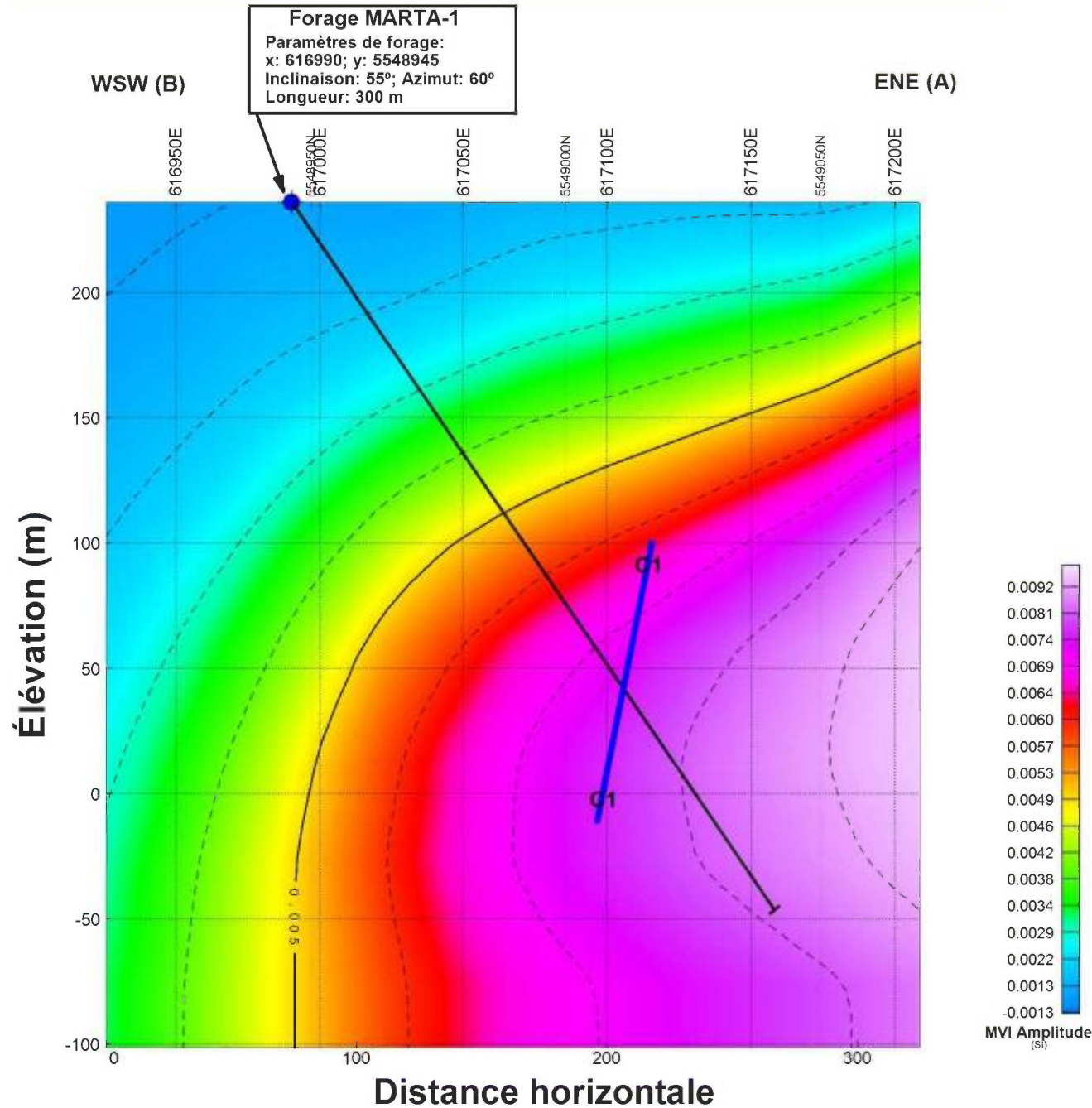
Le sondage MM-16-01 avait comme objectif de tester une anomalie VTEM sur la propriété Martigny dans un secteur où il y a très peu d'information géologique (Figure 12).

Les sondages MM-16-02 et MM-16-03 avaient comme objectif de tester deux anomalies VTEM sur la propriété Manthet à proximité d'intersections historiques de forage qui ont retourné des valeurs de 0,4%Zn sur 0,5 m (D-106-1) et de 1,1 g/t Au sur 0,74 m, 1,0% Zn sur 0,3 m et 0,2% Cu sur 0,9 m (indice Manthet SO) (Figures 13 et 14).

PROFIL DU CHAMP MAGNÉTIQUE TOTAL



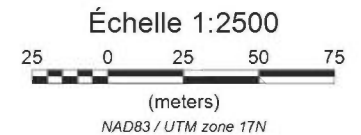
RÉSULTAT D'INVERSION VECTORIELLE MAG 3D SECTION 2D DU SOUS-SOL EN SUSCEPTIBILITÉ PASSANT PAR LE FORAGE MARTA-1



PROJET DETOUR LAKE, PROPRIÉTÉ MARTIGNY SECTEUR MARTIGNY A

LOCALISATION DES CONDUCTEURS VTEM EN SURIMPRESSION SUR L'IMAGE MAGNÉTIQUE EN CHAMP TOTAL

Conducteur 1: Sommet : 139 m
 Pendage: 78° (ENE)
 Continuité verticale : 100 m
 Conductivité*épaisseur: 224 Siemens
 Conductivité : 16 (S/m)
 Épaisseur: 14 m

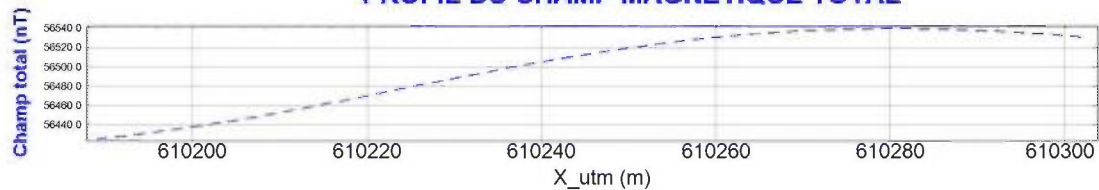


Vertical Exaggeration: 1

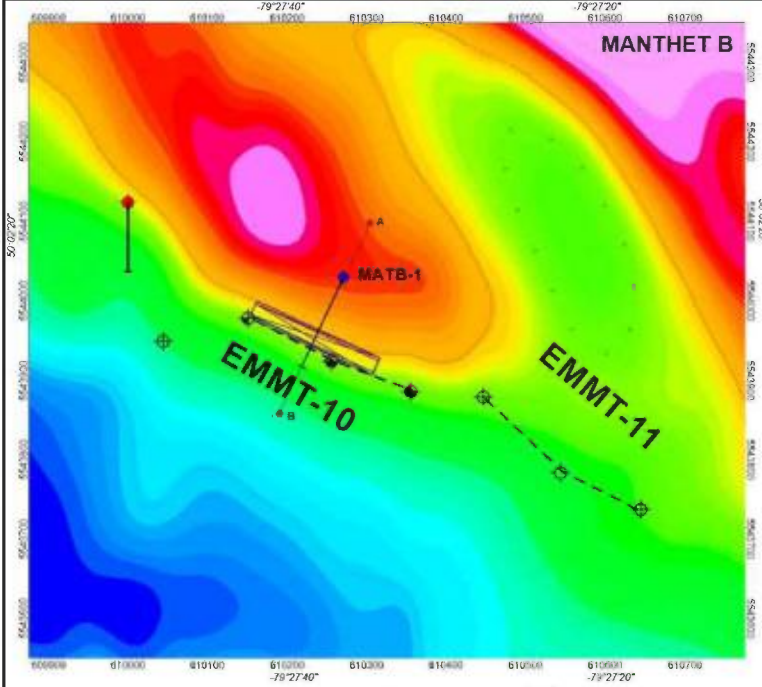
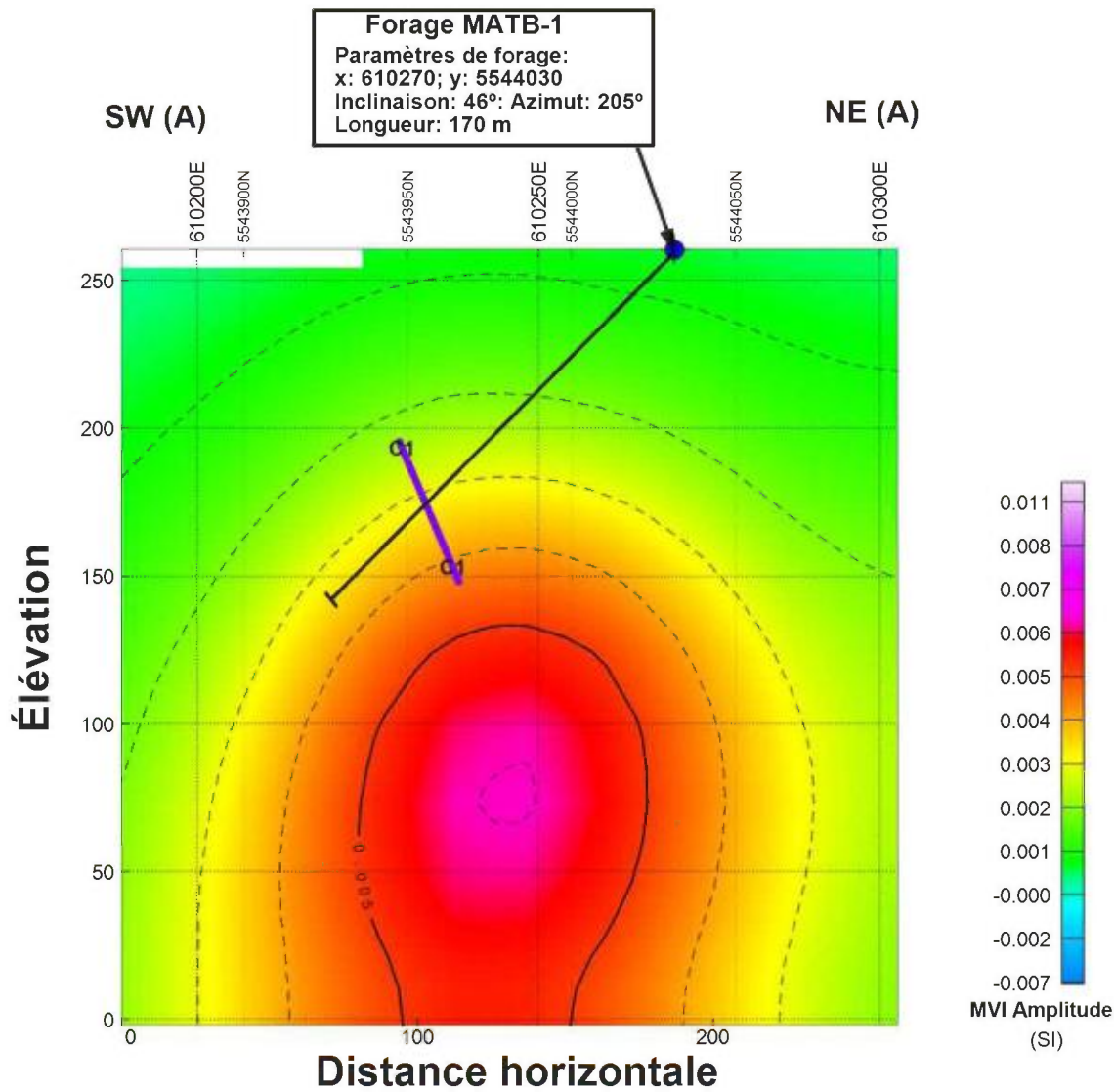
PROJET DETOUR LAKE PROPRIÉTÉ MARTIGNY, SECTEUR MARTIGNY A

RÉSULTAT D'INVERSION VECTORIELLE MAG 3D
 COUPE DU SOUS-SOL EN SUSCEPTIBILITÉ MAGNÉTIQUE ET
 SITUATION DES CONDUCTEURS VTEM ET DU FORAGE MARTA-1

PROFIL DU CHAMP MAGNÉTIQUE TOTAL



**RÉSULTAT D'INVERSION VECTORIELLE MAG 3D
SECTION 2D DU SOUS-SOL EN SUSCEPTIBILITÉ PASSANT PAR LE FORAGE MATB-1**



**PROJET DETOUR LAKE, PROPRIÉTÉ MANTHET
SECTEUR MANTHET B**
 LOCALISATION DES CONDUCTEURS VTEM EN
 SURIMPRESION SUR L'IMAGE MAGNÉTIQUE EN CHAMP TOTAL

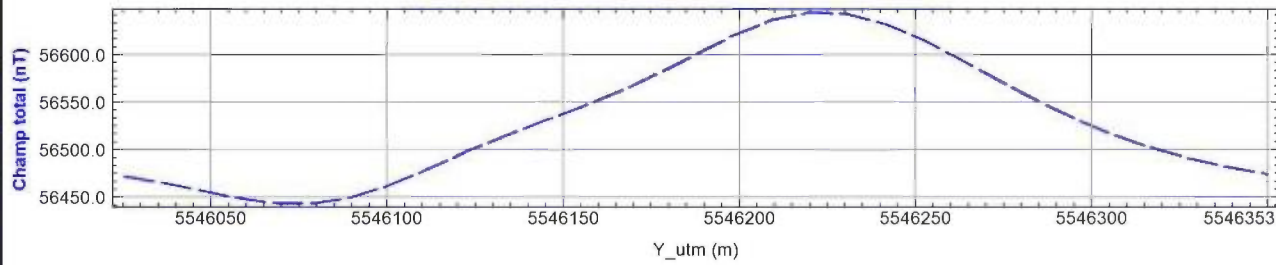
Conducteur 1: Sommet : 66 m
 Pendage : 67° (NE)
 Continuité verticale : 50 m
 Conductivité*épaisseur: 400 Siemens
 Conductivité : 100 (S/m)
 Épaisseur: 4 m



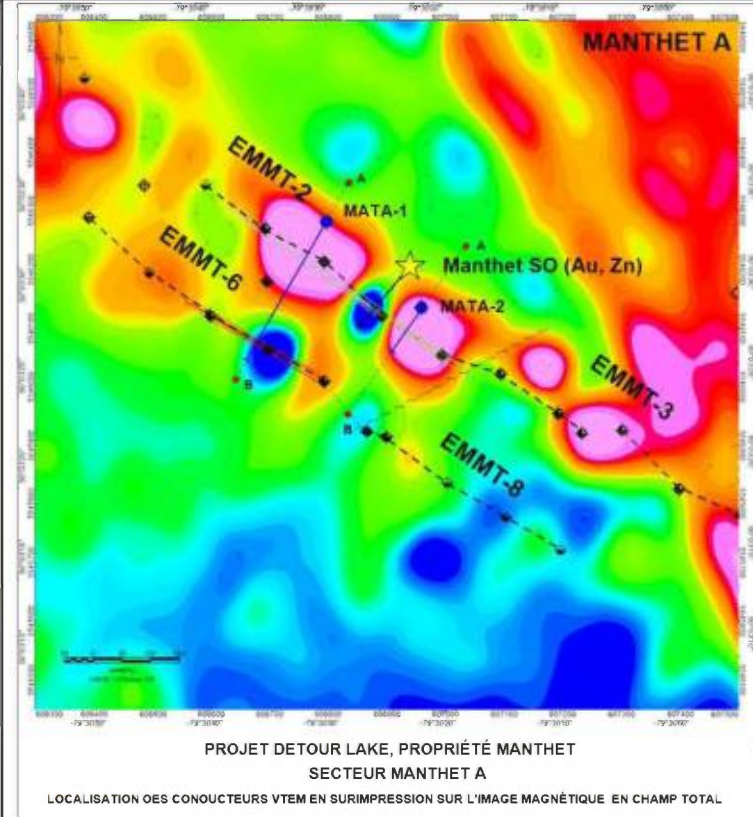
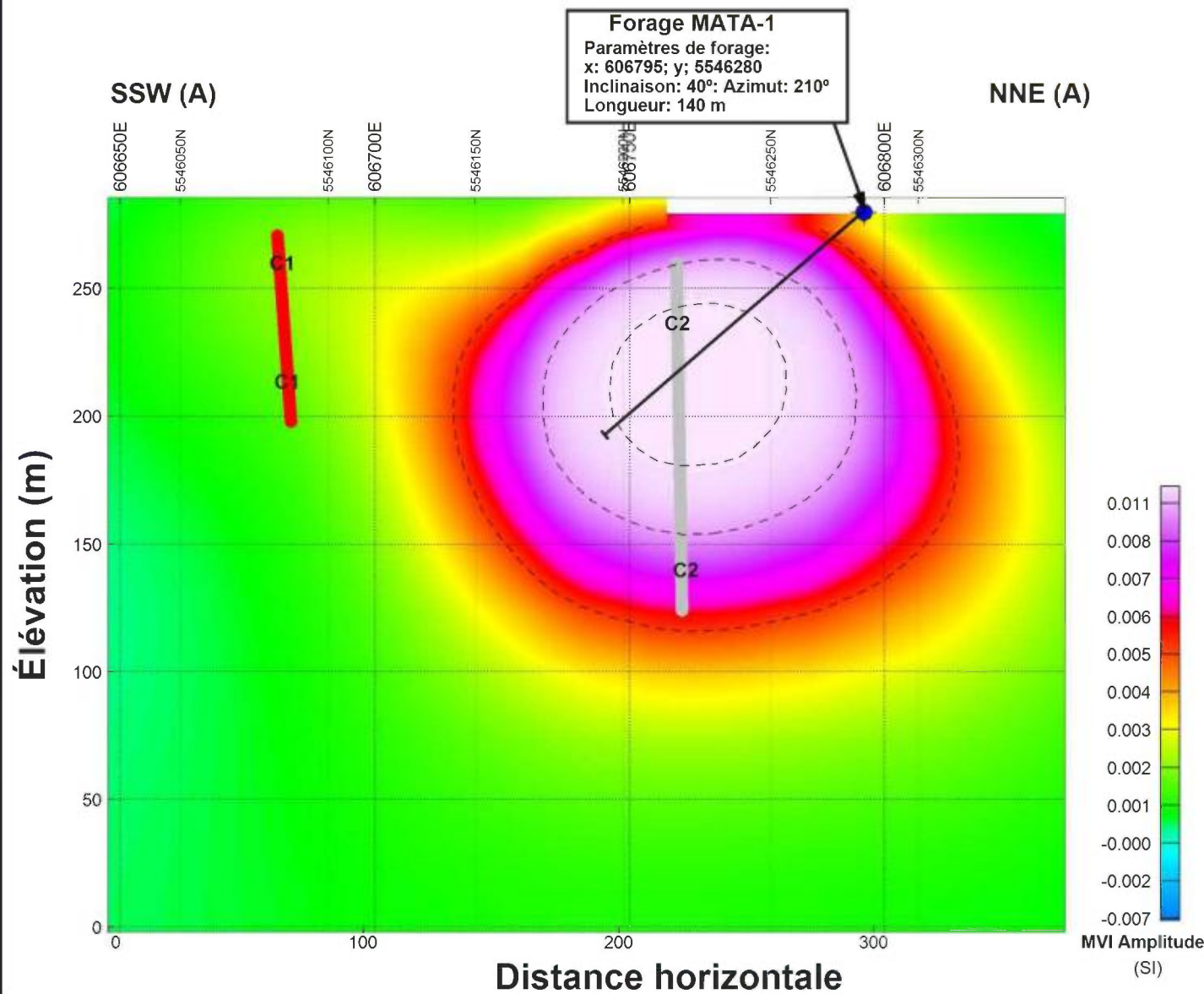
Vertical Exaggeration: 1

**PROJET DETOUR LAKE
PROPRIÉTÉ MANTHET, SECTEUR MANTHET B**
**RÉSULTAT D'INVERSION VECTORIELLE MAG 3D
COUPE DU SOUS-SOL EN SUSCEPTIBILITÉ MAGNÉTIQUE ET
SITUATION DU CONDUCTEUR VTEM ET DU FORAGE MATB-1**

PROFIL DU CHAMP MAGNÉTIQUE TOTAL

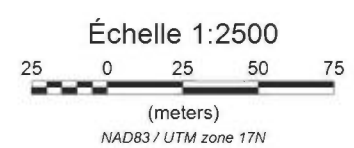


RÉSULTAT D'INVERSION VECTORIELLE MAG 3D SECTION 2D DU SOUS-SOL EN SUSCEPTIBILITÉ PASSANT PAR LE FORAGE MATA-1



PROJET DETOUR LAKE, PROPRIÉTÉ MANTHET
 SECTEUR MANTHET A
 LOCALISATION OES CONDUCTEURS VTEM EN SURIMPRESSION SUR L'IMAGE MAGNÉTIQUE EN CHAMP TOTAL

- Conducteur 1:**
 Sommet : 12.5 m
 Pendage: 86° (NNE)
 Continuité verticale : 85 m
 Conductivité*épaisseur: 315 Siemens
 Conductivité : 45 (S/m)
 Épaisseur: 7 m
- Conducteur 2:**
 Sommet : 16.5 m
 Pendage: 89° (NNE)
 Continuité verticale : 130 m
 Conductivité*épaisseur: 225 Siemens
 Conductivité : 25 (S/m)
 Épaisseur: 9 m



Vertical Exaggeration: 1

PROJET DETOUR LAKE PROPRIÉTÉ MANTHET, SECTEUR MANTHET A

RÉSULTAT D'INVERSION VECTORIELLE MAG 3D COUPE DU SOUS-SOL EN SUSCEPTIBILITÉ MAGNÉTIQUE ET SITUATION DES CONDUCTEURS VTEM ET DU FORAGE MATA-1

L'information détaillée de cette campagne se retrouve en annexe soit :

- ✓ En annexe II, la carte de localisation des forages de 2016 sur fond du gradient magnétique vertical;
- ✓ En annexe III, les sections des forages de 2016;
- ✓ En annexe IV, les descriptions des forages de 2016;
- ✓ En annexe V, les certificats d'analyses.

Au total, des dépenses de 161 100\$ ont couvert la campagne de forage de 2016.

7 - Résultats et discussions

7.1 - MM-16-01

Le sondage MM-16-01 a nécessité 22,5 mètres de tubage avant d'atteindre la roche. La lithologie principale rencontrée est un basalte massif à localement bréchique, légèrement magnétique, carbonaté et folié jusqu'à 144,67 mètres. Quelques dykes de diorite à grains fins et très carbonatés de 1,5 à 4,7 mètres recourent le basalte. La minéralisation en sulfures (pyrite surtout) est un peu éparpillée (<1%) tout au long de l'unité, parfois associée avec des veines de tension de quartz-biotite (Figure 15). Par la suite, le sondage est entré dans une zone de faille très schisteuse avec présence de boue de faille et de veines de quartz et biotite ainsi que des traces de pyrite de 144,67 m à 149,63 m. Elle est suivie de 149,63m jusqu'à 280,20 m par une épaisse séquence de basalte cisailé, carbonaté, silicifié et minéralisé, marqué par de fins rubans de biotite. La minéralisation en sulfures (pyrite surtout) est un peu éparpillée tout au long de l'unité, parfois associée avec des veines. Toutefois, une zone minéralisée composée de 5 à 7% de pyrrhotite, 1% de pyrite et moins de 1% de chalcopyrite a été interceptée entre 213,98 m et 217,66 m. Les sulfures se présentent sous forme de laminations parfois plissées en amas dans des zones plus silicifiées avec des sections centimétriques contenant de la fuschite (Figure 16). Une section très cisailée et friable, présentant des micros plis, non minéralisée est également présente entre 182,70 m et 183,10 m. Vers 214,0 m, on note que l'altération en carbonate se dissipe et quelques zones silicifiées et plus faiblement minéralisées contenant 1% de pyrite et de rares rubans de pyrrhotite ont été recoupées (Figure 17). Un basalte massif, légèrement magnétique injecté de veines de quartz et de quartz-biotite contenant localement des sulfures se retrouve entre 280,20 m et 330,10 m pour se

terminer à 345,0 m dans une dacite massive cisailée recoupée d'un dyke de diorite à grains fins.

Ce sondage a été placé afin de tenter d'expliquer un axe conducteur VTEM. Avec la zone minéralisée recoupée entre 213,98 m et 217,66 m, l'axe VTEM est considéré être expliqué.

7.2 - MM-16-02

Le sondage MM-16-02 a nécessité 44,75 m de tubage avant d'atteindre la roche. Toutefois, 3,5 m de carottes ont été récupérées avant le tubage et sont composées de dykes intermédiaires à mafiques à grains moyens et magnétiques avec des traces de pyrite et chalcopirite en alternance avec de l'argilite laminée contenant jusqu'à 2% de pyrite-pyrrhotite. De 44,75 m à 95,30 m, la lithologie principale est composée d'argilite graphiteuse finement laminée, intercalée avec des niveaux d'arénites, de wackes contenant localement des clasts siliceux avec des traces à 2% de pyrite-pyrrhotite dissimulées et dans des veines et veinules de carbonates (moins de quartz) également. Deux sections montrent des concentrations de pyrite-pyrrhotite de 50-75% entre 92,6 m à 93,2 m, et entre 93,55 m et 94,55 m et une autre de 15-20% entre 94,55 m et 95,3 m (Figure 18). Elles se présentent principalement en bandes de sulfures semi-massifs et dissimulées et sont très silicifiées. Quelques dykes centimétriques de composition intermédiaires à mafiques à grains fins contenant des traces jusqu'à 5-7% de pyrite-pyrrhotite dissimulées et dans les fractures recoupent l'argilite entre 63,23 m et 63,95m et entre 93,2 m et 93,55 m. On note la présence de structures de "slump" et de "load casts" localement dans la roche et une veine de sable (carotte non récupérée) à 63,0 m. Le reste et jusqu'à la fin du forage, soit à 177,0 m, consiste en un basalte aphanitique à grains fins, cisailé avec des traces jusqu'à 2% de pyrite-pyrrhotite et rarement de chalcopirite et intercalé par bandes à grains plus grossiers (tuf?). Présence très local de petits leucoxènes. On observe une forte présence de veines de carbonate (moins de quartz et chlorite) dans la roche.

Ce sondage a été placé afin de tenter d'expliquer un axe conducteur VTEM et des intersections historiques. Les sections semi-massives centimétriques et métriques de pyrite-pyrrhotite rencontrées entre 92,6 m à 93,2 m, et le niveau de sédiments graphitiques riche en pyrite-pyrrhotite (Figure 18) entre 93,55 m et 94,55 m ainsi que celle contenant de 15-20% entre 94,55 m et 95,3 m expliquent l'axe conducteur VTEM.

7.3 - MM-16-03

Le sondage MM-16-03 a atteint la roche à 12 m. Ce sondage a rencontré plusieurs lithologies en débutant par un gabbro, variant de grains fins à moyens, massif, généralement magnétique, très silicifié, chloritisé et carbonaté et contenant de 1-4% de pyrrhotite (moins de pyrite) entre 12,0 m et 78,05 m. La fracturation peut être considérée comme moyenne à élevée (surtout au début du forage) avec quelques zones de cisaillement développées après 30 m. Le contact inférieur est marqué par une petite zone minéralisée de 20 cm contenant plus de 20% de pyrrhotite qui est suivie par une zone de passages de sulfures massifs dans une intrusion intermédiaire à mafique, à grains fins qui s'étend de 78,05 m et 78,80 m. Elle contient un passage à 75% de Po (Py), un autre de 50% de Po (Py) et un autre contenant 25% de Po (Py) dissimilées vers la fin. Cette zone est très silicifiées et carbonatées. De 78,80 m à 80,70 m, on entre dans une mince unité d'argilite laminée, intercalée avec des niveaux d'arénites, de wackes avec 2-3% de pyrrhotite (pyrite) dissimilée surtout dans les fractures et veinules. Une zone très fracturée, altérée en silice et carbonate, donnant un aspect de lessivage marque le contact inférieur entre 80,35 m et 80,70m. Cette unité est recoupée par une intrusion intermédiaire à mafique (gabbro?) localement légèrement magnétique, aphanitique (les 40 premiers centimètres) à grains moyen contenant 1-2% de pyrrhotite (pyrite) finement dissimilée. L'unité suivante, qui fait 1,2 m, est plus difficile à interpréter (argilite?). Elle est de couleur noir et à grains très fins, cisailée, très fracturée, fortement altérée en biotite-carbonate-silice avec de nombreuses veines et veinules de carbonate-biotite-chlorite-quartz. En général, l'unité contient 10% de pyrrhotite (pyrite) mais contient également des passages centimétriques variant de 50% à semi-massifs à massifs de pyrrhotite (pyrite).

Le reste du trou est dominé par une alternance de roches volcaniques intermédiaires à mafiques recoupées par des intrusions intermédiaires à mafiques massives (gabbro) à feldspath porphyriques (FP). Les roches volcaniques sont d'épaisseurs métriques allant de 15 à 25 mètres de puissance dans ce sondage et localement la granulométrie est plus grossière (grains très fins à fins) et la roche peut être confondue avec du gabbro. Les roches volcaniques sont généralement massives et non altérées, sauf sur quelques courts intervalles, où il y a de la biotisation (115-116 m, 148-149 m) et de la séricitisation (206,24-206,30 m, 208,50-208,65 m) locales. En général, une concentration assez élevée de veines, veinules et fractures de carbonate-chlorite-quartz recoupe les roches volcaniques. On note également la présence de petites amygdules ainsi qu'une légère foliation vers 144 m. Elles contiennent de traces à 3% de pyrrhotite (pyrite) dissiminée et localement dans les veines et veinules de carbonates-quartz-chlorite.

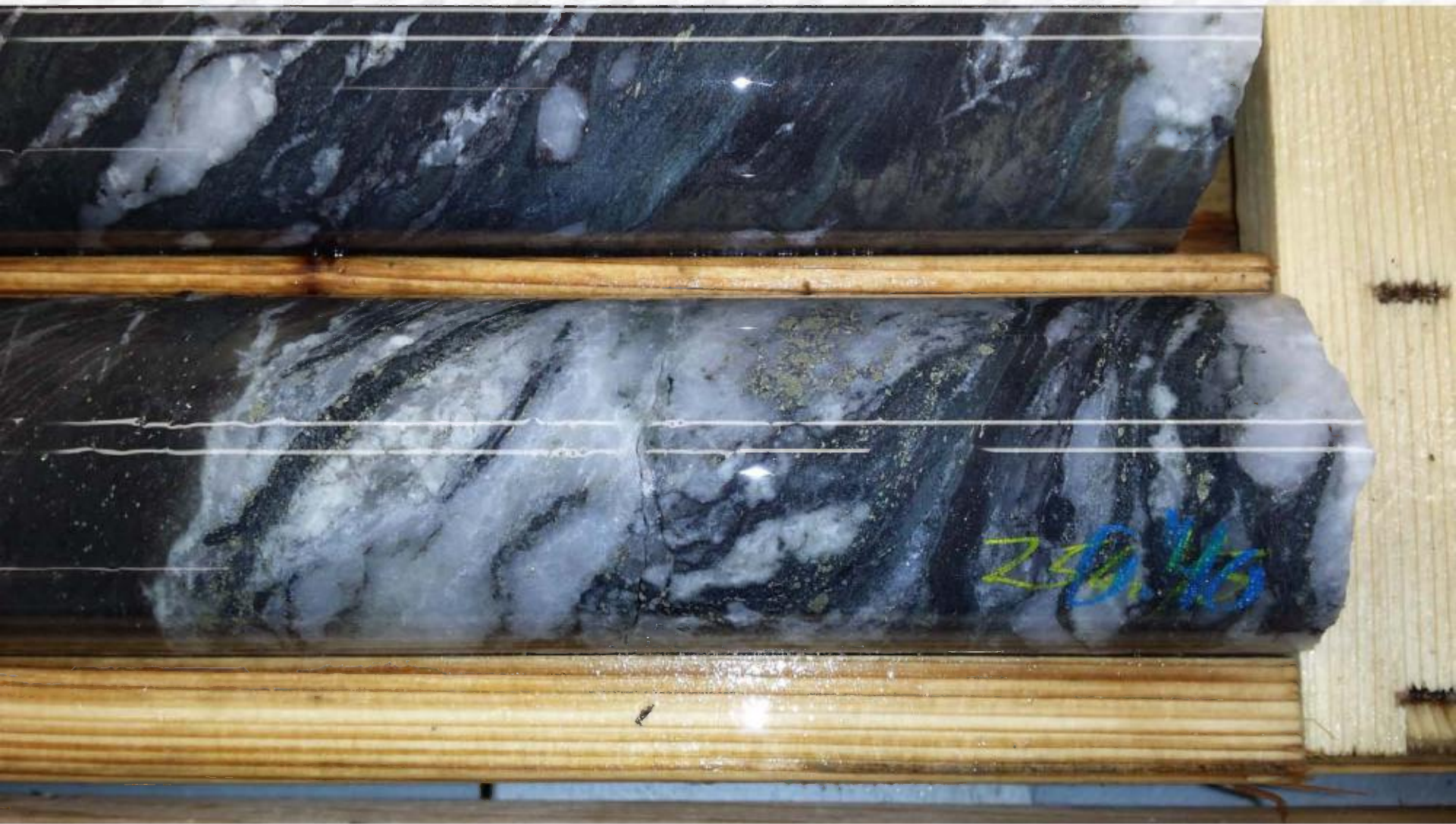
Les intrusions intermédiaires à mafiques observées sont de deux types : massives (gabbro) et porphyriques (FP). Les intrusions massives varient de 7-31 m en épaisseurs, sont de couleur gris très foncé à vert noir, à grains fins à moyens et non altérées sauf sur quelques courts intervalles, où il y a une altération intense en séricite-carbonate-chlorite donnant une couleur vert crème à la roche et créant une texture fragmentaire (183,6-183,7 m, 184,5-187,8 m). Une importante zone de veines de carbonate-quartz-chlorite avec des grains de pyrrhotite-pyrite se trouve entre 169,55 et 173,55 m. En général, l'unité contient de trace à 2% de pyrrhotite (pyrite). Toutefois, deux sections minéralisées très silicifiées de 80 cm contenant des concentrations de pyrite-pyrrhotite variant de semi-massif à massif à 30% de pyrrhotite (pyrite) et une autre de plus de 7,70 m de puissance contenant de 10-15% de pyrrhotite (pyrite) finement dissiminée ont été interceptées entre 91 m à 91,80 m et 91,80 et 99,45 m. Les intrusions porphyriques (FP) sont de couleur gris moyen à foncé, à grains moyens à grossiers avec des petits phénocristaux de feldspaths blancs contenant de trace à 2% de pyrrhotite (pyrite).

Ce sondage a été placé afin de tenter d'expliquer un axe conducteur VTEM et des intersections historiques. Les sections semi-massives centimétriques et métriques de pyrite-pyrrhotite rencontrées entre 78.03 m à 78,8 m, expliquent l'axe conducteur VTEM.

MM-16-01 – MARTIGNY PROPERTY / DETOUR NORTH









MM-16-02
Figure 18



7.4 Levé de polarisation provoquée 2016

Le levé de polarisation provoquée de 6 km effectué à l'hiver 2016 dans la partie est de la propriété Martigny permettaient d'investiguer l'extension est du secteur contenant les anomalies VTEM et de valider l'effet PP interprété du levé VTEM de 2013. Au total, quatre (4) anomalies ont été identifiées dont une démontrent un intérêt par la signature géophysique et la position stratigraphique soient la PPMR-1. Cette anomalie confirme l'effet PP interprété par M Simard du levé VTEM de 2013. Le lecteur est invité à consulter le rapport de Joël Simard, février 2016, ref 16C-199 déposé au MERN.

8 - Conclusions

Les propriétés Manthet et Martigny sont situées dans un environnement géologique très favorable à la découverte de minéralisation aurifère et de métaux de base. Détenue à 100 % par Adventure Gold, ces propriétés occupent une position stratégique le long de la zone de déformation Sunday Lake (ZDSL). Elles renferment la même stratigraphie et sont situées à l'intérieur du même domaine structural de la mine de Detour Gold avec plus de 16,4 M d'onces en réserves (Réserves et Ressources Minérales 2015 conformant au Règlement 43-101).

Le contexte géologique du forage MM-16-01 sur Martigny démontre la présence d'un système hydrothermal par la présence :

- de veines en tension de quartz, de biotite et de sulfures,
- d'une biotisation dans les zones altérées, cisillées et minéralisées,
- d'une zone fortement minéralisée avec silice, biotite et fuschite,
- et d'autres plus silicifiées avec pyrite.

L'absence des résultats analytiques au moment de la rédaction de ce rapport ne nous permet pas de valider son contenu, mais la présence de ces caractéristiques est fort intéressante et ce système demeure non testé vers le sud-est et ou des anomalies VTEM furent définies.

Le système de veines de quartz-biotite est en tension, perpendiculaire à la foliation, et parfois il se présente en système conjugué. Les veines sont observées sur l'ensemble du forage et une silicification recoupe ces veines précoces dans l'histoire de l'activité l'hydrothermalisme.

Dans le même secteur la trainé de conducteur parallèle à celle tester par M-16-01 situé à environ 600 m au sud-ouest à démonter des altérations similaire et était anormale en or (forage MAN 76-2; GM 32129) cette horizon devra être considéré dans le futur.

Pour les forages MM-16-02 et MM-16-03, sur la propriété Manthet, n'ont pas recoupé un contexte géologique favorable à la présence d'or. Peu d'altérations y ont été observées alors que la minéralisation, surtout de de la pyrrhotite est associée à des niveaux argilitiques et sédimentaires.

9 - Recommandations

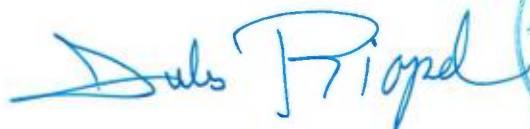
Il serait souhaitable d'investiguer par forage l'extension du sud-est du système hydrothermale associée au forage MM-16-01 (anomalies VTEM) sur la propriété Martigny. Le levé de polarisation provoqué a précisé une anomalie intéressante. Cette anomalie semble discordante à la stratigraphie interprétée sur la carte du champ magnétique de gradient vertical. Aussi un sondage situé à environs 300 m au sud-est (forage D107-2; GM 32129) rapporte 3-5% de pyrrhotite intersticiel dans un cumulat d'olivine et un niveau d'amas sulfuré attenant une concentration de 10-12 %. Noté que cette minéralisation n'explique pas l'axe PP.

Il est recommandé de poursuivre dans les extensions est et ouest du levé de 2016 et de tester par forage la meilleure signature géophysique.

Pour la propriété Manthet, il serait souhaitable de revoir le levé magnétique et d'identifier des secteurs propices à la réalisation de levé de polarisation au sol. Le secteur sud de la propriété serait un secteur à regarder avec plus d'attention.

Ces recommandations devront être revues à la lumière des résultats analytiques.

Signé le 18 mars 2016



Jules Riopel, M.Sc, géo, MBA, OGQ – 378

Adventure Gold



Mathieu Guay, géo, OGQ – 459

Adventure Gold



Elisabeth Tremblay, géo, OGQ – 439

Adventure Gold

Références

BBA et SGS Canada., 2011. Technical report Mineral resource and Mineral reserve Update of the Détour Lake project, Ontario for Detour Gold Corporation, March 15, 2011, 294 p.

Peshkepia, A., et Silvester S., 2011. Independent technical report - La Martinière Property, Québec, Canada. Caracle Creek International Consulting, 108 p.

Chown E.H., Daigneault R., Mueller W. Et Mortensen J., 1992. Tectonic Evolution of the Northern Volcanic Zone of the Abitibi Belt. *Can.J.Earth Sci.*, 29 : 2211-2225

Daigneault, R., Mueller, W. U., and Chown, E. H., 2004, Abitibi greenstone belt plate tectonics : A history of diachronic arc development, accretion and collision, *in* Eriksson, K. A., Altermann, W., Nelson, D. R., Mueller, W., Catuneanu, O., and Strand, K., eds., *The Precambrian earth: Tempos and events, Developments in Precambrian Geology 12* : Amsterdam, Elsevier, p. 88-103.

DP 2008-25 : Noranda exploration - Mine d'Or Virginia - Cartes géophysiques couleurs 32E14 - Megatem II

DP 2008-26 : Noranda exploration - Mine d'Or Virginia - Cartes géophysiques couleurs 32E15 - Megatem II

DP 2008-27 : Noranda exploration - Mine d'Or Virginia - Cartes géophysiques couleurs 32E15 - Megatem II

Geotech, 2013, report on a helicopter-borne versatile time domain electromagnetic (VTEM plus) and horizontal magnetic gradiometric geophysical survey, Manthet and Martigny, Detour Quebec.

Lacroix, S., 1986. Le district minier de Casa-Berardi : Cycles volcaniques et/ou une autre faille Cadillac. 70p.

Lacroix, S., 1988. Géologie de la région des rivières Turgeons et Théo. Ministère de l'Énergie et des Ressources du Québec, MB 90-28. 36p.

Lacroix, S. , Simard, A., Pilote, P. et L-M Dubé, 1990. Régional geologic elements and mineral resources of the Harricana-Turgeon Belt, Abitibi of NW Quebec. Dans Rive et al., éditeurs, *La ceinture polymétallique du nord-ouest québécois*. Institut Canadien des Mines et de la Métallurgie, Volume spécial 43, pp.313-326.

Lacroix, S., 1991. Géologie de la région de la rivière Harricana (partie nord), secteur de Martinière-Caumont. Rapport préliminaire, MB 90-34. 24p.

Lacroix, S., 1994. Géologie de la partie ouest du sillon Harricana-Turgeon, Abitibi. Rapport MB 94-54. 28p.

Larson, J.E. 1987. The Selbaie Zn-Cu-Ag Deposits, Quebec, Canada: An example of evolution from subaqueous to subaerial Volcanism and Mineralization in an Archean Caldera environment, *economic Geology*, vol 88, 9193 pp. 1460-1482.

Leclerc, A., et Giguère, E., 2010. Technical Report on Fénélon Property, 95 p.

Marmont, S., and Corfu, F., 1989. Timing of gold mineralization in the Late Archean tectonic framework of the Canadian Shield: Evidence from U-Pb zircon geochronology of the Abitibi subprovince. *Economic Geology Monograph*, volume 6. p. 101-111.

Morris G., et Needham B., 1996. 1996 Lanoullier A diamond drill report. GM 54101

Novatem, 2012. Rapport logistique et technique, Levé magnétique hélicopté, Projet martigny and manthet.

Oliver, J., Ayer, J., Dubé, B., Aubertin, R., Burson, M., Panneton, G., & Hamilton, M. (2011). Structure, Stratigraphy, U-Pb Geochronology, and Alteration Characteristics of Gold Mineralization at the Détour Lake Gold Deposit, Ontario, Canada. *Exploration and Mining Geology*, 20, 1.

Perk,N.W., 2013. 2013 Technical (N.I. 43-101) Report on the Martinière property. Equity Exploration Consultants, 74 p.

Pelletier, C. et Gagnon Y, 2005. Technical report on the Fénélon Project. Innoveexplo et Spinofex, 99p.

Perreault, S., Houle, P., Doucet, P., Moorhead, P., Coté, S., Moukhsil, A., Lachance, S., Bellemare, Y., Togola, N., Gosselin, C., and Buteau, P., 2005. Rapport sur les activités d'exploration minière au Québec. DV 2005-01,102p.

Remick, Jerome, 1969. Géologie de la région d'Harricana-turgeon, comtés d'Abitibi=est et d'Abitibi-Ouest, M.R.N., 1969, R.P.564.

Ritchie, D. G., Allaire, A., Live, P., Dagbert, M., and Dupere, M., 2012, Détour Lake Updated Mine Production Plan : NI 43-101 Technical Report prepared for Détour Gold

Corporation and dated October 18, 2012, p. 394.

Simard Joel, 2013. Rapport sur le retraitement et l'interprétation de levés magnétiques aéroportés effectués dans le cadre du projet Détour pour Adventure Gold.

Simard Joel, 2016. Rapport sur un levé PP, propriété Martigny, Février 2016, ref 16C-1999.

Thurston, P.C., Ayer, J.A., Goutier, J., and Hamilton, M.A., 2008. Depositional Gaps in Abitibi Greenstone Belt Stratigraphy: A key to exploration for syngenetic mineralization. *Economic Geology*, volume 103. p. 1097-1134.

Vermette, D., 1995. Rapport sur le programme d'exploration d'hiver 1995, propriété Massicotte, canton Massicotte, Québec, Canada, 43 p. GM 53603

Verschelden R., 1998. Rapport de la campagne de forage - Avril/Mai 1997 - projet B2-Lanoullier (117). GM56036

Wagner, D., 2012, Report on the 2011 Drill Program, Grasset Property.

Site web de Détour Gold Corporation : Détourgold.com

Site Web de Balmoral Resources : balmoralresources.com

Annexe I

Tableaux des travaux historiques

Travaux historiques propriété Manthet

Date	Compagnie/Individu	Descriptions des travaux	Résultat	Références
1960-1961	Remick, J H, Sharma K N M / MRN	Levé géologique régional	Propriété complète	RP 458, 458A
1976				DP 358
1969-1974	SDBJ	Étude de développement et accès Étude potentiel minier et ressources minérales	Propriété complète	GM 32951 GM 34000 GM 34001 GM 34002
1979		Évaluation technique du potentiel industriel et économique dans le secteur de la Baie James	Propriété complète	GM 38167
1980	Selco Mining Corp.	Levés Mag et HLEM <u>Forage</u> : 1 sondage (D-106-1) 124m	Partie SO de la propriété. 0,4% Zn, 0,6 g/t Ag / 0,5 mètre	GM 36917
1982	Noranda Exploration	Levés Mag et EM	Moitié nord de la propriété 2 large anomalies identifiées	GM 39399
1982	Anaconda Exploration Ltd. pour Denison Mines Ltd.	Compilation géologique	Moitié sud de la propriété	GM 39226
1982	MRN	Levé INPUT régional	Propriété complète	DP 866
1985-2010	MRN	Compilations régionales géologiques, quaternaires, géophysiques, dépôts polymétalliques et structurales	Propriété complète	MB 85-11 MB 90-28 MB 94-54 MB 94-61 MB 93-49 MB 98-06 MB 99-35 DV 86-09 DV 89-04 DP 2010-09 DP-2006-02 DP-2006-04
1996	Ressources Minières Radisson	Rapport technique	Partie SE de la propriété	GM 55564
1998		Levés PP+Mag au sol	Des anomalies faibles dans la partie SE de la propriété	GM 55565
1998		Rapport d'exploration: Levés PP+Mag au sol <u>Forage</u> : 2 sondages (LG98-18, LG98- 25) 394,45m	LG98-28: 1,92 g/t Au / 0,33 mètre LG98-18: Indice Lac Grady NE 0,75% Zn / 0,7 mètre dans la partie SE de la propriété.	GM 56041
2001		Levé PP	Des anomalies faibles ont été identifiées dans la partie SE de la propriété	GM 59036
1997	Gowest Amalgamated Res. Ltd. / Jonpol Explorations Ltd.	Levés Mag+HLEM+PP au sol	Moitié sud de la propriété Un conducteur HLEM priorité 1 dans la partie SE de la propriété	GM 54654 GM 55877
1997	Cyprus Canada	Levés PP+Mag au sol	Quelques fortes anomalies dans la moitié nord de la propriété	GM 54739
		Travaux de reconnaissance <u>Forage</u> : 1 sondage (SL97-01) 175,5m	Partie nord de la propriété 1,1 g/t Au/0,7m; 1% Zn/0.3m; 0,2% Cu/0,9m	GM 54740
2008	MRN	Levé gravimétrique aérien régional	Propriété complète	DP 2008-02
2010	J.Gauthier, M. Melancon / MRNF	Compilation géologique	Propriété complète	RP 2010-04, 2010- 04A

Travaux historiques propriété Martigny

Date	Compagnie/Individu	Descriptions des travaux	Résultats	Référence
1959	Remick, J H, Sharma K N M / MRN	Levé géologique régional	Propriété complète	RP 458, 458A
1976				DP 358
1959	Grasset Syndicate/Rio Tinto Canadian Exploration Ltd.	Levé EM aérien	Partie est de la propriété. 35 des 58 des conducteurs identifiés d'intérêt économique possible	GM 08217-A
1959-1960	Paudash Mines Ltd.	Levés Mag+EM+gravimétrie Évaluation technique	Partie SE de la propriété 25 of des 35 conducteurs du GM 08217-A ont été testés	GM 13018 GM 10523
1975	Explorations Noranda Ltée.	Levés Mag+HEM au sol	Coin Node la propriété. Bordure oust du Lac Desloges. 3 secteurs anomales identifiés.	GM 31468
1980	Western Mines Ltd.	Levé EM aérien	Partie SO de la propriété.	GM 36782
1981	Compagnie de Nickel du Canada	<u>Forage</u> : 3 sondages (40672-0,40673-0,40674-0 – 1 427m)	Partie NO de la propriété. SE du lac Desloges. Aucun résultat significatif	GM 37602
1982-1987	Queenston Gold Mines Ltd.	Compilations géologiques et géophysiques	Centre de la propriété secteur du lac Gratton. 2 zones à fort potentiel économique.	GM 39924
		Levés Mag+EM au sol	Centre de la propriété secteur lac Gratton. 2 conductors identifiés.	GM 42167
		<u>Forage</u> : 2 sondages (DL-85-3, DL-85-4 – 335,3m)	Centre de la propriété DL-85-3: 5,6 g/t Ag / 2,0 mètres (Indice Lac Gratton-Ouest)	GM 44072
1982	MRN	Levé INPUT régional	Propriété complète	DP 866
1982	Anaconda Exploration Ltd. pour Denison Mines Ltd.	Compilation géologique	Moitié sud de la propriété	GM 39226
1985-2010	MRN	Compilations régionales géologiques, quaternaires, géophysiques, dépôts polymétalliques et structurales	Propriété complète	MB 85-11 MB 90-28 MB 94-54 MB 94-61 MB 93-49 MB 98-06 MB 99-35 DPV 671 DPV 744 DV 83-11 DV 83-16 DV 86-09 DV 89-04 DP 2010-09 DP-2006-02 DP-2006-04 DP-96-03
2008	MRN	Levé gravimétrie aérien régional	Propriété complète	DP 2008-02
2010	J.Gouthier, M. Melancon / MRNF	Geological Compilation	Propriété complète	RP 2010-04, 2010-04A

Annexe II

Carte de localisation des forages 2016 sur fond du champ magnétique total

NUMÉRIQUE

Page(s) de dimension(s) hors standard numérisée(s) et positionnée(s) à la suite des présentes pages standard

DIGITAL FORMAT

Non-standard size page(s) scanned and placed after these standard pages

Annexe III

Sections des forages de 2016

NUMÉRIQUE

Page(s) de dimension(s) hors standard numérisée(s) et positionnée(s) à la suite des présentes pages standard

DIGITAL FORMAT

Non-standard size page(s) scanned and placed after these standard pages

Annexe IV

Description des forages 2015

Sondage : MM-16-03

Titre minier : 2212016; 2212019; 2212020

Section :

Canton : Manthet

Niveau :

Rang :

Place de travail :

Entrepreneur : Forage Orbit-Garant

Lot :

Auteur : E.Tremblay

Date de début : 2016-01-25

Date de description : 2016-01-29

Date de fin : 2016-01-28

Collet

Azimut : 211.00°

Plongée : -52.00°

Longueur : 210.00

UTM (N83Z17)

Est	606795.0
Nord	5546280.0
Élévation	0.0

Description :

Dimension de la carotte : Carotte NQ

Cimenté : Non

Entreposé : Oui

Description			Analyse					
			De	À	N° d'échantillon	Longueur	Au_Final (g/t)	
0.00	12.00	TU Tubage						
12.00	78.05	I3; I3A; MOY; MAG; MAS Intrusion mafique; Gabbro; Grains moyens; Magnétique; Roche massive Intrusion mafique, gabbro, vert noir foncé à vert gris foncé, à grains moyens en général mais avec des sections variant graduellement de grains fins à grossiers dans toute la roche, magnétisme variant de nul, léger à moyen, très silicifiée, chloritisée et carbonatée. Présence de 1-2% de veines, veinules et fractures de carbonate-chlorite-quartz jusqu'à 47.7m augmentant de 5-10% jusqu'à la fin. Roche plus fracturée de début jusqu'à 18m et et de 30-33m. En général, la roche contient de 1-4% de Po(Py). Le contact inférieur est franc mais diffus. il est marqué par une section de 20cm contenant 20% de Po(Py) dissiminée. de 13.2-13.4m: carotte brisée 16-16.8m: carotte très brisée 17.4-17.5m: carotte très brisée (faille) 18.6-18.7m: carotte très brisée (faille) 12 à +/- 36m: magnétique 36 à +/- 54m: légèrement magnétique 54 à +/- 64.5m: magnétique 64.5 à +/- 70m: non magnétique 70 à la fin du trou: magnétique 12 à +/- 28m: grains moyens à grossiers 28 à +/- 35.5m: grains fins 35.5 à +/- 49.5m: grains grossiers 49.5 à +/- 56m: grains fins 56 à +/- 63m: grains moyens à grosiers 63 à la fin de trou: grains fins 30.7 à +/- 34: foliation/cisaillement à +/- 45TCA 67.2-74m: foliation/cisaillement à 40-45 TCA et également plus carbonaté						
12.00	28.00	MOY; GRO Grains moyens; Grains grossiers						

Description			Analyse					
			De	À	N° d'échantillon	Longueur	Au_Final (g/t)	
12.00	67.20	Sil; Car; Chl Silicification; Carbonatisation; Chloritisation						
12.00	77.85	Po1-5; Pytr Pyrrhotine 1-5; Pyrite tr						
12.00	47.70	VC;2%;Qz Cl;;;Potr-4 Pytr; Veine de carbonate 2% Quartz Chlorite Pyrrhotine tr-4 Pyrite tr						
			12.60	13.00	E6573651	0.40	<0.01	
			13.00	14.00	E6573652	1.00	<0.01	
			14.00	15.00	E6573653	1.00	<0.01	
14.20	14.40	FRC Fracturé(e)						
			15.00	16.00	E6573654	1.00	<0.01	
16.00	16.80	FRC+; FAI Fracturation forte; Faille	16.00	17.00	E6573655	1.00	<0.01	
			17.00	18.00	E6573656	1.00	<0.01	
17.40	17.50	FRC+; FAI Fracturation forte; Faille						
			18.00	19.00	E6573657	1.00	<0.01	
18.60	18.70	FRC+; FAI Fracturation forte; Faille						
			19.00	20.00	E6573658	1.00	<0.01	
			20.00	21.00	E6573659	1.00	<0.01	
			21.00	22.00	E6573661	1.00	<0.01	
			22.00	23.00	E6573662	1.00	<0.01	

Description			Analyse				
			De	À	N° d'échantillon	Longueur	Au_Final (g/t)
30.70	34.00	CIS Cisailé(e) 45°	23.00	24.00	E6573663	1.00	0.020
			24.00	25.00	E6573664	1.00	<0.01
			25.00	26.00	E6573665	1.00	<0.01
			26.00	27.00	E6573666	1.00	<0.01
			27.00	28.00	E6573667	1.00	<0.01
			28.00	29.00	E6573668	1.00	<0.01
			29.00	30.00	E6573669	1.00	<0.01
			30.00	31.00	E6573670	1.00	<0.01
			31.00	32.00	E6573671	1.00	<0.01
			32.00	33.00	E6573672	1.00	<0.01
35.50	49.50	I3A; GRO Gabbro; Grains grossiers	33.00	34.00	E6573673	1.00	<0.01
			34.00	35.00	E6573674	1.00	<0.01
			35.00	36.00	E6573675	1.00	<0.01
			36.00	37.00	E6573676	1.00	<0.01
			37.00	38.00	E6573677	1.00	<0.01
			38.00	39.00	E6573678	1.00	<0.01
			39.00	40.00	E6573679	1.00	<0.01
			40.00	41.00	E6573681	1.00	<0.01
			41.00	42.00	E6573682	1.00	<0.01
			42.00	43.00	E6573683	1.00	0.010
			43.00	44.00	E6573684	1.00	0.010
			44.00	45.00	E6573685	1.00	<0.01
			45.00	46.00	E6573686	1.00	<0.01

Description			Analyse				
			De	À	N° d'échantillon	Longueur	Au_Final (g/t)
47.70	78.05	VC;8%;Cl;;;Potr-4 Pytr; Veine de carbonate 8% Chlorite Pyrrhotine tr-4 Pyrite tr	46.00	47.00	E6573687	1.00	<0.01
			47.00	48.00	E6573688	1.00	<0.01
			48.00	49.00	E6573689	1.00	<0.01
49.50	56.00	I3A; FIN Gabbro; Grains fins	49.00	50.00	E6573690	1.00	<0.01
			50.00	51.00	E6573691	1.00	<0.01
			51.00	52.00	E6573692	1.00	<0.01
			52.00	53.00	E6573693	1.00	<0.01
			53.00	54.00	E6573694	1.00	<0.01
			54.00	55.00	E6573695	1.00	0.020
			55.00	56.00	E6573696	1.00	0.010
56.00	63.00	I3A; MOY; GRO Gabbro; Grains moyens; Grains grossiers	56.00	57.00	E6573697	1.00	<0.01
			57.00	58.00	E6573698	1.00	<0.01
			58.00	59.00	E6573699	1.00	<0.01
			59.00	60.00	E6573701	1.00	<0.01
			60.00	61.00	E6573702	1.00	<0.01
			61.00	62.00	E6573703	1.00	0.030
			62.00	63.00	E6573704	1.00	0.020
63.00	77.05	I3A; FIN; FOL Gabbro; Grains fins; Foliée	63.00	64.00	E6573705	1.00	<0.01
			64.00	65.00	E6573706	1.00	<0.01
			65.00	66.00	E6573707	1.00	<0.01

Description			Analyse				
			De	À	N° d'échantillon	Longueur	Au_Final (g/t)
			66.00	67.00	E6573708	1.00	<0.01
			67.00	68.00	E6573709	1.00	0.020
67.20	74.00	Sil; Car+; Chl Silicification; Carbonatisation forte; Chloritisation					
67.20	74.00	CIS Cisaillé(e) 45°					
			68.00	69.00	E6573710	1.00	<0.01
			69.00	70.00	E6573711	1.00	<0.01
			70.00	71.00	E6573712	1.00	<0.01
			71.00	72.00	E6573713	1.00	<0.01
			72.00	73.00	E6573714	1.00	<0.01
			73.00	74.00	E6573715	1.00	<0.01
74.00	77.05	Sil; Car; Chl Silicification; Carbonatisation; Chloritisation	74.00	75.00	E6573716	1.00	<0.01
			75.00	76.00	E6573717	1.00	<0.01
			76.00	76.55	E6573718	0.55	<0.01
			76.55	77.05	E6573719	0.50	<0.01
77.05	78.05	Chl; Sil; Car Chloritisation; Silicification; Carbonatisation	77.05	78.05	E6573721	1.00	0.100
77.85	78.05	Po20 Pyrrhotine 20% zone de 20cm avant le contact avec la zone minéralisée.					
78.05	78.80	MS; I2; I3; FIN Massif sulfide; Intrusion intermédiaire; Intrusion mafique; Grains fins zone minéralisée à grains fins, très silicifiée, chloritisée (zone de trempe du gabbro)? contenant 2 zones de SMS Po(Py) une avec 75% Po(Py) et l'autre 50% Po(Py) coupées par une zone contenant 25% d Po(Py) dissiminée. les contacts sont francs	78.05	78.80	E6573722	0.75	0.020

Description		Analyse					
		De	À	N° d'échantillon	Longueur	Au_Final (g/t)	
78.05	78.80	C Contact 50° contact franc					
78.05	78.80	Po75; Py05 Pyrrhotine 75%; Pyrite 5% 2 zones de SMS Po(Py) une avec 75% Po(Py) et l'autre 50% Po(Py) coupées par une zone contenant 25% d Po(Py) dissiminée.					
78.05	78.80	VC;20%;;;;Po75 Py05; Veine de carbonate 20% Pyrrhotine 75% Pyrite 5%					
78.80	80.70	S6D; LAM; FIN Argilite; Laminations parallèles; Grains fins argilite, alternance de bandes mm-cm gris foncé et gris moyen, grains fins orientées 60TCA, carbonatée et légèrement silicifiée. plusieurs veinules et fractures de carbonate-quartz-chlorite. présence de 2-3 % Po(Py) dissiminée dans les veinules et fractures. de 80.35 à 80.7m: zone très altérée, silicifiée, carbonatée, lessivée de couleur gris beige dans l'argilite. De 80.55-80.7m: roches fortement brisée, zone de faille. contact inférieur est faillée.	78.80	79.50	E6573723	0.70	0.020
78.80	80.35	S Schistosité 60°					
78.80	80.70	VC;5%;Qz;;; Veine de carbonate 5% Quartz					
			79.50	80.00	E6573724	0.50	0.010
			80.00	80.70	E6573725	0.70	0.010
80.35	80.70	Sil+; Car+ Silicification forte; Carbonatisation forte					

Description			Analyse				
			De	À	N° d'échantillon	Longueur	Au_Final (g/t)
80.35	80.70	FAI; FRC+ Faille; Fracturation forte					
80.35	80.70	Po2-3; Py Pyrrhotine 2-3; Pyrite					
80.70	82.60	I2; I3; MOY Intrusion intermédiaire; Intrusion mafique; Grains moyens intrusion intermédiaire à mafique, gabbro?, localement légèrement magnétique, gris moyen, grains moyens, carbonatée et silicifiée contenant 1-2%Po(Py) finement dissiminée et dans les quelques veinules et fractures de carbonates et chlorite. les contacts supérieur et inférieur sont marqués par des zones à grains très fins, biotisées, carbonatées et silicifiées, massives qui contient la majorité de la minéralisation. La supérieur est de 40cm et de 20cm l'inférieur. Présence de petites bandes d'argilite dans ces zones. Le contact inférieur est franc mais diffus.	80.70	81.15	E6573726	0.45	0.010
80.70	81.10	I2; I3; APH; S6D Intrusion intermédiaire; Intrusion mafique; Aphanitique; Argilite zone de transition du dyke intermédiaire à mafique à grains moyens. présence d'une petite bande d'argilite.					
80.70	81.10	Sil; Bio; Car Silicification; Biotisation; Carbonatisation					
80.70	82.60	C Contact					
80.70	81.10	Po1-2; Py Pyrrhotine 1-2; Pyrite					
81.10	82.60	Sil; Car+ Silicification; Carbonatisation forte					
81.10	82.60	Potr-1; Py; Py					

Description			Analyse				
			De	À	N° d'échantillon	Longueur	Au_Final (g/t)
Pyrrhotine tr-1; Pyrite; Pyrite							
81.10	82.60	VC;1%;;;;; Veine de carbonate 1%					
			81.15	82.00	E6573727	0.85	0.010
			82.00	82.60	E6573728	0.60	<0.01
82.60	83.80	S6D?; CIS; FIN Argilite?; Cisailé; Grains fins zone très déformée, veinées et altérées dans une roche à grains très fins noire contenant plus de 75% de fractures (argilite??), veines et veinules de carbonates-chlorite-quartz-biotite créant une roche à texture chamoirée. présence d'environ 10% de Po(Py) partout dans la roche. de 83.58-83.7m: 50% de Po(Py) chamoirée de 83.7-83.78m: argilite de 83.78-83.8m: SMS-MS Po(Py). le contact inférieur est franc mais irrégulier					
			82.60	83.10	E6573729	0.50	0.060
82.60	83.80	Car; Bio; Sil Carbonatisation; Biotisation; Silicification					
82.60	83.80	CIS+ Cisaillement fort					
82.60	83.58	Po10; Py Pyrrhotine 10%; Pyrite					
82.60	83.80	VC;25%;Qz;;;; Veine de carbonate 25% Quartz					
			83.10	83.80	E6573730	0.70	<0.01
83.58	83.70	Po50; Py Pyrrhotine 50%; Pyrite					

Description			Analyse				
			De	À	N° d'échantillon	Longueur	Au_Final (g/t)
83.78	83.80	PoSMS-MS; Py Pyrrhotine SMS-MS; Pyrite					
83.80	91.00	FP; MOY; FOL Feldspar Porphyry; Grains moyens; Foliée Intrusion intermédiaire à mafique, feldspath porphyry, cisailée de 83.8-84.8m, gris très foncé à noir, grains moyen, tachetée de blanc (feldspath), chloritisée, silicifiée et carbonatée. quelques veines, veinules et fractures de carbonates, quartz, chlorite. Présence de 1-2% Po(Py) fine dissiminée et dans les fractures. de 89.65-91m la roche devient à granulométrie très fine (bordure de trempe) contact inférieur franc mais irrégulier.	83.80	84.50	E6573731	0.70	<0.01
83.80	91.00	Sil; Car; Chl Silicification; Carbonatisation; Chloritisation					
83.80	84.80	CIS Cisailé(e)					
83.80	91.00	Po1-2; Py Pyrrhotine 1-2; Pyrite					
83.80	91.00	VC;2%;Qz;;;Po01 Py; Veine de carbonate 2% Quartz Pyrrhotine 1% Pyrite					
			84.50	85.00	E6573732	0.50	<0.01
84.80	91.00	C Contact franc mais irrégulier					
			85.00	86.00	E6573733	1.00	0.020
			86.00	87.00	E6573734	1.00	<0.01
			87.00	88.00	E6573735	1.00	<0.01
			88.00	89.00	E6573736	1.00	<0.01
			89.00	90.00	E6573737	1.00	<0.01

Description			Analyse				
			De	À	N° d'échantillon	Longueur	Au_Final (g/t)
91.00	91.80	MS; I2; I3; FIN Massif sulfide; Intrusion intermédiaire; Intrusion mafique; Grains fins zone minéralisée à grains fins, très silicifiée, chloritisée (zone de trempe de l'intrusion de FP susjacente)? contenant 3 zones minéralisées de 91-91.4m: SMS-MS Po(Py) de 91.4-91.75m: 30% de Po(Py) dissiminée de 91.75-91.8m: MS-SMS Po(Py)irrégulier	90.00	91.00	E6573738	1.00	<0.01
			91.00	91.80	E6573739	0.80	<0.01
91.00	91.40	PoSMS-MS; Py Pyrrhotine SMS-MS; Pyrite					
91.40	91.75	Po30; Py Pyrrhotine 30%; Pyrite					
91.75	91.80	PoMS-SMS; Py Pyrrhotine MS-SMS; Pyrite					
91.80	99.45	I2; I3; FIN; MAS Intrusion intermédiaire; Intrusion mafique; Grains fins; Roche massive Intrusion intermédiaire à mafique, gris foncé à noir, à grains très fins à fins, silicifiée, carbonatée, chloritisée. Présence de sections cm de composition peut être plus volcanique?? séparées par des contacts francs. Plusieurs veines, veinules et fractures de carbonates-chlorite-quartz. Présence 10-15% de Po(Py) finement dissiminée dans la roche et également dans les veines, veinules et fractures. Le contact inférieur est francs mais diffus.	91.80	92.50	E6573741	0.70	0.010
91.80	99.45	Chl; Car; Sil Chloritisation; Carbonatisation; Silicification					
91.80	99.45	C Contact franc mais diffus					
91.80	99.45	Po10-15; Py Pyrrhotine 10-15; Pyrite					

Description		Analyse				
		De	À	N° d'échantillon	Longueur	Au_Final (g/t)
91.80	99.45	finement dissiminée VC;15%;Cl Qz;;;Po05 Py; Veine de carbonate 15% Chlorite Quartz Pyrrhotine 5% Pyrite				
		92.50	93.00	E6573742	0.50	<0.01
		93.00	94.00	E6573743	1.00	<0.01
		94.00	95.00	E6573744	1.00	0.010
		95.00	96.00	E6573745	1.00	0.010
		96.00	96.75	E6573746	0.75	<0.01
		96.75	97.75	E6573747	1.00	0.020
		97.75	98.50	E6573748	0.75	<0.01
		98.50	99.45	E6573749	0.95	<0.01
99.45	119.80	V2; V3; FIN; MAS Volcanite intermédiaire; Volcanite mafique; Grains fins; Roche massive Volcanique intermédiaire à mafique, vert noir foncé, grains très fins, massive, silicifiée, chloritisée et carbonatée et à partir de 115-116m la roche devient également biotisée. Beaucoup de veines, veinules et fractures de carbonates et chlorite, quartz. Présence de 1-3% Po(Py) dissiminée et dans les veines, veinules et fractures. Très peu de sections à grains fins sont observées. le contact inférieur est franc mais marqué par une veines de carbonates, chlorite et quartz.				
		99.45	100.00	E6573750	0.55	<0.01
99.45	115.00	Sil; Car; Chl Silicification; Carbonatisation; Chloritisation				
99.45	119.20	C Contact veine				
99.45	119.80	Po1-3; Py Pyrrhotine 1-3; Pyrite				
		100.00	101.00	E6573751	1.00	<0.01
		101.00	102.00	E6573752	1.00	<0.01

Description			Analyse				
			De	À	N° d'échantillon	Longueur	Au_Final (g/t)
			102.00	103.00	E6573753	1.00	<0.01
			103.00	104.00	E6573754	1.00	<0.01
			104.00	105.00	E6573755	1.00	<0.01
			105.00	106.00	E6573756	1.00	<0.01
			106.00	107.00	E6573757	1.00	0.040
			107.00	108.00	E6573758	1.00	<0.01
			108.00	109.00	E6573759	1.00	<0.01
			109.00	110.00	E6573760	1.00	0.020
			110.00	111.00	E6573761	1.00	<0.01
			111.00	112.00	E6573762	1.00	<0.01
			112.00	113.00	E6573763	1.00	<0.01
			113.00	114.00	E6573764	1.00	<0.01
			114.00	115.00	E6573765	1.00	0.030
115.00	116.00	Sil; Car; Bio; Chl Silicification; Carbonatisation; Biotisation; Chloritisation	115.00	116.00	E6573766	1.00	<0.01
116.00	119.80	Sil; Car; Chl Silicification; Carbonatisation; Chloritisation	116.00	117.00	E6573767	1.00	<0.01
116.00	119.80	VC;25%;Cl Qz;;;Po01; Veine de carbonate 25% Chlorite Quartz Pyrrhotine 1%					
			117.00	118.00	E6573768	1.00	<0.01
			118.00	119.00	E6573769	1.00	<0.01
			119.00	119.80	E6573770	0.80	<0.01
119.20	122.15	C Contact diffus					
119.80	122.15	FP; MOY; MAS Feldspar Porphyry; Grains moyens; Roche massive Intrusion intermédiaire à mafique, feldspath porphyry, massif, gris très foncé à noir, grains moyen, tacheté de blanc (feldspath), chloritisé, silicifié et carbonaté. très peu	119.80	120.50	E6573771	0.70	<0.01

Description		Analyse						
		De	À	N° d'échantillon	Longueur	Au_Final (g/t)		
119.80	122.15	de veines, veinules et fractures de carbonates, quartz, chlorite. Présence de tr-1% Po(Py) fine dissiminée et dans les fractures. contact inférieur est franc mais diffus.						
		Sil; Car; Chl Silicification; Carbonatisation; Chloritisation						
119.80	122.15	Potr-1; Py Pyrrhotine tr-1; Pyrite						
119.80	122.15	VC;2%;Cl Qz;;;; Veine de carbonate 2% Chlorite Quartz						
		120.50	121.20	E6573772	0.70	<0.01		
		121.20	122.15	E6573773	0.95	<0.01		
122.15	137.20	122.15	123.00	E6573774	0.85	<0.01		
		V2; V3; FIN; MAS Volcanite intermédiaire; Volcanite mafique; Grains fins; Roche massive Volcanique intermédiaire à mafique, vert noir foncé, grains très fins, massive, silicifiée, chloritisée et carbonatée. Beaucoup de veines, veinules et fractures de carbonates et chlorite, quartz. Présence de tr-2% Po(Py) dissiminée et dans les veines , veinules et fractures. le contact inférieur est graduel.						
122.15	137.20	Sil; Chl; Car Silicification; Chloritisation; Carbonatisation						
122.15	137.20	C Contact graduel et un peu folié						
122.15	137.20	VC;25%;Qz Cl;;;Po01 Py; Veine de carbonate 25% Quartz Chlorite Pyrrhotine 1% Pyrite						
		123.00	124.00	E6573775	1.00	<0.01		
		124.00	125.00	E6573776	1.00	<0.01		
		125.00	126.00	E6573777	1.00	<0.01		

Description		Analyse				
		De	À	N° d'échantillon	Longueur	Au_Final (g/t)
		126.00	127.00	E6573778	1.00	1.610
		127.00	128.00	E6573779	1.00	<0.01
		128.00	129.00	E6573780	1.00	<0.01
		129.00	130.00	E6573781	1.00	0.010
		130.00	131.00	E6573782	1.00	<0.01
		131.00	132.00	E6573783	1.00	<0.01
		132.00	133.00	E6573784	1.00	<0.01
		133.00	134.00	E6573785	1.00	<0.01
		134.00	135.00	E6573786	1.00	<0.01
		135.00	136.00	E6573787	1.00	<0.01
		136.00	136.70	E6573788	0.70	<0.01
		136.70	137.30	E6573789	0.60	<0.01
137.20	144.60	FP; MOY; GRO; MAS Feldspar Porphyry; Grains moyens; Grains grossiers; Roche massive Intrusion intermédiaire à mafique, feldspath porphyry, massif, gris très foncé à noir, grains moyens à grossiers, tacheté de blanc (feldspath), chloritisé, silicifié et carbonaté. très peu de veines, veinules et fractures de carbonates, quartz, chlorite. Présence de tr-2% Po(Py) fine dissiminée et dans les fractures. contact inférieur est marqué par une veine de carbonate-chlorite-quartz qui contient de la Py-Po.				
137.20	144.60	Sil; Car; Chl Silicification; Carbonatisation; Chloritisation				
137.20	144.60	C Contact marqué par une veine de carbonate-chlorite-quartz avec de la Py-Po				
137.20	144.60	Pytr-2; Po Pyrite tr-2; Pyrrhotine				
137.20	144.60	VC;2%;Cl;;;Py01 Po; Veine de carbonate 2% Chlorite Pyrite 1% Pyrrhotine				

Description		Analyse					
		De	À	N° d'échantillon	Longueur	Au_Final (g/t)	
		137.30	138.00	E6573848	0.70	<0.01	
		138.00	139.00	E6573849	1.00	<0.01	
		139.00	140.00	E6573850	1.00	<0.01	
		140.00	141.00	E6573851	1.00	0.030	
		141.00	142.00	E6573852	1.00	<0.01	
		142.00	143.00	E6573853	1.00	<0.01	
		143.00	144.00	E6573854	1.00	<0.01	
		144.00	144.60	E6573855	0.60	<0.01	
144.60	169.55	V2; V3; FIN; MAS; FOL	144.60	145.50	E6573856	0.90	<0.01
		<p>Volcanite intermédiaire; Volcanite mafique; Grains fins; Roche massive; Foliée Volcanique intermédiaire à mafique? (intrusion intermédiaire à mafique?), vert noir foncé, grains très fins à fins, massive avec localement présence de quelques amygdules?, légèrement foliée, silicifiée, chloritisée et carbonatée et localement biotisée/séricitisée (vers 148m, de) entremêlée avec des sections (dyke?) cm d'intrusions intermédiaires à mafiques, de couleur noir à grains fins à rarement moyens, chloritisées, carbonatées et silicifiées. ces sections sont en contacts graduels. Beaucoup de veines, veinules et fractures de carbonates et chlorite, quartz recoupent la roche en général. De Présence de tr-2% Po(Py) dissiminée et dans les veines, veinules et fractures. le contact inférieur est marqué par une grosse veine de carbonate-chlorite-quartz.</p>					
144.60	148.00	Chl; Car; Sil					
		Chloritisation; Carbonatisation; Silicification					
144.60	169.55	C					
		Contact					
		franc mais irrégulier					
144.60	169.55	Potr-2; Py					
		Pyrrhotine tr-2; Pyrite					
			145.50	146.00	E6573857	0.50	<0.01
			146.00	147.00	E6573858	1.00	<0.01

Description			Analyse				
			De	À	N° d'échantillon	Longueur	Au_Final (g/t)
148.00	149.00	Bio; Car; Chl Biotisation; Carbonatisation; Chloritisation	147.00	148.00	E6573859	1.00	0.010
			148.00	149.00	E6573861	1.00	<0.01
149.00	169.55	Chl; Car; Sil Chloritisation; Carbonatisation; Silicification	149.00	150.00	E6573862	1.00	<0.01
149.00	169.55	VC;15%;Qz Cl;;;Potr-2; Veine de carbonate 15% Quartz Chlorite Pyrrhotine tr-2	150.00	151.00	E6573863	1.00	<0.01
			151.00	152.00	E6573864	1.00	<0.01
			152.00	153.00	E6573865	1.00	<0.01
			153.00	154.00	E6573866	1.00	<0.01
			154.00	155.00	E6573867	1.00	<0.01
			155.00	156.00	E6573868	1.00	<0.01
			156.00	157.00	E6573869	1.00	<0.01
			157.00	158.00	E6573870	1.00	<0.01
			158.00	159.00	E6573871	1.00	<0.01
			159.00	160.00	E6573872	1.00	<0.01
			160.00	161.00	E6573873	1.00	<0.01
			161.00	162.00	E6573874	1.00	0.010
			162.00	163.00	E6573875	1.00	<0.01
			163.00	164.00	E6573876	1.00	<0.01
			164.00	165.00	E6573877	1.00	<0.01
			165.00	166.00	E6573878	1.00	<0.01
			166.00	167.00	E6573879	1.00	<0.01
			167.00	168.00	E6573881	1.00	<0.01
			168.00	169.00	E6573882	1.00	<0.01
			169.00	169.55	E6573883	0.55	<0.01

Description			Analyse				
			De	À	N° d'échantillon	Longueur	Au_Final (g/t)
169.55	201.20	I2; I3; FP; FIN; MOY; MAS Intrusion intermédiaire; Intrusion mafique; Feldspar Porphyry; Grains fins; Grains moyens; Roche massive Intrusion intermédiaire à mafique?, gabro-felspath porphyry?, massif, gris très foncé à noir avec des grains fins à moyen de feldspath localement et plus apparents vers 192m, chloritisé, silicifié et carbonaté. beaucoup de veines, veinules et fractures de carbonates, quartz, chlorite. Une grosse section contenant de grosses veines de carbonates-quartz-chlorite avec de po-Py entre 169.55 et 173.55m. une petite et une grosse section intensément altérée en chlorite-séricite-carbonate-quartz de couleur vert crème créant une texture fragmentaire recoupe la roche de 183.6-183.7m et 184.5-187.8m. Présence de tr-2% Po(Py) fine dissiminée avec rare trace de chalcopyrite vers 190.5m dans les fractures, veines et veinules. contact inférieur graduel.	169.55	170.55	E6573884	1.00	<0.01
169.55	173.55	Car+; Sil+; Chl Carbonatisation forte; Silicification forte; Chloritisation grosse zone de veines					
169.55	201.20	C Contact graduel					
169.55	201.20	Potr-2; Py; Cptr Pyrrhotine tr-2; Pyrite; Chalcopyrite tr Cp observé vers 190.5m					
169.55	173.55	VQC;80%;Cl;;;Po01 Py; Veine QZ + Carbonate 80% Chlorite Pyrrhotine 1% Pyrite	170.55	171.55	E6573885	1.00	<0.01
			171.55	172.55	E6573886	1.00	<0.01
			172.55	173.55	E6573887	1.00	<0.01
173.55	183.60	Sil; Car; Chl Silicification; Carbonatisation; Chloritisation	173.55	174.10	E6573888	0.55	<0.01
173.55	193.00	VQC;15%;Cl;;;Po01 Py; Veine QZ + Carbonate 15% Chlorite Pyrrhotine 1% Pyrite					

Description			Analyse				
			De	À	N° d'échantillon	Longueur	Au_Final (g/t)
			174.10	175.00	E6573889	0.90	<0.01
			175.00	176.00	E6573890	1.00	<0.01
			176.00	177.00	E6573891	1.00	<0.01
			177.00	178.00	E6573892	1.00	<0.01
			178.00	179.00	E6573893	1.00	<0.01
			179.00	180.00	E6573894	1.00	<0.01
			180.00	181.00	E6573895	1.00	<0.01
			181.00	182.00	E6573896	1.00	<0.01
			182.00	183.00	E6573897	1.00	0.020
			183.00	183.60	E6573898	0.60	<0.01
183.60	183.70	Ser+; Chl; Car; Sil Séricitisation forte; Chloritisation; Carbonatisation; Silicification	183.60	184.50	E6573899	0.90	<0.01
184.50	187.80	Ser+; Chl; Car; Sil Séricitisation forte; Chloritisation; Carbonatisation; Silicification	184.50	185.00	E6573901	0.50	<0.01
			185.00	186.00	E6573902	1.00	<0.01
			186.00	187.00	E6573903	1.00	<0.01
			187.00	187.80	E6573904	0.80	<0.01
187.80	193.00	Sil; Chl; Car Silicification; Chloritisation; Carbonatisation	187.80	188.50	E6573905	0.70	<0.01
			188.50	189.00	E6573906	0.50	<0.01
			189.00	190.00	E6573907	1.00	<0.01
			190.00	191.00	E6573908	1.00	<0.01
			191.00	192.00	E6573909	1.00	<0.01
			192.00	193.00	E6573910	1.00	<0.01
193.00	193.45	Ser+; Chl; Car; Sil Séricitisation forte; Chloritisation; Carbonatisation; Silicification	193.00	194.00	E6573911	1.00	<0.01

Description			Analyse					
			De	À	N° d'échantillon	Longueur	Au_Final (g/t)	
193.00	193.45	VQC;80%;Cl;Po01 Py; Veine QZ + Carbonate 80%						
193.45	201.20	Sil; Chl; Car Silicification; Chloritisation; Carbonatisation						
193.45	201.20	VQC;15%;Cl;Po01 Py; Veine QZ + Carbonate 15% Chlorite Pyrrhotine 1% Pyrite						
			194.00	195.00	E6573912	1.00	<0.01	
			195.00	196.00	E6573913	1.00	<0.01	
			196.00	197.00	E6573914	1.00	<0.01	
			197.00	197.65	E6573915	0.65	<0.01	
			197.65	198.08	E6573916	0.43	<0.01	
			198.08	199.00	E6573917	0.92	<0.01	
			199.00	200.00	E6573918	1.00	0.010	
			200.00	200.60	E6573919	0.60	<0.01	
			200.60	201.20	E6573921	0.60	<0.01	
201.20	210.00	V2; V3; FIN; MAS Volcanite intermédiaire; Volcanite mafique; Grains fins; Roche massive Volcanique intermédiaire à mafique? (intrusion intermédiaire à mafique?), vert noir foncé, grains très fins à fins, massive avec localement présence de quelques amygdules?, silicifiée, chloritisée et carbonatée et localement très séricitisée (206.24-206.3m et 208.5-208.65m) Plusieurs veines, veinules et fractures de carbonates et chlorite, quartz recouperont la roche en général. De Présence de tr-2% Po(Py) dissiminée et dans les veines, veinules et fractures.	201.20	202.00	E6573922	0.80	<0.01	
201.20	206.24	Sil; Chl; Car Silicification; Chloritisation; Carbonatisation						
201.20	210.00	Potr-2; Py Pyrrhotine tr-2; Pyrite						

Description			Analyse					
			De	À	N° d'échantillon	Longueur	Au_Final (g/t)	
201.20	210.00	VQC;5%;Cl;;;Py Po; Veine QZ + Carbonate 5% Chlorite Pyrite Pyrrhotine						
			202.00	203.00	E6573923	1.00	<0.01	
			203.00	204.00	E6573924	1.00	<0.01	
			204.00	205.00	E6573925	1.00	<0.01	
			205.00	206.00	E6573926	1.00	<0.01	
			206.00	207.00	E6573927	1.00	<0.01	
206.24	206.30	Ser+; Chl; Car Séricitisation forte; Chloritisation; Carbonatisation						
206.30	208.50	Sil; Chl; Car Silicification; Chloritisation; Carbonatisation						
			207.00	208.00	E6573928	1.00	<0.01	
			208.00	208.65	E6573929	0.65	<0.01	
208.50	208.65	Ser+; Chl; Car Séricitisation forte; Chloritisation; Carbonatisation						
208.65	210.00	Sil; Chl; Car Silicification; Chloritisation; Carbonatisation	208.65	209.40	E6573930	0.75	<0.01	

Déviation

Profondeur	Type	Azimut	Plongée	Description	Invalide
27.00	Reflex EZ-Trac	217.10°	-51.60°	56961	Non
30.00	Reflex EZ-Trac	217.70°	-51.70°	56632	Non
33.00	Reflex EZ-Trac	217.10°	-51.70°	56450	Non
36.00	Reflex EZ-Trac	217.80°	-51.60°	56409	Non
39.00	Reflex EZ-Trac	217.60°	-51.60°	56421	Non
42.00	Reflex EZ-Trac	217.60°	-51.60°	56403	Non
45.00	Reflex EZ-Trac	217.90°	-51.50°	56334	Non
48.00	Reflex EZ-Trac	218.00°	-51.50°	56370	Non
51.00	Reflex EZ-Trac	217.30°	-51.40°	56409	Non
54.00	Reflex EZ-Trac	217.70°	-51.40°	56213	Non
57.00	Reflex EZ-Trac	217.20°	-51.40°	56298	Non
60.00	Reflex EZ-Trac	217.20°	-51.30°	56207	Non
63.00	Reflex EZ-Trac	217.20°	-51.20°	56178	Non
66.00	Reflex EZ-Trac	216.40°	-51.10°	56189	Non
69.00	Reflex EZ-Trac	217.60°	-51.10°	56240	Non
72.00	Reflex EZ-Trac	217.00°	-51.10°	56214	Non
75.00	Reflex EZ-Trac	217.10°	-51.10°	56320	Non
78.00	Reflex EZ-Trac	212.60°	-51.80°	56266	Non
81.00	Reflex EZ-Trac	216.40°	-51.00°	56400	Non
84.00	Reflex EZ-Trac	207.10°	-55.50°	56421	Non
87.00	Reflex EZ-Trac	213.70°	-50.90°	60199	Non
90.00	Reflex EZ-Trac	212.80°	-50.80°	58312	Non
93.00	Reflex EZ-Trac	213.40°	-50.80°	56521	Non
96.00	Reflex EZ-Trac	216.70°	-50.80°	56533	Non
99.00	Reflex EZ-Trac	218.10°	-50.80°	56174	Non
102.00	Reflex EZ-Trac	217.80°	-50.80°	57404	Non
105.00	Reflex EZ-Trac	216.70°	-50.80°	56015	Non
108.00	Reflex EZ-Trac	218.10°	-50.80°	56538	Non
111.00	Reflex EZ-Trac	217.60°	-50.70°	56283	Non
114.00	Reflex EZ-Trac	218.00°	-50.70°	56427	Non
117.00	Reflex EZ-Trac	219.90°	-49.90°	56391	Non
120.00	Reflex EZ-Trac	247.20°	-40.90°	56412	Non
123.00	Reflex EZ-Trac	218.00°	-50.60°	56416	Non

Déviation

Profondeur	Type	Azimut	Plongée	Description	Invalide
126.00	Reflex EZ-Trac	218.30°	-50.50°	56287	Non
129.00	Reflex EZ-Trac	218.20°	-50.50°	56275	Non
132.00	Reflex EZ-Trac	218.40°	-50.40°	56308	Non
135.00	Reflex EZ-Trac	218.40°	-50.30°	56246	Non
138.00	Reflex EZ-Trac	218.30°	-50.10°	56181	Non
141.00	Reflex EZ-Trac	218.60°	-50.00°	56194	Non
144.00	Reflex EZ-Trac	218.60°	-50.00°	56265	Non
147.00	Reflex EZ-Trac	218.60°	-49.90°	56232	Non
150.00	Reflex EZ-Trac	218.60°	-49.90°	56228	Non
153.00	Reflex EZ-Trac	218.60°	-49.80°	56229	Non
156.00	Reflex EZ-Trac	218.40°	-49.80°	56198	Non
159.00	Reflex EZ-Trac	218.50°	-49.70°	56211	Non
162.00	Reflex EZ-Trac	218.60°	-49.60°	56236	Non
165.00	Reflex EZ-Trac	218.30°	-49.70°	56203	Non
168.00	Reflex EZ-Trac	218.20°	-49.60°	56283	Non
171.00	Reflex EZ-Trac	218.60°	-49.60°	56256	Non
174.00	Reflex EZ-Trac	218.50°	-49.50°	56227	Non
177.00	Reflex EZ-Trac	218.50°	-49.50°	56256	Non
180.00	Reflex EZ-Trac	218.70°	-49.50°	56242	Non
183.00	Reflex EZ-Trac	218.70°	-49.50°	56283	Non
186.00	Reflex EZ-Trac	218.70°	-49.50°	56234	Non
189.00	Reflex EZ-Trac	218.90°	-49.40°	56227	Non
192.00	Reflex EZ-Trac	219.10°	-49.40°	56246	Non
195.00	Reflex EZ-Trac	219.20°	-49.40°	56226	Non
198.00	Reflex EZ-Trac	219.20°	-49.40°	56235	Non
201.00	Reflex EZ-Trac	219.30°	-49.30°	56237	Non
204.00	Reflex EZ-Trac	219.60°	-49.30°	56258	Non
207.00	Reflex EZ-Trac	219.60°	-49.20°	56292	Non
210.00	Reflex EZ-Trac	219.70°	-49.20°	56179	Non

Analyse

De	A	Longueur	N° d'échantillon	Au_Final (g/t)	Au_AA1 (g/t)	Au_GV1 (g/t)	Ag (ppm)	Cu (ppm)	Zn (ppm)	Pb (ppm)	Ni (ppm)	
12.00	13.00	0.40	E6573651	<0.01	<0.01							
13.00	14.00	1.00	E6573652	<0.01	<0.01							
14.00	15.00	1.00	E6573653	<0.01	<0.01							
15.00	16.00	1.00	E6573654	<0.01	<0.01							
16.00	17.00	1.00	E6573655	<0.01	<0.01							
17.00	18.00	1.00	E6573656	<0.01	<0.01							
18.00	19.00	1.00	E6573657	<0.01	<0.01							
19.00	20.00	1.00	E6573658	<0.01	<0.01							
20.00	21.00	1.00	E6573659	<0.01	<0.01							
21.00	22.00	1.00	E6573661	<0.01	<0.01							
22.00	23.00	1.00	E6573662	<0.01	<0.01							
23.00	24.00	1.00	E6573663	0.020	0.020							
24.00	25.00	1.00	E6573664	<0.01	<0.01							
25.00	26.00	1.00	E6573665	<0.01	<0.01							
26.00	27.00	1.00	E6573666	<0.01	<0.01							
27.00	28.00	1.00	E6573667	<0.01	<0.01							
28.00	29.00	1.00	E6573668	<0.01	<0.01							
29.00	30.00	1.00	E6573669	<0.01	<0.01							
30.00	31.00	1.00	E6573670	<0.01	<0.01							
31.00	32.00	1.00	E6573671	<0.01	<0.01							
32.00	33.00	1.00	E6573672	<0.01	<0.01							
33.00	34.00	1.00	E6573673	<0.01	<0.01							
34.00	35.00	1.00	E6573674	<0.01	<0.01							
35.00	36.00	1.00	E6573675	<0.01	<0.01							
36.00	37.00	1.00	E6573676	<0.01	<0.01							
37.00	38.00	1.00	E6573677	<0.01	<0.01							
38.00	39.00	1.00	E6573678	<0.01	<0.01							
39.00	40.00	1.00	E6573679	<0.01	<0.01							
40.00	41.00	1.00	E6573681	<0.01	<0.01							
41.00	42.00	1.00	E6573682	<0.01	<0.01							
42.00	43.00	1.00	E6573683	0.010	0.010							
43.00	44.00	1.00	E6573684	0.010	0.010							
44.00	45.00	1.00	E6573685	<0.01	<0.01							

Analyse

De	À	Longueur	N° d'échantillon	Au_Final (g/t)	Au_AA1 (g/t)	Au_GV1 (g/t)	Ag (ppm)	Cu (ppm)	Zn (ppm)	Pb (ppm)	Ni (ppm)	
45.00	46.00	1.00	E6573686	<0.01	<0.01							
46.00	47.00	1.00	E6573687	<0.01	<0.01							
47.00	48.00	1.00	E6573688	<0.01	<0.01							
48.00	49.00	1.00	E6573689	<0.01	<0.01							
49.00	50.00	1.00	E6573690	<0.01	<0.01							
50.00	51.00	1.00	E6573691	<0.01	<0.01							
51.00	52.00	1.00	E6573692	<0.01	<0.01							
52.00	53.00	1.00	E6573693	<0.01	<0.01							
53.00	54.00	1.00	E6573694	<0.01	<0.01							
54.00	55.00	1.00	E6573695	0.020	0.020							
55.00	56.00	1.00	E6573696	0.010	0.010							
56.00	57.00	1.00	E6573697	<0.01	<0.01							
57.00	58.00	1.00	E6573698	<0.01	<0.01							
58.00	59.00	1.00	E6573699	<0.01	<0.01							
59.00	60.00	1.00	E6573701	<0.01	<0.01							
60.00	61.00	1.00	E6573702	<0.01	<0.01							
61.00	62.00	1.00	E6573703	0.030	0.030							
62.00	63.00	1.00	E6573704	0.020	0.020							
63.00	64.00	1.00	E6573705	<0.01	<0.01							
64.00	65.00	1.00	E6573706	<0.01	<0.01							
65.00	66.00	1.00	E6573707	<0.01	<0.01							
66.00	67.00	1.00	E6573708	<0.01	<0.01							
67.00	68.00	1.00	E6573709	0.020	0.020							
68.00	69.00	1.00	E6573710	<0.01	<0.01							
69.00	70.00	1.00	E6573711	<0.01	<0.01							
70.00	71.00	1.00	E6573712	<0.01	<0.01							
71.00	72.00	1.00	E6573713	<0.01	<0.01							
72.00	73.00	1.00	E6573714	<0.01	<0.01							
73.00	74.00	1.00	E6573715	<0.01	<0.01							
74.00	75.00	1.00	E6573716	<0.01	<0.01							
75.00	76.00	1.00	E6573717	<0.01	<0.01							
76.00	76.55	0.55	E6573718	<0.01	<0.01							
76.55	77.05	0.50	E6573719	<0.01	<0.01							

Analyse

De	A	Longueur	N° d'échantillon	Au_Final (g/t)	Au_AA1 (g/t)	Au_GV1 (g/t)	Ag (ppm)	Cu (ppm)	Zn (ppm)	Pb (ppm)	Ni (ppm)	
77.05	78.05	1.00	E6573721	0.100	0.100							
78.05	78.80	0.75	E6573722	0.020	0.020							
78.80	79.50	0.70	E6573723	0.020	0.020							
79.50	80.00	0.50	E6573724	0.010	0.010							
80.00	80.70	0.70	E6573725	0.010	0.010							
80.70	81.15	0.45	E6573726	0.010	0.010							
81.15	82.00	0.85	E6573727	0.010	0.010							
82.00	82.60	0.60	E6573728	<0.01	<0.01							
82.60	83.10	0.50	E6573729	0.060	0.060							
83.10	83.80	0.70	E6573730	<0.01	<0.01							
83.80	84.50	0.70	E6573731	<0.01	<0.01							
84.50	85.00	0.50	E6573732	<0.01	<0.01							
85.00	86.00	1.00	E6573733	0.020	0.020							
86.00	87.00	1.00	E6573734	<0.01	<0.01							
87.00	88.00	1.00	E6573735	<0.01	<0.01							
88.00	89.00	1.00	E6573736	<0.01	<0.01							
89.00	90.00	1.00	E6573737	<0.01	<0.01							
90.00	91.00	1.00	E6573738	<0.01	<0.01							
91.00	91.80	0.80	E6573739	<0.01	<0.01							
91.80	92.50	0.70	E6573741	0.010	0.010							
92.50	93.00	0.50	E6573742	<0.01	<0.01							
93.00	94.00	1.00	E6573743	<0.01	<0.01							
94.00	95.00	1.00	E6573744	0.010	0.010							
95.00	96.00	1.00	E6573745	0.010	0.010							
96.00	96.75	0.75	E6573746	<0.01	<0.01							
96.75	97.75	1.00	E6573747	0.020	0.020							
97.75	98.50	0.75	E6573748	<0.01	<0.01							
98.50	99.45	0.95	E6573749	<0.01	<0.01							
99.45	100.00	0.55	E6573750	<0.01	<0.01							
100.00	101.00	1.00	E6573751	<0.01	<0.01							
101.00	102.00	1.00	E6573752	<0.01	<0.01							
102.00	103.00	1.00	E6573753	<0.01	<0.01							
103.00	104.00	1.00	E6573754	<0.01	<0.01							

Analyse

De	A	Longueur	N° d'échantillon	Au_Final (g/t)	Au_AA1 (g/t)	Au_GV1 (g/t)	Ag (ppm)	Cu (ppm)	Zn (ppm)	Pb (ppm)	Ni (ppm)	
104.00	105.00	1.00	E6573755	<0.01	<0.01							
105.00	106.00	1.00	E6573756	<0.01	<0.01							
106.00	107.00	1.00	E6573757	0.040	0.040							
107.00	108.00	1.00	E6573758	<0.01	<0.01							
108.00	109.00	1.00	E6573759	<0.01	<0.01							
109.00	110.00	1.00	E6573760	0.020	0.020							
110.00	111.00	1.00	E6573761	<0.01	<0.01							
111.00	112.00	1.00	E6573762	<0.01	<0.01							
112.00	113.00	1.00	E6573763	<0.01	<0.01							
113.00	114.00	1.00	E6573764	<0.01	<0.01							
114.00	115.00	1.00	E6573765	0.030	0.030							
115.00	116.00	1.00	E6573766	<0.01	<0.01							
116.00	117.00	1.00	E6573767	<0.01	<0.01							
117.00	118.00	1.00	E6573768	<0.01	<0.01							
118.00	119.00	1.00	E6573769	<0.01	<0.01							
119.00	119.80	0.80	E6573770	<0.01	<0.01							
119.80	120.50	0.70	E6573771	<0.01	<0.01							
120.50	121.20	0.70	E6573772	<0.01	<0.01							
121.20	122.15	0.95	E6573773	<0.01	<0.01							
122.15	123.00	0.85	E6573774	<0.01	<0.01							
123.00	124.00	1.00	E6573775	<0.01	<0.01							
124.00	125.00	1.00	E6573776	<0.01	<0.01							
125.00	126.00	1.00	E6573777	<0.01	<0.01							
126.00	127.00	1.00	E6573778	1.610	1.610							
127.00	128.00	1.00	E6573779	<0.01	<0.01							
128.00	129.00	1.00	E6573780	<0.01	<0.01							
129.00	130.00	1.00	E6573781	0.010	0.010							
130.00	131.00	1.00	E6573782	<0.01	<0.01							
131.00	132.00	1.00	E6573783	<0.01	<0.01							
132.00	133.00	1.00	E6573784	<0.01	<0.01							
133.00	134.00	1.00	E6573785	<0.01	<0.01							
134.00	135.00	1.00	E6573786	<0.01	<0.01							
135.00	136.00	1.00	E6573787	<0.01	<0.01							

Analyse

De	À	Longueur	N° d'échantillon	Au_Final (g/t)	Au_AA1 (g/t)	Au_GV1 (g/t)	Ag (ppm)	Cu (ppm)	Zn (ppm)	Pb (ppm)	Ni (ppm)	
136.00	136.70	0.70	E6573788	<0.01	<0.01							
136.70	137.30	0.60	E6573789	<0.01	<0.01							
137.30	138.00	0.70	E6573848	<0.01	<0.01							
138.00	139.00	1.00	E6573849	<0.01	<0.01							
139.00	140.00	1.00	E6573850	<0.01	<0.01							
140.00	141.00	1.00	E6573851	0.030	0.030							
141.00	142.00	1.00	E6573852	<0.01	<0.01							
142.00	143.00	1.00	E6573853	<0.01	<0.01							
143.00	144.00	1.00	E6573854	<0.01	<0.01							
144.00	144.60	0.60	E6573855	<0.01	<0.01							
144.60	145.50	0.90	E6573856	<0.01	<0.01							
145.50	146.00	0.50	E6573857	<0.01	<0.01							
146.00	147.00	1.00	E6573858	<0.01	<0.01							
147.00	148.00	1.00	E6573859	0.010	0.010							
148.00	149.00	1.00	E6573861	<0.01	<0.01							
149.00	150.00	1.00	E6573862	<0.01	<0.01							
150.00	151.00	1.00	E6573863	<0.01	<0.01							
151.00	152.00	1.00	E6573864	<0.01	<0.01							
152.00	153.00	1.00	E6573865	<0.01	<0.01							
153.00	154.00	1.00	E6573866	<0.01	<0.01							
154.00	155.00	1.00	E6573867	<0.01	<0.01							
155.00	156.00	1.00	E6573868	<0.01	<0.01							
156.00	157.00	1.00	E6573869	<0.01	<0.01							
157.00	158.00	1.00	E6573870	<0.01	<0.01							
158.00	159.00	1.00	E6573871	<0.01	<0.01							
159.00	160.00	1.00	E6573872	<0.01	<0.01							
160.00	161.00	1.00	E6573873	<0.01	<0.01							
161.00	162.00	1.00	E6573874	0.010	0.010							
162.00	163.00	1.00	E6573875	<0.01	<0.01							
163.00	164.00	1.00	E6573876	<0.01	<0.01							
164.00	165.00	1.00	E6573877	<0.01	<0.01							
165.00	166.00	1.00	E6573878	<0.01	<0.01							
166.00	167.00	1.00	E6573879	<0.01	<0.01							

Analyse

De	À	Longueur	N° d'échantillon	Au_Final (g/t)	Au_AA1 (g/t)	Au_GV1 (g/t)	Ag (ppm)	Cu (ppm)	Zn (ppm)	Pb (ppm)	Ni (ppm)	
167.00	168.00	1.00	E6573881	<0.01	<0.01							
168.00	169.00	1.00	E6573882	<0.01	<0.01							
169.00	169.55	0.55	E6573883	<0.01	<0.01							
169.55	170.55	1.00	E6573884	<0.01	<0.01							
170.55	171.55	1.00	E6573885	<0.01	<0.01							
171.55	172.55	1.00	E6573886	<0.01	<0.01							
172.55	173.55	1.00	E6573887	<0.01	<0.01							
173.55	174.10	0.55	E6573888	<0.01	<0.01							
174.10	175.00	0.90	E6573889	<0.01	<0.01							
175.00	176.00	1.00	E6573890	<0.01	<0.01							
176.00	177.00	1.00	E6573891	<0.01	<0.01							
177.00	178.00	1.00	E6573892	<0.01	<0.01							
178.00	179.00	1.00	E6573893	<0.01	<0.01							
179.00	180.00	1.00	E6573894	<0.01	<0.01							
180.00	181.00	1.00	E6573895	<0.01	<0.01							
181.00	182.00	1.00	E6573896	<0.01	<0.01							
182.00	183.00	1.00	E6573897	0.020	0.020							
183.00	183.60	0.60	E6573898	<0.01	<0.01							
183.60	184.50	0.90	E6573899	<0.01	<0.01							
184.50	185.00	0.50	E6573901	<0.01	<0.01							
185.00	186.00	1.00	E6573902	<0.01	<0.01							
186.00	187.00	1.00	E6573903	<0.01	<0.01							
187.00	187.80	0.80	E6573904	<0.01	<0.01							
187.80	188.50	0.70	E6573905	<0.01	<0.01							
188.50	189.00	0.50	E6573906	<0.01	<0.01							
189.00	190.00	1.00	E6573907	<0.01	<0.01							
190.00	191.00	1.00	E6573908	<0.01	<0.01							
191.00	192.00	1.00	E6573909	<0.01	<0.01							
192.00	193.00	1.00	E6573910	<0.01	<0.01							
193.00	194.00	1.00	E6573911	<0.01	<0.01							
194.00	195.00	1.00	E6573912	<0.01	<0.01							
195.00	196.00	1.00	E6573913	<0.01	<0.01							
196.00	197.00	1.00	E6573914	<0.01	<0.01							

Analyse

De	A	Longueur	N° d'échantillon	Au_Final (g/t)	Au_AA1 (g/t)	Au_GV1 (g/t)	Ag (ppm)	Cu (ppm)	Zn (ppm)	Pb (ppm)	Ni (ppm)	
197.00	197.65	0.65	E6573915	<0.01	<0.01							
197.65	198.08	0.43	E6573916	<0.01	<0.01							
198.08	199.00	0.92	E6573917	<0.01	<0.01							
199.00	200.00	1.00	E6573918	0.010	0.010							
200.00	200.60	0.60	E6573919	<0.01	<0.01							
200.60	201.20	0.60	E6573921	<0.01	<0.01							
201.20	202.00	0.80	E6573922	<0.01	<0.01							
202.00	203.00	1.00	E6573923	<0.01	<0.01							
203.00	204.00	1.00	E6573924	<0.01	<0.01							
204.00	205.00	1.00	E6573925	<0.01	<0.01							
205.00	206.00	1.00	E6573926	<0.01	<0.01							
206.00	207.00	1.00	E6573927	<0.01	<0.01							
207.00	208.00	1.00	E6573928	<0.01	<0.01							
208.00	208.65	0.65	E6573929	<0.01	<0.01							
208.65	209.40	0.75	E6573930	<0.01	<0.01							

Sondage : MM-16-02

Titre minier : 2211998

Section :

Canton : Manthet

Niveau :

Rang :

Place de travail :

Entrepreneur : Forage Orbit-Garant

Lot :

Auteur : E.Tremblay

Date de début : 2016-01-22

Date de description : 2016-01-25

Date de fin : 2016-01-24

Collet

Azimut : 205.00°

Plongée : -54.00°

Longueur : 177.00

UTM (N83Z17)

Est	610267.0
Nord	5544024.0
Élévation	0.0

Description :

Dimension de la carotte : Carotte NQ

Cimenté : Non

Entreposé : Oui

Description			Analyse				
			De	À	N° d'échantillon	Longueur	Au_Final (g/t)
0.00	44.75	TU Tubage tubage à 45m. 3.5 m de roches avant le morceau de bois indiquant le tubage à 45m. de 41.5-41.8m: morceau de roches intrusives felsiques à intermédiaires (boulder) de 41.8-42.25m: argilite laminée à 25-30TCA. la roche contient 2% de Po-Py dissiminée et dans les veinules de quartz-caronate. la granulométrie diminue 30cm près du contact et une veine de quartz-carbonate marque le contact inférieur à 50-55TCA avec un intrusion mafique. de 42.25-44.75m: Intrusion mafique, gabbro, gris beige moyen à verdatre, grains moyens, magnétique contenant 1% de Po à grains fins à grossiers dissiminées. de 43.4-43.6m: présence d'une zone de faille avec carottes brisées d'intrusion mafique à intermédiaire. le contact inférieur est marqué par une veine de quartz-carbonate contenant un amas de Cp et Po.					
41.50	41.80	I2; GRO Intrusion intermédiaire; Grains grossiers de 41.5-41.8m: morceau de roches intrusives felsiques à intermédiaires (boulder)					
41.80	42.25	S6D; LAM Argilite; Laminations parallèles de 41.8-42.25m: argilite laminée à 25-30TCA. la roche contient 2% de Po-Py dissiminée et dans les veinules de quartz-caronate. une veine de quartz-carbonate marque le contact inférieur à 30TCA avec un intrusion mafique.	41.80	42.25	E6573198	0.45	0.010
41.80	42.25	C Contact 50°					
41.80	42.25	Py02; Po Pyrite 2%; Pyrrhotine					
42.25	44.75	I2; I3; MOY; MAG Intrusion intermédiaire; Intrusion mafique; Grains moyens; Magnétique de 42.25-44.75m: Intrusion mafique, gabbro, gris beige moyen à verdatre, grains moyens, magnétique, silicifiée et chloritisé, contenant 1% de Po à grains fins à	42.25	42.80	E6573199	0.55	<0.01

Description		Analyse				
		De	À	N° d'échantillon	Longueur	Au_Final (g/t)
42.25	44.75	<p>grossiers dissimulées. de 43.4-43.6m: présence d'une zone de faille avec carottes brisées d'intrusion mafique à intermédiaire. le contact inférieur est marqué par une veine de quartz-carbonate contenant un amas de Cp et Po. Chl; Sil Chloritisation; Silicification</p>				
42.25	44.70	<p>Po01 Pyrrhotine 1%</p>				
43.40	43.60	42.80	43.40	E6573201	0.60	<0.01
		43.40	44.10	E6573202	0.70	<0.01
		44.10	44.75	E6573203	0.65	0.010
44.72	44.75	<p>Cp01; Po03 Chalcopyrite 1%; Pyrrhotine 3% amas de Po-Cp dans la veine</p>				
44.72	44.75	<p>VQC;;;;;Po03 Cp02; Veine QZ + Carbonate Pyrrhotine 3% Chalcopyrite 2% amas massif de Cp-Po dans la veine au contact</p>				
44.75	95.30	<p>S6D; LAM; FOL; FIN Argilite; Laminations parallèles; Foliée; Grains fins Argilite graphitique, alternance de bandes mm-cm noir et de bandes mm gris foncé (75-25), très bien foliée à 50-55TCA, généralement à grains très fins à fins avec la présence de clasts siliceux occasionnels plus grossiers, contenant entre 20-30% de fractures/veinules carbonates-quartz orientées dans le même sens que la foliation avec plusieurs veines de carbonates et quartz localement également avec de la chlorite dans la roche. Présence de slump features et load casts localement dans la roche. Contient généralement de trace à 2% localement de Py-Po à grains fins dissimulées et en amas à travers la roche, dans les factures et quelques veines et veinules.</p>				
		44.75	45.10	E6573204	0.35	0.120

Description			Analyse					
			De	À	N° d'échantillon	Longueur	Au_Final (g/t)	
		<p>De 58.9-59m: carottes brisées (zone de faille)</p> <p>De 63.23-63.95m: dyke intermédiaire à mafique, grains fins. contacts francs à 55TCA.</p> <p>À 63m: veine de sable</p> <p>De 63.32-63.95m: dyke intermédiaire à mafique, vert moyen à grains fins. contact francs à 55TCA.</p> <p>À 92m augmentation de la minéralisation Po(Py) dans les plans de foliation.</p> <p>De 92.6-93.2m: argilite minéralisée contenant entre 50-75% de bandes massives de Po(Py) orientées dans le plan de foliation. le contact supérieur est composé de carottes brisées (faille) et l'inférieur est franc mais brisé.</p> <p>De 93.2-93.55m: dyke intermédiaire à mafique vert-gris moyen, massif à grains fins, silicifié et chloritisé, magnétique contenant 5-7% de Po(Py) dissiminée et localement dans les fractures. les contacts sont francs à 55TCA.</p> <p>De 93.55-94.55m: argilite minéralisée contenant entre 50-75% de bandes massives de Po(Py) orientées dans le plan de foliation. le contact inférieur est franc mais brisé.</p> <p>94.55-95.3m: argilite minéralisée à grains fins contenant entre 15-20% de Po(Py) dissiminée et également dans des bandes massives orientées dans le plan de foliation de 95.2-95.3m. le contact inférieur est franc mais brisé.</p>						
44.75	92.60	Sil; Car Silicification; Carbonatisation						
44.75	63.00	S Schistosité 50°						
44.75	92.60	Pytr-2; Po Pyrite tr-2; Pyrrhotine						
44.75	95.30	VQC;10%;;;;Po Py; Veine QZ + Carbonate 10% Pyrrhotine Pyrite						
			62.80	63.32	E6573205	0.52	0.020	
63.00	63.23	CNR; EAU Carotte non récupérée; Veine d eau veine de sable						

Description			Analyse					
			De	À	N° d'échantillon	Longueur	Au_Final (g/t)	
63.23	63.95	I2; I3; FIN Intrusion intermédiaire; Intrusion mafique; Grains fins De 63.23-63.95m: dyke intermédiaire à mafique, grains fins. contacts francs à 30TCA.						
63.23	63.95	C Contact 55°						
			63.32	63.95	E6573206	0.63	<0.01	
			63.95	64.75	E6573207	0.80	0.020	
			64.75	65.45	E6573208	0.70	0.030	
			65.45	66.00	E6573209	0.55	0.120	
			66.00	67.00	E6573210	1.00	0.020	
			76.00	77.00	E6573211	1.00	0.010	
			77.00	78.00	E6573212	1.00	0.010	
			90.00	91.00	E6573213	1.00	<0.01	
			91.00	92.00	E6573214	1.00	<0.01	
			92.00	92.60	E6573215	0.60	<0.01	
92.60	93.20	S6D; MS; LAM; FOL; MAG Argilite; Massif sulfide; Laminations parallèles; Foliée; Magnétique argilite minéralisée contenant entre 50-75% de bandes massives de Po(Py) orientées dans le plan de foliation. le contact supérieur est composé de carottes brisées (faille) et l'inférieur est franc mais brisé.	92.60	93.20	E6573216	0.60	0.180	
92.60	93.20	Sil+ Silicification forte						
92.60	92.65	C; FAI Contact; Faille						
92.60	93.20	Po50-75; Py05; Gp Pyrrhotine 50-75; Pyrite 5%; Graphite De 92.6-93.2m: argilite minéralisée contenant entre 50-75% de bandes massives						

Description		Analyse					
		De	À	N° d'échantillon	Longueur	Au_Final (g/t)	
93.20	93.55	de Po(Py) orientées dans le plan de foliation. le contact supérieur est composé de carottes brisées (faille) et l'inférieur est franc mais brisé. I2; I3; FIN; MAG Intrusion intermédiaire; Intrusion mafique; Grains fins; Magnétique De 93.2-93.55m: dyke intermédiaire à mafique vert-gris moyen, massif à grains fins, silicifiée et chloritisé, magnétique contenant 5-7% de Po(Py) dissiminée et localement dans les fractures. les contacts sont francs à 30TCA.	93.20	93.55	E6573217	0.35	<0.01
93.20	93.55	C Contact 55°					
93.20	93.55	Po5-7; Py Pyrrhotine 5-7; Pyrite 5-7% de Po(Py) dissiminée et localement dans les fractures					
93.55	94.55	S6D; MS; LAM; FOL; MAG Argilite; Massif sulfide; Laminations parallèles; Foliée; Magnétique argilite minéralisée contenant entre 50-75% de bandes massives de Po(Py) orientées dans le plan de foliation. le contact inférieur est franc mais brisé.	93.55	94.55	E6573218	1.00	0.100
93.55	94.55	Sil+ Silicification forte					
93.55	95.30	S; C Schistosité 50°; Contact contact inférieur est franc mais brisé.					
93.55	94.55	Po50-75; Py; Gp Pyrrhotine 50-75; Pyrite; Graphite 50-75% de bandes massives de Po(Py) orientées dans le plan de foliation					
94.55	95.30	S6D; LAM; FOL; MAG Argilite; Laminations parallèles; Foliée; Magnétique argilite minéralisée à grains fins très silicifiée contenant entre 15-20% de Po(Py) dissiminées et également dans des bandes massives orientées dans le plan de foliation de 95.2-95.3m. le contact inférieur est franc mais brisé.	94.55	95.20	E6573219	0.65	<0.01
94.55	95.30	Sil+ Silicification forte					

Description			Analyse				
			De	À	N° d'échantillon	Longueur	Au_Final (g/t)
94.55	95.20	Po15-20; Py Pyrrhotine 15-20; Pyrite 15-20% de Po(Py) dissimulées et également dans des bandes massives orientées dans le plan de foliation de 95.2-95.3m.					
95.20	95.30	Po30-40; Py; Gp Pyrrhotine 30-40; Pyrite; Graphite 15-20% de Po(Py) dissimulées et également dans des bandes massives orientées dans le plan de foliation de 95.2-95.3m					
95.30	177.00	V3; APH; FIN; CIS; MAS Volcanite mafique; Aphanitique; Grains fins; Cisailé; Roche massive Roche volcanique mafique, gris beige verdâtre à vert moyen, aphanitique avec des sections à grains fins, foliée à 55TCA, très altérée en séricite/carbonate et chlorite jusqu'à 101.7m par la suite chloritisée, carbonatée et légèrement silicifiée. Présence de bandes très fragmentaires qui sont probablement des interflows de tuf à travers la roche et ou des bordures de coussin. Présence très local de petits leucoxènes. Entre 15-20% de veines et veinules de carbonate avec moins de chlorite et quartz. Trace à 2% (171-177m) de Po-Py et rare Cp finement dissimulée et également localement dans les veines, veinules et fractures. veine de carbonate-quartz(chlorite) 121.2-121.3m et 122.35-123m	95.30	96.00	E6573221	0.70	<0.01
95.30	101.70	Car; Ser; Chl Carbonatisation; Séricitisation; Chloritisation					
95.30	177.00	CIS Cisailé(e) 55°					
95.30	171.00	Potr; Py Pyrrhotine tr; Pyrite					
95.30	177.00	VC;20%;;;Pytr Potr; Veine de carbonate 20% Pyrite tr Pyrrhotine tr trace de chlorite et de quartz dans les veines localement.	96.00	97.00	E6573222	1.00	<0.01

Description			Analyse				
			De	À	N° d'échantillon	Longueur	Au_Final (g/t)
101.70	177.00	Chl; Car-; Sil- Chloritisation; Carbonatisation faible; Silicification faible	97.00	98.00	E6573223	1.00	<0.01
			98.00	99.00	E6573224	1.00	<0.01
			99.00	100.00	E6573225	1.00	<0.01
			100.00	101.00	E6573226	1.00	<0.01
			101.00	101.70	E6573227	0.70	<0.01
			110.00	111.00	E6573228	1.00	<0.01
			132.00	133.00	E6573229	1.00	<0.01
			133.00	134.00	E6573230	1.00	<0.01
			136.50	137.50	E6573231	1.00	<0.01
			157.50	158.50	E6573232	1.00	0.010
171.00	177.00	Py1-2; Po; Cptr Pyrite 1-2; Pyrrhotine; Chalcopyrite tr	166.00	167.00	E6573233	1.00	0.010
			167.00	168.00	E6573234	1.00	<0.01
			171.00	172.00	E6573235	1.00	<0.01
			172.00	173.00	E6573236	1.00	<0.01
			173.00	174.00	E6573237	1.00	<0.01
			174.00	175.00	E6573238	1.00	<0.01
			175.00	176.00	E6573239	1.00	<0.01
			176.00	177.00	E6573241	1.00	0.010

Déviation

Profondeur	Type	Azimut	Plongée	Description	Invalide
57.00	Reflex EZ-Trac	202.80°	-52.50°	56666	Non
60.00	Reflex EZ-Trac	202.40°	-52.30°	56733	Non
63.00	Reflex EZ-Trac	202.60°	-52.20°	56434	Non
66.00	Reflex EZ-Trac	202.90°	-52.10°	56423	Non
69.00	Reflex EZ-Trac	201.90°	-52.10°	57368	Non
72.00	Reflex EZ-Trac	203.00°	-52.00°	56388	Non
75.00	Reflex EZ-Trac	203.00°	-51.90°	56398	Non
78.00	Reflex EZ-Trac	202.40°	-51.80°	56163	Non
81.00	Reflex EZ-Trac	203.10°	-51.70°	56394	Non
84.00	Reflex EZ-Trac	203.20°	-51.60°	56218	Non
87.00	Reflex EZ-Trac	203.20°	-51.50°	56394	Non
90.00	Reflex EZ-Trac	203.20°	-51.40°	56318	Non
93.00	Reflex EZ-Trac	203.10°	-51.30°	56253	Non
96.00	Reflex EZ-Trac	203.20°	-51.20°	56479	Non
99.00	Reflex EZ-Trac	191.30°	-51.10°	57659	Non
102.00	Reflex EZ-Trac	203.90°	-51.00°	56532	Non
105.00	Reflex EZ-Trac	203.80°	-50.90°	56789	Non
108.00	Reflex EZ-Trac	204.00°	-50.80°	56386	Non
111.00	Reflex EZ-Trac	203.90°	-50.70°	56389	Non
114.00	Reflex EZ-Trac	204.00°	-50.70°	56382	Non
117.00	Reflex EZ-Trac	203.80°	-50.70°	56380	Non
120.00	Reflex EZ-Trac	203.90°	-50.60°	56384	Non
123.00	Reflex EZ-Trac	203.00°	-50.60°	56592	Non
126.00	Reflex EZ-Trac	203.70°	-50.60°	56326	Non
129.00	Reflex EZ-Trac	203.90°	-50.60°	56386	Non
132.00	Reflex EZ-Trac	203.50°	-50.50°	56254	Non
135.00	Reflex EZ-Trac	203.80°	-50.50°	56339	Non
138.00	Reflex EZ-Trac	203.80°	-50.40°	56406	Non
141.00	Reflex EZ-Trac	203.80°	-50.40°	56398	Non
144.00	Reflex EZ-Trac	203.80°	-50.30°	56395	Non
147.00	Reflex EZ-Trac	203.80°	-50.20°	56396	Non
150.00	Reflex EZ-Trac	203.80°	-50.20°	56422	Non
153.00	Reflex EZ-Trac	203.90°	-50.10°	56409	Non

Déviation

Profondeur	Type	Azimut	Plongée	Description	Invalide	
156.00	Reflex EZ-Trac	203.80°	-50.00°	56360	Non	
159.00	Reflex EZ-Trac	204.20°	-49.90°	56450	Non	
162.00	Reflex EZ-Trac	204.10°	-49.90°	56385	Non	
165.00	Reflex EZ-Trac	203.90°	-49.90°	56414	Non	
168.00	Reflex EZ-Trac	203.90°	-49.80°	56374	Non	
171.00	Reflex EZ-Trac	204.30°	-49.70°	56412	Non	
174.00	Reflex EZ-Trac	204.20°	-49.60°	56406	Non	
177.00	Reflex EZ-Trac	203.90°	-49.50°	56394	Non	

Analyse

De	À	Longueur	N° d'échantillon	Au_Final (g/t)	Au_AA1 (g/t)	Au_GV1 (g/t)	Ag (ppm)	Cu (ppm)	Zn (ppm)	Pb (ppm)	Ni (ppm)	
41.80	42.25	0.45	E6573198	0.010	0.010							
42.25	42.80	0.55	E6573199	<0.01	<0.01							
42.80	43.40	0.60	E6573201	<0.01	<0.01							
43.40	44.10	0.70	E6573202	<0.01	<0.01							
44.10	44.75	0.65	E6573203	0.010	0.010							
44.75	45.10	0.35	E6573204	0.120	0.120							
62.80	63.32	0.52	E6573205	0.020	0.020							
63.32	63.95	0.63	E6573206	<0.01	<0.01							
63.95	64.75	0.80	E6573207	0.020	0.020							
64.75	65.45	0.70	E6573208	0.030	0.030							
65.45	66.00	0.55	E6573209	0.120	0.120							
66.00	67.00	1.00	E6573210	0.020	0.020							
76.00	77.00	1.00	E6573211	0.010	0.010							
77.00	78.00	1.00	E6573212	0.010	0.010							
90.00	91.00	1.00	E6573213	<0.01	<0.01							
91.00	92.00	1.00	E6573214	<0.01	<0.01							
92.00	92.60	0.60	E6573215	<0.01	<0.01							
92.60	93.20	0.60	E6573216	0.180	0.180							
93.20	93.55	0.35	E6573217	<0.01	<0.01							
93.55	94.55	1.00	E6573218	0.100	0.100							
94.55	95.20	0.65	E6573219	<0.01	<0.01							
95.30	96.00	0.70	E6573221	<0.01	<0.01							
96.00	97.00	1.00	E6573222	<0.01	<0.01							
97.00	98.00	1.00	E6573223	<0.01	<0.01							
98.00	99.00	1.00	E6573224	<0.01	<0.01							
99.00	100.00	1.00	E6573225	<0.01	<0.01							
100.00	101.00	1.00	E6573226	<0.01	<0.01							
101.00	101.70	0.70	E6573227	<0.01	<0.01							
110.00	111.00	1.00	E6573228	<0.01	<0.01							
132.00	133.00	1.00	E6573229	<0.01	<0.01							
133.00	134.00	1.00	E6573230	<0.01	<0.01							
136.50	137.50	1.00	E6573231	<0.01	<0.01							
157.50	158.50	1.00	E6573232	0.010	0.010							

Analyse

De	A	Longueur	N° d'échantillon	Au_Final (g/t)	Au_AA1 (g/t)	Au_GV1 (g/t)	Ag (ppm)	Cu (ppm)	Zn (ppm)	Pb (ppm)	Ni (ppm)	
166.00	167.00	1.00	E6573233	0.010	0.010							
167.00	168.00	1.00	E6573234	<0.01	<0.01							
171.00	172.00	1.00	E6573235	<0.01	<0.01							
172.00	173.00	1.00	E6573236	<0.01	<0.01							
173.00	174.00	1.00	E6573237	<0.01	<0.01							
174.00	175.00	1.00	E6573238	<0.01	<0.01							
175.00	176.00	1.00	E6573239	<0.01	<0.01							
176.00	177.00	1.00	E6573241	0.010	0.010							

Sondage : MM-16-01

Titre minier : 2322191

Section :

Canton : Manthet

Niveau :

Rang :

Place de travail :

Entrepreneur : Forage Orbit-Garant

Lot :

Auteur : J. Riopel

Date de début : 2016-01-16

Date de description : 2016-01-22

Date de fin : 2016-01-21

Collet

Azimut : 60.00°

Plongée : -55.00°

Longueur : 345.00

UTM (N83Z17)

Est	616990.0
Nord	5548945.0
Élévation	0.0

Description :

Dimension de la carotte : Carotte NQ

Cimenté : Non

Entreposé : Oui

Description			Analyse					
			De	À	N° d'échantillon	Longueur	Au_Final (g/t)	
0.00	22.50	MT Mort Terrain Mort-Terrain						
22.50	144.67	V3B; FOL Basalte; Foliée Basalte de tente noir verdâtre, généralement massif avec quelques passages bréchque. Sections magnétiques marquées par la présence de cristaux millimétriques de magnétite. Très carbonaté, caractérisé par le développement de venules de calcite à 40-50 AC décrivant une foliation. Cette carbonatation décroît progressivement, et on observe le développement de veines et veinules de quartz à partir approximativement 85 mètres. La foliation se développe progressivement également. Recoupé par des sections plus massives, à grain fins et non magnétique moins injecté de calcite. On observe la présence de veines de quartz-biotite avec dissémination de pyrite qui recoupe la foliation d'une façon orthogonale soit à 30 AC. Progressivement, avec le développement de la foliation, on observe l'apparition d'une biotite de tente noir-brunâtre, mais la calcite demeure présente. Dissémination de pyrite moins de 1%.	30.75	31.50	E5756401	0.75	<0.01	
			42.70	43.70	E5756402	1.00	0.010	
43.35	43.40	VQBio;;;70°; Veine de Qz-Bio 70° Vene de quartz avec aux épontes de la biotite brunâtre. Dissémination de pyrite.	43.70	45.00	E5756403	1.30	<0.01	
44.65	44.70	VQBio;;;70°; Veine de Qz-Bio 70° Idem à la veine décrit antérieurement.	45.00	46.00	E5756404	1.00	<0.01	
			46.00	47.00	E5756405	1.00	<0.01	
			48.50	49.00	E5756406	0.50	<0.01	
48.80	48.90	VQBio;;;70°; Veine de Qz-Bio 70° Idem						

Description			Analyse				
			De	À	N° d'échantillon	Longueur	Au_Final (g/t)
55.30	59.95	I2J Diorite Diorite de tente noir-verdatre, massive et à grain fins à moyens. Pourrait être un gabbro. Très carbonatisé, les contacts sont francs à 50 A.C.	54.80	55.30	E5756407	0.50	<0.01
			57.30	57.80	E5756408	0.50	0.030
			58.95	59.50	E5756409	0.55	<0.01
66.70	68.18	VQ;;;40°;; Veine de Qz 40° Vene de quartz balncahtre, stérile.	68.95	70.57	I2J Diorite Diorite idem à l'intervale précédente.		
			74.50	75.50	E5756410	1.00	<0.01
			75.50	76.50	E5756411	1.00	0.010
			76.50	77.50	E5756412	1.00	<0.01
			77.50	78.50	E5756413	1.00	<0.01
			81.75	82.75	E5756414	1.00	0.010
81.90	82.50	VQBio;;;20°;; Veine de Qz-Bio 20° Veine de quartz et biotite. renferme plus de biotite noir-brunatre automorphe et plus de d'amas de pyrite. Les contacts son difformes mais sont sub-parallèle à AC à 20 AC	84.00	84.90	E5756415	0.90	<0.01
			84.26	84.32	VQBio;;;30°;; Veine de Qz-Bio 30° Vine de quartz, trace de biotite avec dissémination de pyrite.		
			93.00	94.00	E5756416	1.00	0.010
			94.00	95.00	E5756417	1.00	0.010
			95.00	96.00	E5756418	1.00	<0.01
			96.00	97.50	E5756419	1.50	0.020 <0.01

Description			Analyse				
			De	À	N° d'échantillon	Longueur	Au_Final (g/t)
105.85	112.10	V3B; BRC Basalte; Brèche de coulée Sections marqués par la présence de fragments à 50 AC.	96.00	97.50	E5756420 (Bln)	1.50	
			97.50	99.00	E5756421	1.50	<0.01
			99.00	100.50	E5756422	1.50	<0.01
			100.50	102.00	E5756423	1.50	<0.01
			102.00	103.50	E5756424	1.50	<0.01
			103.50	105.00	E5756425	1.50	<0.01
			118.00	119.30	E5756426	1.30	<0.01
			119.30	120.30	E5756427	1.00	<0.01
			120.30	121.50	E5756428	1.20	<0.01
			121.50	123.00	E5756429	1.50	<0.01
144.67	145.67	FLT Faille 60° Zone de faille avec développement de boue de faille et d'une forte schistosité à 60 AC. Présence de veine de quartz et dissémination de pyrite. Pas de calcite mais on observe de la biotite.	127.20	128.50	E5756430	1.30	<0.01
			145.50	146.50	E5756431	1.00	<0.01
			146.50	147.50	E5756432	1.00	0.010
			147.50	148.50	E5756433	1.00	0.010
145.67	146.05	BF Boue de faille 60° Boue de faille à 60 AC, présence de fragment de roche hôte	148.50	149.50	E5756434	1.00	<0.01
			149.30	149.34	BF Boue de faille 60° Boue de faille	149.50	150.20

Description			Analyse				
			De	À	N° d'échantillon	Longueur	Au_Final (g/t)
149.63	214.00	V3B; CIS Basalte; Cisailé Basalte cisailé à 60 AC, développement d'un rubanement marqué par de fins rubans de biotite en début de section, par la suite veinules de calcite. Semble à l'origine d'une unité massive déformée. Généralement carbonatisé, des sections métriques sont plus silicifiées avec veines et veinules de quartz. Dissémination de pyrite.					
149.63	149.68	BF Boue de faille 60° Boue de faille	157.30	157.70	E5756436	0.40	0.020
157.40	157.60	VQBio;;;0°;; Veine de Qz-Bio 0° Veine idem aux autres intervalles	162.00	163.00	E5756437	1.00	0.050
			163.00	164.00	E5756438	1.00	0.020
			164.00	165.00	E5756439	1.00	<0.01
			164.00	165.00	E5756440 (Std)	1.00	1.070
			165.00	166.00	E5756441	1.00	<0.01
			166.00	167.00	E5756442	1.00	<0.01
			178.50	179.00	E5756443	0.50	<0.01
182.70	183.10	CIS+ Cisaillement fort 60° Zone de cisaillement avec schistosité à 60 AC. Sans boue de faille mais la roche est très friable et présente des micro plis. non minéralisée.	184.40	185.40	E5756444	1.00	<0.01
184.50	187.50	Sil Silicification Section sans calcite, caractérisée par des veines de quartz grisâtre à 70 AC. Veine non minéralisée, dissémination de pyrite dans la roche hôte.	185.40	186.50	E5756445	1.10	<0.01
			186.50	187.50	E5756446	1.00	<0.01

Description			Analyse				
			De	À	N° d'échantillon	Longueur	Au_Final (g/t)
190.60	214.00	V3B; RUB Basalte 55°; Rubané Section qui semble plus rubané et ou cisailé à 55 AC. Les rubans sont marqués par soit de la calcite ou par la chlorite, parfois par des zones plus silicifié, peut être du litage. Dissémination de pyrite suivant ces rubans.	194.00	195.00	E5756447	1.00	<0.01
194.25	194.50	VQBio;;;0°;; Veine de Qz-Bio 0° Veine de quartz et biotite sub-parallèle à la carote. Veine de tension lenticulaire. Cette veine recoupe la foliation et elle est elle-même recoupée par une veine de quartz de teneur grisâtre témoignant de 2 épisodes d'hydrothermalisme.	195.00	196.00	E5756448	1.00	<0.01
			196.00	197.60	E5756449	1.60	<0.01
			198.00	199.50	E5756450	1.50	<0.01
			199.50	201.00	E5756451	1.50	<0.01
			201.00	202.50	E5756452	1.50	<0.01
			202.50	204.00	E5756453	1.50	<0.01
			204.00	205.00	E5756454	1.00	<0.01
			205.00	206.00	E5756455	1.00	<0.01
			206.00	207.00	E5756456	1.00	0.020
			209.20	210.00	E5756457	0.80	0.020
			210.00	211.00	E5756458	1.00	<0.01
			211.00	212.00	E5756459	1.00	<0.01
			211.00	212.00	E5756460 (Bln)	1.00	<0.01
			212.00	213.00	E5756461	1.00	<0.01
			213.00	214.00	E5756462	1.00	0.050
213.98	217.66	Po07; Py01; Cp Pyrrhotine 7%; Pyrite 1%; Chalcopryrite Zone minéralisée avec 5 à 7% de pyrrhotine, 1 % de pyrite et moins de 1% de chalcopryrite. Les sulfures sont sous forme de laminations à 55 AC, qui sont					

Description		Analyse						
		De	À	N° d'échantillon	Longueur	Au_Final (g/t)		
214.00	280.20	parfois plissé (micro plis), en amas dans des zones plus silicifiées. On observe des sections centimétriques avec fuschite et d'autres avec des zones plus silicifiées. Absent de calcite.						
		V3B; CIS	214.00	214.70	E5756463	0.70	0.020	
		Basalte; Cisaillé						
		Basalte cisaillé et minéralisé, non carbonaté et renfermant des zones minéralisés sous forme de lamination, en amas dans des zones silicifiées et avec présence de fuschite surtout au début de la section. Par la suite, on observe la présence d'un rubanement discret émoignant soit d'un cisaillement ou d'un litage. Des sections plus silicifiées avec injection de veines de quartz sont présentes, on observe également la présence de veine de quartz et biotite.						
			214.70	215.35	E5756464	0.65	0.030	
215.30	217.66	FC; Sil						
		Fuschite; Silicification						
		Section de la zone minéralisée avec présence de fuschite et montrant une plus forte silicification.						
			215.35	216.40	E5756465	1.05	0.020	
			216.40	216.80	E5756466	0.40	0.010	
			216.80	217.70	E5756467	0.90	0.020	
			217.70	219.00	E5756468	1.30	<0.01	
			219.00	220.50	E5756469	1.50	<0.01	
			220.50	222.00	E5756470	1.50	0.020	
			222.00	223.50	E5756471	1.50	<0.01	
			223.50	225.00	E5756472	1.50	0.020	
			225.00	226.50	E5756473	1.50	0.010	
			231.40	232.50	E5756474	1.10	0.010	
			232.50	234.00	E5756475	1.50	0.010	
			234.00	235.50	E5756476	1.50	<0.01	
			235.50	237.00	E5756477	1.50	0.020	
			237.00	238.50	E5756478	1.50	<0.01	
			238.50	240.00	E5756479	1.50	0.010	

Description			Analyse				
			De	À	N° d'échantillon	Longueur	Au_Final (g/t)
244.50	258.25	Sil Silicification Section renfermant plusieurs veines de quartz. A la fin de la section on observe l'apparition d'une teinte brunâtre,, origine ???	238.50	240.00	E5756480 (Std)	1.50	1.030
			240.00	241.50	E5756481	1.50	<0.01
			241.50	243.00	E5756482	1.50	<0.01
			243.00	244.50	E5756483	1.50	<0.01
			244.50	246.00	E5756484	1.50	<0.01
			246.00	247.50	E5756485	1.50	<0.01
			247.50	249.00	E5756486	1.50	<0.01
			249.00	250.50	E5756487	1.50	<0.01
			250.50	252.00	E5756488	1.50	<0.01
			252.00	252.80	E5756489	0.80	0.010
252.10	258.25	Py01; Potr Pyrite 1%; Pyrrhotine tr Section présentant une silicification avec présence de veines de quartz, également de rubans de teinte brunâtre, du plissement et une dissémination de pyrite surtout concentrée vers la fin de la section. Rares rubans de pyrrhotine. Les bandes brunâtres sont recoupées par des veines de quartz.	252.80	253.80	E5756490	1.00	<0.01
			253.80	254.80	E5756491	1.00	<0.01
			254.80	255.80	E5756492	1.00	<0.01
			255.80	256.70	E5756493	0.90	<0.01
			256.70	257.70	E5756494	1.00	<0.01
			257.70	258.30	E5756495	0.60	<0.01
			260.50	261.50	E5756496	1.00	<0.01
			261.50	262.90	E5756497	1.40	<0.01
262.00	270.90	Sil Silicification Idem à l'intervalle précédent, plus forte concentration de veines de quartz .					

Description			Analyse							
			De	À	N° d'échantillon	Longueur	Au_Final (g/t)			
264.00	278.90	Py01 Pyrite 1% Section avec présence de pyrite disséminée, en speudo rubans et associées à la silicification.	262.90	264.00	E5756498	1.10	0.020			
			264.00	264.50	E5756499	0.50	0.040			
			264.00	264.50	E5756500 (BlN)	0.50	<0.01			
			264.50	265.50	E5756501	1.00	0.020			
			265.50	266.50	E5756502	1.00	0.030			
			266.50	267.50	E5756503	1.00	0.200			
			267.50	269.00	E5756504	1.50	<0.01			
			269.00	270.00	E5756505	1.00	0.010			
			270.00	270.90	E5756506	0.90	0.010			
			275.70	276.30	E5756507	0.60	<0.01			
276.00	276.10	VQBio;;;0°;; Veine de Qz-Bio 0° Veine de quartz-biotite sub-parallèle à AC.	278.50	279.30	E5756508	0.80	<0.01			
280.20	330.10	V3B; MAS Basalte; Roche massive Basalte massif, de teinte noir verdâtre, passage magnétique avec cristaux millimétrique de magnetite. Section marqué par l'injection de veines de quartz plus marquée ainsi que des veinbes de quartz et biotite. section avec dissémination de sulfures.	292.00	293.00	E5756509	1.00	<0.01			
			293.00	294.00	E5756510	1.00	0.010			
			294.00	295.50	E5756511	1.50	<0.01			
			295.50	297.00	E5756512	1.50	<0.01			
			297.00	298.50	E5756513	1.50	<0.01			
			297.50	299.50	VQBio;;;60°;; Veine de Qz-Bio 60° Section avec plusieurs veines de quartz-biotite, don un sytem conjuqué à 55 AC	298.50	299.50	E5756514	1.00	0.010

Description			Analyse				
			De	À	N° d'échantillon	Longueur	Au_Final (g/t)
304.00	324.00	Sil Silicification Idem plus forte concentration de veines	303.00	304.00	E5756515	1.00	0.010
			303.60	303.90	E5756516 (Bl)	1.20	0.050
			305.00	306.00	E5756517	1.00	0.020
			310.40	311.90	E5756518	1.50	<0.01
			315.00	316.00	E5756519	1.00	0.030
			315.00	316.00	E5756520 (Std)	1.00	1.010
			316.00	317.00	E5756521	1.00	<0.01
			317.00	318.00	E5756522	1.00	0.020
			318.00	319.00	E5756523	1.00	0.030
			319.00	319.90	E5756524	0.90	0.020
			319.90	320.90	E5756525	1.00	0.030
			320.90	321.90	E5756526	1.00	0.030
			321.90	322.90	E5756527	1.00	0.010
			322.90	324.00	E5756528	1.10	<0.01
			324.00	325.00	E5756529	1.00	<0.01
			325.00	326.00	E5756530	1.00	<0.01
			326.00	327.00	E5756531	1.00	0.020
			327.00	328.50	E5756532	1.50	0.020
			328.50	330.00	E5756533	1.50	<0.01
330.00	331.00	E5756534	1.00	<0.01			
330.10	345.00	V1D; MAS Dacite; Roche massive Probablement une roche felsique à faciès massif mais cisailé à 55 AC.	331.00	332.00	E5756535	1.00	<0.01
			332.00	333.00	E5756536	1.00	0.040
			333.00	334.00	E5756537	1.00	<0.01
			334.00	334.80	E5756538	0.80	<0.01

Description	Analyse				
	De	À	N° d'échantillon	Longueur	Au_Final (g/t)
340.55 342.50 I2J Diorite Dyke de diorite de teinte verdâtre à grains fins, contacts à 50 AC	336.70	337.90	E5756539	1.20	0.010
	342.40	343.50	E5756541	1.10	<0.01
	343.50	345.00	E5756542	1.50	<0.01

Déviation

Profondeur	Type	Azimut	Plongée	Description	Invalide
30.00	Reflex EZ-Trac	56.30°	-53.90°	56427	Non
33.00	Reflex EZ-Trac	56.80°	-53.70°	56304	Non
36.00	Reflex EZ-Trac	56.70°	-53.50°	56241	Non
39.00	Reflex EZ-Trac	56.60°	-53.20°	56204	Non
42.00	Reflex EZ-Trac	56.80°	-53.00°	56099	Non
45.00	Reflex EZ-Trac	56.80°	-52.80°	56128	Non
48.00	Reflex EZ-Trac	56.40°	-52.60°	55932	Non
51.00	Reflex EZ-Trac	56.90°	-52.70°	56022	Non
54.00	Reflex EZ-Trac	56.80°	-52.50°	55980	Non
57.00	Reflex EZ-Trac	56.70°	-52.30°	56040	Non
60.00	Reflex EZ-Trac	59.20°	-52.00°	55863	Non
63.00	Reflex EZ-Trac	57.50°	-51.80°	56124	Non
66.00	Reflex EZ-Trac	57.80°	-51.70°	56128	Non
69.00	Reflex EZ-Trac	57.50°	-51.50°	56035	Non
72.00	Reflex EZ-Trac	59.10°	-51.40°	56132	Non
75.00	Reflex EZ-Trac	57.40°	-51.30°	55961	Non
78.00	Reflex EZ-Trac	57.60°	-51.20°	56104	Non
81.00	Reflex EZ-Trac	57.50°	-51.10°	56111	Non
84.00	Reflex EZ-Trac	57.90°	-51.10°	56074	Non
87.00	Reflex EZ-Trac	57.80°	-51.10°	56071	Non
90.00	Reflex EZ-Trac	57.20°	-51.00°	55977	Non
93.00	Reflex EZ-Trac	58.70°	-50.70°	56147	Non
96.00	Reflex EZ-Trac	56.70°	-50.60°	55931	Non
99.00	Reflex EZ-Trac	58.80°	-50.50°	55822	Non
102.00	Reflex EZ-Trac	58.60°	-50.40°	56161	Non
105.00	Reflex EZ-Trac	56.60°	-50.30°	56032	Non
108.00	Reflex EZ-Trac	56.80°	-50.30°	56095	Non
111.00	Reflex EZ-Trac	57.00°	-50.20°	55968	Non
114.00	Reflex EZ-Trac	56.70°	-50.10°	55970	Non
117.00	Reflex EZ-Trac	59.40°	-49.90°	56570	Non
120.00	Reflex EZ-Trac	60.90°	-49.90°	56146	Non
123.00	Reflex EZ-Trac	56.90°	-49.70°	56173	Non
126.00	Reflex EZ-Trac	56.70°	-49.60°	55998	Non

Déviation

Profondeur	Type	Azimut	Plongée	Description	Invalide
129.00	Reflex EZ-Trac	56.50°	-49.40°	56075	Non
132.00	Reflex EZ-Trac	56.20°	-49.30°	56013	Non
135.00	Reflex EZ-Trac	57.30°	-49.20°	55990	Non
138.00	Reflex EZ-Trac	60.20°	-49.40°	56067	Non
141.00	Reflex EZ-Trac	55.90°	-49.20°	56081	Non
144.00	Reflex EZ-Trac	58.20°	-49.20°	56169	Non
147.00	Reflex EZ-Trac	59.80°	-49.00°	56689	Non
150.00	Reflex EZ-Trac	56.00°	-49.00°	55958	Non
153.00	Reflex EZ-Trac	57.00°	-48.90°	55937	Non
156.00	Reflex EZ-Trac	57.20°	-48.80°	56061	Non
159.00	Reflex EZ-Trac	56.00°	-48.70°	56056	Non
162.00	Reflex EZ-Trac	56.50°	-48.60°	55953	Non
165.00	Reflex EZ-Trac	56.30°	-48.50°	56074	Non
168.00	Reflex EZ-Trac	56.30°	-48.30°	56172	Non
171.00	Reflex EZ-Trac	57.00°	-48.20°	56013	Non
174.00	Reflex EZ-Trac	57.20°	-48.20°	56155	Non
177.00	Reflex EZ-Trac	56.80°	-48.10°	56024	Non
180.00	Reflex EZ-Trac	57.60°	-48.00°	55903	Non
183.00	Reflex EZ-Trac	56.40°	-47.90°	55903	Non
186.00	Reflex EZ-Trac	56.20°	-47.80°	55958	Non
189.00	Reflex EZ-Trac	56.30°	-47.70°	56040	Non
192.00	Reflex EZ-Trac	56.00°	-47.70°	55982	Non
195.00	Reflex EZ-Trac	57.70°	-47.60°	55812	Non
198.00	Reflex EZ-Trac	57.50°	-47.50°	56482	Non
201.00	Reflex EZ-Trac	60.10°	-47.40°	56406	Non
204.00	Reflex EZ-Trac	58.10°	-47.30°	56591	Non
207.00	Reflex EZ-Trac	57.30°	-47.30°	56046	Non
210.00	Reflex EZ-Trac	59.60°	-47.20°	55870	Non
213.00	Reflex EZ-Trac	57.00°	-47.10°	56038	Non
216.00	Reflex EZ-Trac	59.90°	-47.00°	55381	Non
219.00	Reflex EZ-Trac	54.90°	-47.00°	56827	Non
222.00	Reflex EZ-Trac	55.70°	-46.90°	55876	Non
225.00	Reflex EZ-Trac	55.80°	-46.90°	55793	Non

Déviation

Profondeur	Type	Azimut	Plongée	Description	Invalide
228.00	Reflex EZ-Trac	57.30°	-46.90°	55712	Non
231.00	Reflex EZ-Trac	58.00°	-46.80°	55883	Non
234.00	Reflex EZ-Trac	55.50°	-46.70°	55945	Non
237.00	Reflex EZ-Trac	58.00°	-46.70°	56087	Non
240.00	Reflex EZ-Trac	57.90°	-46.60°	56558	Non
243.00	Reflex EZ-Trac	56.60°	-46.60°	55845	Non
246.00	Reflex EZ-Trac	61.50°	-46.60°	55886	Non
249.00	Reflex EZ-Trac	60.30°	-46.60°	56803	Non
252.00	Reflex EZ-Trac	58.70°	-46.50°	56341	Non
255.00	Reflex EZ-Trac	56.20°	-46.40°	55867	Non
258.00	Reflex EZ-Trac	55.70°	-46.40°	56165	Non
261.00	Reflex EZ-Trac	56.40°	-46.40°	56001	Non
264.00	Reflex EZ-Trac	56.50°	-46.30°	56169	Non
267.00	Reflex EZ-Trac	56.60°	-46.30°	56027	Non
270.00	Reflex EZ-Trac	56.20°	-46.30°	55906	Non
273.00	Reflex EZ-Trac	56.40°	-46.20°	56279	Non
276.00	Reflex EZ-Trac	56.60°	-46.20°	55885	Non
279.00	Reflex EZ-Trac	56.60°	-46.20°	55837	Non
282.00	Reflex EZ-Trac	57.60°	-46.20°	55934	Non
285.00	Reflex EZ-Trac	57.00°	-46.10°	56017	Non
288.00	Reflex EZ-Trac	58.10°	-45.90°	55970	Non
291.00	Reflex EZ-Trac	58.10°	-45.80°	55659	Non
294.00	Reflex EZ-Trac	58.10°	-45.70°	55980	Non
297.00	Reflex EZ-Trac	57.80°	-45.70°	55788	Non
300.00	Reflex EZ-Trac	59.00°	-45.60°	56086	Non
303.00	Reflex EZ-Trac	57.70°	-45.50°	56090	Non
306.00	Reflex EZ-Trac	64.90°	-45.40°	56351	Non
309.00	Reflex EZ-Trac	58.90°	-45.40°	56772	Non
312.00	Reflex EZ-Trac	70.80°	-45.30°	56821	Non
315.00	Reflex EZ-Trac	60.80°	-45.30°	56169	Non
318.00	Reflex EZ-Trac	58.40°	-45.20°	56164	Non
321.00	Reflex EZ-Trac	58.60°	-45.10°	56227	Non
327.00	Reflex EZ-Trac	57.90°	-45.00°	56631	Non

Déviation

Profondeur	Type	Azimut	Plongée	Description	Invalide	
330.00	Reflex EZ-Trac	58.40°	-45.00°	56172	Non	
336.00	Reflex EZ-Trac	57.60°	-44.80°	56512	Non	
339.00	Reflex EZ-Trac	57.40°	-44.70°	56501	Non	
342.00	Reflex EZ-Trac	56.70°	-44.50°	56301	Non	

Analyse

De	À	Longueur	N° d'échantillon	Au_Final (g/t)	Au_AA1 (g/t)	Au_GV1 (g/t)	Ag (ppm)	Cu (ppm)	Zn (ppm)	Pb (ppm)	Ni (ppm)	
30.75	31.50	0.75	E5756401	<0.01	<0.01							
42.70	43.70	1.00	E5756402	0.010	0.010							
43.70	45.00	1.30	E5756403	<0.01	<0.01							
45.00	46.00	1.00	E5756404	<0.01	<0.01							
46.00	47.00	1.00	E5756405	<0.01	<0.01							
48.50	49.00	0.50	E5756406	<0.01	<0.01							
54.80	55.30	0.50	E5756407	<0.01	<0.01							
57.30	57.80	0.50	E5756408	0.030	0.030							
58.95	59.50	0.55	E5756409	<0.01	<0.01							
74.50	75.50	1.00	E5756410	<0.01	<0.01							
75.50	76.50	1.00	E5756411	0.010	0.010							
76.50	77.50	1.00	E5756412	<0.01	<0.01							
77.50	78.50	1.00	E5756413	<0.01	<0.01							
81.75	82.75	1.00	E5756414	0.010	0.010							
84.00	84.90	0.90	E5756415	<0.01	<0.01							
93.00	94.00	1.00	E5756416	0.010	0.010							
94.00	95.00	1.00	E5756417	0.010	0.010							
95.00	96.00	1.00	E5756418	<0.01	<0.01							
96.00	97.50	1.50	E5756419	0.020	0.020							
97.50	99.00	1.50	E5756421	<0.01	<0.01							
99.00	100.50	1.50	E5756422	<0.01	<0.01							
100.50	102.00	1.50	E5756423	<0.01	<0.01							
102.00	103.50	1.50	E5756424	<0.01	<0.01							
103.50	105.00	1.50	E5756425	<0.01	<0.01							
118.00	119.30	1.30	E5756426	<0.01	<0.01							
119.30	120.30	1.00	E5756427	<0.01	<0.01							
120.30	121.50	1.20	E5756428	<0.01	<0.01							
121.50	123.00	1.50	E5756429	<0.01	<0.01							
127.20	128.50	1.30	E5756430	<0.01	<0.01							
145.50	146.50	1.00	E5756431	<0.01	<0.01							
146.50	147.50	1.00	E5756432	0.010	0.010							
147.50	148.50	1.00	E5756433	0.010	0.010							
148.50	149.50	1.00	E5756434	<0.01	<0.01							

Analyse

De	À	Longueur	N° d'échantillon	Au_Final (g/t)	Au_AA1 (g/t)	Au_GV1 (g/t)	Ag (ppm)	Cu (ppm)	Zn (ppm)	Pb (ppm)	Ni (ppm)	
149.50	150.20	0.70	E5756435	<0.01	<0.01							
157.30	157.70	0.40	E5756436	0.020	0.020							
162.00	163.00	1.00	E5756437	0.050	0.050							
163.00	164.00	1.00	E5756438	0.020	0.020							
164.00	165.00	1.00	E5756439	<0.01	<0.01							
165.00	166.00	1.00	E5756441	<0.01	<0.01							
166.00	167.00	1.00	E5756442	<0.01	<0.01							
178.50	179.00	0.50	E5756443	<0.01	<0.01							
184.40	185.40	1.00	E5756444	<0.01	<0.01							
185.40	186.50	1.10	E5756445	<0.01	<0.01							
186.50	187.50	1.00	E5756446	<0.01	<0.01							
194.00	195.00	1.00	E5756447	<0.01	<0.01							
195.00	196.00	1.00	E5756448	<0.01	<0.01							
196.00	197.60	1.60	E5756449	<0.01	<0.01							
198.00	199.50	1.50	E5756450	<0.01	<0.01							
199.50	201.00	1.50	E5756451	<0.01	<0.01							
201.00	202.50	1.50	E5756452	<0.01	<0.01							
202.50	204.00	1.50	E5756453	<0.01	<0.01							
204.00	205.00	1.00	E5756454	<0.01	<0.01							
205.00	206.00	1.00	E5756455	<0.01	<0.01							
206.00	207.00	1.00	E5756456	0.020	0.020							
209.20	210.00	0.80	E5756457	0.020	0.020							
210.00	211.00	1.00	E5756458	<0.01	<0.01							
211.00	212.00	1.00	E5756459	<0.01	<0.01							
212.00	213.00	1.00	E5756461	<0.01	<0.01							
213.00	214.00	1.00	E5756462	0.050	0.050							
214.00	214.70	0.70	E5756463	0.020	0.020							
214.70	215.35	0.65	E5756464	0.030	0.030							
215.35	216.40	1.05	E5756465	0.020	0.020							
216.40	216.80	0.40	E5756466	0.010	0.010							
216.80	217.70	0.90	E5756467	0.020	0.020							
217.70	219.00	1.30	E5756468	<0.01	<0.01							
219.00	220.50	1.50	E5756469	<0.01	<0.01							

Analyse

De	À	Longueur	N° d'échantillon	Au_Final (g/t)	Au_AA1 (g/t)	Au_GV1 (g/t)	Ag (ppm)	Cu (ppm)	Zn (ppm)	Pb (ppm)	Ni (ppm)	
220.50	222.00	1.50	E5756470	0.020	0.020							
222.00	223.50	1.50	E5756471	<0.01	<0.01							
223.50	225.00	1.50	E5756472	0.020	0.020							
225.00	226.50	1.50	E5756473	0.010	0.010							
231.40	232.50	1.10	E5756474	0.010	0.010							
232.50	234.00	1.50	E5756475	0.010	0.010							
234.00	235.50	1.50	E5756476	<0.01	<0.01							
235.50	237.00	1.50	E5756477	0.020	0.020							
237.00	238.50	1.50	E5756478	<0.01	<0.01							
238.50	240.00	1.50	E5756479	0.010	0.010							
240.00	241.50	1.50	E5756481	<0.01	<0.01							
241.50	243.00	1.50	E5756482	<0.01	<0.01							
243.00	244.50	1.50	E5756483	<0.01	<0.01							
244.50	246.00	1.50	E5756484	<0.01	<0.01							
246.00	247.50	1.50	E5756485	<0.01	<0.01							
247.50	249.00	1.50	E5756486	<0.01	<0.01							
249.00	250.50	1.50	E5756487	<0.01	<0.01							
250.50	252.00	1.50	E5756488	<0.01	<0.01							
252.00	252.80	0.80	E5756489	0.010	0.010							
252.80	253.80	1.00	E5756490	<0.01	<0.01							
253.80	254.80	1.00	E5756491	<0.01	<0.01							
254.80	255.80	1.00	E5756492	<0.01	<0.01							
255.80	256.70	0.90	E5756493	<0.01	<0.01							
256.70	257.70	1.00	E5756494	<0.01	<0.01							
257.70	258.30	0.60	E5756495	<0.01	<0.01							
260.50	261.50	1.00	E5756496	<0.01	<0.01							
261.50	262.90	1.40	E5756497	<0.01	<0.01							
262.90	264.00	1.10	E5756498	0.020	0.020							
264.00	264.50	0.50	E5756499	0.040	0.040							
264.50	265.50	1.00	E5756501	0.020	0.020							
265.50	266.50	1.00	E5756502	0.030	0.030							
266.50	267.50	1.00	E5756503	0.200	0.200							
267.50	269.00	1.50	E5756504	<0.01	<0.01							

Analyse

De	À	Longueur	N° d'échantillon	Au_Final (g/t)	Au_AA1 (g/t)	Au_GV1 (g/t)	Ag (ppm)	Cu (ppm)	Zn (ppm)	Pb (ppm)	Ni (ppm)	
269.00	270.00	1.00	E5756505	0.010	0.010							
270.00	270.90	0.90	E5756506	0.010	0.010							
275.70	276.30	0.60	E5756507	<0.01	<0.01							
278.50	279.30	0.80	E5756508	<0.01	<0.01							
292.00	293.00	1.00	E5756509	<0.01	<0.01							
293.00	294.00	1.00	E5756510	0.010	0.010							
294.00	295.50	1.50	E5756511	<0.01	<0.01							
295.50	297.00	1.50	E5756512	<0.01	<0.01							
297.00	298.50	1.50	E5756513	<0.01	<0.01							
298.50	299.50	1.00	E5756514	0.010	0.010							
303.00	304.00	1.00	E5756515	0.010	0.010							
304.00	305.00	1.00	E5756516	0.050	0.050							
305.00	306.00	1.00	E5756517	0.020	0.020							
310.40	311.90	1.50	E5756518	<0.01	<0.01							
315.00	316.00	1.00	E5756519	0.030	0.030							
316.00	317.00	1.00	E5756521	<0.01	<0.01							
317.00	318.00	1.00	E5756522	0.020	0.020							
318.00	319.00	1.00	E5756523	0.030	0.030							
319.00	319.90	0.90	E5756524	0.020	0.020							
319.90	320.90	1.00	E5756525	0.030	0.030							
320.90	321.90	1.00	E5756526	0.030	0.030							
321.90	322.90	1.00	E5756527	0.010	0.010							
322.90	324.00	1.10	E5756528	<0.01	<0.01							
324.00	325.00	1.00	E5756529	<0.01	<0.01							
325.00	326.00	1.00	E5756530	<0.01	<0.01							
326.00	327.00	1.00	E5756531	0.020	0.020							
327.00	328.50	1.50	E5756532	0.020	0.020							
328.50	330.00	1.50	E5756533	<0.01	<0.01							
330.00	331.00	1.00	E5756534	<0.01	<0.01							
331.00	332.00	1.00	E5756535	<0.01	<0.01							
332.00	333.00	1.00	E5756536	0.040	0.040							
333.00	334.00	1.00	E5756537	<0.01	<0.01							
334.00	334.80	0.80	E5756538	<0.01	<0.01							

Analyse

De	À	Longueur	N° d'échantillon	Au_Final (g/t)	Au_AA1 (g/t)	Au_GV1 (g/t)	Ag (ppm)	Cu (ppm)	Zn (ppm)	Pb (ppm)	Ni (ppm)	
336.70	337.90	1.20	E5756539	0.010	0.010							
342.40	343.50	1.10	E5756541	<0.01	<0.01							
343.50	345.00	1.50	E5756542	<0.01	<0.01							

Annexe V

Certificat d'analyse



Date Submitted: 03-Mar-16
Invoice No.: A16-01795
Invoice Date: 11-Mar-16
Your Reference: 36184 SG16-0132 ADVENTURE GOLD

Techni-Lab Abitibi Inc.(Actlabs)
184 Rue Principale
Ste-Germaine-Boule Quebec J0Z 1M0
Canada

ATTN: Andre Caouette

CERTIFICATE OF ANALYSIS

267 Pulp samples were submitted for analysis.

The following analytical package(s) were requested:

Code 1F2 Total Digestion ICP(TOTAL)

REPORT **A16-01795**

This report may be reproduced without our consent. If only selected portions of the report are reproduced, permission must be obtained. If no instructions were given at time of sample submittal regarding excess material, it will be discarded within 90 days of this report. Our liability is limited solely to the analytical cost of these analyses. Test results are representative only of material submitted for analysis.

Notes:

Values which exceed the upper limit should be assayed for accurate numbers.

CERTIFIED BY:

A handwritten signature in black ink, appearing to be "Emmanuel Esemé". The signature is written in a cursive, somewhat stylized font.

Emmanuel Esemé , Ph.D.
Quality Control

ACTIVATION LABORATORIES LTD.
41 Bittern Street, Ancaster, Ontario, Canada, L9G 4V5
TELEPHONE +905 648-9611 or +1.888.228.5227 FAX +1.905.648.9613
E-MAIL Ancaster@actlabs.com ACTLABS GROUP WEBSITE www.actlabs.com

Results

Activation Laboratories Ltd.

Report: A16-01795

Analyte Symbol	Ag	Al	As	Ba	Be	Bi	Ca	Cd	Co	Cr	Cu	Fe	Ga	Hg	K	Mg	Li	Mn	Mo	Na	Ni	P	Pb
Unit Symbol	ppm	%	ppm	ppm	ppm	ppm	%	ppm	ppm	ppm	ppm	%	ppm	ppm	%	%	ppm	ppm	ppm	%	ppm	%	ppm
Lower Limit	0.3	0.01	3	7	1	2	0.01	0.3	1	1	1	0.01	1	1	0.01	0.01	1	1	1	0.01	1	0.001	3
Method Code	TD-ICP	TD-ICP	TD-ICP	TD-ICP	TD-ICP	TD-ICP	TD-ICP	TD-ICP	TD-ICP	TD-ICP	TD-ICP	TD-ICP	TD-ICP	TD-ICP	TD-ICP	TD-ICP	TD-ICP	TD-ICP	TD-ICP	TD-ICP	TD-ICP	TD-ICP	TD-ICP
6573198	< 0.3	8.47	4	368	< 1	3	2.31	0.4	71	111	33	8.93	23	< 1	1.18	2.23	32	917	3	2.25	95	0.028	< 3
6573199	< 0.3	7.64	12	570	1	< 2	3.02	< 0.3	14	60	5	2.84	17	< 1	1.80	1.14	8	457	5	3.00	27	0.071	< 3
6573200	1.3	7.61	103	153	4	5	2.64	2.4	21	62	101	5.69	22	2	2.76	2.01	3	524	1	3.11	87	0.099	97
6573201	0.3	7.68	4	567	1	< 2	3.09	< 0.3	11	81	2	2.89	17	< 1	1.84	1.23	9	417	4	2.98	30	0.072	< 3
6573202	< 0.3	7.67	< 3	529	1	< 2	2.77	< 0.3	9	101	2	2.54	18	< 1	1.73	1.04	16	383	8	3.13	26	0.062	< 3
6573203	< 0.3	7.74	< 3	569	1	< 2	3.17	< 0.3	16	97	2	2.94	17	< 1	1.88	1.25	9	501	6	2.97	33	0.072	< 3
6573204	1.1	5.36	< 3	147	< 1	3	6.72	0.4	85	133	2290	5.81	13	< 1	0.49	1.23	18	1540	9	2.14	35	0.053	4
6573205	0.4	7.59	11	272	< 1	3	2.71	0.6	29	92	97	6.41	16	< 1	0.59	1.38	15	965	5	3.72	21	0.100	< 3
6573206	< 0.3	5.93	6	104	< 1	< 2	6.17	< 0.3	36	578	24	6.43	13	< 1	0.26	4.18	23	1350	4	1.90	109	0.070	< 3
6573207	0.4	6.49	33	198	< 1	3	3.13	0.3	20	116	37	6.20	19	< 1	0.45	1.27	13	961	7	3.11	8	0.113	< 3
6573208	0.4	6.73	15	181	< 1	< 2	4.08	0.4	21	83	29	6.34	15	< 1	0.51	1.24	14	1050	3	1.62	6	0.107	< 3
6573209	< 0.3	7.03	53	183	< 1	< 2	4.50	0.4	40	127	82	5.93	16	< 1	0.72	1.52	23	1220	7	1.54	53	0.046	4
6573210	< 0.3	7.65	6	174	< 1	< 2	5.24	< 0.3	44	66	180	5.96	14	2	0.53	1.82	20	1310	1	1.66	62	0.029	3
6573211	< 0.3	7.04	6	270	< 1	< 2	6.02	< 0.3	37	64	95	5.27	13	< 1	0.90	1.75	20	1350	< 1	1.54	51	0.028	< 3
6573212	0.4	6.66	< 3	351	1	< 2	1.58	< 0.3	2	74	18	1.32	15	< 1	1.23	0.18	5	371	12	2.35	4	0.009	< 3
6573213	< 0.3	6.53	24	125	< 1	< 2	6.19	0.6	36	55	80	8.63	13	< 1	0.35	2.82	15	1640	2	1.13	53	0.028	< 3
6573214	< 0.3	6.83	26	135	< 1	< 2	6.56	0.5	40	57	97	9.52	15	< 1	0.38	2.94	15	1810	3	1.04	58	0.027	5
6573215	< 0.3	6.24	29	129	< 1	< 2	5.12	0.6	42	68	153	8.83	14	< 1	0.46	2.38	25	1610	3	0.83	50	0.024	8
6573216	2.0	4.65	50	101	< 1	< 2	1.12	29.3	191	117	593	13.3	21	< 1	0.26	0.38	27	170	13	0.43	86	0.036	55
6573217	0.3	5.85	107	166	< 1	< 2	6.46	1.1	48	565	197	6.67	12	< 1	0.23	4.81	35	1720	3	0.30	141	0.068	11
6573218	1.7	4.55	170	74	< 1	< 2	1.54	23.2	72	156	590	10.8	20	< 1	0.15	0.59	29	346	13	0.41	62	0.036	56
6573219	0.5	6.65	31	177	< 1	4	3.47	2.1	18	104	96	6.39	16	< 1	0.62	1.29	33	945	7	1.02	13	0.114	16
6573220	1.4	7.44	108	153	4	3	2.62	2.6	20	63	103	5.61	22	< 1	3.26	1.99	3	510	2	3.10	83	0.097	94
6573221	< 0.3	6.19	37	81	< 1	< 2	6.95	0.4	44	231	115	7.60	12	< 1	0.27	4.16	19	1410	2	0.88	119	0.018	6
6573222	< 0.3	6.13	43	72	< 1	< 2	6.60	< 0.3	42	231	114	7.65	12	< 1	0.29	4.53	21	1140	3	0.57	122	0.019	6
6573223	< 0.3	6.38	8	105	< 1	< 2	7.98	< 0.3	43	219	112	7.62	12	< 1	0.29	3.57	19	1380	< 1	0.91	112	0.018	< 3
6573224	< 0.3	6.88	< 3	150	< 1	< 2	6.67	0.6	45	264	113	7.52	13	< 1	0.44	2.90	23	1390	3	0.99	123	0.018	3
6573225	< 0.3	7.16	< 3	146	< 1	3	7.00	< 0.3	52	279	143	7.70	14	< 1	0.41	2.57	33	1510	2	0.78	135	0.021	< 3
6573226	< 0.3	6.89	8	108	< 1	< 2	7.84	< 0.3	49	323	118	6.48	13	< 1	0.28	2.50	26	1380	2	0.91	130	0.018	< 3
6573227	< 0.3	6.20	9	149	< 1	< 2	7.29	< 0.3	43	350	106	6.59	13	< 1	0.40	2.50	20	1330	2	0.79	113	0.018	< 3
6573228	< 0.3	7.04	4	72	< 1	< 2	7.05	< 0.3	45	356	98	7.33	14	< 1	0.15	3.28	17	1160	2	1.60	115	0.040	< 3
6573229	< 0.3	6.87	< 3	200	< 1	< 2	6.81	< 0.3	48	285	127	7.44	13	< 1	0.51	2.95	13	1430	< 1	1.02	133	0.016	< 3
6573230	< 0.3	7.61	< 3	147	< 1	< 2	5.28	0.4	51	278	150	5.96	12	< 1	0.47	2.32	10	1100	< 1	2.47	130	0.021	< 3
6573231	< 0.3	7.22	< 3	66	< 1	< 2	7.70	0.3	49	245	131	8.05	13	1	0.19	3.18	12	1500	< 1	1.14	126	0.020	< 3
6573232	< 0.3	7.00	4	261	< 1	< 2	7.49	1.3	42	229	210	9.08	13	5	0.49	3.43	15	1980	2	0.86	115	0.021	< 3
6573233	< 0.3	6.17	3	< 7	< 1	< 2	7.65	0.4	46	249	107	7.81	12	< 1	0.06	4.95	25	1330	< 1	0.35	164	0.017	< 3
6573234	< 0.3	6.27	13	< 7	< 1	< 2	8.10	0.3	44	229	81	7.77	12	< 1	0.07	4.63	23	1370	1	0.69	139	0.018	< 3
6573235	< 0.3	6.53	5	108	< 1	< 2	7.62	< 0.3	48	243	141	7.33	11	< 1	0.46	3.03	19	1530	1	0.97	125	0.018	< 3
6573236	< 0.3	7.25	< 3	23	< 1	< 2	7.21	0.4	50	318	114	7.39	14	< 1	0.13	3.29	20	1530	< 1	1.61	137	0.019	< 3
6573237	< 0.3	6.46	4	17	< 1	< 2	7.74	0.6	52	278	147	7.34	10	< 1	0.13	2.89	17	1500	< 1	1.42	132	0.017	< 3
6573238	< 0.3	6.50	16	37	< 1	< 2	7.08	0.4	48	251	126	7.08	10	1	0.16	2.82	15	1460	< 1	1.52	128	0.016	< 3
6573239	< 0.3	6.42	< 3	87	< 1	< 2	7.50	0.5	43	250	132	7.51	11	< 1	0.29	2.69	14	1640	< 1	1.33	120	0.018	< 3
6573240	< 0.3	0.08	4	150	< 1	< 2	19.0	< 0.3	< 1	4	2	0.07	< 1	< 1	0.04	13.3	7	335	< 1	0.03	2	0.004	< 3
6573241	< 0.3	6.92	< 3	46	< 1	< 2	7.19	0.5	49	257	122	9.03	13	< 1	0.21	3.36	19	1770	< 1	1.35	137	0.019	< 3
6573651	< 0.3	6.84	< 3	105	< 1	2	5.57	0.5	41	52	142	9.08	16	< 1	0.42	3.58	19	1300	4	2.11	33	0.039	< 3
6573652	< 0.3	6.66	< 3	276	< 1	< 2	6.47	0.3	43	253	82	8.31	18	< 1	1.08	4.78	28	1280	1	2.20	113	0.114	< 3
6573653	< 0.3	6.28	< 3	231	< 1	< 2	6.38	0.4	49	437	106	8.11	17	< 1	0.94	6.21	31	1300	< 1	2.09	235	0.112	< 3
6573654	< 0.3	7.41	< 3	209	< 1	< 2	4.41	< 0.3	24	59	50	7.16	19	< 1	0.70	1.73	17	1130	< 1	3.07	12	0.102	< 3

Results

Activation Laboratories Ltd.

Report: A16-01795

Analyte Symbol	Ag	Al	As	Ba	Be	Bi	Ca	Cd	Co	Cr	Cu	Fe	Ga	Hg	K	Mg	Li	Mn	Mo	Na	Ni	P	Pb
Unit Symbol	ppm	%	ppm	ppm	ppm	ppm	%	ppm	ppm	ppm	ppm	%	ppm	ppm	%	%	ppm	ppm	ppm	%	ppm	%	ppm
Lower Limit	0.3	0.01	3	7	1	2	0.01	0.3	1	1	1	0.01	1	1	0.01	0.01	1	1	1	0.01	1	0.001	3
Method Code	TD-ICP	TD-ICP	TD-ICP	TD-ICP	TD-ICP	TD-ICP	TD-ICP	TD-ICP	TD-ICP	TD-ICP	TD-ICP	TD-ICP	TD-ICP	TD-ICP	TD-ICP	TD-ICP	TD-ICP	TD-ICP	TD-ICP	TD-ICP	TD-ICP	TD-ICP	TD-ICP
6573655	0.4	7.07	< 3	180	< 1	4	4.04	< 0.3	19	102	68	6.04	16	2	0.75	1.24	16	943	4	3.43	5	0.116	6
6573656	< 0.3	7.00	< 3	240	< 1	< 2	6.08	0.4	37	387	87	7.72	18	< 1	1.02	4.04	24	1200	< 1	2.79	106	0.127	5
6573657	< 0.3	6.10	< 3	298	< 1	< 2	6.78	< 0.3	49	558	125	8.38	16	< 1	1.25	5.84	34	1310	< 1	1.79	206	0.091	4
6573658	< 0.3	7.61	< 3	157	< 1	< 2	6.13	0.5	45	56	158	9.78	19	< 1	0.70	3.48	23	1380	1	2.48	35	0.041	< 3
6573659	< 0.3	7.27	5	66	< 1	< 2	5.91	0.5	44	43	85	9.23	16	< 1	0.32	3.63	19	1360	1	2.21	34	0.038	< 3
6573660	< 0.3	0.06	3	49	< 1	< 2	18.4	< 0.3	< 1	5	1	0.07	< 1	< 1	0.03	13.3	9	310	< 1	0.03	3	0.002	5
6573661	< 0.3	7.30	8	83	< 1	3	5.82	< 0.3	42	56	101	9.14	18	< 1	0.38	3.61	17	1350	6	2.32	35	0.041	< 3
6573662	< 0.3	7.51	< 3	121	< 1	3	5.69	0.5	47	120	165	9.80	18	< 1	0.55	3.69	20	1350	12	2.13	37	0.043	< 3
6573663	< 0.3	7.35	< 3	94	< 1	2	5.81	0.6	46	57	153	9.58	18	< 1	0.44	3.77	20	1330	5	1.91	35	0.042	< 3
6573664	< 0.3	7.26	< 3	64	< 1	3	5.91	0.5	43	64	138	9.31	17	1	0.32	3.55	17	1310	5	1.79	33	0.040	< 3
6573665	< 0.3	7.08	7	106	< 1	< 2	5.89	0.6	44	59	141	9.16	15	< 1	0.47	3.49	19	1430	1	1.81	35	0.036	< 3
6573666	< 0.3	6.84	4	151	< 1	< 2	5.65	0.3	42	66	148	8.95	16	< 1	0.72	3.38	21	1430	2	1.74	33	0.037	< 3
6573667	< 0.3	7.12	4	120	< 1	< 2	4.67	0.5	33	73	115	8.15	17	< 1	0.70	2.50	20	1290	< 1	2.38	22	0.069	< 3
6573668	< 0.3	7.38	< 3	123	1	< 2	3.93	0.3	20	86	14	6.57	19	1	0.71	1.28	17	1090	2	3.07	5	0.112	< 3
6573669	< 0.3	7.59	4	225	1	< 2	3.80	0.3	21	75	26	6.73	19	< 1	1.28	1.30	25	1110	1	3.07	6	0.112	5
6573670	< 0.3	6.83	13	465	1	< 2	3.03	< 0.3	12	84	12	4.45	18	< 1	1.66	0.78	29	833	2	3.04	4	0.066	3
6573671	0.6	6.20	< 3	415	1	< 2	1.50	< 0.3	2	102	13	1.94	16	< 1	1.39	0.22	20	362	12	3.16	6	0.020	< 3
6573672	< 0.3	5.98	< 3	393	1	< 2	1.18	< 0.3	< 1	87	3	1.40	15	< 1	1.49	0.08	15	297	11	3.22	4	0.005	< 3
6573673	0.5	6.87	< 3	499	1	< 2	2.97	< 0.3	10	101	7	3.94	17	< 1	1.79	0.63	27	792	5	2.86	4	0.086	2350
6573674	< 0.3	7.18	5	279	< 1	4	4.11	< 0.3	19	79	12	6.48	18	< 1	1.44	1.24	28	1120	4	2.80	4	0.115	< 3
6573675	< 0.3	7.33	4	198	< 1	< 2	4.77	0.4	32	74	104	8.10	17	< 1	0.87	2.27	20	1300	< 1	2.46	19	0.077	< 3
6573676	< 0.3	7.32	< 3	141	< 1	< 2	5.89	0.6	48	57	282	9.89	17	< 1	0.49	3.54	20	1460	1	1.75	34	0.037	< 3
6573677	< 0.3	7.00	4	128	< 1	< 2	5.81	0.4	43	50	74	9.10	17	< 1	0.43	3.52	18	1390	2	1.90	31	0.041	< 3
6573678	< 0.3	6.83	3	97	< 1	< 2	5.44	< 0.3	45	39	100	8.89	17	< 1	0.33	3.53	19	1300	2	1.70	30	0.037	< 3
6573679	< 0.3	7.46	< 3	58	< 1	2	6.36	0.4	46	53	113	9.25	17	< 1	0.22	3.91	16	1420	4	1.89	39	0.040	< 3
6573680	1.4	7.79	120	157	4	5	2.69	2.7	21	60	98	5.75	24	< 1	4.03	2.03	3	531	2	3.13	88	0.101	93
6573681	< 0.3	7.52	6	80	< 1	3	6.37	0.4	47	45	196	9.24	18	< 1	0.26	3.95	17	1410	4	1.83	39	0.040	< 3
6573682	< 0.3	7.29	< 3	63	< 1	< 2	6.14	0.5	44	63	143	8.93	15	< 1	0.20	4.09	18	1390	6	1.74	46	0.030	< 3
6573683	< 0.3	7.51	21	40	< 1	< 2	6.57	0.6	45	46	270	9.03	16	< 1	0.17	4.00	15	1360	4	1.84	47	0.033	< 3
6573684	< 0.3	7.16	9	105	< 1	< 2	6.08	< 0.3	44	57	199	8.74	15	< 1	0.27	3.72	18	1320	< 1	1.76	40	0.031	< 3
6573685	< 0.3	7.04	< 3	74	< 1	< 2	6.12	< 0.3	43	52	132	8.36	14	< 1	0.21	3.75	16	1290	1	1.65	41	0.033	< 3
6573686	< 0.3	7.06	< 3	98	< 1	< 2	6.19	< 0.3	43	67	106	8.62	16	< 1	0.26	3.84	18	1300	2	1.64	41	0.031	< 3
6573687	< 0.3	7.41	4	178	< 1	3	6.30	0.5	45	58	135	9.15	18	< 1	0.38	3.97	19	1390	4	1.77	42	0.033	< 3
6573688	< 0.3	7.50	< 3	38	< 1	< 2	6.54	0.5	48	59	146	9.29	17	< 1	0.18	3.80	17	1320	3	1.86	39	0.038	< 3
6573689	< 0.3	6.72	< 3	154	< 1	< 2	7.84	0.4	54	40	391	8.79	15	< 1	0.40	3.62	19	1340	3	2.45	42	0.033	< 3
6573690	< 0.3	6.96	< 3	42	< 1	< 2	6.68	0.6	40	53	133	8.31	14	< 1	0.18	3.77	14	1310	3	2.53	47	0.032	< 3
6573691	< 0.3	7.49	< 3	27	< 1	2	5.91	0.5	42	48	90	9.32	17	< 1	0.14	4.59	21	1370	3	2.12	61	0.032	< 3
6573692	< 0.3	7.03	< 3	24	< 1	3	5.12	0.5	43	72	95	8.90	16	< 1	0.12	4.43	23	1230	6	1.81	58	0.027	< 3
6573693	< 0.3	7.54	< 3	24	< 1	< 2	5.87	0.6	44	41	13	9.29	18	< 1	0.13	4.71	21	1320	< 1	2.27	63	0.026	< 3
6573694	< 0.3	7.19	< 3	21	< 1	2	6.41	0.7	43	68	87	9.01	16	2	0.13	4.16	16	1280	3	2.15	56	0.033	< 3
6573695	< 0.3	7.19	7	22	< 1	< 2	7.23	0.4	43	77	103	8.51	15	< 1	0.11	3.71	14	1260	2	2.12	58	0.029	< 3
6573696	< 0.3	7.15	< 3	26	< 1	< 2	7.08	0.3	43	54	73	8.11	15	< 1	0.11	3.50	14	1340	< 1	2.12	57	0.028	< 3
6573697	< 0.3	7.25	< 3	32	< 1	< 2	6.25	0.5	48	54	119	7.49	12	< 1	0.10	3.43	16	1350	< 1	2.41	68	0.031	< 3
6573698	< 0.3	7.04	< 3	28	< 1	< 2	6.22	0.6	44	69	116	7.18	14	< 1	0.10	3.13	13	1290	3	2.28	69	0.031	< 3
6573699	< 0.3	7.61	9	29	< 1	< 2	6.73	0.4	49	57	163	8.02	17	< 1	0.11	3.49	13	1440	4	2.42	66	0.033	< 3
6573700	< 0.3	0.12	< 3	131	< 1	< 2	19.8	< 0.3	< 1	4	3	0.07	< 1	< 1	0.07	13.6	13	357	2	0.06	1	0.004	3
6573701	< 0.3	7.45	7	31	< 1	3	5.88	0.5	46	53	111	7.58	16	< 1	0.09	3.62	17	1410	3	2.31	67	0.033	< 3
6573702	< 0.3	7.60	19	35	< 1	< 2	4.49	0.4	48	48	89	7.50	16	< 1	0.08	4.07	23	1370	< 1	2.27	65	0.031	< 3

Results

Activation Laboratories Ltd.

Report: A16-01795

Analyte Symbol	Ag	Al	As	Ba	Be	Bi	Ca	Cd	Co	Cr	Cu	Fe	Ga	Hg	K	Mg	Li	Mn	Mo	Na	Ni	P	Pb
Unit Symbol	ppm	%	ppm	ppm	ppm	ppm	%	ppm	ppm	ppm	ppm	%	ppm	ppm	%	%	ppm	ppm	ppm	%	ppm	%	ppm
Lower Limit	0.3	0.01	3	7	1	2	0.01	0.3	1	1	1	0.01	1	1	0.01	0.01	1	1	1	0.01	1	0.001	3
Method Code	TD-ICP	TD-ICP	TD-ICP	TD-ICP	TD-ICP	TD-ICP	TD-ICP	TD-ICP	TD-ICP	TD-ICP	TD-ICP	TD-ICP	TD-ICP	TD-ICP	TD-ICP	TD-ICP	TD-ICP	TD-ICP	TD-ICP	TD-ICP	TD-ICP	TD-ICP	TD-ICP
6573703	< 0.3	6.94	< 3	32	< 1	< 2	7.69	0.3	42	88	71	7.29	15	2	0.10	2.89	10	1480	1	1.91	63	0.031	< 3
6573704	< 0.3	7.31	4	23	< 1	< 2	7.80	0.4	43	83	116	8.17	15	< 1	0.11	3.27	14	1530	< 1	1.42	65	0.029	< 3
6573705	< 0.3	7.39	< 3	19	< 1	< 2	7.65	0.5	46	83	146	7.83	14	< 1	0.12	3.24	16	1530	1	1.08	64	0.032	< 3
6573706	< 0.3	7.74	< 3	24	< 1	< 2	7.89	< 0.3	46	71	110	7.61	16	< 1	0.15	3.41	19	1540	< 1	1.07	71	0.030	< 3
6573707	< 0.3	7.86	5	25	< 1	2	8.18	0.4	49	60	102	8.11	17	< 1	0.16	3.40	14	1580	1	1.29	76	0.033	< 3
6573708	< 0.3	7.54	< 3	90	< 1	2	7.16	0.3	48	71	88	7.13	15	< 1	0.25	2.81	13	1550	3	2.00	68	0.032	< 3
6573709	< 0.3	7.43	< 3	293	< 1	< 2	7.47	0.3	46	82	104	6.90	15	< 1	1.13	2.03	22	1480	3	1.49	68	0.033	< 3
6573710	< 0.3	7.15	5	266	< 1	< 2	7.52	0.3	47	74	92	7.02	16	< 1	1.24	2.27	24	1410	5	0.88	65	0.032	< 3
6573711	< 0.3	7.65	4	295	< 1	3	7.19	< 0.3	42	70	80	6.89	17	< 1	1.36	2.12	25	1290	2	0.93	62	0.034	< 3
6573712	< 0.3	7.74	< 3	231	< 1	< 2	8.19	0.5	45	81	118	6.53	16	2	1.21	2.29	23	1250	2	0.96	62	0.033	< 3
6573713	< 0.3	8.32	4	173	< 1	< 2	8.20	0.5	48	84	109	8.23	18	< 1	0.92	2.81	23	1490	1	0.98	72	0.034	< 3
6573714	< 0.3	7.01	6	161	< 1	< 2	7.36	0.5	44	113	140	7.31	15	< 1	0.80	2.45	19	1300	5	0.86	63	0.034	< 3
6573715	< 0.3	7.21	< 3	182	< 1	< 2	6.75	< 0.3	45	88	124	7.01	14	< 1	0.75	2.02	19	1290	< 1	1.33	60	0.030	< 3
6573716	< 0.3	7.94	7	138	< 1	< 2	5.92	0.7	40	63	82	6.99	17	< 1	0.51	3.12	17	1270	1	2.58	58	0.045	< 3
6573717	< 0.3	7.60	8	132	< 1	< 2	6.87	0.4	45	75	83	7.34	16	< 1	0.32	2.12	13	1670	2	1.76	62	0.030	5
6573718	< 0.3	7.36	4	15	< 1	2	7.44	0.6	50	64	126	14.9	16	< 1	0.26	3.33	16	3160	4	0.60	71	0.029	< 3
6573719	< 0.3	7.02	7	17	< 1	< 2	7.14	0.4	48	80	46	13.4	16	< 1	0.26	2.68	15	3200	5	0.63	76	0.029	< 3
6573720	1.5	7.91	114	156	4	3	2.69	2.6	21	62	102	5.76	21	< 1	4.00	2.04	3	543	1	3.11	87	0.100	95
6573721	0.4	7.80	3	109	< 1	5	4.26	0.8	24	84	107	7.43	17	< 1	0.37	1.33	13	1420	7	2.23	14	0.123	8
6573722	2.0	5.37	5	101	< 1	< 2	3.91	25.4	92	127	631	12.0	17	< 1	1.38	1.45	13	786	11	0.80	79	0.039	238
6573723	0.4	6.47	9	374	< 1	< 2	2.67	0.8	10	78	96	2.92	16	< 1	1.83	0.74	13	611	9	1.03	11	0.042	15
6573724	0.3	7.11	11	407	< 1	< 2	1.74	1.1	10	68	104	2.48	18	< 1	2.24	0.54	11	373	8	1.43	9	0.044	16
6573725	0.4	6.65	< 3	532	< 1	< 2	1.59	1.0	10	55	67	1.85	18	< 1	2.20	0.48	11	258	7	1.41	10	0.045	12
6573726	0.7	7.78	13	213	1	< 2	5.00	2.1	30	70	330	5.55	18	< 1	1.44	2.56	32	1200	7	1.64	36	0.078	42
6573727	< 0.3	8.06	19	134	< 1	3	6.70	< 0.3	35	59	27	6.65	18	< 1	1.46	3.72	31	1500	3	1.12	51	0.089	10
6573728	0.5	7.76	65	145	1	2	6.07	< 0.3	38	87	99	7.21	20	< 1	0.96	3.40	22	1290	6	1.92	47	0.102	11
6573729	1.5	6.31	4	255	< 1	< 2	5.47	14.0	40	107	363	6.76	21	< 1	1.58	1.70	17	1310	13	1.36	39	0.048	68
6573730	2.0	5.45	5	83	< 1	< 2	5.40	9.4	67	112	682	10.5	16	< 1	1.76	1.43	15	1300	11	0.71	65	0.027	55
6573731	0.7	7.11	< 3	272	< 1	< 2	2.41	0.8	9	95	87	5.73	17	2	2.42	1.01	17	948	11	1.06	30	0.057	13
6573732	0.7	7.14	< 3	351	< 1	< 2	2.51	< 0.3	7	134	16	3.07	17	< 1	1.39	0.95	19	803	10	2.86	18	0.058	4
6573733	0.4	7.51	< 3	368	< 1	< 2	2.31	< 0.3	7	101	30	3.04	17	< 1	1.15	0.72	20	690	9	3.60	16	0.058	3
6573734	0.6	6.80	< 3	365	< 1	< 2	2.33	< 0.3	7	98	27	3.03	16	< 1	1.26	0.71	21	606	10	3.04	14	0.056	9
6573735	0.3	7.33	< 3	436	< 1	< 2	2.13	< 0.3	7	89	11	2.84	17	< 1	1.33	0.69	23	633	7	3.74	15	0.053	5
6573736	0.3	7.28	6	388	< 1	< 2	1.72	< 0.3	6	91	12	2.69	17	< 1	0.98	0.61	20	583	11	4.19	11	0.052	< 3
6573737	0.6	7.21	6	419	< 1	< 2	2.50	< 0.3	10	86	19	3.52	17	1	1.07	0.84	23	781	8	3.93	17	0.061	< 3
6573738	0.4	7.81	< 3	276	< 1	2	3.12	< 0.3	17	92	28	5.57	18	< 1	0.95	1.25	22	1130	6	3.83	19	0.087	6
6573739	1.7	4.57	6	113	< 1	< 2	1.75	5.6	54	78	430	24.0	8	2	1.29	1.49	25	2190	5	1.49	79	0.026	8
6573740	< 0.3	0.11	< 3	162	< 1	< 2	17.3	< 0.3	< 1	15	5	0.18	< 1	1	0.04	12.9	19	290	2	0.06	2	0.003	6
6573741	0.6	7.63	< 3	210	< 1	3	4.47	0.5	26	80	92	9.34	17	< 1	0.74	1.74	21	1420	5	2.98	33	0.097	5
6573742	< 0.3	7.50	< 3	214	< 1	< 2	4.75	0.3	26	71	36	6.53	18	< 1	0.66	1.66	21	1060	< 1	2.77	28	0.091	7
6573743	0.4	7.66	< 3	217	< 1	3	4.96	< 0.3	20	84	76	7.28	17	< 1	0.54	1.72	21	1380	4	3.33	25	0.100	5
6573744	< 0.3	7.88	< 3	207	< 1	< 2	5.13	< 0.3	28	91	15	7.41	19	< 1	0.54	1.70	21	1160	< 1	2.82	26	0.093	4
6573745	< 0.3	8.23	8	220	< 1	< 2	4.56	0.4	25	77	108	7.47	18	< 1	0.68	1.78	23	1410	1	3.28	33	0.095	5
6573746	< 0.3	8.36	< 3	247	< 1	< 2	6.07	0.3	45	240	91	8.84	16	< 1	0.82	3.39	27	2220	3	2.96	120	0.040	< 3
6573747	< 0.3	8.43	4	239	< 1	2	7.18	0.4	43	147	93	7.76	16	< 1	0.73	3.44	27	1800	4	2.77	97	0.061	< 3
6573748	0.3	8.53	3	232	1	< 2	4.17	< 0.3	20	75	38	5.25	18	< 1	0.68	1.33	23	961	8	3.86	21	0.066	5
6573749	< 0.3	7.68	< 3	177	< 1	< 2	3.72	< 0.3	21	88	27	5.16	15	< 1	0.39	1.38	19	1010	7	3.43	30	0.057	< 3
6573750	< 0.3	7.24	< 3	25	< 1	< 2	7.75	0.4	50	299	144	8.79	16	< 1	0.14	3.34	19	2030	6	1.18	132	0.020	< 3

Results

Activation Laboratories Ltd.

Report: A16-01795

Analyte Symbol	Ag	Al	As	Ba	Be	Bi	Ca	Cd	Co	Cr	Cu	Fe	Ga	Hg	K	Mg	Li	Mn	Mo	Na	Ni	P	Pb
Unit Symbol	ppm	%	ppm	ppm	ppm	ppm	%	ppm	ppm	ppm	ppm	%	ppm	ppm	%	%	ppm	ppm	ppm	%	ppm	%	ppm
Lower Limit	0.3	0.01	3	7	1	2	0.01	0.3	1	1	1	0.01	1	1	0.01	0.01	1	1	1	0.01	1	0.001	3
Method Code	TD-ICP	TD-ICP	TD-ICP	TD-ICP	TD-ICP	TD-ICP	TD-ICP	TD-ICP	TD-ICP	TD-ICP	TD-ICP	TD-ICP	TD-ICP	TD-ICP	TD-ICP	TD-ICP	TD-ICP	TD-ICP	TD-ICP	TD-ICP	TD-ICP	TD-ICP	TD-ICP
6573751	< 0.3	7.54	< 3	16	< 1	2	8.66	0.4	52	277	143	9.07	15	< 1	0.14	3.50	15	2180	4	0.77	143	0.022	< 3
6573752	< 0.3	7.17	4	14	< 1	< 2	8.37	0.6	49	317	114	8.85	15	< 1	0.11	3.35	16	2160	3	0.73	134	0.019	< 3
6573753	< 0.3	7.04	100	14	< 1	< 2	8.93	0.6	48	406	136	9.15	13	< 1	0.13	3.19	14	2270	4	0.81	128	0.020	< 3
6573754	< 0.3	7.17	6	14	< 1	< 2	8.34	< 0.3	49	442	141	8.91	14	< 1	0.12	3.19	14	2340	6	0.79	135	0.020	< 3
6573755	< 0.3	7.21	6	14	< 1	< 2	9.18	< 0.3	50	330	148	9.29	14	< 1	0.12	3.51	15	2410	3	0.73	133	0.019	< 3
6573756	< 0.3	7.33	5	15	< 1	< 2	9.25	0.5	48	299	97	9.00	14	< 1	0.12	3.70	12	1990	2	0.83	140	0.017	< 3
6573757	< 0.3	7.64	< 3	18	< 1	< 2	7.62	0.4	52	274	200	9.06	14	< 1	0.12	4.09	14	1820	5	0.98	141	0.021	< 3
6573758	< 0.3	6.95	< 3	34	< 1	2	7.90	0.3	48	286	99	8.59	14	< 1	0.15	2.94	12	2000	5	0.82	135	0.019	< 3
6573759	< 0.3	7.02	< 3	24	< 1	< 2	9.27	0.6	47	263	114	9.76	14	< 1	0.17	2.93	14	2580	6	0.94	128	0.019	< 3
6573760	< 0.3	7.01	< 3	20	< 1	< 2	8.52	0.8	47	257	96	8.42	15	< 1	0.17	2.90	13	2020	6	1.02	131	0.019	< 3
6573761	< 0.3	7.25	< 3	104	< 1	< 2	8.17	0.6	50	271	127	8.96	14	< 1	0.39	3.13	17	2150	5	1.36	136	0.020	< 3
6573762	0.4	6.64	< 3	397	< 1	< 2	4.20	0.3	20	144	40	4.08	14	< 1	1.25	0.95	19	1040	3	2.46	54	0.028	5
6573763	0.4	6.11	< 3	347	1	< 2	1.40	< 0.3	< 1	79	24	1.88	16	< 1	1.27	0.11	15	468	11	3.05	3	0.009	< 3
6573764	0.4	5.72	7	286	< 1	< 2	1.07	< 0.3	< 1	97	21	1.56	15	< 1	1.07	0.08	13	373	9	3.11	4	0.007	< 3
6573765	0.4	6.44	< 3	303	1	< 2	2.58	< 0.3	6	102	23	2.94	16	< 1	1.36	0.50	18	684	8	2.63	13	0.030	< 3
6573766	< 0.3	6.74	6	181	< 1	< 2	8.61	0.4	47	299	52	9.13	14	< 1	0.98	3.34	20	2450	< 1	0.65	128	0.017	5
6573767	< 0.3	7.05	< 3	107	< 1	< 2	8.62	0.6	49	249	155	8.44	14	< 1	0.46	3.25	16	1990	4	0.93	134	0.021	< 3
6573768	< 0.3	6.90	< 3	15	< 1	3	8.82	0.5	46	246	117	9.77	14	< 1	0.20	3.31	13	2460	4	1.02	131	0.020	3
6573769	< 0.3	7.74	3	45	< 1	2	7.05	0.4	44	259	162	9.63	16	< 1	0.26	3.14	15	2300	7	1.80	116	0.033	< 3
6573770	< 0.3	7.65	5	57	< 1	< 2	11.0	0.3	42	232	24	7.91	17	< 1	0.28	2.46	12	2140	4	1.92	131	0.021	< 3
6573771	< 0.3	8.16	< 3	342	1	< 2	2.67	< 0.3	11	59	7	3.30	18	< 1	1.14	0.90	22	592	2	3.77	18	0.062	3
6573772	0.4	7.12	5	428	1	< 2	2.12	< 0.3	3	74	3	2.12	16	< 1	1.05	0.35	19	406	6	3.57	5	0.036	< 3
6573773	< 0.3	7.19	< 3	470	1	< 2	2.48	< 0.3	10	114	2	3.00	16	< 1	1.23	0.74	21	582	6	3.19	21	0.046	< 3
6573774	< 0.3	7.38	< 3	138	< 1	< 2	8.28	0.4	53	430	128	9.58	15	< 1	0.38	3.29	18	2350	2	1.43	139	0.019	< 3
6573775	< 0.3	7.32	8	25	< 1	< 2	8.39	< 0.3	49	314	152	9.10	14	< 1	0.18	3.30	13	2130	2	1.27	134	0.020	< 3
6573776	< 0.3	7.31	4	26	< 1	< 2	7.92	0.5	47	254	81	9.45	14	1	0.20	3.33	17	2210	2	1.32	139	0.018	< 3
6573777	< 0.3	7.42	3	81	< 1	2	7.19	< 0.3	50	274	136	9.47	17	2	0.24	3.11	16	1920	9	1.72	121	0.024	< 3
6573778	< 0.3	7.95	< 3	283	< 1	3	3.62	< 0.3	28	48	62	7.18	17	< 1	0.66	1.66	20	1040	2	2.89	21	0.111	< 3
6573779	< 0.3	7.44	< 3	71	< 1	< 2	8.08	0.4	48	289	120	10.9	15	< 1	0.28	3.45	16	2680	7	1.60	128	0.028	< 3
6573780	< 0.3	7.86	< 3	35	< 1	3	8.51	0.4	53	276	117	8.99	15	< 1	0.20	2.94	13	2550	4	1.64	147	0.023	3
6573781	< 0.3	7.85	< 3	415	< 1	3	5.73	< 0.3	24	119	28	6.88	15	< 1	1.14	1.78	25	1390	5	2.86	46	0.062	< 3
6573782	< 0.3	7.96	7	349	1	< 2	3.59	< 0.3	13	73	29	4.23	15	< 1	1.08	0.91	22	683	2	3.57	10	0.083	3
6573783	< 0.3	7.80	5	136	< 1	3	7.12	0.4	41	219	99	8.76	16	< 1	0.51	3.03	18	1860	5	1.84	103	0.036	< 3
6573784	< 0.3	6.61	< 3	74	< 1	< 2	9.17	0.5	44	385	116	8.86	14	< 1	0.27	3.13	13	2250	4	0.92	117	0.022	< 3
6573785	< 0.3	7.12	< 3	29	< 1	< 2	9.98	0.5	46	400	132	9.99	14	< 1	0.23	3.46	13	2630	4	0.92	129	0.020	< 3
6573786	< 0.3	7.36	< 3	20	< 1	< 2	8.92	0.4	50	348	109	8.52	15	< 1	0.18	3.67	11	1900	< 1	1.14	137	0.017	9
6573787	0.8	7.46	8	16	< 1	< 2	9.09	0.4	51	317	103	8.99	14	< 1	0.19	3.52	13	1970	3	1.18	137	0.018	< 3
6573788	< 0.3	7.53	< 3	24	< 1	< 2	8.66	0.3	53	278	219	9.58	16	< 1	0.28	3.34	17	2280	7	1.39	144	0.021	< 3
6573789	< 0.3	7.51	< 3	317	< 1	< 2	6.60	0.5	48	296	18	7.93	14	< 1	1.73	2.91	33	1900	6	1.71	135	0.020	< 3
6573790	1.4	8.12	114	163	4	6	2.70	2.6	22	63	101	5.90	24	< 1	4.08	2.08	3	544	1	3.21	88	0.102	96
6573848	< 0.3	7.66	4	446	1	< 2	2.61	< 0.3	6	104	20	2.84	18	< 1	1.36	0.64	23	668	14	3.65	13	0.045	< 3
6573849	0.4	6.42	7	451	1	< 2	1.43	< 0.3	3	96	14	1.82	15	< 1	1.41	0.27	18	427	13	3.39	9	0.023	< 3
6573850	0.4	7.03	< 3	644	1	< 2	1.42	0.4	3	79	5	1.89	16	< 1	1.54	0.26	18	435	13	3.65	7	0.023	3
6573851	0.3	6.44	8	467	1	< 2	1.44	0.6	2	67	11	1.77	15	1	1.55	0.23	16	394	13	3.15	5	0.021	< 3
6573852	0.5	6.56	5	507	1	< 2	1.41	0.4	2	70	6	1.66	15	< 1	1.58	0.22	16	389	10	3.35	5	0.021	6
6573853	< 0.3	6.57	< 3	464	1	< 2	1.46	0.4	2	80	12	1.79	15	< 1	1.45	0.22	16	418	9	3.44	5	0.021	4
6573854	0.5	6.46	4	410	1	< 2	1.50	0.4	2	102	7	1.80	15	1	1.41	0.23	17	430	12	3.26	6	0.021	< 3
6573855	0.3	7.18	< 3	492	1	< 2	3.22	< 0.3	9	86	5	2.94	16	< 1	1.42	0.73	24	625	7	3.10	18	0.047	3

Results

Activation Laboratories Ltd.

Report: A16-01795

Analyte Symbol	Ag	Al	As	Ba	Be	Bi	Ca	Cd	Co	Cr	Cu	Fe	Ga	Hg	K	Mg	Li	Mn	Mo	Na	Ni	P	Pb
Unit Symbol	ppm	%	ppm	ppm	ppm	ppm	%	ppm	ppm	ppm	ppm	%	ppm	ppm	%	%	ppm	ppm	ppm	%	ppm	%	ppm
Lower Limit	0.3	0.01	3	7	1	2	0.01	0.3	1	1	1	0.01	1	1	0.01	0.01	1	1	1	0.01	1	0.001	3
Method Code	TD-ICP	TD-ICP	TD-ICP	TD-ICP	TD-ICP	TD-ICP	TD-ICP	TD-ICP	TD-ICP	TD-ICP	TD-ICP	TD-ICP	TD-ICP	TD-ICP	TD-ICP	TD-ICP	TD-ICP	TD-ICP	TD-ICP	TD-ICP	TD-ICP	TD-ICP	TD-ICP
6573856	< 0.3	7.25	21	151	< 1	< 2	7.40	0.6	47	284	45	8.29	13	< 1	0.70	3.50	20	1680	8	1.94	135	0.021	< 3
6573857	< 0.3	6.55	< 3	18	< 1	< 2	7.91	0.6	47	308	240	8.10	13	< 1	0.20	2.78	14	1720	11	1.49	130	0.019	< 3
6573858	< 0.3	7.16	6	20	< 1	< 2	8.95	0.4	49	274	141	8.61	13	< 1	0.19	3.20	14	1840	5	1.39	137	0.020	< 3
6573859	< 0.3	7.62	3	30	< 1	< 2	8.43	< 0.3	52	339	146	8.83	14	< 1	0.20	3.37	16	1840	6	1.35	144	0.021	< 3
6573860	1.2	6.58	107	131	3	3	2.35	2.0	19	74	75	5.00	18	< 1	2.39	1.78	3	456	1	2.80	77	0.087	83
6573861	< 0.3	7.46	< 3	114	< 1	< 2	9.00	0.4	50	432	136	8.72	14	< 1	0.40	3.22	16	2090	2	1.18	141	0.018	< 3
6573862	< 0.3	7.54	4	163	< 1	< 2	7.60	0.6	48	358	92	8.84	14	< 1	0.53	3.37	18	1800	1	1.14	126	0.016	< 3
6573863	< 0.3	7.06	7	65	< 1	< 2	8.79	0.5	47	257	124	8.51	13	< 1	0.27	3.19	16	1780	4	1.01	132	0.018	3
6573864	< 0.3	7.17	< 3	38	< 1	< 2	7.96	0.4	49	247	251	8.89	14	< 1	0.19	3.35	15	1880	7	1.54	124	0.021	< 3
6573865	< 0.3	7.23	< 3	199	< 1	< 2	5.43	< 0.3	34	139	168	6.54	14	< 1	0.46	2.00	19	1300	5	2.51	60	0.044	< 3
6573866	< 0.3	7.63	< 3	106	< 1	< 2	6.64	0.5	43	225	128	8.70	16	< 1	0.37	2.88	19	1750	6	2.10	103	0.032	< 3
6573867	< 0.3	7.38	7	30	< 1	< 2	8.85	< 0.3	49	259	119	8.99	13	< 1	0.17	3.78	16	1890	6	1.12	136	0.021	< 3
6573868	< 0.3	7.29	< 3	39	< 1	2	9.43	0.3	48	232	175	8.99	14	< 1	0.16	4.36	13	1510	5	1.10	129	0.021	< 3
6573869	< 0.3	7.65	< 3	46	< 1	< 2	8.75	0.4	50	278	110	8.83	15	< 1	0.18	3.47	15	1900	5	1.16	140	0.021	< 3
6573870	< 0.3	7.35	< 3	47	< 1	< 2	7.96	0.4	50	291	93	8.51	14	< 1	0.17	3.25	15	1790	< 1	1.25	136	0.017	< 3
6573871	< 0.3	7.14	3	39	< 1	< 2	8.34	< 0.3	47	413	113	8.89	14	< 1	0.18	3.33	15	2040	2	1.48	132	0.019	< 3
6573872	< 0.3	7.46	< 3	89	< 1	< 2	7.16	0.5	43	361	89	8.44	14	< 1	0.24	3.01	17	1830	2	1.69	113	0.033	< 3
6573873	< 0.3	7.19	< 3	36	< 1	< 2	8.30	< 0.3	49	315	130	8.80	14	< 1	0.18	3.16	16	2070	1	1.26	135	0.018	< 3
6573874	< 0.3	7.73	< 3	40	< 1	< 2	7.39	< 0.3	51	278	101	9.56	15	< 1	0.19	3.49	19	2090	2	1.25	141	0.019	< 3
6573875	< 0.3	6.74	< 3	35	< 1	< 2	8.80	0.4	48	236	152	8.89	14	< 1	0.18	3.08	16	2200	3	1.16	133	0.020	< 3
6573876	< 0.3	6.08	< 3	36	< 1	< 2	7.69	0.4	44	251	89	7.85	13	< 1	0.16	2.68	14	1940	6	1.26	123	0.019	< 3
6573877	< 0.3	7.42	9	44	< 1	< 2	8.30	0.6	49	271	131	9.19	15	< 1	0.20	3.18	17	2390	6	1.33	136	0.020	< 3
6573878	< 0.3	7.51	< 3	54	< 1	2	8.55	0.5	49	265	135	9.86	15	< 1	0.21	3.49	18	2620	4	1.31	132	0.021	< 3
6573879	< 0.3	7.04	< 3	24	< 1	< 2	9.87	0.6	48	245	151	9.77	14	1	0.19	3.46	16	2810	4	1.15	129	0.020	< 3
6573880	1.4	7.62	105	152	4	5	2.57	2.3	21	53	99	5.60	21	< 1	3.82	1.98	3	511	1	3.11	83	0.096	89
6573881	< 0.3	5.30	< 3	19	< 1	< 2	7.70	0.3	40	326	96	9.21	12	< 1	0.18	2.94	13	2970	4	0.85	112	0.017	< 3
6573882	< 0.3	6.82	6	56	< 1	< 2	8.41	< 0.3	48	384	148	7.70	13	1	0.22	2.58	13	2330	< 1	1.52	136	0.016	< 3
6573883	< 0.3	7.08	6	415	< 1	2	8.16	0.5	46	358	248	11.5	12	2	0.74	3.29	25	2560	3	1.02	122	0.019	< 3
6573884	< 0.3	5.97	< 3	148	< 1	< 2	11.3	0.5	42	229	145	7.67	12	< 1	0.32	2.67	19	2490	5	1.08	110	0.018	< 3
6573885	< 0.3	3.02	< 3	93	< 1	< 2	6.14	< 0.3	24	281	86	4.14	5	1	0.19	1.31	8	1230	17	0.54	73	0.009	< 3
6573886	< 0.3	4.34	8	68	< 1	< 2	6.81	< 0.3	30	286	46	5.95	9	< 1	0.18	2.52	20	1450	16	0.48	83	0.011	< 3
6573887	< 0.3	2.41	< 3	11	< 1	< 2	3.88	< 0.3	25	373	41	3.99	5	< 1	0.06	2.05	12	769	22	0.37	100	0.007	< 3
6573888	< 0.3	6.27	< 3	20	< 1	< 2	6.91	0.4	45	258	34	8.16	12	< 1	0.14	4.59	15	1390	6	1.22	127	0.019	< 3
6573889	< 0.3	7.36	8	31	< 1	< 2	7.56	< 0.3	48	271	69	8.51	14	< 1	0.21	4.54	17	1430	2	1.35	119	0.018	6
6573890	< 0.3	6.38	< 3	215	< 1	< 2	4.99	0.4	26	223	118	5.32	11	< 1	0.48	2.41	18	993	8	2.14	54	0.016	< 3
6573891	< 0.3	7.31	< 3	110	< 1	2	7.48	0.5	45	234	122	8.53	14	< 1	0.37	4.40	20	1300	7	1.44	107	0.022	< 3
6573892	< 0.3	7.39	5	28	< 1	< 2	8.07	0.6	47	222	103	9.06	15	< 1	0.17	5.10	16	1360	4	1.30	121	0.022	< 3
6573893	< 0.3	6.89	4	36	< 1	2	9.09	0.6	46	223	130	8.41	14	< 1	0.20	4.64	15	1460	5	1.23	118	0.019	< 3
6573894	< 0.3	7.60	5	101	< 1	< 2	8.73	0.6	47	244	168	9.28	15	< 1	0.29	3.60	25	2090	4	1.33	130	0.025	< 3
6573895	< 0.3	8.08	< 3	277	< 1	< 2	3.27	< 0.3	18	78	32	5.10	19	< 1	0.78	1.29	23	855	1	3.89	18	0.082	< 3
6573896	< 0.3	7.20	< 3	34	< 1	< 2	8.73	0.6	49	246	139	9.52	15	< 1	0.20	3.63	17	2310	4	1.49	131	0.021	< 3
6573897	< 0.3	8.03	< 3	38	< 1	< 2	8.87	0.4	52	392	146	9.26	15	< 1	0.18	3.69	16	2130	3	1.26	146	0.019	< 3
6573898	< 0.3	6.81	< 3	29	< 1	< 2	9.03	0.5	44	504	67	8.86	13	< 1	0.16	3.50	11	2160	12	0.98	128	0.019	< 3
6573899	< 0.3	7.39	< 3	33	< 1	2	8.91	0.6	50	417	145	9.68	14	< 1	0.19	4.02	23	2330	3	1.01	137	0.021	< 3
6573900	< 0.3	0.10	5	132	< 1	< 2	17.1	< 0.3	< 1	28	6	0.14	< 1	< 1	0.05	12.6	16	329	5	0.04	3	0.004	< 3
6573901	< 0.3	5.50	4	33	< 1	3	7.09	0.5	39	206	81	8.36	12	< 1	0.32	3.46	48	1940	1	0.61	105	0.017	< 3
6573902	< 0.3	7.46	7	45	< 1	< 2	8.14	0.5	48	244	97	8.04	15	< 1	0.23	3.30	37	1990	3	1.27	137	0.020	< 3
6573903	< 0.3	6.78	4	53	< 1	< 2	7.86	0.5	45	228	111	8.65	13	< 1	0.34	3.48	41	2040	1	1.16	128	0.019	< 3

Results

Activation Laboratories Ltd.

Report: A16-01795

Analyte Symbol	Ag	Al	As	Ba	Be	Bi	Ca	Cd	Co	Cr	Cu	Fe	Ga	Hg	K	Mg	Li	Mn	Mo	Na	Ni	P	Pb
Unit Symbol	ppm	%	ppm	ppm	ppm	ppm	%	ppm	ppm	ppm	ppm	%	ppm	ppm	%	%	ppm	ppm	ppm	%	ppm	%	ppm
Lower Limit	0.3	0.01	3	7	1	2	0.01	0.3	1	1	1	0.01	1	1	0.01	0.01	1	1	1	0.01	1	0.001	3
Method Code	TD-ICP	TD-ICP	TD-ICP	TD-ICP	TD-ICP	TD-ICP	TD-ICP	TD-ICP	TD-ICP	TD-ICP	TD-ICP	TD-ICP	TD-ICP	TD-ICP	TD-ICP	TD-ICP	TD-ICP	TD-ICP	TD-ICP	TD-ICP	TD-ICP	TD-ICP	TD-ICP
6573904	< 0.3	6.39	< 3	221	< 1	3	7.46	0.7	35	197	63	8.41	12	< 1	0.78	3.47	44	2180	2	0.95	115	0.018	< 3
6573905	< 0.3	7.55	125	301	< 1	< 2	7.15	< 0.3	51	233	266	9.80	17	4	0.62	4.06	31	2150	3	1.37	129	0.026	6
6573906	< 0.3	7.24	< 3	177	< 1	3	6.55	0.5	46	150	104	9.27	17	< 1	0.42	3.88	25	1730	3	1.41	88	0.033	< 3
6573907	< 0.3	7.51	7	111	< 1	< 2	7.59	0.4	49	147	114	9.49	18	< 1	0.31	4.29	19	1540	1	1.62	96	0.023	< 3
6573908	< 0.3	6.96	< 3	41	< 1	2	7.69	0.4	44	243	97	9.23	16	< 1	0.19	3.84	15	1510	5	1.57	84	0.028	< 3
6573909	< 0.3	7.32	< 3	27	< 1	< 2	7.14	0.5	50	193	127	9.98	18	< 1	0.18	3.99	13	1530	< 1	1.51	87	0.022	< 3
6573910	< 0.3	6.84	3	26	< 1	< 2	10.9	0.7	42	164	174	9.12	17	< 1	0.16	3.42	23	1550	< 1	1.04	78	0.022	< 3
6573911	< 0.3	7.08	< 3	35	< 1	< 2	11.2	0.6	45	131	167	9.28	14	< 1	0.20	3.77	27	1790	1	1.25	83	0.025	< 3
6573912	< 0.3	6.23	< 3	37	< 1	2	7.24	0.6	46	116	150	8.74	17	< 1	0.19	3.50	16	1390	3	1.35	83	0.030	< 3
6573913	< 0.3	7.00	3	39	< 1	3	7.32	0.4	45	134	117	9.06	17	< 1	0.19	3.70	14	1450	2	1.46	82	0.029	< 3
6573914	< 0.3	7.35	< 3	47	< 1	3	7.45	0.5	48	142	151	9.62	17	< 1	0.19	3.96	17	1650	3	1.57	86	0.030	< 3
6573915	< 0.3	7.74	15	49	< 1	3	7.71	0.6	47	204	71	10.4	17	4	0.21	4.04	17	2060	3	1.60	106	0.029	< 3
6573916	< 0.3	7.37	< 3	58	< 1	< 2	6.48	0.6	47	227	95	8.66	15	< 1	0.15	3.87	58	1860	2	1.99	126	0.022	< 3
6573917	< 0.3	7.53	31	46	< 1	< 2	7.44	1.2	45	223	170	11.6	17	4	0.22	4.34	20	2500	4	1.44	105	0.026	4
6573918	< 0.3	7.79	< 3	101	< 1	< 2	6.65	0.6	45	255	99	8.05	13	< 1	0.19	3.60	12	1770	2	2.42	125	0.028	< 3
6573919	< 0.3	7.27	6	258	< 1	< 2	3.27	< 0.3	16	113	35	4.26	15	< 1	0.49	1.44	19	689	7	3.63	31	0.074	< 3
6573920	1.4	7.68	115	155	4	7	2.67	2.7	22	76	113	5.84	21	< 1	2.67	2.03	3	530	2	3.18	88	0.098	95
6573921	< 0.3	7.84	< 3	176	< 1	< 2	5.50	0.4	30	166	43	6.61	14	< 1	0.33	2.63	18	1300	< 1	2.88	76	0.048	< 3
6573922	< 0.3	7.58	5	85	< 1	< 2	7.57	0.3	53	255	126	7.91	15	< 1	0.17	3.74	12	1510	2	2.09	145	0.020	< 3
6573923	< 0.3	7.67	7	83	< 1	< 2	8.27	0.4	52	248	112	7.80	14	< 1	0.17	3.54	12	1670	3	1.69	144	0.019	< 3
6573924	< 0.3	7.81	< 3	95	< 1	2	8.26	< 0.3	53	258	137	8.18	15	< 1	0.20	3.54	16	1800	4	1.64	151	0.021	< 3
6573925	< 0.3	7.05	< 3	221	< 1	< 2	7.79	0.4	46	246	94	8.18	14	< 1	0.28	3.37	18	1760	5	1.33	129	0.020	< 3
6573926	< 0.3	7.57	< 3	76	< 1	2	7.98	0.4	51	308	163	9.42	15	< 1	0.22	3.98	15	2050	8	1.47	134	0.021	< 3
6573927	< 0.3	7.59	11	70	< 1	2	8.20	0.5	49	301	108	8.18	15	< 1	0.20	3.62	18	1810	9	1.66	139	0.020	< 3
6573928	< 0.3	7.56	4	101	< 1	< 2	7.89	0.5	52	313	117	7.74	14	< 1	0.19	3.46	12	1730	1	1.90	144	0.019	< 3
6573929	< 0.3	7.31	11	56	< 1	< 2	8.29	0.4	49	391	141	7.62	14	< 1	0.18	3.33	18	1710	3	1.74	134	0.018	< 3
6573930	< 0.3	7.79	4	75	< 1	< 2	7.66	0.3	52	312	128	7.27	13	< 1	0.15	3.40	9	1660	< 1	2.03	142	0.018	< 3

Analyte Symbol	Sb	S	Sc	Sr	Te	Ti	Tl	U	V	W	Y	Zn	Zr
Unit Symbol	ppm	%	ppm	ppm	ppm	%	ppm	ppm	ppm	ppm	ppm	ppm	ppm
Lower Limit	5	0.01	4	1	2	0.01	5	10	2	5	1	1	5
Method Code	TD-ICP	TD-ICP	TD-ICP	TD-ICP	TD-ICP	TD-ICP	TD-ICP	TD-ICP	TD-ICP	TD-ICP	TD-ICP	TD-ICP	TD-ICP
6573198	< 5	1.07	41	154	6	0.55	< 5	< 10	239	6	17	129	84
6573199	< 5	0.12	8	279	11	0.28	< 5	< 10	66	< 5	10	48	129
6573200	< 5	2.46	6	319	9	0.65	< 5	< 10	78	< 5	10	167	85
6573201	< 5	0.04	8	279	15	0.28	< 5	< 10	66	< 5	10	52	134
6573202	< 5	0.04	7	288	2	0.26	< 5	< 10	56	< 5	9	47	119
6573203	< 5	0.10	8	262	11	0.28	< 5	< 10	67	< 5	10	47	134
6573204	< 5	1.10	19	201	8	0.44	< 5	10	103	< 5	17	77	89
6573205	< 5	0.40	22	89	11	0.68	< 5	< 10	130	< 5	21	85	156
6573206	< 5	0.01	30	194	< 2	0.28	< 5	< 10	170	6	10	91	51
6573207	< 5	0.67	16	110	9	0.71	< 5	< 10	100	6	21	87	150
6573208	< 5	0.62	17	176	12	0.60	< 5	< 10	83	6	25	93	146
6573209	< 5	0.62	32	136	< 2	0.50	< 5	< 10	175	< 5	12	65	82
6573210	< 5	0.11	48	129	3	0.17	< 5	< 10	113	< 5	11	78	39
6573211	< 5	0.12	33	147	6	0.17	< 5	< 10	100	< 5	12	63	44
6573212	< 5	0.12	4	95	3	0.11	< 5	< 10	3	< 5	33	26	197
6573213	< 5	0.19	41	86	9	0.37	< 5	< 10	188	< 5	12	105	51
6573214	< 5	0.44	45	82	6	0.47	< 5	< 10	228	< 5	12	120	63
6573215	< 5	1.61	35	84	4	0.38	< 5	< 10	181	< 5	10	189	59
6573216	< 5	6.23	10	93	19	0.20	< 5	< 10	59	< 5	6	> 10000	76
6573217	< 5	1.82	32	120	5	0.27	< 5	< 10	167	< 5	9	441	50
6573218	< 5	4.53	12	81	14	0.22	< 5	< 10	61	< 5	6	9470	82
6573219	< 5	2.83	19	103	9	0.72	< 5	< 10	99	8	18	699	144
6573220	< 5	2.43	6	314	9	0.65	< 5	< 10	77	5	10	191	84
6573221	< 5	0.36	36	63	< 2	0.39	< 5	< 10	189	< 5	8	88	31
6573222	< 5	0.12	35	48	8	0.38	< 5	< 10	190	< 5	9	89	30
6573223	< 5	0.03	37	50	4	0.34	< 5	< 10	190	< 5	12	71	23
6573224	< 5	0.34	40	59	< 2	0.42	< 5	< 10	219	< 5	12	93	35
6573225	< 5	0.44	41	68	2	0.46	< 5	< 10	217	< 5	12	81	38
6573226	< 5	0.07	38	82	4	0.36	< 5	< 10	192	< 5	12	61	28
6573227	< 5	0.10	35	76	4	0.44	< 5	< 10	201	< 5	14	70	34
6573228	< 5	0.13	38	128	8	0.37	< 5	< 10	196	< 5	17	71	27
6573229	< 5	0.06	41	55	10	0.27	< 5	< 10	177	< 5	17	69	9
6573230	< 5	0.14	38	59	16	0.18	< 5	< 10	125	< 5	16	66	8
6573231	< 5	0.16	41	74	7	0.35	< 5	< 10	176	< 5	18	71	9
6573232	< 5	0.12	42	40	8	0.44	< 5	< 10	216	< 5	19	116	15
6573233	< 5	0.04	36	68	12	0.34	< 5	< 10	181	< 5	16	68	12
6573234	< 5	0.07	37	64	16	0.35	< 5	< 10	191	< 5	16	76	13
6573235	< 5	0.23	37	64	< 2	0.34	< 5	< 10	178	< 5	16	69	11
6573236	< 5	0.05	40	80	9	0.34	< 5	< 10	205	< 5	17	64	10
6573237	6	0.21	40	77	8	0.20	< 5	< 10	135	< 5	17	78	7
6573238	< 5	0.16	38	72	5	0.25	< 5	< 10	154	< 5	16	73	8
6573239	< 5	0.19	37	71	2	0.29	< 5	< 10	163	< 5	16	70	11
6573240	< 5	< 0.01	< 4	195	5	< 0.01	< 5	< 10	4	< 5	< 1	7	< 5
6573241	< 5	0.24	40	68	9	0.42	< 5	< 10	207	< 5	17	86	17
6573651	< 5	0.53	41	210	16	0.60	< 5	< 10	260	< 5	26	81	56
6573652	< 5	0.22	33	402	14	0.61	< 5	< 10	184	< 5	27	84	84
6573653	< 5	0.13	30	285	< 2	0.43	< 5	< 10	136	< 5	25	90	75
6573654	< 5	0.36	23	239	13	0.35	< 5	< 10	63	< 5	35	91	61

Analyte Symbol	Sb	S	Sc	Sr	Te	Ti	Tl	U	V	W	Y	Zn	Zr
Unit Symbol	ppm	%	ppm	ppm	ppm	%	ppm	ppm	ppm	ppm	ppm	ppm	ppm
Lower Limit	5	0.01	4	1	2	0.01	5	10	2	5	1	1	5
Method Code	TD-ICP	TD-ICP	TD-ICP	TD-ICP	TD-ICP	TD-ICP	TD-ICP	TD-ICP	TD-ICP	TD-ICP	TD-ICP	TD-ICP	TD-ICP
6573655	< 5	0.78	17	319	5	0.71	< 5	< 10	85	< 5	34	81	122
6573656	< 5	0.35	26	423	8	0.32	< 5	< 10	88	< 5	30	101	44
6573657	< 5	0.27	33	276	< 2	0.27	< 5	< 10	110	< 5	25	89	35
6573658	< 5	0.33	46	168	9	0.34	< 5	< 10	183	< 5	30	89	38
6573659	< 5	0.06	44	121	15	0.35	< 5	< 10	177	< 5	27	72	44
6573660	< 5	< 0.01	< 4	125	10	< 0.01	< 5	< 10	2	< 5	< 1	8	< 5
6573661	< 5	0.38	44	122	11	0.64	< 5	< 10	265	< 5	28	73	72
6573662	< 5	0.46	46	116	15	0.66	< 5	< 10	296	< 5	27	74	71
6573663	< 5	0.12	46	124	7	0.62	< 5	< 10	264	< 5	28	67	63
6573664	< 5	0.31	42	139	8	0.58	< 5	< 10	246	< 5	30	71	61
6573665	< 5	0.30	42	145	10	0.29	< 5	< 10	168	< 5	27	77	30
6573666	< 5	0.18	40	125	9	0.47	< 5	< 10	227	< 5	26	89	52
6573667	< 5	0.05	32	140	2	0.21	< 5	< 10	94	< 5	30	87	48
6573668	< 5	0.06	19	172	6	0.25	< 5	< 10	36	< 5	36	103	88
6573669	< 5	0.13	19	170	12	0.21	< 5	< 10	39	< 5	37	108	85
6573670	< 5	0.05	13	112	13	0.23	< 5	< 10	31	< 5	38	84	130
6573671	< 5	0.09	7	89	4	0.18	< 5	< 10	14	< 5	42	30	222
6573672	< 5	0.05	5	56	< 2	0.09	< 5	< 10	2	< 5	45	21	230
6573673	< 5	0.03	12	85	7	0.32	< 5	< 10	35	< 5	40	74	160
6573674	< 5	0.03	18	124	7	0.57	< 5	< 10	64	< 5	35	110	141
6573675	< 5	0.06	29	124	3	0.19	< 5	< 10	66	< 5	33	97	42
6573676	< 5	0.15	44	134	5	0.23	< 5	< 10	157	< 5	28	83	23
6573677	< 5	0.17	44	123	< 2	0.38	< 5	< 10	187	< 5	29	78	40
6573678	< 5	0.16	42	120	17	0.39	< 5	< 10	177	< 5	27	76	38
6573679	< 5	0.08	44	146	12	0.59	< 5	< 10	255	< 5	27	77	60
6573680	< 5	2.52	7	323	7	0.66	< 5	< 10	79	< 5	10	173	85
6573681	< 5	0.18	45	140	9	0.63	< 5	< 10	273	< 5	27	74	67
6573682	< 5	0.04	44	126	8	0.52	< 5	< 10	242	< 5	20	74	46
6573683	< 5	0.06	43	144	12	0.51	< 5	20	235	< 5	23	74	52
6573684	< 5	0.15	41	130	6	0.26	< 5	< 10	150	< 5	23	74	24
6573685	< 5	0.08	41	127	< 2	0.26	< 5	< 10	121	< 5	23	71	23
6573686	< 5	0.07	42	126	7	0.36	< 5	< 10	198	< 5	23	71	37
6573687	< 5	0.12	45	127	9	0.52	< 5	< 10	238	< 5	23	73	40
6573688	< 5	0.16	44	137	8	0.44	< 5	< 10	190	< 5	27	73	35
6573689	< 5	0.54	40	138	20	0.48	< 5	< 10	205	< 5	21	84	36
6573690	< 5	0.23	39	159	13	0.45	< 5	< 10	211	< 5	22	83	30
6573691	< 5	0.09	42	117	5	0.51	< 5	< 10	236	< 5	22	152	33
6573692	< 5	0.09	38	88	5	0.48	< 5	< 10	218	< 5	21	117	28
6573693	< 5	0.03	43	103	7	0.35	< 5	< 10	209	< 5	24	121	21
6573694	< 5	0.08	41	121	< 2	0.51	< 5	< 10	240	< 5	23	116	31
6573695	< 5	0.10	41	128	6	0.35	< 5	< 10	185	< 5	22	89	19
6573696	< 5	0.08	42	129	2	0.32	< 5	< 10	167	< 5	23	91	22
6573697	< 5	0.10	41	136	3	0.29	< 5	< 10	152	< 5	22	94	24
6573698	< 5	0.11	39	164	10	0.29	< 5	< 10	151	< 5	21	89	21
6573699	< 5	0.12	43	180	6	0.51	< 5	< 10	234	< 5	22	100	40
6573700	< 5	0.02	< 4	142	5	< 0.01	< 5	< 10	3	< 5	< 1	12	< 5
6573701	< 5	0.09	43	144	5	0.53	< 5	< 10	233	< 5	22	108	51
6573702	< 5	0.05	44	111	3	0.37	< 5	< 10	176	< 5	21	105	33

Results

Activation Laboratories Ltd.

Report: A16-01795

Analyte Symbol	Sb	S	Sc	Sr	Te	Ti	Tl	U	V	W	Y	Zn	Zr
Unit Symbol	ppm	%	ppm	ppm	ppm	%	ppm	ppm	ppm	ppm	ppm	ppm	ppm
Lower Limit	5	0.01	4	1	2	0.01	5	10	2	5	1	1	5
Method Code	TD-ICP	TD-ICP	TD-ICP	TD-ICP	TD-ICP	TD-ICP	TD-ICP	TD-ICP	TD-ICP	TD-ICP	TD-ICP	TD-ICP	TD-ICP
6573703	< 5	0.04	38	157	5	0.39	< 5	< 10	202	< 5	21	77	29
6573704	< 5	0.08	41	137	5	0.33	< 5	< 10	176	< 5	23	93	24
6573705	< 5	0.07	41	132	< 2	0.31	< 5	< 10	164	< 5	24	85	24
6573706	< 5	0.05	43	130	< 2	0.31	< 5	< 10	183	< 5	24	80	28
6573707	< 5	0.07	44	109	16	0.37	< 5	< 10	177	< 5	26	81	28
6573708	< 5	0.09	42	81	8	0.42	< 5	< 10	193	< 5	24	89	37
6573709	< 5	0.10	41	42	7	0.43	< 5	< 10	193	< 5	23	76	37
6573710	< 5	0.07	39	42	8	0.45	< 5	< 10	198	< 5	23	76	34
6573711	< 5	0.07	42	57	< 2	0.45	< 5	< 10	198	< 5	25	80	37
6573712	< 5	0.12	43	86	3	0.33	< 5	< 10	169	< 5	24	127	28
6573713	< 5	0.24	46	102	3	0.22	< 5	< 10	151	< 5	25	196	20
6573714	< 5	0.16	38	108	3	0.44	< 5	< 10	203	< 5	22	124	48
6573715	< 5	0.23	41	121	< 2	0.21	< 5	< 10	146	< 5	23	101	22
6573716	< 5	0.11	37	157	2	0.26	< 5	< 10	127	< 5	24	96	43
6573717	< 5	0.07	42	142	7	0.38	< 5	< 10	195	< 5	23	84	44
6573718	< 5	0.24	48	25	6	0.50	< 5	< 10	251	< 5	28	120	66
6573719	< 5	0.23	43	45	< 2	0.48	< 5	< 10	224	< 5	27	173	59
6573720	< 5	2.47	7	321	8	0.66	< 5	< 10	79	6	10	170	84
6573721	< 5	0.65	20	223	6	0.76	< 5	< 10	101	6	36	278	138
6573722	< 5	3.48	14	127	7	0.29	< 5	< 10	86	< 5	13	8890	65
6573723	< 5	0.62	6	82	4	0.24	< 5	< 10	37	6	11	430	141
6573724	< 5	0.60	6	83	5	0.27	< 5	< 10	30	6	9	538	168
6573725	< 5	0.69	6	91	< 2	0.20	< 5	< 10	35	< 5	8	402	138
6573726	< 5	1.74	17	190	2	0.44	< 5	< 10	121	12	19	822	95
6573727	< 5	0.63	23	290	9	0.54	< 5	< 10	156	< 5	23	121	61
6573728	< 5	1.90	21	329	11	0.63	< 5	< 10	183	< 5	25	122	97
6573729	< 5	2.90	20	146	16	0.39	< 5	< 10	130	6	20	4390	95
6573730	< 5	4.73	23	91	9	0.31	< 5	< 10	128	< 5	16	3180	73
6573731	< 5	2.01	11	75	6	0.36	< 5	< 10	47	5	22	219	249
6573732	< 5	0.27	10	110	4	0.36	< 5	< 10	42	< 5	22	97	262
6573733	< 5	0.24	10	134	< 2	0.35	< 5	< 10	38	< 5	23	68	256
6573734	< 5	0.33	10	119	< 2	0.33	< 5	< 10	44	< 5	21	79	225
6573735	< 5	0.15	10	123	5	0.28	< 5	< 10	32	< 5	23	71	235
6573736	< 5	0.15	9	135	9	0.32	< 5	< 10	32	< 5	23	63	244
6573737	< 5	0.22	11	152	8	0.38	< 5	< 10	52	< 5	22	79	233
6573738	< 5	0.21	17	190	4	0.46	< 5	< 10	102	< 5	29	103	167
6573739	< 5	6.19	22	74	6	0.30	< 5	< 10	138	9	14	898	55
6573740	< 5	0.03	< 4	141	5	< 0.01	< 5	< 10	3	< 5	1	17	< 5
6573741	< 5	2.29	22	247	7	0.64	< 5	< 10	162	< 5	29	155	98
6573742	< 5	0.17	19	242	6	0.27	< 5	< 10	93	< 5	28	97	63
6573743	< 5	1.31	21	259	9	0.67	< 5	< 10	158	< 5	29	154	114
6573744	< 5	0.06	21	257	< 2	0.20	< 5	< 10	67	< 5	29	103	55
6573745	< 5	0.58	24	250	2	0.48	< 5	< 10	107	< 5	31	124	62
6573746	< 5	0.28	41	232	7	0.42	< 5	< 10	190	< 5	21	104	24
6573747	< 5	0.11	35	298	< 2	0.54	< 5	< 10	193	< 5	22	90	53
6573748	< 5	0.20	16	179	12	0.44	< 5	< 10	119	< 5	30	76	160
6573749	< 5	0.10	18	131	8	0.43	< 5	< 10	129	< 5	27	71	147
6573750	< 5	0.30	42	92	< 2	0.45	< 5	< 10	203	< 5	18	74	30

Results

Activation Laboratories Ltd.

Report: A16-01795

Analyte Symbol	Sb	S	Sc	Sr	Te	Ti	Tl	U	V	W	Y	Zn	Zr
Unit Symbol	ppm	%	ppm	ppm	ppm	%	ppm	ppm	ppm	ppm	ppm	ppm	ppm
Lower Limit	5	0.01	4	1	2	0.01	5	10	2	5	1	1	5
Method Code	TD-ICP	TD-ICP	TD-ICP	TD-ICP	TD-ICP	TD-ICP	TD-ICP	TD-ICP	TD-ICP	TD-ICP	TD-ICP	TD-ICP	TD-ICP
6573751	< 5	0.19	44	102	11	0.49	< 5	< 10	232	5	19	77	29
6573752	< 5	0.07	42	94	3	0.40	< 5	< 10	211	< 5	19	75	7
6573753	< 5	0.13	41	83	15	0.46	< 5	< 10	219	< 5	19	71	27
6573754	< 5	0.15	43	96	16	0.45	< 5	< 10	220	< 5	19	71	11
6573755	< 5	0.10	43	92	10	0.38	< 5	< 10	209	< 5	19	74	9
6573756	< 5	0.05	43	95	9	0.31	< 5	< 10	198	< 5	19	73	9
6573757	< 5	0.27	45	106	5	0.42	< 5	< 10	212	< 5	19	96	12
6573758	< 5	0.06	41	87	12	0.40	< 5	< 10	196	< 5	18	70	9
6573759	< 5	0.15	47	77	5	0.45	< 5	< 10	231	< 5	22	110	32
6573760	< 5	0.04	42	115	8	0.43	< 5	< 10	201	< 5	18	69	18
6573761	< 5	0.06	43	120	6	0.48	< 5	< 10	228	8	19	70	31
6573762	< 5	0.07	19	124	9	0.26	< 5	< 10	80	< 5	34	61	133
6573763	< 5	0.11	6	108	< 2	0.12	< 5	< 10	3	< 5	48	51	261
6573764	< 5	0.12	5	92	3	0.11	< 5	< 10	3	< 5	41	45	254
6573765	< 5	0.07	10	106	16	0.23	< 5	< 10	33	< 5	38	68	220
6573766	< 5	0.04	40	90	15	0.30	< 5	< 10	189	< 5	18	76	13
6573767	< 5	0.10	41	86	< 2	0.39	< 5	< 10	198	< 5	18	70	10
6573768	< 5	0.14	42	75	7	0.45	< 5	< 10	215	< 5	19	74	29
6573769	< 5	0.21	39	138	5	0.50	< 5	< 10	212	< 5	23	75	59
6573770	< 5	0.01	42	204	< 2	0.46	< 5	< 10	225	< 5	19	55	23
6573771	< 5	0.02	12	164	10	0.24	< 5	< 10	37	< 5	28	56	143
6573772	< 5	< 0.01	7	74	< 2	0.22	< 5	< 10	17	< 5	31	41	189
6573773	< 5	< 0.01	11	96	8	0.29	< 5	< 10	51	< 5	26	48	178
6573774	< 5	0.06	43	101	8	0.36	< 5	< 10	208	< 5	19	74	10
6573775	< 5	0.13	44	97	9	0.38	< 5	< 10	198	< 5	19	76	9
6573776	< 5	0.04	43	85	9	0.35	< 5	< 10	199	< 5	19	79	9
6573777	< 5	0.17	39	119	6	0.49	< 5	< 10	243	< 5	19	111	22
6573778	< 5	0.15	21	198	6	0.47	< 5	< 10	125	< 5	32	90	105
6573779	< 5	0.09	43	108	8	0.51	< 5	< 10	232	< 5	22	81	38
6573780	< 5	0.02	45	137	10	0.53	< 5	< 10	243	< 5	20	69	30
6573781	< 5	0.03	24	139	8	0.49	< 5	< 10	171	< 5	30	80	132
6573782	< 5	0.06	14	173	11	0.29	< 5	< 10	81	< 5	32	65	143
6573783	< 5	0.07	36	116	5	0.48	< 5	< 10	198	< 5	23	84	58
6573784	< 5	0.10	39	79	< 2	0.45	< 5	< 10	209	< 5	19	70	33
6573785	< 5	0.18	43	76	20	0.39	< 5	< 10	195	< 5	20	72	11
6573786	< 5	0.02	44	97	< 2	0.25	< 5	< 10	184	< 5	19	68	9
6573787	< 5	0.03	44	105	< 2	0.33	< 5	< 10	205	< 5	20	74	9
6573788	< 5	0.20	45	123	< 2	0.49	< 5	< 10	237	14	19	75	33
6573789	< 5	< 0.01	43	177	< 2	0.38	< 5	< 10	193	< 5	19	75	12
6573790	< 5	2.56	7	327	11	0.66	< 5	< 10	80	6	10	164	85
6573848	< 5	0.03	9	162	5	0.28	< 5	< 10	40	< 5	29	66	186
6573849	< 5	0.06	6	106	8	0.18	< 5	< 10	14	< 5	29	55	181
6573850	< 5	0.07	6	127	7	0.18	< 5	< 10	12	< 5	31	68	196
6573851	6	0.13	6	111	< 2	0.17	< 5	< 10	11	< 5	30	59	187
6573852	< 5	0.08	6	114	9	0.17	< 5	< 10	10	< 5	30	56	189
6573853	< 5	0.06	6	113	< 2	0.16	< 5	< 10	9	< 5	30	56	186
6573854	< 5	0.02	6	97	4	0.17	< 5	< 10	11	< 5	30	63	187
6573855	< 5	0.01	10	159	11	0.25	< 5	< 10	48	< 5	27	66	157

Results

Activation Laboratories Ltd.

Report: A16-01795

Analyte Symbol	Sb	S	Sc	Sr	Te	Ti	Tl	U	V	W	Y	Zn	Zr
Unit Symbol	ppm	%	ppm	ppm	ppm	%	ppm	ppm	ppm	ppm	ppm	ppm	ppm
Lower Limit	5	0.01	4	1	2	0.01	5	10	2	5	1	1	5
Method Code	TD-ICP	TD-ICP	TD-ICP	TD-ICP	TD-ICP	TD-ICP	TD-ICP	TD-ICP	TD-ICP	TD-ICP	TD-ICP	TD-ICP	TD-ICP
6573856	< 5	0.01	43	160	8	0.49	< 5	< 10	228	< 5	19	72	24
6573857	< 5	0.09	40	125	6	0.41	< 5	< 10	192	< 5	17	60	29
6573858	< 5	0.08	43	112	6	0.43	< 5	< 10	208	< 5	18	61	10
6573859	< 5	0.14	45	96	10	0.43	< 5	< 10	207	< 5	19	85	8
6573860	< 5	2.12	6	260	5	0.54	< 5	< 10	68	< 5	9	139	69
6573861	< 5	0.10	42	100	9	0.37	< 5	< 10	209	< 5	19	79	8
6573862	< 5	0.04	44	107	10	0.30	< 5	< 10	200	< 5	19	75	7
6573863	< 5	0.14	42	80	4	0.37	< 5	< 10	185	< 5	18	66	8
6573864	< 5	0.22	42	99	9	0.44	< 5	< 10	212	< 5	19	73	12
6573865	< 5	0.22	24	105	4	0.39	< 5	< 10	153	< 5	23	64	89
6573866	< 5	0.13	35	95	< 2	0.49	< 5	< 10	208	< 5	21	75	67
6573867	< 5	0.09	44	88	5	0.48	< 5	< 10	229	< 5	19	73	30
6573868	< 5	0.08	42	83	11	0.48	< 5	< 10	222	< 5	19	77	32
6573869	< 5	0.09	45	98	< 2	0.49	< 5	< 10	233	< 5	19	72	27
6573870	< 5	0.05	43	96	9	0.31	< 5	< 10	193	< 5	18	71	7
6573871	< 5	0.04	42	100	10	0.40	< 5	< 10	220	< 5	19	74	14
6573872	< 5	0.07	38	104	5	0.33	< 5	< 10	173	< 5	21	69	25
6573873	< 5	0.08	43	86	< 2	0.36	< 5	< 10	211	< 5	19	74	8
6573874	< 5	0.07	46	84	9	0.37	< 5	< 10	215	< 5	20	88	8
6573875	< 5	0.08	41	70	14	0.42	< 5	< 10	205	< 5	18	71	20
6573876	< 5	0.06	38	69	6	0.40	< 5	< 10	177	< 5	16	64	27
6573877	< 5	0.06	45	84	15	0.50	< 5	< 10	236	< 5	19	71	28
6573878	< 5	0.05	46	76	20	0.50	< 5	< 10	237	< 5	21	76	29
6573879	< 5	0.13	43	75	4	0.46	< 5	< 10	225	< 5	19	83	28
6573880	< 5	2.43	7	312	7	0.64	< 5	< 10	77	< 5	10	166	83
6573881	< 5	0.14	34	49	8	0.36	< 5	< 10	165	< 5	16	53	25
6573882	< 5	0.03	40	72	< 2	0.29	< 5	< 10	180	< 5	16	63	7
6573883	< 5	0.38	42	56	14	0.44	< 5	< 10	219	< 5	20	83	18
6573884	< 5	0.18	37	80	5	0.34	< 5	< 10	175	< 5	18	66	13
6573885	< 5	0.12	18	45	6	0.20	< 5	< 10	105	< 5	9	47	5
6573886	< 5	0.09	26	48	3	0.28	< 5	< 10	148	< 5	12	59	15
6573887	< 5	0.07	16	24	9	0.18	< 5	< 10	100	< 5	7	50	6
6573888	< 5	0.02	38	89	8	0.42	< 5	< 10	196	< 5	16	72	21
6573889	6	0.06	43	107	2	0.40	< 5	< 10	197	< 5	20	75	16
6573890	< 5	0.08	27	91	< 2	0.30	< 5	< 10	141	< 5	27	62	96
6573891	< 5	0.09	41	106	10	0.46	< 5	< 10	208	< 5	22	78	36
6573892	< 5	0.05	44	105	7	0.49	< 5	< 10	233	< 5	19	74	29
6573893	< 5	0.06	41	95	5	0.45	< 5	< 10	209	< 5	18	73	25
6573894	< 5	0.16	43	92	7	0.49	< 5	< 10	230	< 5	20	76	40
6573895	< 5	0.03	16	155	12	0.27	< 5	< 10	70	< 5	31	82	116
6573896	< 5	0.11	43	84	14	0.47	< 5	< 10	231	< 5	20	85	28
6573897	< 5	0.06	46	102	5	0.38	< 5	< 10	223	< 5	20	74	7
6573898	< 5	0.03	40	92	5	0.43	< 5	< 10	209	< 5	18	67	22
6573899	< 5	0.12	43	75	12	0.41	< 5	< 10	210	< 5	19	90	9
6573900	< 5	0.02	< 4	121	5	< 0.01	< 5	< 10	3	< 5	2	17	< 5
6573901	< 5	0.11	33	44	6	0.36	< 5	< 10	167	< 5	12	97	14
6573902	< 5	0.03	44	80	13	0.40	< 5	< 10	205	< 5	17	76	8
6573903	< 5	0.14	40	63	13	0.43	< 5	< 10	208	< 5	15	80	22

Analyte Symbol	Sb	S	Sc	Sr	Te	Ti	Tl	U	V	W	Y	Zn	Zr
Unit Symbol	ppm	%	ppm	ppm	ppm	%	ppm	ppm	ppm	ppm	ppm	ppm	ppm
Lower Limit	5	0.01	4	1	2	0.01	5	10	2	5	1	1	5
Method Code	TD-ICP	TD-ICP	TD-ICP	TD-ICP	TD-ICP	TD-ICP	TD-ICP	TD-ICP	TD-ICP	TD-ICP	TD-ICP	TD-ICP	TD-ICP
6573904	< 5	0.05	38	55	3	0.41	< 5	< 10	199	6	14	79	19
6573905	< 5	0.14	46	81	8	0.56	< 5	< 10	256	< 5	22	91	28
6573906	< 5	0.03	47	78	9	0.57	< 5	< 10	240	< 5	27	82	21
6573907	< 5	0.04	48	92	4	0.32	< 5	< 10	208	< 5	25	97	19
6573908	< 5	0.02	45	92	16	0.63	< 5	< 10	278	< 5	24	82	31
6573909	< 5	0.02	48	88	5	0.26	< 5	< 10	217	< 5	28	88	23
6573910	< 5	0.07	41	132	6	0.30	< 5	< 10	197	< 5	24	79	16
6573911	< 5	0.13	44	101	4	0.36	< 5	< 10	184	< 5	25	91	14
6573912	< 5	0.09	40	70	9	0.56	< 5	< 10	211	< 5	25	86	25
6573913	< 5	0.05	44	82	12	0.60	< 5	< 10	248	< 5	27	83	25
6573914	< 5	0.08	47	78	9	0.65	< 5	< 10	267	< 5	27	85	20
6573915	< 5	0.01	47	83	15	0.63	< 5	< 10	273	12	26	80	22
6573916	< 5	0.02	44	88	19	0.49	< 5	< 10	235	< 5	18	78	15
6573917	< 5	0.16	46	66	8	0.60	< 5	< 10	265	< 5	24	92	25
6573918	< 5	0.05	38	113	< 2	0.32	< 5	< 10	177	< 5	20	74	32
6573919	< 5	0.04	13	145	7	0.38	< 5	< 10	89	< 5	20	67	150
6573920	< 5	2.53	7	318	9	0.65	< 5	< 10	79	< 5	10	162	86
6573921	< 5	0.06	27	130	< 2	0.17	< 5	< 10	80	< 5	22	76	40
6573922	< 5	0.08	44	94	11	0.36	< 5	< 10	188	< 5	19	73	9
6573923	< 5	0.07	45	99	11	0.36	< 5	< 10	198	< 5	19	74	8
6573924	< 5	0.09	45	103	9	0.45	< 5	< 10	218	< 5	19	70	10
6573925	< 5	0.08	41	86	10	0.45	< 5	< 10	208	< 5	18	71	24
6573926	< 5	0.15	45	87	10	0.49	< 5	< 10	239	< 5	20	77	25
6573927	< 5	0.06	43	88	4	0.45	< 5	< 10	221	< 5	19	79	12
6573928	< 5	0.08	44	93	11	0.35	< 5	< 10	198	< 5	18	69	8
6573929	< 5	0.09	42	101	10	0.32	< 5	< 10	188	< 5	19	68	7
6573930	< 5	0.06	45	91	< 2	0.30	< 5	< 10	191	< 5	19	68	8

Analyte Symbol	Ag	Al	As	Ba	Be	Bi	Ca	Cd	Co	Cr	Cu	Fe	Ga	Hg	K	Mg	Li	Mn	Mo	Na	Ni	P	Pb
Unit Symbol	ppm	%	ppm	ppm	ppm	ppm	%	ppm	ppm	ppm	ppm	%	ppm	ppm	%	%	ppm	ppm	ppm	%	ppm	%	ppm
Lower Limit	0.3	0.01	3	7	1	2	0.01	0.3	1	1	1	0.01	1	1	0.01	0.01	1	1	1	0.01	1	0.001	3
Method Code	TD-ICP	TD-ICP	TD-ICP	TD-ICP	TD-ICP	TD-ICP	TD-ICP	TD-ICP	TD-ICP	TD-ICP	TD-ICP	TD-ICP	TD-ICP	TD-ICP	TD-ICP	TD-ICP	TD-ICP	TD-ICP	TD-ICP	TD-ICP	TD-ICP	TD-ICP	TD-ICP
GXR-4 Meas	3.1	4.93	103	200	2	18	0.90	0.4	12	31	5070	2.74	13	< 1	2.96	1.46	10	119	275	0.50	33	0.117	41
GXR-4 Cert	4.0	7.20	98.0	1640	1.90	19.0	1.01	0.860	14.6	64.0	6520	3.09	20.0	0.110	4.01	1.66	11.1	155	310	0.564	42.0	0.120	52.0
GXR-4 Meas	3.6	6.37	108	923	2	17	1.03	0.6	14	41	6460	3.12	16	6	3.91	1.69	12	150	322	0.57	40	0.126	51
GXR-4 Cert	4.0	7.20	98.0	1640	1.90	19.0	1.01	0.860	14.6	64.0	6520	3.09	20.0	0.110	4.01	1.66	11.1	155	310	0.564	42.0	0.120	52.0
GXR-6 Meas	< 0.3	11.6	234	> 1000	1	< 2	0.19	< 0.3	12	42	61	4.97	23	< 1	1.53	0.58	34	884	< 1	0.10	26	0.031	92
GXR-6 Cert	1.30	17.7	330	1300	1.40	0.290	0.180	1.00	13.8	96.0	66.0	5.58	35.0	0.0680	1.87	0.609	32.0	1010	2.40	0.104	27.0	0.0350	101
DNC-1a Meas				102					55	213	103		15				5				256		< 3
DNC-1a Cert				118					57.0	270	100.00		15				5.20				247		6.3
DNC-1a Meas				105					56	130	105		13				5				271		7
DNC-1a Cert				118					57.0	270	100.00		15				5.20				247		6.3
SBC-1 Meas			32	835	3	2		1.2	21	93	34		28				172		2		94		32
SBC-1 Cert			25.7	788.0	3.20	0.70		0.40	22.7	109	31.0000		27.0				163.0		2.40		82.8		35.0
SdAR-M2 (U.S.G.S.) Meas				951	7	< 2		5.7	13	29	222		17	2			18		12		53		853
SdAR-M2 (U.S.G.S.) Cert				990	6.6	1.05		5.1	12.4	49.6	236.0000		17.6	1.44			17.9		13.3		48.8		808
SdAR-M2 (U.S.G.S.) Meas				897	7	< 2		5.6	13	42	206		17	< 1			17		12		53		823
SdAR-M2 (U.S.G.S.) Cert				990	6.6	1.05		5.1	12.4	49.6	236.0000		17.6	1.44			17.9		13.3		48.8		808
6573223 Orig	< 0.3	6.33	5	104	< 1	< 2	7.94	< 0.3	43	221	117	7.59	12	< 1	0.29	3.54	19	1370	3	0.90	110	0.018	4
6573223 Dup	< 0.3	6.43	10	105	< 1	< 2	8.02	0.5	42	217	107	7.65	13	< 1	0.29	3.60	19	1400	< 1	0.92	114	0.018	< 3
6573224 Orig	< 0.3	6.72	7	148	< 1	< 2	6.59	0.7	45	259	110	7.37	13	< 1	0.43	2.83	23	1360	3	0.97	122	0.018	3
6573224 Dup	< 0.3	7.05	< 3	152	< 1	< 2	6.76	0.5	46	269	115	7.67	14	< 1	0.45	2.97	23	1410	2	1.01	124	0.019	3
6573672 Orig	0.4	6.22	< 3	407	1	< 2	1.23	< 0.3	< 1	89	3	1.45	16	< 1	1.55	0.08	16	309	11	3.35	4	0.006	< 3
6573672 Dup	< 0.3	5.73	3	379	1	< 2	1.14	< 0.3	< 1	84	4	1.35	15	< 1	1.43	0.08	14	286	11	3.10	4	0.005	< 3
6573674 Orig	< 0.3	7.32	4	282	1	4	4.13	< 0.3	19	80	13	6.54	18	< 1	1.45	1.26	28	1120	5	2.82	4	0.116	6
6573674 Dup	< 0.3	7.05	6	276	< 1	3	4.10	0.3	19	79	10	6.42	18	1	1.44	1.23	27	1120	3	2.77	3	0.115	< 3
6573702 Orig	< 0.3	7.67	31	35	< 1	< 2	4.53	0.4	48	48	91	7.57	16	1	0.08	4.10	23	1380	3	2.28	65	0.033	< 3
6573702 Dup	< 0.3	7.53	7	34	< 1	< 2	4.45	0.3	48	48	88	7.43	15	< 1	0.07	4.05	22	1360	< 1	2.26	65	0.030	< 3
6573715 Orig	< 0.3	6.87	< 3	177	< 1	< 2	6.54	< 0.3	43	87	117	6.84	12	< 1	0.71	1.96	18	1250	1	1.29	58	0.030	< 3
6573715 Dup	< 0.3	7.54	5	186	< 1	< 2	6.96	0.4	46	89	130	7.19	15	< 1	0.78	2.08	19	1340	< 1	1.37	62	0.031	< 3
6573725 Orig	0.4	6.72	5	541	< 1	< 2	1.67	1.0	10	53	71	1.87	18	< 1	2.25	0.49	11	261	7	1.44	10	0.046	12
6573725 Dup	0.4	6.58	< 3	523	< 1	< 2	1.51	0.9	9	57	64	1.82	17	< 1	2.14	0.47	10	254	7	1.38	10	0.045	12
6573743 Orig	0.4	7.89	7	226	< 1	3	5.12	0.5	20	90	81	7.58	19	< 1	0.58	1.81	22	1470	6	3.43	27	0.107	5
6573743 Dup	0.3	7.43	< 3	209	< 1	3	4.80	< 0.3	20	78	70	6.97	14	< 1	0.50	1.63	20	1280	2	3.22	24	0.093	4
6573767 Orig	< 0.3	6.91	< 3	105	< 1	< 2	8.47	0.5	48	245	148	8.47	14	1	0.45	3.21	16	1950	4	0.92	131	0.021	< 3
6573767 Dup	< 0.3	7.18	5	109	< 1	< 2	8.78	0.7	50	254	161	8.41	14	< 1	0.46	3.30	16	2040	4	0.94	137	0.022	< 3
6573770 Orig	< 0.3	7.46	4	56	< 1	< 2	10.8	0.3	41	229	22	7.75	17	< 1	0.27	2.42	12	2110	4	1.86	128	0.021	< 3
6573770 Dup	< 0.3	7.85	7	58	< 1	< 2	11.3	0.4	43	236	25	8.07	17	< 1	0.28	2.50	12	2170	5	1.97	133	0.022	< 3
6573875 Orig	< 0.3	6.11	< 3	34	< 1	< 2	8.44	0.5	46	226	143	8.48	13	< 1	0.17	2.93	15	2050	3	1.11	127	0.019	< 3
6573875 Dup	< 0.3	7.37	< 3	37	< 1	< 2	9.16	0.3	50	245	160	9.29	15	< 1	0.19	3.24	17	2360	3	1.21	138	0.020	< 3
6573888 Orig	< 0.3	6.22	< 3	20	< 1	< 2	6.89	0.4	45	259	34	8.09	11	< 1	0.14	4.56	15	1390	6	1.21	126	0.018	< 3
6573888 Dup	< 0.3	6.32	7	20	< 1	2	6.92	0.4	45	258	34	8.23	12	< 1	0.14	4.63	16	1400	6	1.23	129	0.019	< 3
6573890 Orig	< 0.3	6.29	9	212	< 1	< 2	4.92	0.4	26	247	116	5.24	11	< 1	0.48	2.38	17	968	9	2.11	52	0.015	< 3
6573890 Dup	< 0.3	6.48	< 3	217	< 1	< 2	5.06	0.3	26	199	120	5.41	12	< 1	0.48	2.44	18	1020	7	2.16	55	0.016	3
6573900 Orig	< 0.3	0.12	5	128	< 1	< 2	16.9	< 0.3	< 1	31	3	0.16	< 1	< 1	0.05	12.4	16	326	5	0.04	3	0.004	3
6573900 Dup	< 0.3	0.08	6	136	< 1	< 2	17.2	< 0.3	< 1	26	10	0.12	< 1	1	0.05	12.8	17	332	5	0.04	4	0.004	< 3
Method Blank	< 0.3	< 0.01	< 3	< 7	< 1	< 2	< 0.01	< 0.3	< 1		6	< 0.01	< 1	< 1	< 0.01	< 0.01	< 1		< 1	< 0.01	1	< 0.001	< 3

Analyte Symbol	Ag	Al	As	Ba	Be	Bi	Ca	Cd	Co	Cr	Cu	Fe	Ga	Hg	K	Mg	Li	Mn	Mo	Na	Ni	P	Pb
Unit Symbol	ppm	%	ppm	ppm	ppm	ppm	%	ppm	ppm	ppm	ppm	%	ppm	ppm	%	%	ppm	ppm	ppm	%	ppm	%	ppm
Lower Limit	0.3	0.01	3	7	1	2	0.01	0.3	1	1	1	0.01	1	1	0.01	0.01	1	1	1	0.01	1	0.001	3
Method Code	TD-ICP	TD-ICP	TD-ICP	TD-ICP	TD-ICP	TD-ICP	TD-ICP	TD-ICP	TD-ICP	TD-ICP	TD-ICP	TD-ICP	TD-ICP	TD-ICP	TD-ICP	TD-ICP	TD-ICP	TD-ICP	TD-ICP	TD-ICP	TD-ICP	TD-ICP	TD-ICP
Method Blank	< 0.3	0.01	< 3	< 7	< 1	< 2	< 0.01	< 0.3	< 1		< 1	< 0.01	< 1	< 1	< 0.01	< 0.01	< 1		< 1	< 0.01	< 1	< 0.001	< 3
Method Blank	< 0.3	< 0.01	< 3	< 7	< 1	< 2	< 0.01	< 0.3	< 1		1	< 0.01	< 1	< 1	< 0.01	< 0.01	< 1		< 1	< 0.01	< 1	< 0.001	< 3
Method Blank	< 0.3	< 0.01	< 3	< 7	< 1	< 2	< 0.01	< 0.3	< 1		4	< 0.01	< 1	< 1	< 0.01	< 0.01	< 1		< 1	< 0.01	< 1	< 0.001	< 3
Method Blank	< 0.3	< 0.01	< 3	< 7	< 1	< 2	< 0.01	< 0.3	< 1		< 1	< 0.01	< 1	< 1	< 0.01	< 0.01	< 1		< 1	< 0.01	1	< 0.001	< 3
Method Blank	< 0.3	< 0.01	< 3	< 7	< 1	< 2	< 0.01	< 0.3	< 1		< 1	< 0.01	< 1	2	< 0.01	< 0.01	< 1		< 1	< 0.01	< 1	< 0.001	< 3

Analyte Symbol	Sb	S	Sc	Sr	Te	Ti	Tl	U	V	W	Y	Zn	Zr
Unit Symbol	ppm	%	ppm	ppm	ppm	%	ppm	ppm	ppm	ppm	ppm	ppm	ppm
Lower Limit	5	0.01	4	1	2	0.01	5	10	2	5	1	1	5
Method Code	TD-ICP	TD-ICP	TD-ICP	TD-ICP	TD-ICP	TD-ICP	TD-ICP	TD-ICP	TD-ICP	TD-ICP	TD-ICP	TD-ICP	TD-ICP
GXR-4 Meas	< 5	1.51	7	186	< 2	0.25	< 5	< 10	73	31	16	65	35
GXR-4 Cert	4.80	1.77	7.70	221	0.970	0.29	3.20	6.20	87.0	30.8	14.0	73.0	186
GXR-4 Meas	5	1.79	8	222	< 2	0.29	< 5	< 10	85	36	18	76	54
GXR-4 Cert	4.80	1.77	7.70	221	0.970	0.29	3.20	6.20	87.0	30.8	14.0	73.0	186
GXR-6 Meas	< 5	0.02	22	30	< 2		< 5	< 10	98	< 5	14	114	56
GXR-6 Cert	3.60	0.0160	27.6	35.0	0.0180		2.20	1.54	186	1.90	14.0	118	110
DNC-1a Meas	< 5		31	137		0.31			142		20	69	37
DNC-1a Cert	0.96		31	144.0		0.29			148.0000		18.0	70.0	38.0
DNC-1a Meas	< 5		32	142		0.33			148		21	68	38
DNC-1a Cert	0.96		31	144.0		0.29			148.0000		18.0	70.0	38.0
SBC-1 Meas	< 5		22	189		0.58	< 5	< 10	216	< 5	42	196	127
SBC-1 Cert	1.01		20.0	178.0		0.51	0.89	5.76	220.0	1.60	36.5	186.0	134.0
SdAR-M2 (U.S.G.S.) Meas			4	138				< 10	25	9	29	793	102
SdAR-M2 (U.S.G.S.) Cert			4.1	144				2.53	25.2	2.8	32.7	760	259
SdAR-M2 (U.S.G.S.) Meas			4	131				< 10	25	9	27	771	97
SdAR-M2 (U.S.G.S.) Cert			4.1	144				2.53	25.2	2.8	32.7	760	259
6573223 Orig	< 5	0.03	37	50	2	0.33	< 5	< 10	184	< 5	11	70	22
6573223 Dup	< 5	0.03	38	50	7	0.35	< 5	< 10	195	< 5	12	72	24
6573224 Orig	< 5	0.33	40	58	< 2	0.41	< 5	< 10	215	< 5	12	92	34
6573224 Dup	< 5	0.35	40	59	3	0.43	< 5	< 10	222	< 5	12	94	36
6573672 Orig	< 5	0.05	5	56	3	0.09	< 5	< 10	2	< 5	46	21	234
6573672 Dup	< 5	0.05	5	55	< 2	0.09	< 5	< 10	2	< 5	44	21	225
6573674 Orig	< 5	0.03	18	124	6	0.59	< 5	< 10	64	< 5	36	112	139
6573674 Dup	< 5	0.03	18	124	8	0.55	< 5	< 10	64	< 5	35	108	143
6573702 Orig	< 5	0.06	44	112	4	0.50	< 5	< 10	229	< 5	21	105	43
6573702 Dup	< 5	0.05	44	110	2	0.23	< 5	< 10	124	< 5	21	106	23
6573715 Orig	< 5	0.22	40	114	< 2	0.24	< 5	< 10	152	< 5	22	97	25
6573715 Dup	< 5	0.23	42	128	3	0.18	< 5	< 10	140	< 5	24	105	18
6573725 Orig	< 5	0.72	6	94	< 2	0.21	< 5	< 10	36	6	8	413	141
6573725 Dup	< 5	0.67	6	88	3	0.20	< 5	< 10	34	< 5	8	391	135
6573743 Orig	< 5	1.38	21	278	11	0.79	< 5	< 10	180	< 5	29	161	138
6573743 Dup	< 5	1.25	20	240	7	0.55	< 5	< 10	135	< 5	29	147	91
6573767 Orig	< 5	0.10	40	85	5	0.38	< 5	< 10	195	< 5	18	63	10
6573767 Dup	< 5	0.11	42	87	< 2	0.40	< 5	< 10	200	< 5	19	78	9
6573770 Orig	< 5	0.01	40	200	10	0.44	< 5	< 10	216	< 5	19	54	17
6573770 Dup	< 5	0.01	44	208	< 2	0.48	< 5	< 10	233	< 5	19	56	28
6573875 Orig	< 5	0.08	38	63	13	0.36	< 5	< 10	176	< 5	17	67	10
6573875 Dup	< 5	0.08	44	78	15	0.48	< 5	< 10	233	< 5	20	75	30
6573888 Orig	< 5	0.02	38	89	5	0.41	< 5	< 10	194	< 5	16	72	20
6573888 Dup	< 5	0.01	39	89	11	0.42	< 5	< 10	199	< 5	16	72	22
6573890 Orig	< 5	0.08	27	88	8	0.31	< 5	< 10	144	< 5	26	63	102
6573890 Dup	< 5	0.08	28	93	< 2	0.29	< 5	< 10	138	< 5	27	61	89
6573900 Orig	< 5	0.02	< 4	116	5	< 0.01	< 5	< 10	3	< 5	2	18	< 5
6573900 Dup	< 5	0.02	< 4	125	4	< 0.01	< 5	< 10	3	< 5	2	17	< 5

Analyte Symbol	Sb	S	Sc	Sr	Te	Ti	Tl	U	V	W	Y	Zn	Zr
Unit Symbol	ppm	%	ppm	ppm	ppm	%	ppm	ppm	ppm	ppm	ppm	ppm	ppm
Lower Limit	5	0.01	4	1	2	0.01	5	10	2	5	1	1	5
Method Code	TD-ICP	TD-ICP	TD-ICP	TD-ICP	TD-ICP	TD-ICP	TD-ICP	TD-ICP	TD-ICP	TD-ICP	TD-ICP	TD-ICP	TD-ICP
Method Blank	< 5	< 0.01	< 4	< 1	3	< 0.01	< 5	< 10	< 2	< 5	< 1	1	< 5
Method Blank	< 5	< 0.01	< 4	< 1	< 2	< 0.01	< 5	< 10	< 2	< 5	< 1	< 1	< 5
Method Blank	< 5	< 0.01	< 4	< 1	2	< 0.01	< 5	< 10	< 2	< 5	< 1	< 1	< 5
Method Blank	< 5	< 0.01	< 4	< 1	3	< 0.01	< 5	< 10	< 2	< 5	< 1	< 1	< 5
Method Blank	< 5	< 0.01	< 4	< 1	2	< 0.01	< 5	< 10	< 2	< 5	< 1	< 1	< 5
Method Blank	< 5	< 0.01	< 4	< 1	4	< 0.01	< 5	< 10	< 2	< 5	< 1	< 1	< 5



Date Submitted: 02-Mar-16
Invoice No.: A16-01709
Invoice Date: 10-Mar-16
Your Reference: SG16-0131 36183 ADVENTURE GOLD

Techni-Lab Abitibi Inc.(Actlabs)
184 Rue Principale
Ste-Germaine-Boule Quebec J0Z 1M0
Canada

ATTN: Andre Caouette

CERTIFICATE OF ANALYSIS

142 Pulp samples were submitted for analysis.

The following analytical package(s) were requested:

Code 1F2 Total Digestion ICP(TOTAL)

REPORT **A16-01709**

This report may be reproduced without our consent. If only selected portions of the report are reproduced, permission must be obtained. If no instructions were given at time of sample submittal regarding excess material, it will be discarded within 90 days of this report. Our liability is limited solely to the analytical cost of these analyses. Test results are representative only of material submitted for analysis.

Notes:

Values which exceed the upper limit should be assayed for accurate numbers.

CERTIFIED BY:

A handwritten signature in black ink, appearing to be "Emmanuel Esemé". The signature is stylized and somewhat cursive.

Emmanuel Esemé , Ph.D.
Quality Control

ACTIVATION LABORATORIES LTD.
41 Bittern Street, Ancaster, Ontario, Canada, L9G 4V5
TELEPHONE +905 648-9611 or +1.888.228.5227 FAX +1.905.648.9613
E-MAIL Ancaster@actlabs.com ACTLABS GROUP WEBSITE www.actlabs.com

Results

Activation Laboratories Ltd.

Report: A16-01709

Analyte Symbol	Ag	Al	As	Ba	Be	Bi	Ca	Cd	Co	Cr	Cu	Fe	Ga	Hg	K	Mg	Li	Mn	Mo	Na	Ni	P	Pb
Unit Symbol	ppm	%	ppm	ppm	ppm	ppm	%	ppm	ppm	ppm	ppm	%	ppm	ppm	%	%	ppm	ppm	ppm	%	ppm	%	ppm
Lower Limit	0.3	0.01	3	7	1	2	0.01	0.3	1	1	1	0.01	1	1	0.01	0.01	1	1	1	0.01	1	0.001	3
Method Code	TD-ICP	TD-ICP	TD-ICP	TD-ICP	TD-ICP	TD-ICP	TD-ICP	TD-ICP	TD-ICP	TD-ICP	TD-ICP	TD-ICP	TD-ICP	TD-ICP	TD-ICP	TD-ICP	TD-ICP	TD-ICP	TD-ICP	TD-ICP	TD-ICP	TD-ICP	TD-ICP
5756401 36183	< 0.3	6.82	9	133	< 1	< 2	6.58	< 0.3	50	240	124	8.06	17	< 1	0.42	2.17	11	1720	4	1.49	131	0.027	< 3
5756402	< 0.3	6.17	7	35	< 1	< 2	6.34	< 0.3	68	228	408	7.88	18	< 1	0.19	2.18	13	1570	1	2.17	135	0.022	< 3
5756403	< 0.3	6.61	4	36	< 1	< 2	5.93	< 0.3	52	219	98	8.03	17	< 1	0.22	2.34	14	1910	< 1	2.15	152	0.024	< 3
5756404	< 0.3	7.04	7	47	< 1	< 2	6.40	< 0.3	55	221	114	7.74	17	< 1	0.25	2.00	13	2070	< 1	2.10	148	0.037	< 3
5756405	< 0.3	6.97	< 3	50	< 1	< 2	6.38	< 0.3	53	221	126	7.89	16	< 1	0.27	2.03	13	1820	< 1	2.03	145	0.027	< 3
5756406	< 0.3	6.46	< 3	35	< 1	< 2	5.47	< 0.3	49	234	88	7.10	15	< 1	0.23	1.81	13	1580	1	2.06	129	0.028	< 3
5756407	< 0.3	6.61	3	24	< 1	< 2	6.72	< 0.3	53	317	126	7.51	13	< 1	0.13	1.99	19	1750	2	1.15	155	0.017	< 3
5756408	< 0.3	6.29	3	23	< 1	< 2	7.05	< 0.3	61	340	2470	7.49	12	< 1	0.17	4.46	20	1180	2	0.39	198	0.017	< 3
5756409	< 0.3	7.08	5	8	< 1	< 2	7.75	< 0.3	51	436	119	7.51	15	< 1	0.03	1.93	10	1430	4	0.63	142	0.020	< 3
5756410	< 0.3	6.15	4	147	< 1	< 2	5.50	< 0.3	71	286	138	5.23	17	< 1	0.50	1.39	10	1200	5	1.59	196	0.029	< 3
5756411	< 0.3	8.04	< 3	168	< 1	< 2	5.48	< 0.3	56	261	111	5.91	17	< 1	0.44	1.59	13	1240	1	2.08	143	0.030	< 3
5756412	< 0.3	8.81	< 3	229	< 1	< 2	5.54	< 0.3	57	227	62	5.65	20	< 1	0.59	1.64	13	1300	< 1	2.62	160	0.032	< 3
5756413	< 0.3	7.84	13	288	< 1	< 2	6.22	< 0.3	57	200	47	6.28	20	< 1	0.59	1.71	18	1610	3	2.38	180	0.027	< 3
5756414	< 0.3	6.29	< 3	208	< 1	< 2	6.97	< 0.3	69	199	136	7.11	17	< 1	0.54	1.87	13	1780	1	1.10	209	0.030	< 3
5756415	< 0.3	7.11	< 3	201	< 1	< 2	5.76	< 0.3	49	171	113	6.24	16	< 1	0.43	1.82	16	1400	< 1	1.76	145	0.025	< 3
5756416	< 0.3	7.16	< 3	66	< 1	< 2	7.57	< 0.3	48	168	103	8.00	16	< 1	0.18	2.31	14	1680	< 1	1.13	133	0.025	< 3
5756417	< 0.3	7.30	< 3	98	< 1	< 2	6.52	< 0.3	47	183	106	6.62	15	< 1	0.22	2.01	13	1600	< 1	1.42	139	0.023	< 3
5756418	< 0.3	7.74	< 3	54	< 1	< 2	7.04	< 0.3	56	177	109	7.05	17	< 1	0.15	2.03	11	1640	< 1	1.59	153	0.025	< 3
5756419	< 0.3	7.36	< 3	47	< 1	< 2	7.28	0.3	50	215	115	6.79	16	< 1	0.15	1.95	10	1700	1	1.47	142	0.024	< 3
5756420 BLC	< 0.3	0.07	< 3	143	< 1	< 2	17.8	< 0.3	< 1	10	< 1	0.04	< 1	< 1	0.02	11.5	7	288	< 1	0.02	2	0.002	< 3
5756421	< 0.3	5.89	5	61	< 1	< 2	6.88	< 0.3	51	320	128	6.56	16	< 1	0.19	1.79	11	1590	3	1.57	144	0.026	< 3
5756422	< 0.3	7.58	< 3	53	< 1	< 2	6.97	< 0.3	53	255	112	7.12	17	< 1	0.20	2.07	11	1680	< 1	1.60	155	0.023	< 3
5756423	< 0.3	7.48	5	61	< 1	< 2	6.91	< 0.3	52	186	116	6.67	17	< 1	0.23	1.97	11	1690	< 1	1.65	152	0.022	< 3
5756424	< 0.3	7.47	< 3	91	< 1	< 2	6.39	< 0.3	50	127	100	6.88	16	< 1	0.26	2.29	14	1500	< 1	1.82	125	0.032	< 3
5756425	< 0.3	6.97	< 3	98	< 1	< 2	6.63	< 0.3	52	164	133	6.84	18	< 1	0.26	1.72	10	1520	< 1	1.71	147	0.025	< 3
5756426	< 0.3	7.18	< 3	443	< 1	< 2	3.38	< 0.3	57	220	184	5.07	19	< 1	0.71	1.21	10	875	< 1	2.82	123	0.030	< 3
5756427	< 0.3	7.53	< 3	350	< 1	< 2	3.55	< 0.3	51	205	140	5.22	18	< 1	0.65	1.50	11	904	< 1	2.84	113	0.032	< 3
5756428	< 0.3	6.67	< 3	43	< 1	< 2	7.61	< 0.3	52	258	102	8.52	19	< 1	0.12	3.38	18	1600	< 1	0.97	175	0.030	< 3
5756429	< 0.3	7.20	< 3	217	< 1	< 2	8.73	< 0.3	48	217	105	7.10	21	< 1	0.35	1.87	11	1630	< 1	1.90	115	0.030	< 3
5756430	< 0.3	5.60	5	34	< 1	< 2	7.07	< 0.3	40	228	106	7.93	15	< 1	0.11	3.18	13	1340	3	1.11	77	0.037	< 3
5756431	< 0.3	5.28	< 3	38	< 1	< 2	4.56	< 0.3	54	747	74	6.64	12	< 1	0.28	5.49	21	1140	6	0.54	329	0.021	8
5756432	< 0.3	4.70	< 3	9	< 1	< 2	5.50	< 0.3	60	1200	101	7.03	10	< 1	0.08	7.29	13	1360	5	0.07	474	0.020	17
5756433	0.8	5.39	< 3	27	< 1	< 2	4.55	< 0.3	64	731	146	7.08	10	< 1	0.28	6.36	17	1160	9	0.35	713	0.028	60
5756434	< 0.3	4.22	< 3	< 7	< 1	< 2	5.66	< 0.3	54	737	79	6.57	10	< 1	0.01	6.70	15	1400	14	0.01	372	0.031	< 3
5756435	< 0.3	5.57	< 3	23	< 1	< 2	4.80	< 0.3	57	555	33	8.27	13	< 1	0.30	6.05	28	1330	7	0.25	270	0.026	26
5756436	< 0.3	7.04	3	111	< 1	< 2	7.12	< 0.3	56	156	179	6.05	17	< 1	1.40	2.48	36	1260	< 1	1.19	140	0.016	< 3
5756437	< 0.3	7.15	12	78	< 1	< 2	7.92	< 0.3	47	128	116	7.08	15	< 1	0.33	3.29	18	1700	5	1.32	127	0.020	3
5756438	< 0.3	7.43	4	33	< 1	< 2	6.87	< 0.3	49	124	124	7.80	14	< 1	0.18	3.79	18	1740	2	1.36	130	0.020	5
5756439	< 0.3	6.90	< 3	43	< 1	< 2	6.75	< 0.3	49	140	118	8.74	13	< 1	0.24	3.89	20	1730	< 1	0.86	119	0.019	< 3
5756440 MR	1.5	7.34	100	148	4	< 2	2.72	1.9	25	59	89	5.97	23	< 1	3.36	2.00	3	518	4	2.94	83	0.094	85
5756441	< 0.3	6.77	8	19	< 1	< 2	6.99	< 0.3	48	158	133	8.64	17	< 1	0.12	3.92	23	1360	< 1	0.76	108	0.021	< 3
5756442	< 0.3	7.09	< 3	101	< 1	3	7.20	< 0.3	48	143	108	7.39	15	< 1	0.38	3.33	20	1580	< 1	1.10	134	0.017	< 3
5756443	< 0.3	7.17	7	39	< 1	< 2	7.19	< 0.3	55	128	138	6.31	15	< 1	0.15	2.96	12	1430	< 1	1.93	141	0.020	< 3
5756444	< 0.3	6.20	< 3	73	< 1	< 2	5.84	0.3	46	173	102	7.87	14	< 1	0.69	3.98	27	1200	1	0.98	105	0.026	96
5756445	< 0.3	6.78	< 3	197	< 1	< 2	6.20	< 0.3	47	241	111	4.99	14	< 1	0.81	1.71	17	1160	< 1	1.15	136	0.016	< 3
5756446	1.2	6.90	5	148	< 1	< 2	5.14	0.3	55	240	149	6.01	18	< 1	0.92	2.13	25	913	4	1.71	134	0.030	105
5756447	< 0.3	6.89	12	189	< 1	< 2	7.18	< 0.3	65	124	166	5.90	16	1	0.66	1.87	17	1080	< 1	1.99	97	0.023	< 3
5756448	< 0.3	7.03	30	180	< 1	< 2	7.28	< 0.3	55	141	152	6.25	18	< 1	0.38	1.78	15	1120	< 1	1.83	93	0.022	< 3

Results

Activation Laboratories Ltd.

Report: A16-01709

Analyte Symbol	Ag	Al	As	Ba	Be	Bi	Ca	Cd	Co	Cr	Cu	Fe	Ga	Hg	K	Mg	Li	Mn	Mo	Na	Ni	P	Pb
Unit Symbol	ppm	%	ppm	ppm	ppm	ppm	%	ppm	ppm	ppm	ppm	%	ppm	ppm	%	%	ppm	ppm	ppm	%	ppm	%	ppm
Lower Limit	0.3	0.01	3	7	1	2	0.01	0.3	1	1	1	0.01	1	1	0.01	0.01	1	1	1	0.01	1	0.001	3
Method Code	TD-ICP	TD-ICP	TD-ICP	TD-ICP	TD-ICP	TD-ICP	TD-ICP	TD-ICP	TD-ICP	TD-ICP	TD-ICP	TD-ICP	TD-ICP	TD-ICP	TD-ICP	TD-ICP	TD-ICP	TD-ICP	TD-ICP	TD-ICP	TD-ICP	TD-ICP	TD-ICP
5756449	< 0.3	5.58	53	8	< 1	< 2	7.74	< 0.3	48	256	117	8.27	13	< 1	0.02	3.22	15	1470	3	1.04	70	0.026	< 3
5756450	< 0.3	6.57	25	14	< 1	< 2	7.03	< 0.3	45	294	148	9.25	15	< 1	0.05	3.65	15	1440	< 1	1.12	81	0.025	< 3
5756451	< 0.3	7.50	66	< 7	< 1	< 2	7.58	< 0.3	50	147	101	6.73	17	< 1	0.04	2.07	11	1170	< 1	1.23	95	0.023	< 3
5756452	< 0.3	7.19	60	9	< 1	< 2	6.06	< 0.3	62	122	157	6.43	16	< 1	0.05	1.84	11	1010	< 1	1.56	103	0.020	< 3
5756453	< 0.3	7.14	22	77	< 1	< 2	6.67	< 0.3	54	108	174	5.49	17	< 1	0.25	1.55	15	1020	< 1	1.86	96	0.022	< 3
5756454	< 0.3	6.58	4	53	< 1	< 2	6.60	< 0.3	56	135	156	6.05	17	1	0.25	1.62	15	986	< 1	1.62	94	0.022	< 3
5756455	< 0.3	7.48	4	55	< 1	< 2	6.86	< 0.3	60	127	159	5.75	17	< 1	0.25	1.61	16	963	< 1	2.16	109	0.024	< 3
5756456	< 0.3	7.15	3	103	< 1	< 2	6.03	< 0.3	57	143	154	4.99	18	< 1	0.32	1.56	17	911	< 1	2.18	104	0.024	< 3
5756457	< 0.3	6.91	8	161	< 1	< 2	4.46	< 0.3	70	158	179	6.47	16	< 1	0.59	1.68	15	756	5	2.27	103	0.024	< 3
5756458	< 0.3	7.57	< 3	118	< 1	< 2	6.04	< 0.3	62	146	178	6.40	18	< 1	0.50	1.88	18	1110	1	2.30	108	0.027	5
5756459	< 0.3	6.99	3	30	< 1	< 2	6.80	< 0.3	56	134	158	6.79	14	< 1	0.22	1.83	17	1380	< 1	1.65	94	0.022	< 3
5756460 BLC	< 0.3	0.08	< 3	117	< 1	< 2	17.3	< 0.3	< 1	14	1	0.07	1	< 1	0.02	10.7	7	280	< 1	0.03	2	0.003	3
5756461	< 0.3	7.19	4	43	< 1	< 2	6.10	< 0.3	57	171	147	7.71	17	< 1	0.25	2.21	18	1420	< 1	1.43	101	0.022	< 3
5756462	< 0.3	6.84	< 3	62	< 1	< 2	8.17	< 0.3	41	151	179	9.35	16	< 1	0.32	2.40	17	1930	< 1	1.19	91	0.021	< 3
5756463	0.9	5.76	7	117	< 1	< 2	4.98	5.5	76	139	876	12.3	19	< 1	0.51	1.61	10	1760	10	0.88	134	0.028	6
5756464	0.7	6.25	31	97	< 1	< 2	4.43	1.4	101	132	463	12.7	17	< 1	0.35	1.72	13	1550	9	1.05	157	0.026	10
5756465	0.4	7.00	9	65	< 1	< 2	1.43	1.5	59	867	234	7.70	18	< 1	1.69	0.63	28	553	11	0.70	169	0.015	6
5756466	0.4	5.40	5	55	< 1	< 2	2.69	< 0.3	23	99	170	10.8	13	< 1	0.34	1.86	19	1790	5	0.54	48	0.016	7
5756467	0.6	5.47	< 3	96	< 1	< 2	3.78	0.4	52	142	335	10.8	15	< 1	0.47	1.35	11	1750	10	1.08	127	0.025	8
5756468	< 0.3	7.09	< 3	106	< 1	< 2	5.50	< 0.3	56	394	86	4.08	17	< 1	0.59	1.38	19	960	< 1	1.90	156	0.021	4
5756469	< 0.3	8.28	< 3	92	< 1	< 2	5.67	< 0.3	57	388	82	4.24	16	< 1	0.72	2.20	32	973	2	1.76	168	0.017	4
5756470	< 0.3	8.87	< 3	143	< 1	< 2	6.39	< 0.3	44	200	83	5.10	17	< 1	0.68	2.83	30	940	1	1.79	106	0.046	< 3
5756471	< 0.3	7.61	< 3	109	< 1	< 2	6.92	< 0.3	58	318	105	4.90	17	< 1	0.59	1.58	19	1040	3	1.76	166	0.021	5
5756472	< 0.3	7.61	4	83	< 1	< 2	7.01	< 0.3	49	218	78	6.49	14	< 1	0.40	2.41	23	1110	< 1	1.35	143	0.023	8
5756473	< 0.3	7.66	< 3	60	< 1	< 2	6.62	< 0.3	52	220	87	6.39	16	< 1	0.26	2.72	19	1040	< 1	1.51	141	0.026	< 3
5756474	< 0.3	8.77	13	119	< 1	< 2	7.38	< 0.3	57	260	104	6.34	14	< 1	0.65	2.37	23	1280	10	1.58	151	0.021	< 3
5756475	< 0.3	7.86	< 3	117	< 1	< 2	6.00	< 0.3	65	298	100	3.93	17	< 1	0.54	1.41	23	770	< 1	2.26	182	0.021	< 3
5756476	< 0.3	7.31	5	95	< 1	< 2	6.80	< 0.3	53	248	100	4.60	15	< 1	0.46	2.25	28	879	3	1.91	171	0.020	< 3
5756477	< 0.3	7.21	< 3	147	< 1	< 2	5.78	< 0.3	53	287	88	4.46	15	< 1	0.62	2.21	28	826	4	2.35	189	0.029	< 3
5756478	< 0.3	7.93	< 3	140	< 1	< 2	6.31	< 0.3	57	246	84	4.43	15	< 1	0.53	1.67	24	883	< 1	2.00	180	0.017	< 3
5756479	< 0.3	7.28	5	99	< 1	< 2	6.70	< 0.3	59	395	93	5.26	15	< 1	0.42	2.23	26	950	3	1.42	181	0.019	< 3
5756480 MR	1.4	7.55	102	152	4	< 2	2.73	1.5	24	59	92	5.92	23	< 1	2.99	2.00	3	519	2	2.91	83	0.094	91
5756481	< 0.3	8.19	< 3	66	< 1	< 2	6.31	< 0.3	59	310	96	4.65	16	< 1	0.28	2.06	25	885	1	1.80	189	0.021	< 3
5756482	< 0.3	6.60	5	70	< 1	< 2	7.17	< 0.3	46	250	73	6.51	12	< 1	0.39	2.70	24	1110	< 1	1.04	141	0.017	< 3
5756483	< 0.3	8.27	< 3	104	< 1	< 2	5.53	< 0.3	58	290	95	4.37	15	< 1	0.45	2.03	22	794	2	1.65	194	0.022	< 3
5756484	< 0.3	7.61	< 3	222	< 1	< 2	6.06	< 0.3	60	258	74	3.63	16	< 1	0.84	1.54	22	759	< 1	1.49	187	0.020	< 3
5756485	< 0.3	7.31	< 3	105	< 1	< 2	6.89	< 0.3	49	286	103	7.63	14	< 1	0.39	2.47	23	1380	1	1.12	127	0.021	< 3
5756486	< 0.3	7.07	11	68	< 1	< 2	6.73	< 0.3	65	261	110	7.41	14	< 1	0.25	2.84	25	1360	7	1.16	103	0.022	< 3
5756487	< 0.3	7.73	9	53	< 1	< 2	6.80	< 0.3	54	245	104	6.22	15	2	0.19	2.02	20	1110	< 1	1.46	140	0.021	< 3
5756488	< 0.3	6.73	6	59	< 1	< 2	6.71	< 0.3	52	380	90	5.60	16	< 1	0.22	2.44	21	1080	5	1.50	144	0.023	< 3
5756489	< 0.3	7.23	< 3	140	< 1	< 2	6.46	< 0.3	59	420	83	5.80	15	< 1	0.66	2.55	33	1000	3	1.23	163	0.019	< 3
5756490	< 0.3	7.50	4	219	< 1	< 2	5.89	< 0.3	66	452	86	5.06	16	< 1	0.82	2.43	33	942	2	1.37	206	0.018	3
5756491	< 0.3	8.33	3	345	< 1	< 2	5.46	< 0.3	64	358	36	4.44	17	< 1	1.13	2.12	41	862	< 1	1.31	214	0.016	< 3
5756492	< 0.3	7.57	< 3	230	< 1	< 2	5.98	< 0.3	67	276	72	4.28	16	< 1	0.93	1.83	28	909	5	2.25	196	0.016	< 3
5756493	< 0.3	6.68	5	114	< 1	< 2	6.42	< 0.3	56	230	87	6.53	12	< 1	0.47	2.43	22	1200	8	1.85	161	0.018	< 3
5756494	< 0.3	8.46	< 3	156	< 1	< 2	5.84	< 0.3	67	179	140	5.49	18	< 1	0.61	2.28	19	1180	2	2.22	158	0.021	< 3
5756495	< 0.3	7.36	< 3	94	< 1	< 2	8.02	< 0.3	52	132	139	6.02	16	< 1	0.42	2.85	18	1380	3	1.59	126	0.019	< 3
5756496	< 0.3	7.85	6	30	< 1	< 2	7.43	< 0.3	48	120	152	5.47	16	< 1	0.12	3.58	20	1410	< 1	1.68	131	0.020	< 3

Results

Activation Laboratories Ltd.

Report: A16-01709

Analyte Symbol	Ag	Al	As	Ba	Be	Bi	Ca	Cd	Co	Cr	Cu	Fe	Ga	Hg	K	Mg	Li	Mn	Mo	Na	Ni	P	Pb
Unit Symbol	ppm	%	ppm	ppm	ppm	ppm	%	ppm	ppm	ppm	ppm	%	ppm	ppm	%	%	ppm	ppm	ppm	%	ppm	%	ppm
Lower Limit	0.3	0.01	3	7	1	2	0.01	0.3	1	1	1	0.01	1	1	0.01	0.01	1	1	1	0.01	1	0.001	3
Method Code	TD-ICP	TD-ICP	TD-ICP	TD-ICP	TD-ICP	TD-ICP	TD-ICP	TD-ICP	TD-ICP	TD-ICP	TD-ICP	TD-ICP	TD-ICP	TD-ICP	TD-ICP	TD-ICP	TD-ICP	TD-ICP	TD-ICP	TD-ICP	TD-ICP	TD-ICP	TD-ICP
5756497	< 0.3	6.90	9	28	< 1	< 2	6.83	< 0.3	49	221	124	5.00	15	< 1	0.07	3.47	23	1220	4	1.39	131	0.021	< 3
5756498	< 0.3	8.97	< 3	56	< 1	< 2	5.89	< 0.3	57	250	115	4.95	19	< 1	0.21	3.24	36	878	< 1	1.36	156	0.020	< 3
5756499	< 0.3	9.42	6	155	< 1	< 2	3.80	2.4	81	269	221	4.18	20	< 1	0.67	2.00	33	455	5	2.15	201	0.022	< 3
5756500 BLC	< 0.3	0.10	< 3	490	< 1	< 2	17.8	< 0.3	< 1	4	1	0.03	1	< 1	0.03	11.9	10	305	< 1	0.03	2	0.003	< 3
5756501	< 0.3	8.42	4	33	< 1	< 2	6.70	1.2	88	156	174	4.46	18	< 1	0.04	2.01	22	665	2	1.98	222	0.023	< 3
5756502	< 0.3	8.44	3	101	< 1	< 2	6.14	< 0.3	62	158	139	3.83	19	< 1	0.42	2.05	29	656	2	1.91	141	0.021	< 3
5756503	< 0.3	8.01	4	97	< 1	< 2	4.97	< 0.3	58	183	174	3.13	18	< 1	0.70	1.75	31	547	< 1	1.80	158	0.022	< 3
5756504	< 0.3	8.45	< 3	148	< 1	< 2	6.55	< 0.3	52	168	114	5.34	17	< 1	0.30	3.14	29	1130	2	1.61	147	0.026	< 3
5756505	< 0.3	7.50	< 3	139	< 1	< 2	7.41	< 0.3	51	160	169	6.84	15	< 1	0.42	3.14	20	1630	6	1.08	121	0.020	< 3
5756506	< 0.3	7.51	4	67	< 1	< 2	8.15	< 0.3	49	131	127	7.63	15	< 1	0.21	3.65	24	1820	3	1.09	127	0.021	< 3
5756507	< 0.3	8.85	< 3	79	< 1	< 2	5.33	< 0.3	55	119	129	4.59	17	< 1	0.36	3.39	31	901	< 1	2.42	144	0.020	< 3
5756508	< 0.3	7.66	5	144	< 1	< 2	4.62	< 0.3	63	310	148	4.29	18	< 1	0.36	1.70	23	1050	4	2.86	153	0.024	< 3
5756509	< 0.3	7.47	< 3	253	< 1	< 2	6.11	< 0.3	49	263	148	8.03	16	< 1	0.42	1.66	23	1660	< 1	1.43	114	0.024	< 3
5756510	0.4	8.62	7	328	< 1	< 2	6.63	< 0.3	63	179	161	4.62	19	< 1	0.68	1.42	24	1270	3	2.16	128	0.030	< 3
5756511	< 0.3	8.30	3	248	< 1	< 2	7.49	< 0.3	51	133	156	5.33	17	< 1	0.48	1.51	22	1420	< 1	1.72	101	0.025	< 3
5756512	< 0.3	7.82	< 3	311	< 1	< 2	7.33	< 0.3	49	154	136	5.99	17	< 1	0.81	1.59	33	1430	< 1	1.62	100	0.023	< 3
5756513	< 0.3	8.73	< 3	209	< 1	< 2	7.47	< 0.3	53	169	148	6.94	19	< 1	0.38	2.17	24	1370	2	1.90	115	0.025	< 3
5756514	< 0.3	8.65	< 3	365	< 1	< 2	8.25	< 0.3	55	160	95	7.00	19	< 1	0.75	2.34	32	1560	2	2.09	110	0.026	< 3
5756515	< 0.3	6.55	< 3	26	< 1	< 2	7.27	< 0.3	52	64	115	11.7	17	< 1	0.04	3.07	19	1770	1	1.16	61	0.035	< 3
5756516	< 0.3	6.74	< 3	16	< 1	< 2	6.96	< 0.3	55	86	187	11.2	17	< 1	0.02	2.96	19	1660	2	1.26	56	0.040	< 3
5756517	< 0.3	7.97	< 3	118	< 1	< 2	6.37	< 0.3	49	145	114	7.01	17	< 1	0.28	2.38	21	1320	< 1	2.58	95	0.022	< 3
5756518	< 0.3	7.59	5	328	< 1	< 2	7.01	< 0.3	52	270	178	6.27	17	< 1	0.94	1.50	31	1150	6	1.82	108	0.024	< 3
5756519	< 0.3	6.74	< 3	34	< 1	< 2	6.91	< 0.3	47	183	177	7.50	14	< 1	0.18	3.84	28	1210	< 1	0.89	124	0.016	< 3
5756520 MR	1.4	7.46	98	158	4	< 2	2.83	1.7	24	54	95	6.07	24	< 1	3.94	2.05	3	541	1	2.98	85	0.095	95
5756521	< 0.3	8.26	3	61	< 1	< 2	6.78	< 0.3	54	219	75	8.36	15	< 1	0.31	3.94	27	1370	7	1.08	155	0.021	< 3
5756522	< 0.3	7.67	< 3	102	< 1	< 2	6.91	< 0.3	46	153	100	7.54	14	< 1	0.49	3.43	33	1380	5	1.23	123	0.021	< 3
5756523	< 0.3	7.90	3	183	< 1	< 2	7.34	< 0.3	37	198	47	6.13	14	< 1	0.72	2.70	52	1490	6	0.95	110	0.019	< 3
5756524	< 0.3	8.07	< 3	120	< 1	< 2	7.20	< 0.3	51	176	187	7.48	16	< 1	0.37	2.66	22	1310	6	1.52	125	0.022	< 3
5756525	< 0.3	8.60	4	215	< 1	< 2	6.41	< 0.3	60	245	146	7.76	18	< 1	0.84	2.51	36	1320	6	1.53	163	0.023	< 3
5756526	< 0.3	6.67	< 3	171	< 1	< 2	6.38	< 0.3	53	308	155	6.73	15	< 1	0.53	2.26	22	1270	7	1.52	140	0.020	< 3
5756527	< 0.3	6.88	< 3	82	< 1	< 2	6.93	< 0.3	46	246	131	7.87	14	< 1	0.33	3.56	22	1380	3	1.09	121	0.019	< 3
5756528	< 0.3	7.51	< 3	122	< 1	< 2	6.62	< 0.3	48	236	115	7.85	14	< 1	0.31	3.17	28	1340	< 1	1.11	123	0.018	< 3
5756529	< 0.3	8.34	4	164	< 1	< 2	6.40	< 0.3	41	253	99	6.49	17	< 1	0.44	2.67	25	1270	< 1	1.40	103	0.016	4
5756530	< 0.3	8.52	< 3	209	< 1	< 2	6.76	< 0.3	48	227	99	6.57	14	< 1	0.51	2.65	27	1260	< 1	1.46	107	0.019	4
5756531	< 0.3	8.09	3	160	< 1	< 2	6.16	< 0.3	45	238	85	6.77	15	< 1	0.51	2.60	29	1180	1	1.36	104	0.019	< 3
5756532	< 0.3	8.40	< 3	302	< 1	< 2	6.27	< 0.3	35	230	56	5.22	16	< 1	0.86	2.76	25	1130	2	1.82	113	0.042	< 3
5756533	< 0.3	7.05	< 3	165	< 1	< 2	6.99	< 0.3	43	236	80	6.93	15	< 1	0.43	3.26	26	1500	6	1.09	116	0.025	< 3
5756534	< 0.3	7.11	4	365	< 1	< 2	4.00	< 0.3	32	157	56	4.81	19	< 1	0.97	1.07	14	1120	10	1.36	52	0.061	< 3
5756535	0.6	7.57	11	404	1	< 2	2.43	< 0.3	11	117	52	2.96	22	< 1	1.50	0.39	31	852	16	1.43	14	0.071	4
5756536	< 0.3	7.99	5	364	< 1	< 2	2.06	< 0.3	11	88	66	2.06	21	< 1	1.18	0.38	45	458	11	1.46	12	0.052	< 3
5756537	0.5	6.86	< 3	346	< 1	< 2	1.79	< 0.3	7	115	21	2.14	20	< 1	1.17	0.45	39	523	13	1.39	12	0.043	29
5756538	0.4	7.23	< 3	346	< 1	< 2	2.77	< 0.3	8	90	28	2.74	18	< 1	1.02	0.71	24	593	11	1.30	12	0.043	16
5756539	< 0.3	7.63	< 3	353	< 1	< 2	3.93	< 0.3	19	126	22	3.36	18	< 1	1.35	1.89	21	651	10	1.10	48	0.044	< 3
5756540 BLC	< 0.3	0.11	< 3	64	< 1	< 2	18.0	< 0.3	< 1	6	< 1	0.06	2	< 1	0.03	11.8	12	310	1	0.03	2	0.003	< 3
5756541	< 0.3	7.41	< 3	586	< 1	< 2	3.07	< 0.3	11	95	15	2.43	19	< 1	2.26	1.09	24	432	10	0.91	18	0.039	< 3
5756542	< 0.3	7.31	< 3	414	< 1	< 2	4.99	< 0.3	24	130	29	3.90	17	< 1	1.27	2.19	22	758	6	1.77	59	0.033	< 3

Analyte Symbol	Sb	S	Sc	Sr	Te	Ti	Tl	U	V	W	Y	Zn	Zr
Unit Symbol	ppm	%	ppm	ppm	ppm	%	ppm	ppm	ppm	ppm	ppm	ppm	ppm
Lower Limit	5	0.01	4	1	2	0.01	5	10	2	5	1	1	5
Method Code	TD-ICP	TD-ICP	TD-ICP	TD-ICP	TD-ICP	TD-ICP	TD-ICP	TD-ICP	TD-ICP	TD-ICP	TD-ICP	TD-ICP	TD-ICP
5756401 36183	< 5	0.17	35	77	< 2	0.17	< 5	10	145	< 5	22	83	9
5756402	< 5	0.41	37	53	2	0.24	< 5	< 10	138	< 5	22	121	5
5756403	< 5	0.12	40	79	11	0.21	< 5	< 10	163	< 5	22	92	7
5756404	< 5	0.19	218	102	< 2	0.22	< 5	< 10	179	< 5	25	78	11
5756405	< 5	0.16	44	102	< 2	0.29	< 5	< 10	196	< 5	22	78	10
5756406	< 5	0.19	39	87	< 2	0.37	< 5	< 10	202	< 5	25	66	11
5756407	< 5	0.29	38	99	7	0.41	< 5	10	240	< 5	17	96	5
5756408	< 5	0.59	34	52	< 2	0.30	< 5	10	179	< 5	14	61	14
5756409	< 5	0.34	38	135	4	0.43	< 5	< 10	233	< 5	16	67	13
5756410	< 5	0.11	28	74	< 2	0.59	< 5	< 10	280	< 5	16	49	14
5756411	< 5	0.13	39	83	< 2	0.42	< 5	< 10	219	< 5	20	57	22
5756412	< 5	0.04	37	90	2	0.36	< 5	10	192	< 5	20	58	21
5756413	< 5	0.04	32	99	3	0.12	< 5	10	85	< 5	17	63	5
5756414	< 5	0.37	35	55	< 2	0.25	< 5	< 10	205	< 5	19	74	< 5
5756415	< 5	0.08	34	77	< 2	0.14	< 5	< 10	88	< 5	20	70	< 5
5756416	< 5	0.08	39	101	< 2	0.23	< 5	< 10	132	< 5	22	76	8
5756417	< 5	0.07	36	86	< 2	0.20	< 5	< 10	118	< 5	20	85	10
5756418	< 5	0.11	41	92	10	0.18	< 5	< 10	122	< 5	22	89	8
5756419	< 5	0.11	39	86	11	0.49	< 5	< 10	236	< 5	22	90	32
5756420 BLC	< 5	< 0.01	< 4	147	< 2	< 0.01	< 5	10	< 2	< 5	< 1	10	< 5
5756421	< 5	0.09	29	94	13	0.55	< 5	< 10	270	10	17	86	11
5756422	< 5	0.10	37	104	9	0.37	< 5	10	203	< 5	20	96	22
5756423	< 5	0.10	35	106	< 2	0.20	< 5	< 10	129	< 5	20	97	9
5756424	< 5	0.11	33	131	< 2	0.14	< 5	< 10	101	< 5	18	87	11
5756425	< 5	0.16	35	103	< 2	0.15	< 5	10	117	< 5	21	87	10
5756426	< 5	0.31	35	123	< 2	0.20	< 5	10	181	< 5	19	46	21
5756427	< 5	0.24	36	116	< 2	0.16	< 5	10	157	< 5	21	52	24
5756428	< 5	0.10	39	78	15	0.28	< 5	< 10	169	< 5	30	90	13
5756429	< 5	0.13	53	121	< 2	0.13	< 5	< 10	122	< 5	82	64	10
5756430	< 5	0.15	36	124	< 2	0.55	< 5	10	265	7	22	67	26
5756431	< 5	0.23	30	71	< 2	0.25	< 5	< 10	175	< 5	7	85	31
5756432	< 5	0.14	28	65	3	0.14	< 5	< 10	153	< 5	3	113	37
5756433	< 5	0.41	29	92	< 2	0.16	< 5	< 10	176	7	4	294	38
5756434	< 5	0.02	26	46	< 2	0.14	< 5	< 10	142	< 5	5	76	37
5756435	< 5	0.11	35	39	< 2	0.43	< 5	< 10	218	< 5	12	196	41
5756436	< 5	0.18	34	90	3	0.16	< 5	< 10	144	< 5	18	92	< 5
5756437	< 5	0.29	36	82	< 2	0.40	< 5	10	213	< 5	16	66	9
5756438	< 5	0.18	37	77	7	0.40	< 5	10	217	< 5	15	87	8
5756439	< 5	0.19	36	64	8	0.29	< 5	10	169	< 5	17	85	6
5756440 MR	< 5	2.51	6	297	19	0.63	< 5	10	80	< 5	9	170	84
5756441	< 5	0.12	39	66	< 2	0.34	< 5	10	199	< 5	18	76	21
5756442	< 5	0.09	35	69	13	0.20	< 5	< 10	121	< 5	16	81	< 5
5756443	< 5	0.45	37	116	< 2	0.30	< 5	< 10	152	< 5	14	59	7
5756444	< 5	0.20	37	88	< 2	0.31	< 5	10	180	6	11	209	19
5756445	< 5	0.11	33	100	5	0.15	< 5	< 10	102	< 5	13	91	13
5756446	< 5	1.35	35	114	4	0.46	< 5	< 10	227	6	11	355	41
5756447	< 5	0.51	41	119	12	0.27	< 5	< 10	146	< 5	17	91	9
5756448	< 5	0.26	41	114	8	0.15	< 5	< 10	152	< 5	19	92	7

Analyte Symbol	Sb	S	Sc	Sr	Te	Ti	Tl	U	V	W	Y	Zn	Zr
Unit Symbol	ppm	%	ppm	ppm	ppm	%	ppm	ppm	ppm	ppm	ppm	ppm	ppm
Lower Limit	5	0.01	4	1	2	0.01	5	10	2	5	1	1	5
Method Code	TD-ICP	TD-ICP	TD-ICP	TD-ICP	TD-ICP	TD-ICP	TD-ICP	TD-ICP	TD-ICP	TD-ICP	TD-ICP	TD-ICP	TD-ICP
5756449	< 5	0.17	43	98	4	0.54	< 5	10	269	6	20	74	16
5756450	< 5	0.21	48	102	6	0.24	< 5	10	199	< 5	21	91	10
5756451	< 5	0.07	46	96	< 2	0.16	< 5	< 10	145	< 5	21	89	11
5756452	< 5	0.25	45	76	2	0.14	< 5	10	151	< 5	20	111	< 5
5756453	< 5	0.23	42	100	9	0.13	< 5	< 10	141	< 5	19	109	7
5756454	< 5	0.61	36	91	< 2	0.31	< 5	< 10	153	< 5	17	98	10
5756455	< 5	0.54	40	106	< 2	0.31	< 5	< 10	151	< 5	19	97	7
5756456	< 5	0.29	38	89	< 2	0.20	< 5	< 10	167	< 5	18	82	8
5756457	< 5	1.97	33	86	7	0.57	< 5	10	258	< 5	15	145	20
5756458	8	0.77	38	95	9	0.54	< 5	< 10	247	< 5	17	118	16
5756459	< 5	0.23	45	100	5	0.16	< 5	10	142	< 5	19	90	8
5756460 BLC	< 5	0.01	< 4	113	< 2	< 0.01	< 5	10	< 2	< 5	< 1	25	< 5
5756461	< 5	0.26	48	92	5	0.30	< 5	10	222	< 5	18	128	18
5756462	< 5	0.92	47	78	< 2	0.41	< 5	10	273	8	18	258	34
5756463	< 5	5.05	32	57	10	0.37	< 5	10	200	17	14	2290	74
5756464	< 5	5.85	35	70	4	0.38	< 5	10	224	14	9	793	65
5756465	< 5	3.87	36	55	< 2	0.22	< 5	< 10	242	14	6	977	76
5756466	< 5	3.45	19	29	9	0.11	< 5	< 10	40	< 5	21	180	147
5756467	< 5	4.23	21	60	< 2	0.18	< 5	< 10	74	< 5	16	292	136
5756468	< 5	0.25	34	98	< 2	0.29	< 5	< 10	185	< 5	9	95	37
5756469	< 5	0.09	41	105	3	0.32	< 5	< 10	191	< 5	10	87	39
5756470	< 5	0.15	30	148	3	0.27	< 5	< 10	163	< 5	10	86	38
5756471	< 5	0.58	37	104	6	0.40	< 5	< 10	214	< 5	13	85	37
5756472	< 5	0.15	40	89	20	0.13	< 5	10	118	< 5	17	144	15
5756473	< 5	0.09	36	109	< 2	0.17	< 5	< 10	118	< 5	16	67	18
5756474	< 5	0.28	42	111	< 2	0.56	< 5	< 10	269	6	15	68	73
5756475	< 5	0.20	36	133	< 2	0.17	< 5	< 10	140	< 5	13	54	9
5756476	< 5	0.14	33	119	3	0.31	< 5	< 10	175	6	12	73	12
5756477	< 5	0.13	31	130	< 2	0.31	< 5	10	173	< 5	12	70	26
5756478	< 5	0.16	38	166	< 2	0.10	< 5	< 10	102	< 5	14	63	5
5756479	< 5	0.13	36	137	< 2	0.19	< 5	< 10	144	< 5	13	74	17
5756480 MR	< 5	2.49	7	317	12	0.64	< 5	10	81	< 5	9	156	82
5756481	< 5	0.09	39	162	< 2	0.17	< 5	< 10	121	< 5	15	68	14
5756482	< 5	0.20	35	112	< 2	0.18	< 5	10	131	< 5	14	63	7
5756483	< 5	0.05	30	165	< 2	0.19	< 5	< 10	104	< 5	13	57	15
5756484	< 5	0.14	34	185	< 2	0.10	< 5	< 10	92	< 5	12	56	11
5756485	< 5	0.16	40	104	< 2	0.29	< 5	< 10	160	< 5	18	82	11
5756486	< 5	0.28	40	90	< 2	0.37	< 5	10	202	< 5	17	69	24
5756487	< 5	0.20	41	101	< 2	0.13	< 5	< 10	133	< 5	16	76	19
5756488	< 5	0.13	37	115	< 2	0.40	< 5	10	212	6	11	60	36
5756489	< 5	0.43	37	122	< 2	0.40	< 5	< 10	223	< 5	10	58	40
5756490	< 5	0.45	38	144	< 2	0.39	< 5	10	234	< 5	7	70	44
5756491	< 5	0.33	41	166	< 2	0.23	< 5	< 10	195	< 5	6	74	39
5756492	< 5	0.52	32	145	< 2	0.33	< 5	< 10	174	< 5	7	71	37
5756493	< 5	1.62	30	122	12	0.38	< 5	< 10	176	< 5	8	118	49
5756494	< 5	0.81	35	156	< 2	0.46	< 5	< 10	218	< 5	7	68	51
5756495	< 5	0.63	33	114	9	0.42	< 5	< 10	220	< 5	10	65	39
5756496	< 5	0.16	36	88	< 2	0.29	< 5	< 10	170	< 5	12	68	17

Results

Activation Laboratories Ltd.

Report: A16-01709

Analyte Symbol	Sb	S	Sc	Sr	Te	Ti	Tl	U	V	W	Y	Zn	Zr
Unit Symbol	ppm	%	ppm	ppm	ppm	%	ppm	ppm	ppm	ppm	ppm	ppm	ppm
Lower Limit	5	0.01	4	1	2	0.01	5	10	2	5	1	1	5
Method Code	TD-ICP	TD-ICP	TD-ICP	TD-ICP	TD-ICP	TD-ICP	TD-ICP	TD-ICP	TD-ICP	TD-ICP	TD-ICP	TD-ICP	TD-ICP
5756497	< 5	0.03	31	83	< 2	0.45	< 5	< 10	228	6	8	66	34
5756498	< 5	0.18	36	93	< 2	0.21	< 5	< 10	172	< 5	10	232	33
5756499	< 5	0.82	30	122	3	0.59	< 5	< 10	289	14	5	1120	54
5756500 BLC	< 5	0.03	< 4	184	< 2	< 0.01	< 5	10	< 2	< 5	< 1	29	< 5
5756501	< 5	1.13	33	110	< 2	0.48	< 5	< 10	223	12	9	827	42
5756502	< 5	0.93	31	108	7	0.46	< 5	< 10	209	< 5	8	134	40
5756503	< 5	0.49	27	109	3	0.33	< 5	< 10	181	< 5	7	128	41
5756504	< 5	0.16	37	114	7	0.43	< 5	< 10	240	< 5	12	161	39
5756505	< 5	0.29	34	90	8	0.43	< 5	10	230	< 5	15	144	38
5756506	< 5	0.19	37	82	5	0.44	< 5	10	225	< 5	15	125	30
5756507	< 5	0.07	36	90	< 2	0.16	< 5	< 10	96	< 5	9	84	22
5756508	< 5	0.35	32	116	7	0.55	< 5	10	271	< 5	10	129	52
5756509	< 5	0.34	51	111	5	0.36	< 5	< 10	251	< 5	19	83	35
5756510	< 5	0.26	186	130	< 2	0.15	< 5	< 10	164	< 5	15	60	31
5756511	< 5	0.17	65	118	< 2	0.13	< 5	< 10	127	< 5	15	59	22
5756512	< 5	0.19	35	119	< 2	0.17	< 5	10	136	< 5	14	59	25
5756513	< 5	0.23	38	125	4	0.45	< 5	< 10	258	< 5	15	77	34
5756514	< 5	0.11	40	129	2	0.52	< 5	< 10	292	< 5	14	83	36
5756515	< 5	0.51	45	54	4	0.74	< 5	10	337	< 5	23	121	34
5756516	< 5	0.50	43	59	4	0.66	< 5	10	265	< 5	25	112	34
5756517	< 5	0.13	45	92	3	0.19	< 5	< 10	129	< 5	16	76	14
5756518	< 5	0.73	30	130	< 2	0.46	< 5	10	238	< 5	13	54	37
5756519	< 5	0.05	34	112	< 2	0.28	< 5	< 10	176	< 5	13	120	28
5756520 MR	< 5	2.55	7	319	5	0.64	< 5	10	83	< 5	9	163	83
5756521	< 5	0.16	40	127	8	0.46	< 5	10	237	6	13	94	37
5756522	< 5	0.06	36	122	< 2	0.40	< 5	< 10	213	< 5	14	77	28
5756523	< 5	0.12	35	158	< 2	0.37	< 5	< 10	181	< 5	12	53	26
5756524	6	0.24	34	140	< 2	0.46	< 5	< 10	240	< 5	16	86	25
5756525	< 5	1.00	35	159	< 2	0.48	< 5	< 10	259	< 5	13	70	36
5756526	< 5	0.69	28	132	2	0.45	< 5	< 10	232	5	12	71	31
5756527	< 5	0.34	35	113	5	0.39	< 5	10	210	< 5	14	78	26
5756528	< 5	0.14	36	134	3	0.19	< 5	< 10	131	< 5	14	85	16
5756529	< 5	0.06	37	171	< 2	0.24	< 5	< 10	128	< 5	13	68	21
5756530	< 5	0.07	38	171	< 2	0.23	< 5	< 10	123	< 5	13	62	16
5756531	< 5	0.09	39	166	< 2	0.26	< 5	< 10	145	< 5	14	64	19
5756532	< 5	0.09	29	210	< 2	0.31	< 5	10	159	< 5	11	62	50
5756533	< 5	0.07	34	194	3	0.40	< 5	< 10	179	< 5	12	90	41
5756534	< 5	0.63	12	271	2	0.34	< 5	< 10	86	< 5	12	77	131
5756535	< 5	0.48	8	317	< 2	0.35	< 5	< 10	55	< 5	11	58	171
5756536	5	0.33	6	268	< 2	0.29	< 5	< 10	55	< 5	9	35	159
5756537	< 5	0.14	6	256	< 2	0.27	< 5	< 10	47	< 5	7	62	165
5756538	< 5	0.23	7	244	< 2	0.25	< 5	< 10	53	< 5	10	68	152
5756539	< 5	0.24	12	226	< 2	0.27	< 5	< 10	76	< 5	10	40	124
5756540 BLC	< 5	0.01	< 4	100	< 2	< 0.01	< 5	10	< 2	< 5	< 1	13	< 5
5756541	< 5	0.06	9	151	< 2	0.26	< 5	< 10	73	< 5	11	40	142
5756542	< 5	0.12	16	150	6	0.26	< 5	10	100	< 5	11	54	104

Analyte Symbol	Ag	Al	As	Ba	Be	Bi	Ca	Cd	Co	Cr	Cu	Fe	Ga	Hg	K	Mg	Li	Mn	Mo	Na	Ni	P	Pb
Unit Symbol	ppm	%	ppm	ppm	ppm	ppm	%	ppm	ppm	ppm	ppm	%	ppm	ppm	%	%	ppm	ppm	ppm	%	ppm	%	ppm
Lower Limit	0.3	0.01	3	7	1	2	0.01	0.3	1	1	1	0.01	1	1	0.01	0.01	1	1	1	0.01	1	0.001	3
Method Code	TD-ICP	TD-ICP	TD-ICP	TD-ICP	TD-ICP	TD-ICP	TD-ICP	TD-ICP	TD-ICP	TD-ICP	TD-ICP	TD-ICP	TD-ICP	TD-ICP	TD-ICP	TD-ICP	TD-ICP	TD-ICP	TD-ICP	TD-ICP	TD-ICP	TD-ICP	TD-ICP
GXR-4 Meas	3.8	6.23	107	142	2	20	1.06	0.3	15	35	6610	3.29	16	< 1	3.68	1.69	11	165	321	0.50	42	0.133	46
GXR-4 Cert	4.0	7.20	98.0	1640	1.90	19.0	1.01	0.860	14.6	64.0	6520	3.09	20.0	0.110	4.01	1.66	11.1	155	310	0.564	42.0	0.120	52.0
GXR-4 Meas	4.1	6.06	104	136	2	20	1.04	< 0.3	15	39	6460	3.21	18	< 1	3.93	1.66	11	159	312	0.50	39	0.128	46
GXR-4 Cert	4.0	7.20	98.0	1640	1.90	19.0	1.01	0.860	14.6	64.0	6520	3.09	20.0	0.110	4.01	1.66	11.1	155	310	0.564	42.0	0.120	52.0
SDC-1 Meas		7.84	< 3	630	3		1.08		19	44	32	4.88	23	< 1	2.34	0.99	35	854		1.48	34	0.053	23
SDC-1 Cert		8.34	0.220	630	3.00		1.00		18.0	64.00	30.000	4.82	21.00	0.20	2.72	1.02	34.00	880.00		1.52	38.0	0.0690	25.00
GXR-6 Meas	0.4	13.5	268	> 1000	1	< 2	0.21	< 0.3	14	53	70	5.75	33	< 1	1.74	0.65	38	1060	2	0.10	25	0.036	90
GXR-6 Cert	1.30	17.7	330	1300	1.40	0.290	0.180	1.00	13.8	96.0	66.0	5.58	35.0	0.0680	1.87	0.609	32.0	1010	2.40	0.104	27.0	0.0350	101
GXR-6 Meas	0.4	13.2	273	> 1000	1	< 2	0.21	0.3	14	55	65	5.67	32	< 1	1.73	0.65	38	1040	2	0.10	24	0.037	89
GXR-6 Cert	1.30	17.7	330	1300	1.40	0.290	0.180	1.00	13.8	96.0	66.0	5.58	35.0	0.0680	1.87	0.609	32.0	1010	2.40	0.104	27.0	0.0350	101
DNC-1a Meas				96					56	114	95		14				4				237		< 3
DNC-1a Cert				118					57.0	270	100.00		15				5.20				247		6.3
SBC-1 Meas			22	763	3	< 2		0.4	24	78	36		28				153		2		86		29
SBC-1 Cert			25.7	788.0	3.20	0.70		0.40	22.7	109	31.0000		27.0				163.0		2.40		82.8		35.0
SBC-1 Meas			27	778	3	< 2		0.3	24	85	31		27				153		2		87		30
SBC-1 Cert			25.7	788.0	3.20	0.70		0.40	22.7	109	31.0000		27.0				163.0		2.40		82.8		35.0
SdAR-M2 (U.S.G.S.) Meas				> 1000	8	< 2		4.8	14	36	245		17	2			18		11		55		860
SdAR-M2 (U.S.G.S.) Cert				990	6.6	1.05		5.1	12.4	49.6	236.0000		17.6	1.44			17.9		13.3		48.8		808
SdAR-M2 (U.S.G.S.) Meas				968	7	< 2		4.6	14	36	231		16	< 1			17		10		51		822
SdAR-M2 (U.S.G.S.) Cert				990	6.6	1.05		5.1	12.4	49.6	236.0000		17.6	1.44			17.9		13.3		48.8		808
5756426 Orig	< 0.3	7.18	4	444	< 1	< 2	3.38	< 0.3	57	222	182	5.08	19	2	0.72	1.21	10	878	< 1	2.82	124	0.030	< 3
5756426 Dup	< 0.3	7.17	< 3	442	< 1	< 2	3.38	< 0.3	57	217	186	5.06	19	< 1	0.71	1.21	10	873	< 1	2.82	122	0.030	< 3
5756427 Orig	< 0.3	7.60	< 3	353	< 1	< 2	3.57	0.3	52	190	141	5.24	17	1	0.66	1.51	11	923	< 1	2.86	112	0.031	< 3
5756427 Dup	< 0.3	7.46	3	346	< 1	< 2	3.52	< 0.3	51	220	139	5.20	18	< 1	0.64	1.49	11	886	< 1	2.82	115	0.032	< 3
5756466 Orig	0.4	5.42	5	56	< 1	< 2	2.72	< 0.3	23	107	171	11.0	14	< 1	0.34	1.88	19	1810	6	0.54	49	0.016	8
5756466 Dup	0.5	5.37	4	55	< 1	< 2	2.67	< 0.3	22	91	168	10.6	13	< 1	0.34	1.83	18	1770	5	0.53	48	0.016	6
5756468 Orig	< 0.3	7.71	4	109	< 1	< 2	5.71	< 0.3	57	311	87	4.20	18	< 1	0.61	1.42	19	976	< 1	1.94	158	0.020	4
5756468 Dup	< 0.3	6.46	< 3	103	< 1	< 2	5.29	< 0.3	55	477	85	3.96	15	< 1	0.57	1.33	18	944	6	1.87	153	0.022	4
5756496 Orig	< 0.3	7.79	8	30	< 1	< 2	7.37	< 0.3	48	121	152	5.44	15	< 1	0.12	3.56	20	1400	4	1.67	131	0.022	< 3
5756496 Dup	< 0.3	7.90	5	30	< 1	< 2	7.48	< 0.3	48	119	151	5.51	16	< 1	0.12	3.60	20	1430	< 1	1.70	132	0.018	< 3
5756509 Orig	< 0.3	7.42	< 3	253	< 1	< 2	6.07	< 0.3	49	261	148	8.02	16	< 1	0.42	1.66	23	1660	< 1	1.42	113	0.023	< 3
5756509 Dup	< 0.3	7.51	< 3	253	< 1	< 2	6.14	< 0.3	49	264	149	8.04	16	1	0.42	1.67	23	1660	< 1	1.43	114	0.024	< 3
5756519 Orig	< 0.3	6.63	10	34	< 1	< 2	6.80	< 0.3	46	198	174	7.37	14	< 1	0.18	3.77	27	1190	< 1	0.87	122	0.016	< 3
5756519 Dup	< 0.3	6.85	< 3	34	< 1	< 2	7.02	< 0.3	48	169	180	7.64	14	< 1	0.18	3.90	28	1230	< 1	0.91	126	0.016	< 3
5756537 Orig	0.6	5.86	4	334	< 1	< 2	1.64	< 0.3	7	143	20	2.08	19	< 1	1.13	0.42	39	523	14	1.37	12	0.044	28
5756537 Dup	0.4	7.86	< 3	357	< 1	< 2	1.93	< 0.3	7	86	21	2.19	20	< 1	1.20	0.49	40	524	12	1.40	13	0.042	31
Method Blank	< 0.3	< 0.01	< 3	< 7	< 1	< 2	< 0.01	< 0.3	< 1		1	< 0.01	< 1	< 1	< 0.01	< 0.01	< 1		< 1	< 0.01	< 1	< 0.001	< 3
Method Blank	< 0.3	< 0.01	< 3	< 7	< 1	< 2	< 0.01	< 0.3	< 1		1	< 0.01	< 1	< 1	< 0.01	< 0.01	< 1		< 1	< 0.01	< 1	< 0.001	< 3
Method Blank	< 0.3	< 0.01	< 3	< 7	< 1	< 2	< 0.01	< 0.3	< 1		< 1	< 0.01	< 1	< 1	< 0.01	< 0.01	< 1		< 1	< 0.01	< 1	< 0.001	< 3
Method Blank	< 0.3	0.04	< 3	< 7	< 1	< 2	< 0.01	< 0.3	< 1		< 1	< 0.01	< 1	< 1	< 0.01	< 0.01	< 1		< 1	< 0.01	< 1	< 0.001	< 3
Method Blank	< 0.3	< 0.01	< 3	< 7	< 1	< 2	< 0.01	< 0.3	< 1		4	< 0.01	< 1	< 1	< 0.01	< 0.01	< 1		< 1	< 0.01	< 1	< 0.001	< 3
Method Blank	< 0.3	< 0.01	< 3	< 7	< 1	< 2	< 0.01	< 0.3	< 1		3	< 0.01	< 1	< 1	< 0.01	< 0.01	< 1		< 1	< 0.01	< 1	< 0.001	< 3
Method Blank	< 0.3	< 0.01	< 3	< 7	< 1	< 2	< 0.01	< 0.3	< 1		2	< 0.01	< 1	< 1	< 0.01	< 0.01	< 1		< 1	< 0.01	< 1	< 0.001	< 3
Method Blank	< 0.3	< 0.01	< 3	< 7	< 1	< 2	< 0.01	< 0.3	< 1		3	< 0.01	< 1	< 1	< 0.01	< 0.01	< 1		< 1	< 0.01	< 1	< 0.001	< 3

Analyte Symbol	Sb	S	Sc	Sr	Te	Ti	Tl	U	V	W	Y	Zn	Zr
Unit Symbol	ppm	%	ppm	ppm	ppm	%	ppm	ppm	ppm	ppm	ppm	ppm	ppm
Lower Limit	5	0.01	4	1	2	0.01	5	10	2	5	1	1	5
Method Code	TD-ICP	TD-ICP	TD-ICP	TD-ICP	TD-ICP	TD-ICP	TD-ICP	TD-ICP	TD-ICP	TD-ICP	TD-ICP	TD-ICP	TD-ICP
GXR-4 Meas	5	1.81	8	218	4	0.29	< 5	< 10	89	38	17	76	39
GXR-4 Cert	4.80	1.77	7.70	221	0.970	0.29	3.20	6.20	87.0	30.8	14.0	73.0	186
GXR-4 Meas	< 5	1.77	8	215	4	0.29	< 5	< 10	89	34	17	73	38
GXR-4 Cert	4.80	1.77	7.70	221	0.970	0.29	3.20	6.20	87.0	30.8	14.0	73.0	186
SDC-1 Meas	< 5		16	170		0.12	< 5	< 10	40	< 5		100	34
SDC-1 Cert	0.54		17.00	180.00		0.606	0.70	3.10	102.00	0.80		103.00	290.00
GXR-6 Meas	< 5	0.02	27	45	6		< 5	< 10	155	< 5	14	127	81
GXR-6 Cert	3.60	0.0160	27.6	35.0	0.0180		2.20	1.54	186	1.90	14.0	118	110
GXR-6 Meas	< 5	0.02	26	44	15		< 5	< 10	163	< 5	13	126	83
GXR-6 Cert	3.60	0.0160	27.6	35.0	0.0180		2.20	1.54	186	1.90	14.0	118	110
DNC-1a Meas	< 5		31	126		0.28			140		18	64	37
DNC-1a Cert	0.96		31	144.0		0.29			148.0000		18.0	70.0	38.0
SBC-1 Meas	< 5		22	180		0.54	< 5	< 10	227	< 5	38	181	117
SBC-1 Cert	1.01		20.0	178.0		0.51	0.89	5.76	220.0	1.60	36.5	186.0	134.0
SBC-1 Meas	< 5		22	181		0.55	< 5	< 10	229	< 5	37	181	118
SBC-1 Cert	1.01		20.0	178.0		0.51	0.89	5.76	220.0	1.60	36.5	186.0	134.0
SdAR-M2 (U.S.G.S.) Meas			4	146				< 10	27	11	31	819	115
SdAR-M2 (U.S.G.S.) Cert			4.1	144				2.53	25.2	2.8	32.7	760	259
SdAR-M2 (U.S.G.S.) Meas			4	142				< 10	24	10	31	789	108
SdAR-M2 (U.S.G.S.) Cert			4.1	144				2.53	25.2	2.8	32.7	760	259
5756426 Orig	< 5	0.31	36	123	< 2	0.20	< 5	10	185	< 5	19	47	21
5756426 Dup	< 5	0.31	35	122	< 2	0.20	< 5	10	178	< 5	20	45	21
5756427 Orig	< 5	0.24	36	117	< 2	0.15	< 5	10	152	< 5	20	54	21
5756427 Dup	< 5	0.24	36	114	< 2	0.18	< 5	10	162	< 5	22	50	28
5756466 Orig	< 5	3.50	19	29	2	0.11	< 5	< 10	41	< 5	21	182	150
5756466 Dup	< 5	3.39	18	29	16	0.11	< 5	< 10	40	< 5	21	178	144
5756468 Orig	< 5	0.25	37	105	< 2	0.15	< 5	< 10	134	< 5	10	96	29
5756468 Dup	< 5	0.24	31	90	12	0.44	< 5	< 10	237	6	8	94	45
5756496 Orig	< 5	0.16	36	89	< 2	0.43	< 5	< 10	221	< 5	12	68	22
5756496 Dup	< 5	0.15	36	88	< 2	0.15	< 5	< 10	119	< 5	12	69	12
5756509 Orig	< 5	0.34	51	112	5	0.38	< 5	< 10	261	< 5	19	83	37
5756509 Dup	< 5	0.34	50	111	6	0.34	< 5	< 10	242	< 5	19	83	34
5756519 Orig	< 5	0.05	34	110	< 2	0.28	< 5	< 10	175	< 5	13	118	28
5756519 Dup	< 5	0.04	35	114	< 2	0.28	< 5	10	178	< 5	13	123	29
5756537 Orig	< 5	0.13	5	235	< 2	0.26	< 5	< 10	47	< 5	6	62	171
5756537 Dup	< 5	0.14	6	276	< 2	0.27	< 5	< 10	48	< 5	9	63	160
Method Blank	< 5	< 0.01	< 4	< 1	< 2	< 0.01	< 5	< 10	< 2	< 5	< 1	< 1	< 5
Method Blank	< 5	< 0.01	< 4	< 1	< 2	< 0.01	< 5	< 10	< 2	< 5	< 1	< 1	< 5
Method Blank	< 5	< 0.01	< 4	< 1	< 2	< 0.01	< 5	< 10	< 2	< 5	< 1	< 1	< 5
Method Blank	< 5	< 0.01	< 4	< 1	< 2	< 0.01	< 5	< 10	< 2	< 5	< 1	< 1	< 5
Method Blank	< 5	< 0.01	< 4	< 1	< 2	< 0.01	< 5	< 10	< 2	< 5	< 1	< 1	< 5
Method Blank	< 5	0.02	< 4	< 1	< 2	< 0.01	< 5	< 10	< 2	< 5	< 1	< 1	< 5
Method Blank	< 5	< 0.01	< 4	< 1	< 2	< 0.01	< 5	< 10	< 2	< 5	< 1	< 1	< 5
Method Blank	< 5	< 0.01	< 4	< 1	< 2	< 0.01	< 5	< 10	< 2	< 5	< 1	< 1	< 5



TECHNI-LAB

pyroanalyse
géochimie
environnement

Client : Monsieur Mathieu Guay

Adventure Gold
15, Gamble Est, Suite 203
Rouyn-Noranda (Québec)
J9X 3B6

Date d'émission: 4 mars 2016
Date de réception: 24 févr. 2016
Date d'analyses: 2 mars 2016
Projet: MM
Certificat: 36184

CERTIFICAT D'ANALYSE

267 échantillons de roches ont été reçus pour analyses.

Notes :

Ce certificat remplace et annule tous certificats antérieurs, le cas échéant.

® Ce document est pour l'usage exclusif du client et ne peut être reproduit, sinon en entier, sans l'autorisation écrite de Techni-Lab S. G. B. Abitibi inc. Si vous avez reçu ce certificat par erreur, soyez avisé que tout usage, reproduction ou distribution de celui-ci est strictement interdit. Les échantillons seront conservés pendant 30 jours à partir de la date du certificat à moins d'avis écrit du client.

® Les résultats d'essai ne se rapportent qu'aux objets soumis à l'essai tels qu'ils ont été reçus par le laboratoire.



Les résultats des échantillons sont vérifiés et approuvés par :

Vanessa Perreault
Vanessa PERREAULT, chimiste 2015-121





TECHNI-LAB

pyroanalyse
géochimie
environnement

CERTIFICAT D'ANALYSE

À l'attention de Monsieur Mathieu Guay

Client Adventure Gold
15, Gamble Est, Suite 203
Rouyn-Noranda (Québec)
J9X 3B6
Tél.: 819 797-9770
Télec.: 819 797-9740

Date d'émission: 4 mars 2016
Date de réception : 24 févr. 2016
Date d'analyses : 2 mars 2016
Projet : MM
Certificat : 36184

Échantillon #	Au g/t AA	Au g/t >3.0 g/t Gravimétrie
------------------	-----------------	--------------------------------------

Méthode utilisée:	TMT-G5B	TMT-G5C
-------------------	---------	---------

E 6573198	0.01
E 6573199	<0.01
E 6573200	1.07
E 6573201	<0.01
E 6573202	<0.01
E 6573203	0.01
E 6573204	0.12
E 6573205	0.02
E 6573206	<0.01
E 6573207	0.02
E 6573208	0.03
E 6573209	0.12
E 6573210	0.02
E 6573211	0.01
E 6573212	0.01
E 6573213	<0.01
E 6573214	<0.01
E 6573215	<0.01
E 6573216	0.18
E 6573217	<0.01
E 6573218	0.10
E 6573219	<0.01
E 6573220	1.06
E 6573221	<0.01
E 6573222	<0.01
E 6573223	<0.01
E 6573224	<0.01
E 6573225	<0.01
E 6573226	<0.01
E 6573227	<0.01
E 6573228	<0.01
E 6573229	<0.01



TECHNI-LAB

pyroanalyse
géochimie
environnement

CERTIFICAT D'ANALYSE

À l'attention de Monsieur Mathieu Guay

Client Adventure Gold
15, Gamble Est, Suite 203
Rouyn-Noranda (Québec)
J9X 3B6

Tél.: 819 797-9770
Télec.: 819 797-9740

Date d'émission: 4 mars 2016
Date de réception : 24 févr. 2016
Date d'analyses : 2 mars 2016
Projet : MM
Certificat : 36184

Échantillon #	Au g/t AA	Au g/t >3.0 g/t Gravimétrie
------------------	-----------------	--------------------------------------

Méthode utilisée:	TMT-G5B	TMT-G5C
-------------------	---------	---------

E 6573230	<0.01
E 6573231	<0.01
E 6573232	0.01
E 6573233	0.01
E 6573234	<0.01
E 6573235	<0.01
E 6573236	<0.01
E 6573237	<0.01
E 6573238	<0.01
E 6573239	<0.01
E 6573240	<0.01
E 6573241	0.01
E 6573651	<0.01
E 6573652	<0.01
E 6573653	<0.01
E 6573654	<0.01
E 6573655	<0.01
E 6573656	<0.01
E 6573657	<0.01
E 6573658	<0.01
E 6573659	<0.01
E 6573660	<0.01
E 6573661	<0.01
E 6573662	<0.01
E 6573663	0.02
E 6573664	<0.01
E 6573665	<0.01
E 6573666	<0.01
E 6573667	<0.01
E 6573668	<0.01
E 6573669	<0.01
E 6573670	<0.01



TECHNI-LAB

pyroanalyse
géochimie
environnement

CERTIFICAT D'ANALYSE

À l'attention de Monsieur Mathieu Guay

Client Adventure Gold
15, Gamble Est, Suite 203
Rouyn-Noranda (Québec)
J9X 3B6

Tél.: 819 797-9770
Télec.: 819 797-9740

Date d'émission: 4 mars 2016
Date de réception : 24 févr. 2016
Date d'analyses : 2 mars 2016
Projet : MM
Certificat : 36184

Échantillon #	Au g/t AA	Au g/t >3.0 g/t Gravimétrie
------------------	-----------------	--------------------------------------

<i>Méthode utilisée:</i>	<i>TMT-G5B</i>	<i>TMT-G5C</i>
--------------------------	----------------	----------------

E 6573671	<0.01
E 6573672	<0.01
E 6573673	<0.01
E 6573674	<0.01
E 6573675	<0.01
E 6573676	<0.01
E 6573677	<0.01
E 6573678	<0.01
E 6573679	<0.01
E 6573680	0.99
E 6573681	<0.01
E 6573682	<0.01
E 6573683	0.01
E 6573684	0.01
E 6573685	<0.01
E 6573686	<0.01
E 6573687	<0.01
E 6573688	<0.01
E 6573689	<0.01
E 6573690	<0.01
E 6573691	<0.01
E 6573692	<0.01
E 6573693	<0.01
E 6573694	<0.01
E 6573695	0.02
E 6573696	0.01
E 6573697	<0.01
E 6573698	<0.01
E 6573699	<0.01
E 6573700	<0.01
E 6573701	<0.01
E 6573702	<0.01

CERTIFICAT D'ANALYSE

À l'attention de Monsieur Mathieu Guay

Client Adventure Gold
15, Gamble Est, Suite 203
Rouyn-Noranda (Québec)
J9X 3B6

Tél.: 819 797-9770
Télé.: 819 797-9740

Date d'émission: 4 mars 2016
Date de réception : 24 févr. 2016
Date d'analyses : 2 mars 2016
Projet : MM
Certificat : 36184

Échantillon #	Au g/t AA	Au g/t >3.0 g/t Gravimétrie
<i>Méthode utilisée: TMT-G5B TMT-G5C</i>		
E 6573703	0.03	
E 6573704	0.02	
E 6573705	<0.01	
E 6573706	<0.01	
E 6573707	<0.01	
E 6573708	<0.01	
E 6573709	0.02	
E 6573710	<0.01	
E 6573711	<0.01	
E 6573712	<0.01	
E 6573713	<0.01	
E 6573714	<0.01	
E 6573715	<0.01	
E 6573716	<0.01	
E 6573717	<0.01	
E 6573718	<0.01	
E 6573719	<0.01	
E 6573720	1.00	
E 6573721	0.10	
E 6573722	0.02	
E 6573723	0.02	
E 6573724	0.01	
E 6573725	0.01	
E 6573726	0.01	
E 6573727	0.01	
E 6573728	<0.01	
E 6573729	0.06	
E 6573730	<0.01	
E 6573731	<0.01	
E 6573732	<0.01	
E 6573733	0.02	
E 6573734	<0.01	



TECHNI-LAB

pyroanalyse
géochimie
environnement

CERTIFICAT D'ANALYSE

À l'attention de Monsieur Mathieu Guay

Client Adventure Gold
15, Gamble Est, Suite 203
Rouyn-Noranda (Québec)
J9X 3B6

Tél.: 819 797-9770
Télec.: 819 797-9740

Date d'émission: 4 mars 2016
Date de réception : 24 févr. 2016
Date d'analyses : 2 mars 2016
Projet : MM
Certificat : 36184

Échantillon #	Au g/t AA	Au g/t >3.0 g/t Gravimétrie
------------------	-----------------	--------------------------------------

Méthode utilisée:	TMT-G5B	TMT-G5C
-------------------	---------	---------

E 6573735	<0.01
E 6573736	<0.01
E 6573737	<0.01
E 6573738	<0.01
E 6573739	<0.01
E 6573740	<0.01
E 6573741	0.01
E 6573742	<0.01
E 6573743	<0.01
E 6573744	0.01
E 6573745	0.01
E 6573746	<0.01
E 6573747	0.02
E 6573748	<0.01
E 6573749	<0.01
E 6573750	<0.01
E 6573751	<0.01
E 6573752	<0.01
E 6573753	<0.01
E 6573754	<0.01
E 6573755	<0.01
E 6573756	<0.01
E 6573757	0.04
E 6573758	<0.01
E 6573759	<0.01
E 6573760	0.02
E 6573761	<0.01
E 6573762	<0.01
E 6573763	<0.01
E 6573764	<0.01
E 6573765	0.03
E 6573766	<0.01



TECHNI-LAB

pyroanalyse
géochimie
environnement

CERTIFICAT D'ANALYSE

À l'attention de Monsieur Mathieu Guay

Client Adventure Gold
15, Gamble Est, Suite 203
Rouyn-Noranda (Québec)
J9X 3B6

Tél.: 819 797-9770
Télec.: 819 797-9740

Date d'émission: 4 mars 2016
Date de réception : 24 févr. 2016
Date d'analyses : 2 mars 2016
Projet : MM
Certificat : 36184

Échantillon #	Au g/t AA	Au g/t >3.0 g/t Gravimétrie
------------------	-----------------	--------------------------------------

Méthode utilisée:	TMT-G5B	TMT-G5C
-------------------	---------	---------

E 6573767	<0.01
E 6573768	<0.01
E 6573769	<0.01
E 6573770	<0.01
E 6573771	<0.01
E 6573772	<0.01
E 6573773	<0.01
E 6573774	<0.01
E 6573775	<0.01
E 6573776	<0.01
E 6573777	<0.01
E 6573778	1.61
E 6573779	<0.01
E 6573780	<0.01
E 6573781	0.01
E 6573782	<0.01
E 6573783	<0.01
E 6573784	<0.01
E 6573785	<0.01
E 6573786	<0.01
E 6573787	<0.01
E 6573788	<0.01
E 6573789	<0.01
E 6573790	1.05
E 6573848	<0.01
E 6573849	<0.01
E 6573850	<0.01
E 6573851	0.03
E 6573852	<0.01
E 6573853	<0.01
E 6573854	<0.01
E 6573855	<0.01



TECHNI-LAB

pyroanalyse
géochimie
environnement

CERTIFICAT D'ANALYSE

À l'attention de Monsieur Mathieu Guay

Client Adventure Gold
15, Gamble Est, Suite 203
Rouyn-Noranda (Québec)
J9X 3B6

Tél.: 819 797-9770
Télec.: 819 797-9740

Date d'émission: 4 mars 2016
Date de réception : 24 févr. 2016
Date d'analyses : 2 mars 2016
Projet : MM
Certificat : 36184

Échantillon #	Au g/t AA	Au g/t >3.0 g/t Gravimétrie
------------------	-----------------	--------------------------------------

Méthode utilisée:	TMT-G5B	TMT-G5C
-------------------	---------	---------

E 6573856	<0.01
E 6573857	<0.01
E 6573858	<0.01
E 6573859	0.01
E 6573860	1.04
E 6573861	<0.01
E 6573862	<0.01
E 6573863	<0.01
E 6573864	<0.01
E 6573865	<0.01
E 6573866	<0.01
E 6573867	<0.01
E 6573868	<0.01
E 6573869	<0.01
E 6573870	<0.01
E 6573871	<0.01
E 6573872	<0.01
E 6573873	<0.01
E 6573874	0.01
E 6573875	<0.01
E 6573876	<0.01
E 6573877	<0.01
E 6573878	<0.01
E 6573879	<0.01
E 6573880	1.02
E 6573881	<0.01
E 6573882	<0.01
E 6573883	<0.01
E 6573884	<0.01
E 6573885	<0.01
E 6573886	<0.01
E 6573887	<0.01



TECHNI-LAB

pyroanalyse
géochimie
environnement

CERTIFICAT D'ANALYSE

À l'attention de Monsieur Mathieu Guay

Client Adventure Gold
15, Gamble Est, Suite 203
Rouyn-Noranda (Québec)
J9X 3B6

Tél.: 819 797-9770
Télec.: 819 797-9740

Date d'émission: 4 mars 2016
Date de réception : 24 févr. 2016
Date d'analyses : 2 mars 2016
Projet : MM
Certificat : 36184

Échantillon #	Au g/t AA	Au g/t >3.0 g/t Gravimétrie
------------------	-----------------	--------------------------------------

Méthode utilisée:	TMT-G5B	TMT-G5C
-------------------	---------	---------

E 6573888	<0.01
E 6573889	<0.01
E 6573890	<0.01
E 6573891	<0.01
E 6573892	<0.01
E 6573893	<0.01
E 6573894	<0.01
E 6573895	<0.01
E 6573896	<0.01
E 6573897	0.02
E 6573898	<0.01
E 6573899	<0.01
E 6573900	<0.01
E 6573901	<0.01
E 6573902	<0.01
E 6573903	<0.01
E 6573904	<0.01
E 6573905	<0.01
E 6573906	<0.01
E 6573907	<0.01
E 6573908	<0.01
E 6573909	<0.01
E 6573910	<0.01
E 6573911	<0.01
E 6573912	<0.01
E 6573913	<0.01
E 6573914	<0.01
E 6573915	<0.01
E 6573916	<0.01
E 6573917	<0.01
E 6573918	0.01
E 6573919	<0.01

CERTIFICAT D'ANALYSE

À l'attention de Monsieur Mathieu Guay

Client Adventure Gold
15, Gamble Est, Suite 203
Rouyn-Noranda (Québec)
J9X 3B6

Tél.: 819 797-9770
Télec.: 819 797-9740

Date d'émission: 4 mars 2016
Date de réception : 24 févr. 2016
Date d'analyses : 2 mars 2016
Projet : MM
Certificat : 36184

Échantillon #	Au g/t AA	Au g/t >3.0 g/t Gravimétrie
<i>Méthode utilisée: TMT-G5B TMT-G5C</i>		

E 6573920	1.04
E 6573921	<0.01
E 6573922	<0.01
E 6573923	<0.01
E 6573924	<0.01
E 6573925	<0.01
E 6573926	<0.01
E 6573927	<0.01
E 6573928	<0.01
E 6573929	<0.01
E 6573930	<0.01
E 6573204-Dup	0.08
E 6573225-Dup	<0.01
E 6573655-Dup	<0.01
E 6573676-Dup	<0.01
E 6573697-Dup	0.01
E 6573718-Dup	<0.01
E 6573739-Dup	<0.01
E 6573752-Dup	0.01
E 6573773-Dup	<0.01
E 6573851-Dup	0.02
E 6573872-Dup	<0.01
E 6573889-Dup	<0.01
E 6573910-Dup	<0.01
E 6573930-Dup	<0.01
OXN 117	7.39
OXN 117	7.21
OXN 117	7.25
OXN 117	7.08
OXN 117	7.23
OXN 117	7.26



TECHNI-LAB

pyroanalyse
géochimie
environnement

CERTIFICAT D'ANALYSE

À l'attention de Monsieur Mathieu Guay

Client Adventure Gold
15, Gamble Est, Suite 203
Rouyn-Noranda (Québec)
J9X 3B6

Tél.: 819 797-9770
Télec.: 819 797-9740

Date d'émission: 4 mars 2016
Date de réception : 24 févr. 2016
Date d'analyses : 2 mars 2016
Projet : MM
Certificat : 36184

Échantillon #	Au g/t AA	Au g/t >3.0 g/t Gravimétrie
------------------	-----------------	--------------------------------------

<i>Méthode utilisée:</i>	<i>TMT-G5B</i>	<i>TMT-G5C</i>
--------------------------	----------------	----------------

OXN 117	7.12
OXN 117	7.19
OXN 117	7.11
OXN 117	7.21
OXN 117	7.33
OXN 117	7.31
OXN 117	7.64
OXN 117	7.56
OXN 117	7.35
SG 66	1.09
SG 66	1.09
SG 66	1.01
SG 66	1.02
SG 66	1.06
SG 66	1.03
SG 66	1.08
SG 66	1.03
SG 66	1.01
SG 66	1.07
SG 66	1.09
SG 66	1.10
SG 66	1.03
SG 66	1.08
SG 66	1.08

**TECHNI-LAB**pyroanalyse
géochimie
environnement**CERTIFICAT D'ANALYSE - ANNEXE 1**

À l'attention de Monsieur Mathieu Guay

Client: Adventure Gold
15, Gamble Est, Suite 203
Rouyn-Noranda (Québec)
J9X 3B6Date d'émission: 4 mars 2016
Date de réception: 24 févr. 2016
Date d'analyse: 2 mars 2016
Projet: MM
Certificat: 36184**MÉTHODE ACCRÉDITÉE**

TMT-G5B Or par SAA avec digestion d'Aqua Regia par micro-ondes
TMT-G5C Or finition par gravimétrie
TMT-G5E Palladium et Platine par absorption atomique électrothermique (Four au Graphite)
TMT-G5F Ag, Cu, Pb, Zn, Ni et Co par ICP avec digestion d'Aqua Regia

MÉTHODE NON ACCRÉDITÉE

TMT-G5G Argent par Gravimétrie
TMT-G2 Densité
TMT-G5Z Titration du Zinc

MÉTHODE ACCRÉDITÉE PAR LE CCN

<i>Méthode</i>	<i>Paramètre</i>	<i>Limite de détection</i>	<i>Méthode</i>	<i>Paramètre</i>	<i>Limite de détection</i>
TMT-G5B	Au ppb (5 ml)	8	TMT-G5F	Ag ppm	0.3
TMT-G5B	Au g/t (10 ml)	0.01	TMT-G5F	Co ppm	2
TMT-G5C	Au gravimétrie g/t	0.08	TMT-G5F	Cu ppm	1
TMT-G5E	Pd ppb	2	TMT-G5F	Ni ppm	2
TMT-G5E	Pt ppb	3	TMT-G5F	Pb ppm	3
			TMT-G5F	Zn ppm	1

Ce rapport est pour l'usage exclusif du client et ne peut être reproduit, sinon en entier, sans l'autorisation écrite de Techni-Lab S.G.B. Abitibi inc.



Annexe 1 du certificat no. 36184 - 12/12



TECHNI-LAB

pyroanalyse
géochimie
environnement

Client : Monsieur Mathieu Guay

Adventure Gold
15, Gamble Est, Suite 203
Rouyn-Noranda (Québec)
J9X 3B6

Date d'émission: 2 mars 2016
Date de réception: 24 févr. 2016
Date d'analyses: 2 mars 2016
Projet: MM
Certificat: 36183

CERTIFICAT D'ANALYSE

142 échantillons de roches ont été reçus pour analyses.

Notes :

Ce certificat remplace et annule tous certificats antérieurs, le cas échéant.

- ® Ce document est pour l'usage exclusif du client et ne peut être reproduit, sinon en entier, sans l'autorisation écrite de Techni-Lab S. G. B. Abitibi inc. Si vous avez reçu ce certificat par erreur, soyez avisé que tout usage, reproduction ou distribution de celui-ci est strictement interdit. Les échantillons seront conservés pendant 30 jours à partir de la date du certificat à moins d'avis écrit du client.
- ® Les résultats d'essai ne se rapportent qu'aux objets soumis à l'essai tels qu'ils ont été reçus par le laboratoire.



Les résultats des échantillons sont vérifiés et approuvés par :

Vanessa Perreault

Vanessa PERREAULT, chimiste 2015-121





TECHNI-LAB

pyroanalyse
géochimie
environnement

CERTIFICAT D'ANALYSE

À l'attention de Monsieur Mathieu Guay

Client Adventure Gold
15, Gamble Est, Suite 203
Rouyn-Noranda (Québec)
J9X 3B6

Tél.: 819 797-9770
Télec.: 819 797-9740

Date d'émission: 2 mars 2016
Date de réception : 24 févr. 2016
Date d'analyses : 2 mars 2016
Projet : MM
Certificat : 36183

Échantillon #	Au g/t AA	Au g/t >3.0 g/t Gravimétrie
------------------	-----------------	--------------------------------------

Méthode utilisée:	TMT-G5B	TMT-G5C
-------------------	---------	---------

5756401	<0.01
5756402	0.01
5756403	<0.01
5756404	<0.01
5756405	<0.01
5756406	<0.01
5756407	<0.01
5756408	0.03
5756409	<0.01
5756410	<0.01
5756411	0.01
5756412	<0.01
5756413	<0.01
5756414	0.01
5756415	<0.01
5756416	0.01
5756417	0.01
5756418	<0.01
5756419	0.02
5756420	<0.01
5756421	<0.01
5756422	<0.01
5756423	<0.01
5756424	<0.01
5756425	<0.01
5756426	<0.01
5756427	<0.01
5756428	<0.01
5756429	<0.01
5756430	<0.01
5756431	<0.01
5756432	0.01



TECHNI-LAB

pyroanalyse
géochimie
environnement

CERTIFICAT D'ANALYSE

À l'attention de Monsieur Mathieu Guay

Client Adventure Gold
15, Gamble Est, Suite 203
Rouyn-Noranda (Québec)
J9X 3B6

Tél.: 819 797-9770
Télééc.: 819 797-9740

Date d'émission: 2 mars 2016
Date de réception : 24 févr. 2016
Date d'analyses : 2 mars 2016
Projet : MM
Certificat : 36183

Échantillon #	Au g/t AA	Au g/t >3.0 g/t Gravimétrie
------------------	-----------------	--------------------------------------

Méthode utilisée: TMT-G5B TMT-G5C

5756433	0.01
5756434	<0.01
5756435	<0.01
5756436	0.02
5756437	0.05
5756438	0.02
5756439	<0.01
5756440	1.07
5756441	<0.01
5756442	<0.01
5756443	<0.01
5756444	<0.01
5756445	<0.01
5756446	<0.01
5756447	<0.01
5756448	<0.01
5756449	<0.01
5756450	<0.01
5756451	<0.01
5756452	<0.01
5756453	<0.01
5756454	<0.01
5756455	<0.01
5756456	0.02
5756457	0.02
5756458	<0.01
5756459	<0.01
5756460	<0.01
5756461	<0.01
5756462	0.05
5756463	0.02
5756464	0.03



TECHNI-LAB

pyroanalyse
géochimie
environnement

CERTIFICAT D'ANALYSE

À l'attention de Monsieur Mathieu Guay

Client Adventure Gold
15, Gamble Est, Suite 203
Rouyn-Noranda (Québec)
J9X 3B6

Tél.: 819 797-9770
Télec.: 819 797-9740

Date d'émission: 2 mars 2016
Date de réception : 24 févr. 2016
Date d'analyses : 2 mars 2016
Projet : MM
Certificat : 36183

Échantillon #	Au g/t AA	Au g/t >3.0 g/t Gravimétrie
------------------	-----------------	--------------------------------------

<i>Méthode utilisée:</i>	<i>TMT-G5B</i>	<i>TMT-G5C</i>
--------------------------	----------------	----------------

5756465	0.02
5756466	0.01
5756467	0.02
5756468	<0.01
5756469	<0.01
5756470	0.02
5756471	<0.01
5756472	0.02
5756473	0.01
5756474	0.01
5756475	0.01
5756476	<0.01
5756477	0.02
5756478	<0.01
5756479	0.01
5756480	1.03
5756481	<0.01
5756482	<0.01
5756483	<0.01
5756484	<0.01
5756485	<0.01
5756486	<0.01
5756487	<0.01
5756488	<0.01
5756489	0.01
5756490	<0.01
5756491	<0.01
5756492	<0.01
5756493	<0.01
5756494	<0.01
5756495	<0.01
5756496	<0.01



TECHNI-LAB

pyroanalyse
géochimie
environnement

CERTIFICAT D'ANALYSE

À l'attention de Monsieur Mathieu Guay

Client Adventure Gold
15, Gamble Est, Suite 203
Rouyn-Noranda (Québec)
J9X 3B6

Tél.: 819 797-9770
Télec.: 819 797-9740

Date d'émission: 2 mars 2016
Date de réception : 24 févr. 2016
Date d'analyses : 2 mars 2016
Projet : MM
Certificat : 36183

Échantillon #	Au g/t AA	Au g/t >3.0 g/t Gravimétrie
<hr/>		
<i>Méthode utilisée: TMT-G5B TMT-G5C</i>		
<hr/>		
5756497	<0.01	
5756498	0.02	
5756499	0.04	
5756500	<0.01	
5756501	0.02	
5756502	0.03	
5756503	0.20	
5756504	<0.01	
5756505	0.01	
5756506	0.01	
5756507	<0.01	
5756508	<0.01	
5756509	<0.01	
5756510	0.01	
5756511	<0.01	
5756512	<0.01	
5756513	<0.01	
5756514	0.01	
5756515	0.01	
5756516	0.05	
5756517	0.02	
5756518	<0.01	
5756519	0.03	
5756520	1.01	
5756521	<0.01	
5756522	0.02	
5756523	0.03	
5756524	0.02	
5756525	0.03	
5756526	0.03	
5756527	0.01	
5756528	<0.01	



TECHNI-LAB

pyroanalyse
géochimie
environnement

CERTIFICAT D'ANALYSE

À l'attention de Monsieur Mathieu Guay

Client Adventure Gold
15, Gamble Est, Suite 203
Rouyn-Noranda (Québec)
J9X 3B6

Tél.: 819 797-9770
Télec.: 819 797-9740

Date d'émission: 2 mars 2016
Date de réception : 24 févr. 2016
Date d'analyses : 2 mars 2016
Projet : MM
Certificat : 36183

Échantillon #	Au g/t AA	Au g/t >3.0 g/t Gravimétrie
------------------	-----------------	--------------------------------------

Méthode utilisée:	TMT-G5B	TMT-G5C
-------------------	---------	---------

5756529	<0.01
5756530	<0.01
5756531	0.02
5756532	0.02
5756533	<0.01
5756534	<0.01
5756535	<0.01
5756536	0.04
5756537	<0.01
5756538	<0.01
5756539	0.01
5756540	<0.01
5756541	<0.01
5756542	<0.01



TECHNI-LAB

pyroanalyse
géochimie
environnement

CERTIFICAT D'ANALYSE

À l'attention de Monsieur Mathieu Guay

Client Adventure Gold
15, Gamble Est, Suite 203
Rouyn-Noranda (Québec)
J9X 3B6

Tél.: 819 797-9770
Télec.: 819 797-9740

Date d'émission: 2 mars 2016
Date de réception : 24 févr. 2016
Date d'analyses : 2 mars 2016
Projet : MM
Certificat : 36183

Échantillon #	Au g/t AA	Au g/t >3.0 g/t Gravimétrie
------------------	-----------------	--------------------------------------

Méthode utilisée:	TMT-G5B	TMT-G5C
-------------------	---------	---------

5756406-Dup	<0.01
5756427-Dup	<0.01
5756448-Dup	<0.01
5756469-Dup	<0.01
5756490-Dup	<0.01
5756511-Dup	<0.01
5756532-Dup	<0.01
5756542-Dup	<0.01
OXN 117	7.83
OXN 117	7.70
OXN 117	7.37
OXN 117	7.58
OXN 117	7.63
OXN 117	7.32
OXN 117	7.36
OXN 117	7.48
SG 66	1.08
SG 66	1.11
SG 66	1.15
SG 66	1.07
SG 66	1.05
SG 66	1.09
SG 66	1.12
SG 66	1.10

**TECHNI-LAB**pyroanalyse
géochimie
environnement**CERTIFICAT D'ANALYSE - ANNEXE 1**

À l'attention de Monsieur Mathieu Guay

Client: Adventure Gold
15, Gamble Est, Suite 203
Rouyn-Noranda (Québec)
J9X 3B6Date d'émission: 2 mars 2016
Date de réception: 24 févr. 2016
Date d'analyse: 2 mars 2016
Projet: MM
Certificat: 36183**MÉTHODE ACCRÉDITÉE**

TMT-G5B	Or par SAA avec digestion d'Aqua Regia par micro-ondes
TMT-G5C	Or finition par gravimétrie
TMT-G5E	Palladium et Platine par absorption atomique électrothermique (Four au Graphite)
TMT-G5F	Ag, Cu, Pb, Zn, Ni et Co par ICP avec digestion d'Aqua Regia

MÉTHODE NON ACCRÉDITÉE

TMT-G5G	Argent par Gravimétrie
TMT-G2	Densité
TMT-G5Z	Titration du Zinc

MÉTHODE ACCRÉDITÉE PAR LE CCN

<i>Méthode</i>	<i>Paramètre</i>	<i>Limite de détection</i>	<i>Méthode</i>	<i>Paramètre</i>	<i>Limite de détection</i>
TMT-G5B	Au ppb (5 ml)	8	TMT-G5F	Ag ppm	0.3
TMT-G5B	Au g/t (10 ml)	0.01	TMT-G5F	Co ppm	2
TMT-G5C	Au gravimétrie g/t	0.08	TMT-G5F	Cu ppm	1
TMT-G5E	Pd ppb	2	TMT-G5F	Ni ppm	2
TMT-G5E	Pt ppb	3	TMT-G5F	Pb ppm	3
			TMT-G5F	Zn ppm	1

Ce rapport est pour l'usage exclusif du client et ne peut être reproduit, sinon en entier, sans l'autorisation écrite de Techni-Lab S.G.B. Abitibi inc.



Annexe 1 du certificat no. 36183 - 8/8